



جمهورية العراق  
وزارة التعليم العالي والبحث العلمي  
جامعة ديالى  
كلية العلوم  
قسم الفيزياء



## تحضير ودراسة بعض الخواص الفيزيائية لمتراكبات (بولي كحول الفاينيل PVA / أملاح الالمنيوم)

رسالة مقدمة الى  
مجلس كلية العلوم – جامعة ديالى وهي جزء من متطلبات نيل درجة الماجستير في  
علوم الفيزياء

من قبل

**سلمى سلمان عبدالله**

بكالوريوس علوم فيزياء 2009 م

باشراف

**أ.د. صباح انور سلمان**

2018 م

- 1439 هـ



*Republic of Iraq  
Ministry of Higher Education  
and Scientific Research  
University of Diyala  
College of Science  
Department of Physics*



# ***Preparation and Study of Some Physical Properties of ( polyvinyl Alcohol PVA /Aluminium Salts)Composites***

A Thesis

Submitted to the Council of the College of Science-University of Diyala  
in Partial Fulfillment of the Requirements for the Degree of Master of  
Science in Physics

*by*  
***Salma Salman Abdallah***  
B. Sc. in Physics (2009)

*Supervised by*

***Prof. Sabah Anwer Salman (Ph.D.)***

**2018 A.D.**

**1439 A.H.**

بِسْمِ اللَّهِ الرَّحْمَنِ الرَّحِيمِ

((ذَلِكَ فَضْلٌ مِّنْ يُوْتَيْهِ مَنْ يَشَاءُ وَاللَّهُ ذُو الْفَضْلِ الْعَظِيمِ))

صدق الله العلي العظيم

(سورة الجمعة/ الآية الرابعة) ..

## شكر وتقدير

"كن عالماً .. فإن لم تستطع فكُن متعلماً .. فإن لم تستطع فأحب العلماء، فإن لم تستطع فلا تبغضهم"

بعد رحلة بحث وجهد وأجتهاد تكللت بإنجاز هذا البحث، نحمد الله عزوجل على النعمة التي من بها علينا فهو العلي القدير، كما أقدم شكري وامتناني إلى المشرف الأستاذ الدكتور (صباح أنور سلمان) لاقترابه موضوع البحث ونصائحه القيمة وتوجيهاته المستمرة في سبيل إنجاز هذا البحث طوال مدة العمل وأعداد الرسالة داعية الله عزوجل له بدوام الصحة والموافقة.

كما أتقدم بالشكر الجزييل لكل من أسهم في تقديم يد العون لإنجاز هذا البحث، وأخص بالذكر عمادة كلية العلوم ورئاسة قسم الفيزياء، كما لا أنسى أن أقدم بأرقى وأثمن عبارات الشكر والتقدير والعرفان إلى جميع أساتذتي في قسم الفيزياء وأخص بالذكر منهم (الدكتور زياد طارق خضرير (رئيس قسم الفيزياء)، الدكتور نبيل علي بكر، الدكتور عمار عايش حبيب، الاستاذة هند وليد عبدالله، الاستاذ أنور، الاستاذ رافد، الاستاذ محمد والاستاذ عمار) والدكتور فاضل لفته من قسم الكيمياء - كلية العلوم والاستاذ واثق كريم صالح - دائرة بحوث المواد - وزارة العلوم والتكنولوجيا .

كما وأشكر جميع طلبة الدراسات العليا لتعاونهم ومساندتهم لي طيلة مدة الدراسة وشكري وتقديرني لمنتببي مكتبة كلية العلوم لتعاونهم لي في أعاقة مصادر البحث. وأخيرا وليس آخرأً أقدم بشكري وأعتذاري لكل من

سلمى

أعاني من فاتني ذكره مع الاعتذار .

# الأداء

أهي لا يطيب الليل الا بشكرك . . . ولا يطيب النهار الابطاعتك . . . ولا تطيب اللحظات الا بذكرك . . . ولا  
تطيب الاخرة الا بعفوك . . . . (الله عزوجل) .

الى من كلله الله بالحبوبة والوقار . . . الى من علمني العطاء بدون انتظار . . . الى من أحمل أسمه بكل أقتخار . . .  
أرجو من الله أن يمد في عمرك لترى ثماراً قد حان قطافها بعد طول انتظار . . . . (والدي) .

الى القلب النابض، الى رمز الحب والحنان، الى من كانت دعواتها الصادقة سر نجاحي . . (والدتي) .

الى من هم سند في الحياة . . . . (أهلبي) .

الى الاخوة والاخوات . . . الى من تحلووا بالإخاء وتميزوا بالوفاء والعطاء . . . الى من كانوا معي على طريق  
النجاح والخير . . . (أصدقائي) .

سلمى

## إقرار المشرف

أقر بأن أعداد الرسالة تم تحت إشرافي في قسم الفيزياء - كلية العلوم - جامعة ديالى، وهي جزء من متطلبات نيل درجة الماجستير في علوم الفيزياء.

المشرف

التوقيع:

أسم المشرف: أ.د. صباح أنور سلمان

المرتبة العلمية: استاذ

العنوان: جامعة ديالى/ كلية العلوم / قسم الفيزياء

التاريخ: / 2017 م

## توصية رئيس القسم

بناء على التوصيات المتوفّرة، أرشح هذه الرسالة للمناقشة.

التوقيع:

الاسم: أ.م.د. زياد طارق خضير

المرتبة العلمية: استاذ مساعد

العنوان: جامعة ديالى - كلية العلوم - قسم الفيزياء

التاريخ: / 2017 م

## اقرارات لجنة المناقشة

نحن أعضاء لجنة المناقشة أدناه نشهد أننا اطلعنا على رسالة الماجستير الموسومة (( تحضير ودراسة بعض الخواص الفيزيائية لمتراتكبات ( بولي كحول الفاينيل PVA / أملاح الالمنيوم )) المقدمة من قبل الطالبة (سلمى سلمان عبدالله) وقد ناقشنا الطالبة في محتوياتها وكل ما له علاقة بها فوجدناها جديرة بالقبول لنيل درجة الماجستير في علوم الفيزياء ولاجله وقعا.

### رئيس اللجنة

التوقيع:

الاسم: أ.د. بلقيس محمد ضياء

المرتبة العلمية: أستاذ

العنوان: الجامعة التكنولوجية/ قسم العلوم التطبيقية/ فرع المواد

التاريخ: / / 2018 م

### عضو اللجنة

التوقيع:

الاسم: أ.د. نبيل علي بكر

المرتبة العلمية: أستاذ

العنوان: جامعة ديالى/ كلية العلوم / قسم الفيزياء

التاريخ: / / 2018 م

### عضو اللجنة (المشرف)

التوقيع:

الاسم: أ.د. صباح أنور سلمان

المرتبة العلمية: أستاذ

العنوان: جامعة ديالى/ كلية العلوم / قسم الفيزياء

التاريخ: / / 2018 م

### مصادقة عمادة كلية العلوم/ جامعة ديالى

التوقيع:

الاسم: أ. د. تحسين حسين مبارك

المرتبة العلمية: أستاذ

التاريخ: / / 2018 م

## إقرار المقوم العلمي

أقر بتفويم رسالة الماجستير المعروفة (( تحضير ودراسة بعض الخواص الفيزيائية لمتراتكبات ( بولي كحول الفاينيل PVA/ أملاح الالمنيوم )) للطالبة (سلمى سلمان عبدالله) علمياً من قبله وهي جزء من متطلبات نيل درجة الماجستير في علوم الفيزياء.

التوقيع:

الاسم: أ.م.د فاروق ابراهيم حسين

المرتبة العلمية: أستاذ مساعد

العنوان: جامعة بغداد/ كلية التربية للعلوم الصرفة- ابن الهيثم/

قسم الفيزياء

التاريخ: / 2018 م

## إقرار المقوم اللغوي

أقر بتفويم رسالة الماجستير المعروفة (( تحضير ودراسة بعض الخواص الفيزيائية لمتراتكبات ( بولي كحول الفاينيل PVA / أملاح الالمنيوم)) للطالبة (سلمى سلمان عبدالله) لغويًا من قبلى وهي جزء من متطلبات نيل درجة الماجستير في علوم الفيزياء.

التوقيع:

الاسم: م.د بشري عبد المهدى ابراهيم

المرتبة العلمية: مدرس

العنوان: جامعة دىالى - كلية التربية الأساسية

قسم اللغة العربية

التاريخ: 2018 / / م

## البحوث المنشورة

- [1] S. A. Salman, N. A. Bakr , S. S. Abdullaah and H. Z. A. Al- Rahman, “ Effect of Aluminium Salts on Some Mechanical Properties of Polyvinyle Alcohol (PVA) Films”, Journal of Chemical, Biological and Physical Sciences, Vol. 8, No. 1, pp. 37-45, (2017).
- [2] S. A. Salman, N. A. Bakr and S. S. Abdullaah, “ Study of Thermal Decomposition and FTIR for (PVA-  $\text{AlCl}_3$ ) Composite Films”, Journal of Engineering and Applied Sciences, Accepted on February 20,(2018).

## الخلاصة

حضرت أغشية بوليمر (PVA) النقية والمدعمة بأملاح الالمنيوم ( $\text{AlCl}_3$ ,  $\text{Al}(\text{NO}_3)_3$ ) بنسب وزنية مختلفة (1,3,5,7,9,11,13,15 wt%) باستخدام طريقة الصب. لقد تمت دراسة الخواص البصرية، الميكانيكية والحرارية لأغشية المترابكات (PVA - أملاح الالمنيوم).

طيفاً النفاذية والامتصاصية سجلاً ضمن مدى الطول الموجي nm (190-1100)، وتم دراسة تأثير النسبة الوزنية لأملاح الالمنيوم المضافة على المعلومات البصرية (النفاذية، الامتصاصية، معامل الامتصاص، معامل الانكسار، معامل الخمود وثابت العزل البصري بجزأيه الحقيقي والخيالي) لأغشية المترابكات (PVA - أملاح الالمنيوم).

وأظهرت النتائج العملية أن النفاذية لأغشية المترابكات (PVA - أملاح الالمنيوم) تقل مع زيادة النسبة الوزنية لأملاح الالمنيوم المضافة بينما الامتصاصية، معامل الامتصاص، معامل الانكسار، معامل الخمود وثابت العزل البصري بجزأيه الحقيقي والخيالي يزدادون جميعهم مع زيادة النسبة الوزنية لأملاح الالمنيوم المضافة. وكذلك أظهرت النتائج بأن الانتقالات الالكترونية هي انتقالات الكترونية غير مباشرة، وأن فجوة الطاقة تقل مع زيادة النسبة الوزنية لأملاح الالمنيوم المضافة eV ( $5.887-4.542$ ) لملح ( $\text{AlCl}_3$ ) و eV ( $5.887-4.435$ ) لملح ( $\text{Al}(\text{NO}_3)_3$ ), بينما أظهرت طاقة أورباخ سلوكاً معاكساً لفجوة الطاقة حيث تزداد طاقة أورباخ بزيادة النسبة الوزنية لأملاح الالمنيوم المضافة meV ( $545.6-1039.6$ ) لملح ( $\text{AlCl}_3$ ) و meV ( $545.6-928.9$ ) لملح ( $\text{Al}(\text{NO}_3)_3$ ).

وأظهرت نتائج فحوصات (FTIR) لغشاء (PVA) النقي بعد التدعيم بنسب وزنية مختلفة من أملاح الالمنيوم أن حزمة الامتصاص لمجموعة الهيدروكسيل (-OH) لـ (PVA) تتحرف نحو الاعداد الموجية العالية لكل النسب الوزنية لملح ( $\text{AlCl}_3$ ), وعند أغلب النسب الوزنية لملح ( $\text{Al}(\text{NO}_3)_3$ ) فإن العدد الموجي لمجموعة الهيدروكسيل (-OH) لـ (PVA) ينحرف نحو قيم أوطأ، بينما أظهرت آصرة التمدد (C-H) الامتماتلة انحرافاً نحو الاعداد الموجية العالية عند النسبة الوزنية (15wt%) و (11wt%) لأملاح ( $\text{Al}(\text{NO}_3)_3$ ) و ( $\text{AlCl}_3$ ) على التوالي، وأن الآصرتين (C=O) و (C=C) أظهرتا انحرافاً نحو الاعداد الموجية الواطئة مع تأثر نوعي آصرة (-CH<sub>2</sub>) (تغير العدد الموجي لهما) بعملية التدعيم بأملاح الالمنيوم.

وتم دراسة تأثير النسبة الوزنية لأملاح الالمنيوم المضافة على الخواص الميكانيكية لأغشية المترابكات (PVA - أملاح الالمنيوم)، وأظهرت النتائج العملية بأن الصلادة تزداد بزيادة النسبة الوزنية لأملاح

الالمنيوم المضافة، بينما أظهرت النتائج العملية لاختبار الشد قيما غير منتظمة لكلا من (متانة الشد، الاستطالة حد الكسر ومعامل يونك) بعد التدعيم بنسب وزنية مختلفة من أملاح الالمنيوم بالمقارنة مع غشاء (PVA) النقي.

وكذلك أظهرت نتائج دراسة تأثير النسبة الوزنية لأملاح الالمنيوم المضافة على الخواص الحرارية لأغشية المتراكبات (PVA - أملاح الالمنيوم) بأن التوصيلية الحرارية تبدأ بالنقصان بشكل غير منتظم مع زيادة النسبة الوزنية لأملاح الالمنيوم المضافة، وأن فحص المسعر الحراري التبايني (DSC) أظهر ابتداء تزايد غير منتظم لكلا من درجة الانتقال الزجاجي ودرجة الانصهار البلورية بزيادة النسبة الوزنية لملح ( $\text{AlCl}_3$ ) المضاف، وسلوك غير منتظم لدرجة الانتقال الزجاجي ودرجة الانصهار البلورية عند التدعيم بملح ( $\text{Al}(\text{NO}_3)_3$ ) بالمقارنة مع غشاء (PVA) النقي مع اختفاء لدرجة الانتقال الزجاجي عند النسبة الوزنية (11wt%) لملح ( $\text{AlCl}_3$ ) وأختفاء لدرجة الانصهار البلورية عند النسبة الوزنية (7wt%) لملح ( $\text{Al}(\text{NO}_3)_3$ ), وكذلك أظهرت منحنيات (TGA) أن غشاء (PVA) النقي يمر بمرحلتين لعملية التحلل الحراري وبفقد كلي في الوزن مقداره (100%), وأظهرت النسب الوزنية لأملاح الالمنيوم المضافة مرحلتين وثلاث مراحل تحلل حراري لعملية فقد في الوزن مع فقد كلي في الوزن أقل بالمقارنة مع غشاء (PVA) النقي.

# قائمة المحتويات

الصفحة	الموضوع	الترتيب
	الخلاصة	
<b>I</b>	المحتويات	
<b>IV</b>	قائمة الرموز	
<b>V</b>	قائمة المختصرات	
<b>VI</b>	قائمة الجداول	
<b>VII</b>	قائمة الاشكال	
<b>الفصل الأول: (المقدمة والدراسات السابقة)</b>		
1	المقدمة	(1-1)
1	المواد المتراكبة	(2-1)
2	المادة الاساس	(1-2-1)
2	بولي كحول الفاينيل (PVA)	(1-1-2-1)
3	مواد التدعيم	(2-2-1)
4	الالمنيوم	(1-2-2-1)
4	السطح البيني وقوة التلاصق (الترابط)	(3-2-1)
5	الربط الميكانيكي	(1-3-2-1)
5	الربط الكيميائي	(2-3-2-1)
6	تصنيف المواد المتراكبة	(3-1)
6	تصنيف المتراكبات حسب نوع المادة الاساس	(1-3-1)
7	تصنيف المتراكبات حسب نوع مادة التدعيم	(2-3-1)
9	البولимерات	(4-1)
11	تصنيف البولимерات	(5-1)
13	الدراسات السابقة	(6-1)
19	الهدف من الدراسة	(7-1)
<b>الفصل الثاني (الجزء النظري)</b>		
20	المقدمة	(1-2)
20	الخواص البصرية	(2-2)
20	حافة الامتصاص الاساسية	(1-2-2)
22	النفادية	(2-2-2)
22	الامتصاصية	(3-2-2)
23	الثوابت البصرية	(4-2-2)
23	معامل الامتصاص	(1-4-2-2)
24	معامل الانكسار	(2-4-2-2)

الصفحة	الموضوع	الترتيب
24	معامل الخمود	(3-4-2-2)
25	ثابت العزل البصري	(4-4-2-2)
26	الانتقالات الالكترونية	(5-2-2)
26	الانتقالات الالكترونية المباشرة	(1-5-2-2)
27	الانتقالات الالكترونية غير المباشرة	(2-5-2-2)
29	تحويل فوري للاشعة تحت الحمراء	(3-2)
30	الخواص الميكانيكية	(4-2)
31	اختبار الصلادة	(1-4-2)
33	اختبار الشد	(2-4-2)
34	منحني (الاجهاد - الانفعال)	(1-2-4-2)
36	الخواص الحرارية	(5-2)
37	التوصيلية الحرارية	(1-5-2)
39	درجة الانتقال الزجاجي	(2-5-2)
39	درجة الانصهار البلورية	(3-5-2)
40	التحليل الحراري الوزني	(4-5-2)
<b>الفصل الثالث (الجزء العملي)</b>		
41	المقدمة	(1-3)
41	المواد المستخدمة	(2-3)
41	المادة الاساس	(1-2-3)
42	مواد التدعيم	(2-2-3)
42	كلوريد الالمنيوم	(1-2-2-3)
42	نترات الالمنيوم	(2-2-2-3)
42	الاجهزة المستخدمة وطريقة تحضير العينات	(3-3)
42	الاجهزة المستخدمة	(1-3-3)
46	تحضير أغشية بوليمر (PVA) النقية والمدعمة بأملام الالمنيوم	(2-3-3)
48	الاختبارات والاجهزة المستخدمة	(4-3)
48	اختبار UV- VIS	(1-4-3)
49	اختبار تحويل فوري للاشعة تحت الحمراء	(2-4-3)
50	اختبار الصلادة	(3-4-3)
51	اختبار الشد	(4-4-3)
52	اختبار التوصيلية الحرارية	(5-4-3)

الصفحة	الموضوع	الترتيب
53	اختبار المسعر الحراري التبايني الفصل الرابع (النتائج والمناقشة)	(6-4-3)
55	المقدمة	(1-4)
55	الخواص البصرية	(2-4)
55	طيف النفاذية	(1-2-4)
57	طيف الامتصاصية	(2-2-4)
58	معامل الامتصاص	(3-2-4)
60	فجوة الطاقة للانتقال غير المباشر المسموح	(4-2-4)
66	طاقة أورباخ	(5-2-4)
71	معامل الانكسار	(6-2-4)
73	معامل الخمود	(7-2-4)
74	الجزء الحقيقي والخيالي لثابت العزل البصري	(8-2-4)
77	تحويل فورير للاشعة تحت الحمراء	(3-4)
83	الخواص الميكانيكية	(4-4)
83	اختبار الصلادة	(1-4-4)
85	اختبار الشد	(2-4-4)
93	الخواص الحرارية	(5-4)
93	التوصيلية الحرارية	(1-5-4)
96	درجة الانتقال الزجاجي	(2-5-4)
97	درجة الانصهار البلورية	(3-5-4)
99	التحليل الحراري الوزني	(4-5-4)
الفصل الخامس (الاستنتاجات والمشاريع المستقبلية)		
121	الاستنتاجات	(1-5)
123	المشاريع المستقبلية	(2-5)
124	المصادر	

## قائمة الرموز

الرمز	المعنى	الوحدة
$\alpha$	معامل الامتصاص	$\text{cm}^{-1}$
$E_g$	فجوة الطاقة	eV
$E_u$	طاقة أورباخ	meV
$h\nu$	طاقة الفوتون	eV
T	النفادية	-
$I_o$	شدة الاشعاع الساقط	$\text{eV}/\text{m}^2 \cdot \text{s}$
$I_t$	شدة الاشعاع النافذ	$\text{eV}/\text{m}^2 \cdot \text{s}$
A	الامتصاصية	-
R	الانعكاسية	-
$n_o$	معامل الانكسار	-
N	معامل الانكسار المعقد	-
$k_o$	معامل الخمود	-
$\epsilon^{\text{opt.}}$	ثابت العزل البصري	-
$\epsilon_1$	الجزء الحقيقى لثابت العزل البصري	-
$\epsilon_2$	الجزل الخيالى لثابت العزل البصري	-
$\lambda$	الطول الموجى	nm
K	متجه الموجة	$\text{cm}^{-1}$
$E_g^{\text{opt}}$	فجوة الطاقة البصرية للانتقال غير المباشر	eV
$E_p$	طاقة الفونون المساعد	eV
$\epsilon$	الانفعال	-
Q	كمية الحرارة المنتقلة	J/sec
k	التوصيلية الحرارية	W/m.K
$T_A, T_B, T_C$	تمثل درجة حرارة القرص (A, B and C) على التوالي	°C
e	كمية الطاقة	W/m².K
d	سمك القرص	m
r	نصف قطر القرص	m
V	فرق الجهد على طرفي ملف المسخن	V

الوحدة	المعنى	الرمز
°C	درجة الانقلال الزجاجي	T <sub>g</sub>
°C	درجة الانصهار البلورية	T <sub>m</sub>
-	معدل الوزن الجزيئي	M <sub>w</sub>

### قائمة المختصرات

المعنى	المختصر
بولي كحول الفاينيل	PVA
المتراكبات ذات أساس المعدني	MMC <sub>S</sub>
المتراكبات ذات الأساس السيراميكى	CMC <sub>S</sub>
المتراكبات ذات الأساس البوليميرى	PMC <sub>S</sub>
أوكسيد الالمنيوم	Al <sub>2</sub> O <sub>3</sub>
المسعر الحراري التبايني	DSC
المجهر الالكتروني النافذ	TEM
حيود الاشعة السينية	XRD
التحليل الحراري التقاضي	DTA
التحليل الحراري الوزني	TGA
الأشعة فوق البنفسجية	UV
تحويل فوريير للأشعة تحت الحمراء	FTIR
كلوريد الالمنيوم	AlCl <sub>3</sub>
نترات الالمنيوم	Al(NO <sub>3</sub> ) <sub>3</sub>
متانة الشد	T.S
الاستطالة حد الكسر	E <sub>b</sub>
معامل يونك	Y <sub>m</sub>

## قائمة الجداول

الصفحة	العنوان	الجدول
32	بعض أنواع الصلادة	(1-2)
41	بعض خواص بوليمر بولي كحول الفاينيل (PVA)	(1-3)
46	النسبة الوزنية لاغشية المتراكبات ( بوليمر (PVA) - أملاح الالمنيوم)	(2-3)
65	قيم فجوة الطاقة للانتقال غير المباشر المسموح لاغشية المتراكبات (PVA)- أملاح الالمنيوم مع النسبة الوزنية لأملاح الالمنيوم	(1-4)
71	قيم طاقة اورباخ لاغشية المتراكبات (PVA)- أملاح الالمنيوم مع النسبة الوزنية لأملاح الالمنيوم	(2-4)
81	قيم الاعداد الموجية لحزم الامتصاص لأوامر أغشية المتراكب (PVA- $\text{AlCl}_3$ ) مع النسبة الوزنية لملح $\text{AlCl}_3$	(3-4)
82	قيم الاعداد الموجية لحزم الامتصاص لأوامر أغشية المتراكب (PVA- $\text{Al}(\text{NO}_3)_3$ ) مع النسبة الوزنية لملح $\text{Al}(\text{NO}_3)_3$	(4-4)
84	قيم الصلادة لاغشية المتراكبات (PVA - أملاح الالمنيوم) مع النسبة الوزنية لأملاح الالمنيوم	(5-4)
89	قيم خصائص الشد لاغشية المتراكب (PVA- $\text{AlCl}_3$ ) مع النسبة الوزنية لملح $\text{AlCl}_3$	(6-4)
89	قيم خصائص الشد لاغشية المتراكب (PVA- $\text{Al}(\text{NO}_3)_3$ ) مع النسبة الوزنية لملح $\text{Al}(\text{NO}_3)_3$	(7-4)
95	قيم التوصيلية الحرارية لاغشية المتراكبات ( PVA - أملاح الالمنيوم) مع النسبة الوزنية لأملاح الالمنيوم	(8-4)
97	قيم درجة الانتقال الزجاجي لاغشية المتراكبات ( PVA - أملاح الالمنيوم) مع النسبة الوزنية لأملاح الالمنيوم	(9-4)
99	قيم درجة الانصهار البلورية لاغشية المتراكبات ( PVA - أملاح الالمنيوم) مع النسبة الوزنية لأملاح الالمنيوم	(10-4)
102	قيم منحني (TGA) لاغشية المتراكب (PVA- $\text{AlCl}_3$ ) مع النسبة الوزنية لملح $\text{AlCl}_3$	(11-4)
103	قيم منحني (TGA) لاغشية المتراكب (PVA- $\text{Al}(\text{NO}_3)_3$ ) مع النسبة الوزنية لملح $\text{Al}(\text{NO}_3)_3$	(12-4)

# قائمة الأشكال

رقم الشكل	العنوان	الصفحة
(1-1)	أنواع المواد المتراكبة	4
(2-1)	أنواع تراكيب السلاسل البوليميرية	10
(1-2)	مناطق حافة الامتصاص الاساسية	22
(2-2)	أنواع الانتقالات الالكترونية	28
(3-2)	منطقة طيف (IR) لمجاميع مهمة في البوليمر	30
(4-2)	مخطط اختبار صلادة التحمل لشور	32
(5-2)	منحني (الاجهاد - الانفعال) لمادة بوليميرية	36
(6-2)	مخطط جهاز قياس التوصيلية الحرارية (قرص لي)	38
(1-3)	صورة الميزان الالكتروني الحساس	43
(2-3)	صورة الخلط المغناطيسي	44
(3-3)	مخطط الابعاد الفياسية للعينات	45
(4-3)	مخطط الاختبارات المنجزة	47
(5-3)	صورة جهاز (UV-VIS)	48
(6-3)	مخطط جهاز (UV-VIS)	49
(7-3)	صورة جهاز (FTIR)	49
(8-3)	مخطط جهاز (FTIR)	50
(9-3)	مخطط جهاز اختبار الصلادة	50
(10-3)	صورة جهاز اختبار الشد	51
(11-3)	صورة جهاز قياس التوصيلية الحرارية (قرص لي)	52
(12-3)	صورة جهاز (DSC)	53
(13-3)	مخطط جهاز (DSC)	54
(1-4)	طيف النفاذية كدالة للطول الموجي لاغشية المتراكب (PVA-AlCl <sub>3</sub> ) (بنسب وزنية مختلفة من ملح (AlCl <sub>3</sub> ))	56
(2-4)	طيف النفاذية كدالة للطول الموجي لاغشية المتراكب (PVA-Al(NO <sub>3</sub> ) <sub>3</sub> ) (بنسب وزنية مختلفة من ملح (Al(NO <sub>3</sub> ) <sub>3</sub> ))	56
(3-4)	طيف الامتصاصية كدالة للطول الموجي لاغشية المتراكب (PVA-AlCl <sub>3</sub> ) (بنسب وزنية مختلفة من ملح (AlCl <sub>3</sub> ))	57
(4-4)	طيف الامتصاصية كدالة للطول الموجي لاغشية المتراكب (PVA-Al(NO <sub>3</sub> ) <sub>3</sub> ) (بنسب وزنية مختلفة من ملح (Al(NO <sub>3</sub> ) <sub>3</sub> ))	58

رقم الشكل	العنوان	الصفحة
(5-4)	معامل الامتصاص كدالة للطول الموجي لاغشية المترافق (PVA-AlCl <sub>3</sub> ) بنسب وزنية مختلفة من ملح (AlCl <sub>3</sub> )	59
(6-4)	معامل الامتصاص كدالة للطول الموجي لاغشية المترافق (PVA-Al(NO <sub>3</sub> ) <sub>3</sub> ) بنسب وزنية مختلفة من ملح (Al(NO <sub>3</sub> ) <sub>3</sub> )	59
(7-4)	فجوة الطاقة للانتقال غير المباشر المسماوح لاغشية المترافق (PVA-AlCl <sub>3</sub> ) بنسب وزنية مختلفة من ملح (AlCl <sub>3</sub> )	62
(8-4)	فجوة الطاقة للانتقال غير المباشر المسماوح لاغشية المترافق (PVA-Al(NO <sub>3</sub> ) <sub>3</sub> ) بنسب وزنية مختلفة من ملح (Al(NO <sub>3</sub> ) <sub>3</sub> )	64
(9-4)	طاقة أورباخ لاغشية المترافق (PVA-AlCl <sub>3</sub> ) بنسب وزنية مختلفة من ملح (AlCl <sub>3</sub> )	68
(10-4)	طاقة أورباخ لاغشية المترافق (PVA-Al(NO <sub>3</sub> ) <sub>3</sub> ) بنسب وزنية مختلفة من ملح (Al(NO <sub>3</sub> ) <sub>3</sub> )	70
(11-4)	معامل الانكسار كدالة للطول الموجي لاغشية المترافق (PVA-AlCl <sub>3</sub> ) بنسب وزنية مختلفة من ملح (AlCl <sub>3</sub> )	72
(12-4)	معامل الانكسار كدالة للطول الموجي لاغشية المترافق (PVA-Al(NO <sub>3</sub> ) <sub>3</sub> ) بنسب وزنية مختلفة من ملح (Al(NO <sub>3</sub> ) <sub>3</sub> )	72
(13-4)	معامل الخمود كدالة للطول الموجي لاغشية المترافق (PVA-AlCl <sub>3</sub> ) بنسب وزنية مختلفة من ملح (AlCl <sub>3</sub> )	73
(14-4)	معامل الخمود كدالة للطول الموجي لاغشية المترافق (PVA-Al(NO <sub>3</sub> ) <sub>3</sub> ) بنسب وزنية مختلفة من ملح (Al(NO <sub>3</sub> ) <sub>3</sub> )	74
(15-4)	الجزء الحقيقي لثابت العزل البصري كدالة للطول الموجي لاغشية المترافق (PVA-AlCl <sub>3</sub> ) بنسب وزنية مختلفة من ملح (AlCl <sub>3</sub> )	75
(16-4)	الجزء الحقيقي لثابت العزل البصري كدالة للطول الموجي لاغشية المترافق (PVA-Al(NO <sub>3</sub> ) <sub>3</sub> ) بنسب وزنية مختلفة من ملح (Al(NO <sub>3</sub> ) <sub>3</sub> )	75
(17-4)	الجزء الخيالي لثابت العزل البصري كدالة للطول الموجي لاغشية المترافق (PVA-AlCl <sub>3</sub> ) بنسب وزنية مختلفة من ملح (AlCl <sub>3</sub> )	76
(18-4)	الجزء الخيالي لثابت العزل البصري كدالة للطول الموجي لاغشية المترافق (PVA-Al(NO <sub>3</sub> ) <sub>3</sub> ) بنسب وزنية مختلفة من ملح (Al(NO <sub>3</sub> ) <sub>3</sub> )	76
(19-4)	طيف (FTIR) لاغشية المترافق (PVA-AlCl <sub>3</sub> ) بنسب وزنية مختلفة من ملح (AlCl <sub>3</sub> )	79
(20-4)	طيف (FTIR) لاغشية المترافق (PVA-Al(NO <sub>3</sub> ) <sub>3</sub> ) بنسب وزنية مختلفة من ملح (Al(NO <sub>3</sub> ) <sub>3</sub> )	80
(21-4)	الصلادة لاغشية المترافق (PVA-AlCl <sub>3</sub> ) كدالة للنسبة الوزنية لملح (AlCl <sub>3</sub> )	83

رقم الشكل	العنوان	الصفحة
(22-4)	الصلادة لاغشية المترافقب (PVA- Al(NO <sub>3</sub> ) <sub>3</sub> ) كدالة للنسبة الوزنية لملح (Al(NO <sub>3</sub> ) <sub>3</sub> )	84
(23-4)	منحي (الاجهاد - الانفعال) لغشاء (PVA) النقي	86
(24-4)	منحي (الاجهاد - الانفعال) لاغشية المترافقب (PVA-AlCl <sub>3</sub> ) بنسب وزنية مختلفة من ملح (AlCl <sub>3</sub> )	87
(25-4)	منحي (الاجهاد - الانفعال) لاغشية المترافقب (PVA- Al(NO <sub>3</sub> ) <sub>3</sub> ) بنسب وزنية مختلفة من ملح (Al(NO <sub>3</sub> ) <sub>3</sub> )	88
(26-4)	متانة الشد لاغشية المترافقب (PVA-AlCl <sub>3</sub> ) كدالة للنسبة الوزنية لملح (AlCl <sub>3</sub> )	90
(27-4)	متانة الشد لاغشية المترافقب (PVA- Al(NO <sub>3</sub> ) <sub>3</sub> ) كدالة للنسبة الوزنية لملح (Al(NO <sub>3</sub> ) <sub>3</sub> )	91
(28-4)	الاستطالة حد الكسر لاغشية المترافقب (PVA-AlCl <sub>3</sub> ) كدالة للنسبة الوزنية لملح (AlCl <sub>3</sub> )	91
(29-4)	الاستطالة حد الكسر لاغشية المترافقب (PVA- Al(NO <sub>3</sub> ) <sub>3</sub> ) كدالة للنسبة الوزنية لملح (Al(NO <sub>3</sub> ) <sub>3</sub> )	92
(30-4)	معامل يونك لاغشية المترافقب (PVA-AlCl <sub>3</sub> ) كدالة للنسبة الوزنية لملح (AlCl <sub>3</sub> )	92
(31-4)	معامل يونك لاغشية المترافقب (PVA- Al(NO <sub>3</sub> ) <sub>3</sub> ) كدالة للنسبة الوزنية لملح (Al(NO <sub>3</sub> ) <sub>3</sub> )	93
(32-4)	التوصيلية الحرارية لاغشية المترافقب (PVA-AlCl <sub>3</sub> ) كدالة للنسبة الوزنية لملح (AlCl <sub>3</sub> )	94
(33-4)	التوصيلية الحرارية لاغشية المترافقب (PVA- Al(NO <sub>3</sub> ) <sub>3</sub> ) كدالة للنسبة الوزنية لملح (Al(NO <sub>3</sub> ) <sub>3</sub> )	95
(34-4)	مخطط (DSC) الحراري الوزني لغشاء (PVA) النقي	104
(35-4)	مخطط (DSC) الحراري الوزني لغشاء (PVA) المدعم بنسبة وزنية (1wt%) من ملح (AlCl <sub>3</sub> )	105
(36-4)	مخطط (DSC) الحراري الوزني لغشاء (PVA) المدعم بنسبة وزنية (3wt%) من ملح (AlCl <sub>3</sub> )	106
(37-4)	مخطط (DSC) الحراري الوزني لغشاء (PVA) المدعم بنسبة وزنية (5wt%) من ملح (AlCl <sub>3</sub> )	107
(38-4)	مخطط (DSC) الحراري الوزني لغشاء (PVA) المدعم بنسبة وزنية (7wt%) من ملح (AlCl <sub>3</sub> )	108

رقم الشكل	العنوان	الصفحة
(39-4)	مخطط (DSC) الحراري الوزني لغشاء (PVA) المدعم بنسبة وزنية (9wt%) من ملح ( $\text{AlCl}_3$ )	109
(40-4)	مخطط (DSC) الحراري الوزني لغشاء (PVA) المدعم بنسبة وزنية (11wt%) من ملح ( $\text{AlCl}_3$ )	110
(41-4)	مخطط (DSC) الحراري الوزني لغشاء (PVA) المدعم بنسبة وزنية (13wt%) من ملح ( $\text{AlCl}_3$ )	111
(42-2)	مخطط (DSC) الحراري الوزني لغشاء (PVA) المدعم بنسبة وزنية (15wt%) من ملح ( $\text{AlCl}_3$ )	112
(43-4)	مخطط (DSC) الحراري الوزني لغشاء (PVA) النقي والمدعم بنسبة وزنية (1wt%) من ملح ( $\text{Al}(\text{NO}_3)_3$ )	113
(44-4)	مخطط (DSC) الحراري الوزني لغشاء (PVA) النقي والمدعم بنسبة وزنية (3wt%) من ملح ( $\text{Al}(\text{NO}_3)_3$ )	114
(45-4)	مخطط (DSC) الحراري الوزني لغشاء (PVA) النقي والمدعم بنسبة وزنية (5wt%) من ملح ( $\text{Al}(\text{NO}_3)_3$ )	115
(46-4)	مخطط (DSC) الحراري الوزني لغشاء (PVA) النقي والمدعم بنسبة وزنية (7wt%) من ملح ( $\text{Al}(\text{NO}_3)_3$ )	116
(47-4)	مخطط (DSC) الحراري الوزني لغشاء (PVA) النقي والمدعم بنسبة وزنية (9wt%) من ملح ( $\text{Al}(\text{NO}_3)_3$ )	117
(48-4)	مخطط (DSC) الحراري الوزني لغشاء (PVA) النقي والمدعم بنسبة وزنية (11wt%) من ملح ( $\text{Al}(\text{NO}_3)_3$ )	118
(49-4)	مخطط (DSC) الحراري الوزني لغشاء (PVA) النقي والمدعم بنسبة وزنية (13wt%) من ملح ( $\text{Al}(\text{NO}_3)_3$ )	119
(50-4)	مخطط (DSC) الحراري الوزني لغشاء (PVA) النقي والمدعم بنسبة وزنية (15wt%) من ملح ( $\text{Al}(\text{NO}_3)_3$ )	120

# الفصل الأول

المقدمة والدراسات السابقة

**Introduction****(1-1) المقدمة**

إن كثيرون من التطبيقات التكنولوجية والصناعات الحديثة غير الاعتيادية تحتاج إلى مواد لها مزيج من الخواص، إذ أصبحت الحاجة إلى مواد بديل ذات أستعمالات صناعية متعددة ويجب أن تمتاز هذه المواد البديل بمواصفات وخواص نوعية عالية وذات تكلفة واطئة من الناحية الاقتصادية ولذلك تم إنتاج مواد تعرف بالمواد المترابطة [1].

وعلى الرغم من أستعمال المواد المترابطة منذ القدم لكنها أصبحت في الوقت الحاضر من المواد الضرورية جداً في كثير من التطبيقات الصناعية الحديثة، وأحدثت المواد المترابطة قفزة نوعية ودخلت في حيز الصناعة بشكل يضاهي المواد الأخرى كالفلزات وسبائكها وذلك بسبب امتلاك المواد المترابطة الخواص الميكانيكية والكهربائية والبصرية العالية التي تلائم العديد من الصناعات [2].

وتعد المواد المترابطة ذات أساس البوليمر من المواد الحديثة التي لها دوراً أساسياً في معظم التطبيقات الهندسية والتكنولوجية، إذ أن أستعمال هذه المواد يجب أن يصاحبه امتلاكها متانة جيدة واداءً تقنياً عالياً وذلك كي تقاوم الأجهادات الخارجية المؤثرة والظروف الخارجية المؤثرة بها كدرجة الحرارة والضغط والرطوبة وغيرها، ولهذا السبب أزداد توجه العلماء والباحثين المختصين لتحضير مثل هذه المواد دراستها والتعرف على خواصها تبعاً لخواص المواد الداخلة في تحضيرها وغيرها من العوامل المؤثرة الأخرى [3].

**Composite Materials****(1-2) المواد المترابطة**

بالنظر لامتلاك المواد المترابطة بعض الخواص التي تتناسب مع العديد من التطبيقات الصناعية لهذا أصبحت ذات مكانة مرموقة بين المواد الهندسية المختلفة [4]، وتعرف المواد المترابطة بأنها تلك الأنظمة الناتجة من اشتراك مادتين أو أكثر، إذ تمثل كل مادة طوراً منفصلاً في النظام، وذلك للحصول على مواد جديدة مختلفة في خواصها عن خواص المواد الأولية الداخلة في تحضير المادة المترابطة بحيث تتجاوز الصفات غير المرغوب فيها لتصبح أكثر ملائمة للتطبيقات الصناعية ويقصد بالصفات المرغوبة للمواد المترابطة بأنها عبارة عن صفات المكونات الأساسية للمادة المترابطة التي تعتمد على كل من [5]:

- 1- المادة الأساسية (Matrix Material).
- 2- مواد التدعيم (Reinforcement Materials).
- 3- السطح البيني وقوة التلاصق (Interface and Bonding).

## Materix Material

### (1-2-1) المادة الأساسية

هي أحدى مكونات المادة المتراكبة وتمثل الجزء الهيكلي الذي بدوره يحافظ ويحيط بالعناصر التركيبية الداخلة في تشكيل المادة المتراكبة وهو يعطي الشكل الاجمالي للمنتج النهائي، ووظيفتها الأساسية هي [6]:

- 1- ربط مادة التدعيم.
- 2- تقوم بنقل الحمل الى مواد التدعيم.
- 3- المحافظة على مواد التدعيم من الاضرار التركيبية والظروف الجوية والاكسدة والتآكل والتغيير في درجات الحرارة.
- 4- تحديد درجة الحرارة الخدمية القصوى للمادة المتراكبة.

إن اختيار المادة الأساسية يتم على وفق عوامل عدّة، أهمها كلفتها وسهولة تصنيعها وتجميعها ومدى توافقها مع مواد التدعيم، وأن تكون ذات خواص فيزيائية جيدة مثل التمدد الحراري ودرجة الانصهار والكتافة والتوصيلية الحرارية والكهربائية [7-9].

## Poly Vinyl Alcohol (PVA)

### (1-1-2-1) بولي كحول الفاينيل

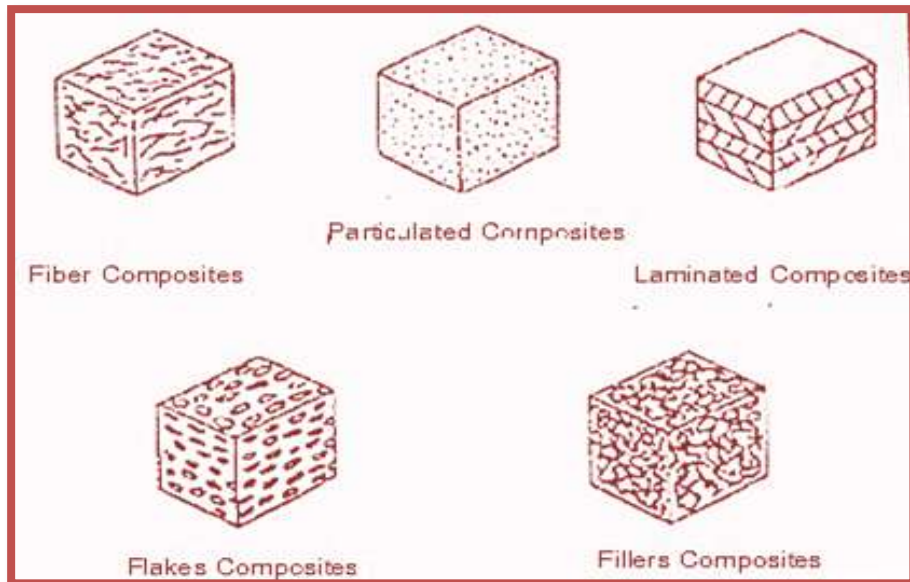
وهو بوليمر صناعي قابل للذوبان في الماء عديم الرائحة، يصنع من خلات الفينيل الاحادية (Vinyl Acetate Monomer) بواسطة اخضاعها بالبلمرة و التحلل الجزيئي، وعن طريق اذابته في الماء والسماح للماء بالتبخر يتكون غشاء شفاف ذو لدانة عالية ومقاومة للتمزق، وان ذوبانية البوليمر تعتمد على درجة التحلل الجزيئي وقابلية الاصرة الهيدروجينية [10]، ويمكن تقسيم بوليمر (PVA) المتوفّر تجاريًا إلى نوعين هما البولي كحول الفاينيل تمام التحلل بالماء (Fully Hydrolyzed PVA) والبولي كحول الفاينيل الذي يتحلل بالماء جزئياً (Partially Hydrolyzed PVA) وذلك اعتماداً على عدد مجاميع الخلات في العمود الفقري للبوليمر. أن الاستقرارية الكيميائية لبوليمر (Acetate Groups) (PVA)

في درجات الحرارة الاعتيادية مع امتلاكه خواص فيزيائية وكيميائية ممتازة أدت الى استعماله في التطبيقات العملية بشكل واسع في الطب ومواد التجميل، الاغذية، الصناعات الصيدلانية والتغليف. ويستعمل بوليمر (PVA) بشكل رئيسي في منتجات الاليف والافلام مثل طلاء الورقية (Paper Coating) [11,12]. ويمتلك أيضاً ميزة التصاق عالية و كثافته تتراوح من ( $1.19-1.31\text{g/cm}^3$ ). وان الكميات الكبيرة من بوليمر (PVA) تكون خطيرة و خصوصا اذا مزجت مع الماء، ويكون غير سام طالما هو غير محروق او ذائب بالنار. ومن مزايا هذا البوليمر المقاومة الميكانيكية العالية [10].

## Reinforcement Materials

### (2-2-1) مواد التدعيم

أن مصطلح الاضافات أو مواد التدعيم يستخدم لوصف المواد التي تتشتت طبيعيا في المادة الاساس دون أن تؤثر في التركيب الجزيئي للمادة الاساس [7]. وتعمل مواد التدعيم أيضاً على تقوية المادة الاساس، وقد تكون سيراميكية أو معدنية أو بوليميرية، وتمتاز بكونها ذات مقاومة عالية (High Strength) ومطليتها عالية أو واطنة حسب نوع المادة والغرض المستعمل لاجله، وتكون أما بشكل دقائق (Partices) أو ألياف (Fibers) أو حشوات (Fillers) أو قشور (Flakes). وتحتفل مصادر مواد التدعيم فمنها ما يأتي من المواد المعدنية الطبيعية أو المواد العضوية وغير العضوية التركيبية [9,5]، والشكل (1-1) يوضح أنواع المواد المتراكبة حسب أشكال مواد التدعيم المستعملة في تصنيعها [13].



الشكل (1-1): أنواع المواد المترابطة [13].

## Aluminium

### (1-2-2-1) الالمنيوم

يعد عنصر الالمنيوم الثالث من اكثـر العناصر وفرة على الارض بعد الاوكسجين والسيلكون ويـمتلك خواص فريدة فهو خفيف الوزن وقوى وكذلك مقاوم للتأكل. ويـرمز له بالرمـز (Al) ويـقع في المـجموعة الثالثـة من الجـدول الدورـي. وان العـدد الذـري له (13)، وهو ذو لـون فـضـي او اـبيـض اـعتمـادـا على نـسبـة الشـوـائب، ويـمـكـن تـصـنـيف الـالـمـنـيـوم إـلـى نـوعـيـن هـما فـائـقـ النـقاـوة وـالـآخـر يـسـمـي الـالـمـنـيـوم التـجـارـي، حـيـث يـمـكـن تحـوـيل النـوعـ الثـانـي إـلـى إـلـأـوـلـى عن طـرـيق تـكرـار التـنقـيـة حـتـى تـصـلـ النـقاـوة إـلـى التـجـارـي، وـكـثـافـة الـالـمـنـيـوم قـلـيلـة تـقـدـر بـنـحو ( $2.7\text{g/cm}^3$ ) وـهـو ذـو انـعـكـاسـيـة وـتـوـصـيـلـيـة كـهـرـبـائـية وـحـرـارـيـة عـالـيـة [14].

### (3-2-1) السطـحـ البـيـنـيـ وـقـوـةـ التـلاـصـقـ (التـرابـط)

#### Interface and Bonding Force

أن مـصـطـلح (Interface) يـعـرـف عـلـى أـنـه سـطـح يـكـوـن منـطـقة مـأـلـوفـة وـمـعـروـفة إـلـى حدـ ما وـيـشـابـهـ هـذـا سـطـحـ فـيـ العـدـيدـ مـنـ النـواـحيـ لـلـحـدـودـ الـحـبـيـبـيـةـ الـمـوـجـوـدـةـ فـيـ الـمـوـادـ ذـاتـ الطـورـ الـوـاحـدـ، أيـ بـمـعـنىـ أنـ الـمـادـةـ الـاـسـاسـ وـمـوـادـ التـدـعـيمـ كـلـ عـلـىـ حـدـ تـمـثـلـ طـورـاـ بـحدـ ذاتـهـ [15]ـ،ـ أـنـ سـلـوكـ الـمـادـةـ الـمـتـرـابـطةـ

هو نتيجة لاتحاد سلوك كل من المادة الاساس ومواد التدعيم والسطح البيني بينهما، لذا من المهم أن نشير الى أهمية منطقة السطح البيني لاي نظام متراكب [2].

تقاس قوة السطح البيني بوساطة اختبارات بسيطة مثل اختبار الانحناء ثلاثي النقط او اختبار اجهاد القص بين الطبقات (ILSS) (Inter Laminar Shear Stress)، أن سلوك السطح البيني يؤثر على كيفية فشل المادة والشغل اللازم لتشققها وتمزقها، والتصاق السطح البيني هو الالتصاق الذي تكون به السطوح البينية عند الاطوار او العناصر محافظة على نفسها بوساطة القوى بين الجزيئات وتشابك السلسلة او كليهما عبر السطح البيني [8]. ويؤدي تركيب خواص السطح البيني دوراً مهما في تحديد الخواص الفيزيائية والميكانيكية للمواد المتراكبة، حيث أن الاجهاد الذي يسلط على المادة الاساس ينتقل عبر السطح البيني الى مواد التدعيم كالالياف والدقائق [16]، ويعتمد السطح البيني على نوع الرابط (Bond) بين المادتين، ومن اهم انواع ربط السطح البيني [17]:

### **Mechanical Bonding**

#### **(1-3-2-1) الرابط الميكانيكي**

يعتمد الرابط الميكانيكي على مقدار التشابك لكلا المادتين (مادة الأساس والتدعيم)، فقد تحتوي احدى المادتين على ثقوب او شقوق او نتوءات تتغلغل او تتدخل بالمادة الأخرى، أن خشونة السطح بين المادتين وتأثير الاحتكاك تعدّ من العوامل المهمة التي تؤثر على هذا النوع من الرابط وبهذا يكون الرابط الميكانيكي ضعيفاً بصورة عامة.

### **Chemical Bonding**

#### **(1-3-2-2) الرابط الكيميائي**

وهو اقوى انواع الرابط للسطح البيني، ولاجل الحصول على سطح بیني ذو متانة تقارب متانة المواد المتراكبة يتم اللجوء الى هذا النوع من الرابط، ومن اهم انواعه هو ربط التفاعل (Reaction Bonding) ويحدث هذا النوع نتيجة انتقال الجزيئات او الذرات من مادة إلى أخرى.

## (3-1) تصنیف المواد المترکبة

**Classification of Composite Materials**

## (1-3-1) تصنیف المترکبات حسب نوع المادة الأساس

**Classification of Composites According to Matrix Material****Metal Matrix Composites (MMCs<sub>S</sub>)****1- المترکبات ذات الأساس المعدني**

تعد المترکبات المعدنية مواد مترکبة ذات أساس سبائك أو معدني نقي، إذ أن هذه المترکبات تدعى بمواد على هيئة (دقائق أو الیاف أو شعيرات) وذلك لأجل الحصول على مواد مترکبة ذات خصائص ميكانيكية جيدة ملائمة للتطبيقات المختلفة. والمادة الأساس في هذا النوع عبارة عن مادة فلزية ذات مطالية (Ductile) وتصنیع هذه المواد المترکبة إما بتصهر المادة الأساس ومزجها مع طور التدعیم او استخدام مسحوق للمادة الأساس ومزجها مع مادة التدعیم وكبسهما معًا في قوالب خاصة او بالطلاء الكهربائي لمادة التدعیم بواسطة المادة الأساس. إذ تمتاز المواد المترکبة المعدنية بالكتافة العالية وتحمل حراري عالي ومقاومة عالية ومعامل تمدد حراري واطي ومتانة عالية وموصلية حرارية عالية فضلاً عن استقرارية بالأبعاد، ومن مساوئها أنها ذات كلفة اقتصادية عالية [18,2].

**Ceramic Matrix Composites (CMCs<sub>S</sub>)****2- المترکبات ذات الأساس السيراميكى**

المادة الأساس في هذا النوع من المترکبات عبارة عن مادة سيراميكية، عادة يتم التدعیم فيها باستعمال الحبيبات او الالیاف القصيرة او مايسمي (Whiskers) مثل الالیاف المصنعة من كاربید السیلکون ونترید البورون. وتمتاز المترکبات السيراميكية بأن لها القدرة على تحمل درجات الحرارة العالية، الامر الذي مكّنها أن تستعمل في تطبيقات تتميز بأنها تحمل درجات حرارة عالية جداً ولها القابلية على تحمل الاجهادات العالية وكذلك مقاومتها للتآكسد عالية ومتانة عالية أيضاً وذات معامل تمدد حراري واطي [18,2].

**Polymers Matrix Composites (PMCs<sub>S</sub>)****3- المترکبات ذات الأساس البوليمري**

تعد المواد المترکبة ذات الأساس البوليمري واحدة من اکثر أنواع المواد المترکبة شيوعاً، فقد زاد الاهتمام بهذه المواد بشكل كبير في الآونة الأخيرة وذلك لما تمتاز به هذه البوليمرات من خفة وزن ومتانة عالية، اذ استعملت البوليمرات في هذا النوع من المواد المترکبة كمادة أساس وتدعم بمختلف الالیاف الطبيعية والصناعية مثل الیاف الكاربون والنایلون وغيرها وتمتاز هذه المواد

المتراكبة بأنّ مقاومتها للصدمة والصلادة عالية، يمكن تشكيلها بأشكال واحجام مختلفة، تقاوم الرطوبة والمواد الكيميائية، عازلة جيدة للحرارة والكهربائية وكلفتها الاقتصادية واطئة لكون كلفة البوليمر واطئة [8].

### (2-3-1) تصنیف المتراكبات حسب نوع مادة التدعیم

#### Classification of Composites According to Reinforcement Material

##### Fibers Reinforced Composite Materials

##### 1- المواد المتراكبة المدعمة بالألياف

إن التدعیم بالألياف له دور كبير في تحسين الخواص الميكانيكية بشكل عام وفي زيادة مقاومة الشد بشكل خاص، والسبب يعود إلى أن الألياف تحمل الجزء الأكبر من الحمل الخارجي المسلط بسبب مقاومتها العالية، في حين أن المادة الأساسية ستعمل على نقل الإجهاد وإيصاله إلى الألياف [9]، والالياف تتكون من نوعين إما بشكل ألياف طويلة أو بشكل ألياف قصيرة ضمن المادة الأساسية وترص بالاتجاه نفسه او بشكل عشوائي، وتكمن أهمية التدعیم بالألياف بأنها تزيد من مقاومة الشد ومقاومة الصدمة وتحسن من الخواص الميكانيكية بشكل عام، أن مادة الليف يمكن أن تكون بشكل الیاف فازية مثل اسلاک النحاس والتكتستن، او الیاف سيراميكية مثل الیاف الزجاج وكاريبيد السيليكون، او بوليمرية مثل الیاف الكاربون [13].

##### 2- المواد المتراكبة المدعمة بالطبقات

##### Laminates Reinforced Composite Material

مادة التدعیم تتتألف من طبقات (Layers) من مواد مختلفة وهي في الأقل ما بين مادتين مختلفتين ترتبط سوية، تتكون المادة المتراكبة الطبائقية من أطوار مرتبة على وفق نسق هندسي صمم حسب الهدف منه، إن استخدام هذا النوع من المواد المتراكبة يسمح للمصممين باستعمال أفضل الخواص لكل طبقة من أجل الحصول على مادة متراكبة ذات صفات جيدة منها مقاومة البلى (Wear Strength)، الوزن الخفيف (Light Weight)، مقاومة التآكل (Stiffness)، المتانة (Toughness)، الجسامة (Corrosion Strength) والعزل الحراري والصوتي وغيرها من الصفات التي يمكن التحكم بها عن طريق التدعیم بطبقات من مواد متعددة، حيث يمكن أن تعطي هذه المواد تحسناً واختلافاً كبيراً في الخواص الناتجة مقارنة بخواص أطوارها الداخلية وقد تحتوي الطبقة المنفردة على مكونات الطبقة الأخرى نفسها كما قد تكون مغایرة تماماً [9,19].

## 3- المواد المترابكة المدعمة بالجسيمات

**Particles Reinforced Composite Materials**

يوجد صنفان لهذه المترابكات:

**True Particles Reinforcing****a- التدعيم بالدقائق الفعلية**

هذا النوع من التدعيم يكون مشابهاً للمواد المترابكة المدعمة بالتشتت، ولكنها تختلف عنها في كون قطر الدقائق فيها اكبر من (1 Micron) والتراكيز الحجمية تتراوح من (20-40%)، التدعيم بالدقائق الفعلية يعتمد على قوة الترابط بين المادة الأساس والدقائق، وان هذه الدقائق يجب ان تكون موزعة بالتجانس داخل المادة الأساس للحصول على مواد مترابكة متجانسة وهي على أنواع وأشكال مختلفة فقد تكون كروية أو قشرية أو خطيئة، ويعتمد تحسين خواص المواد المترابكة على خواص الحشوارات نفسها، ومن هذه الدقائق الفعلية استخدام دلائق الكاربون لتدعم المطاط وكريات الزجاج (Glass Spheres) التي لها استخدام واسع مع البوليمرات لإنتاج مترابكات اقوى تكون ذات صلابة اعلى من البوليمرات وحدها [20,21].

**b- المواد المترابكة المدعمة بالتشتت****Dispersion Reinforced Composite Materials**

هذا النوع من المواد المترابكة يكون ناتجاً عن توزيع دلائق مستمرة ذات أحجام صغيرة في المادة الأساس أو عن طريق التشتت، وتعرف بأنها دلائق صغيرة تعمل عند درجات الحرارة العالية على إعاقة حركة الإنخلاعات وهي ذات اقطار بحدود (0.1 Micron)، أن توزيع الدلائق المستتبة في المادة الأساس للمادة المترابكة يكون بشكل عشوائي لذلك تكون مقاومة المادة وخواصها الأخرى متماثلة عادة في جميع الاتجاهات، وتنميذ هذه الدلائق باستقرارها الحراري العالي وصلادتها وعدم قابليتها للذوبان مع المادة الأساس وتتصف هذه الدلائق بنسبة وزنية لا تتجاوز (15%) من وزن المادة المترابكة ككل، ومثال على هذه الدلائق هو أكسيد الفلزات مثل أوكسيد الألمنيوم ( $Al_2O_3$ ) [22].

**Polymers****(4-1) البوليمرات**

تعرف بأنها مواد عضوية تتكون من جزيئات طويلة تتكرر لنوع واحد أو عدة أنواع من وحدات صغيرة تدعى المونومير (Monomer) الذي يمثل الوحدة الأساسية لبناء البوليمر، وتمتاز البوليمرات بخصائص كثيرة منها [23,24]:

1- سهولة القولبة، أي أنها لا تتطلب إلى معالجات لاحقة.

2- ذات كثافة قليلة ومقاومة نوعية عالية ومقاومة عالية للتأكل جعلها مهمة جداً للتطبيقات التي لا تتطلب مقاومة ميكانيكية عالية جداً.

3- قليلة الموصلية الحرارية، ومعامل تمددها الحراري أقل بكثير من المعادن.

4- امتصاص رطوبة واطئ وصفات كهربائية جيدة.

5- تمتاز بثبات اللون وذات شفافية لذا تستعمل كبديل للزجاج في بعض التطبيقات.

ولكن مع كل هذه المميزات إلا أن لها بعض المساوئ في استعمالاتها من أهمها أنها ذات معامل مرنة قليل ومتانة واطئة، تعمل في درجات حرارة واطئة، وأن الأواصر التي تربط بين جزيئات البوليمر هي بشكل عام أواصر تساهمية (Covalent Bonds)، فضلاً عن وجود قوى جزيئية داخلية تسمى بقوى فاندرفالز (Vander Waals Force)، ويكون ارتباط جزيئات البوليمر مع بعضها بعضاً مكونة سلسلة، لذلك يمكن تقسيم البوليمرات بالاعتماد على شكل السلسلة [7,25]:

**1- البوليمرات الخطية (Linear Polymers):** الوحدات التركيبية في هذه البوليمرات مرتبطة مع بعضها بشكل خطي متواصل، وقوى الربط بين الأواصر هي قوى ربط فاندرفالز، وتكون هذه البوليمرات ذات قابلية على التبلور أكثر من الأصناف البوليمرية الأخرى وتمتاز بخواصها الميكانيكية المرغوبة مثل: بولي أثيلن والناليون وبولي كلوريد الفينيل وبولي كحول الفاينيل.

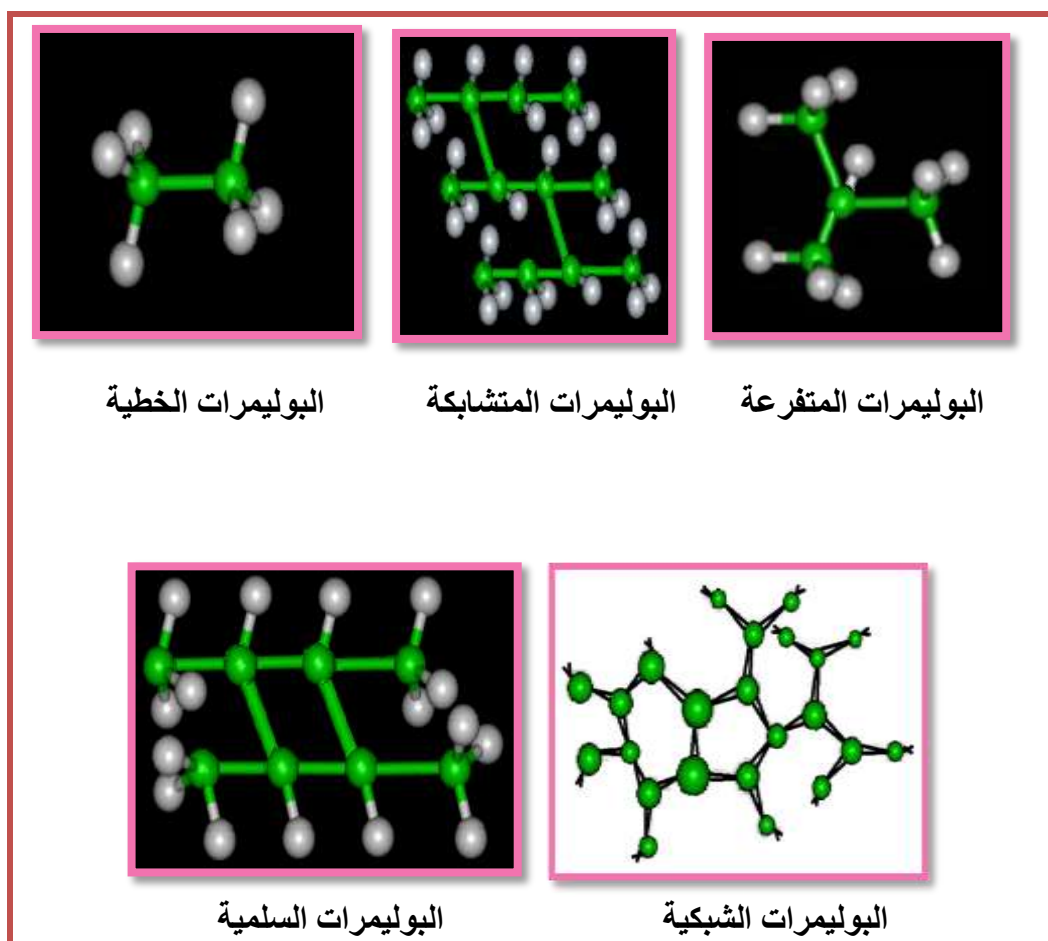
**2- البوليمرات المتشابكة (Cross-linked Polymers):** قوى الربط التي تربط السلسل في هذه البوليمرات هي قوى الربط التساهمية، وتحقق في بعض الأحيان من خلال إضافة ذرات أو جزيئات التي تقوم بدورها بتشكيل الربط التساهمي بين السلسل، وأن العديد من أنواع المطاط يمتلك هذا التركيب كمثال عليه، وأن لدرجة التشابك تأثير كبير على صفات البوليمر الميكانيكية والفيزيائية فباز ديد درجة التشابك تقل الصفات المطاطية.

**3- البوليمرات المتفرعة (Branched Polymers):** هي البوليمرات التي تختلف من تفرعات جانبية تتشابه في تركيبها وترتبط مع السلسلة الرئيسية، هذه التفرعات بالامكان حدوثها

في البولимерات الخطية او اي نوع اخر من البولимерات، من امثلتها البولي ستايرين والبولي بروبلين.

**4- البولимерات السلمية (Ladder Polymers):** تتألف هذه البولимерات من سلسلتين اثنتين من البولимерات الخطية المربوطة بصورة منتظمة وتكون البولимерات السلمية اقل صلادة من نظيرتها الخطية.

**5- البولимерات الشبكية (Network Polymers):** وهي شبكات ثلاثية الابعاد والتي تحتوي على درجة تشابك عالية لتعطي البولимерات صلادة وقوه مثل اللدائن المتصلة بالحرارة (Thermosetting Plastic) التي تتحلل او تحترق بدلا من انصهارها. وتكون ذات ثلاث مجاميع فعالة (TriFunctional Mers) ومثال عليها: الايبوكسي و الفينول فورمالديهيد [23,24].



الشكل (2-1): أنواع تركيب السلسل البوليميرية [24].

**Classification of Polymers****(5-1) تصنیف البولیمرات**

تصنیف البولیمرات الی تصنیفات عدیدة وهي:

**Classification Based on Sources****أولاً: بالاعتماد على مصادر البولیمرات**

وتشمل [25]:

**1- البولیمرات الطبیعیة (Natural Polymers):** تعتبر هذه البولیمرات منتجات طبیعیة نباتیة او حیوانیة ومن الامثلة على ذلك: السلیلوز، النشا، الصمغ العربی، القطن، المطاط الطبیعی، الحریر، الصوف، الشعر، الجلد وغيرها، أن صعوبة الحصول على هذه البولیمرات تعود الى كلفتها العالیة ولها استخداماتها محدودة.

**2- البولیمرات المصنعة (المحضرة) (Synthetic Polymers):** وهذه تشمل البولیمرات التي يجري تحضیرها من مركبات کیمیائیة بسيطة وتمثل هذه البولیمرات الاغلبیة العظمی من البولیمرات المهمة صناعیا، وتشمل البلاستیکات المختلفة والمطاط الصناعی والالیاف الصناعیة وغيرها.

**3- البولیمرات الطبیعیة المحورة (Modified Natural Polymers):** وتشتمل هذه على بعض البولیمرات الطبیعیة التي تجري عليها بعض التحویرات اما بتغیر تركیبها کیمیائی کإدخال مجامیع جديدة من البولیمر، او تغیر تركیب بعض المجامیع الفعالۃ الموجودة فيه او بتطعیم بولیمر طبیعی على بولیمر صناعی وبالعكس ومن الامثلة على ذلك: خلات السلیلوز والقطن المطعم بآلیاف الاکریلیک.

**ثانياً: بالاعتماد على میکانیکیة التفاعل (التصنیف کیمیائی للبولیمرات)**

**Chemical Classification of Polymers Based on the Reaction Mechanism**

وتشمل [25]:

**1- بلمرة الاضافة (Addition Polymerization):** وهي بلمرة ذات النمو المتسلسل (Chain Growth)، في هذا النوع من البلمرة ترتبط المونومیرات (Monomers) مع بعضها لتشكيل البولیمر بصورة متواجدة ولا يكون مصحوبا بنواتج ثانویة، ويمكن تغیر بلمرة الاضافة بوجود مادة حافظة او عوامل مساعدة [26]. وتكون المونومیرات المستخدمة عادة لتحضیر هذه

البوليمرات غير مشبعة (Unsaturated) ويتم الارتباط بين جزيئات المونومير نتيجة لانفاس الأواصر المزدوجة الموجودة فيها اما بشكل جذور حرة او بشكل أيونات.

2- بلمرة التكثيف (Condensation Polymerization): وهي بلمرة ذات النمو الخطوي (Step Growth)، تتكون هذه البوليمرات عن طريق تكثيف المونوميرات الحاوية على مجموعتين فعاليتين (Functional Groups) او أكثر، ويحدث التفاعل على شكل مراحل أو خطوات ويكون التفاعل مصحوبا بنواتج ثانوية [26].

### ثالثاً: بالاعتماد على التصنيف التكنولوجي للبوليمرات

#### Classification of Polymers Based on Technological Aspects

وتشمل [25]:

1- **البوليمرات المطاوعة للحرارة (Thermoplastics Polymers)**: وهي بوليمرات ذات سلاسل طويلة بقطر صغير أو سلاسل خطية (Linear Chains) والتي تتغير صفاتها بتأثير الحرارة فالحرارة تحولها الى منصهرات وعندما تقترب درجة الحرارة من درجة الانتقال الزجاجي ( $T_g$ ) تصبح مرنة ثم تزداد مرونتها وتتحول الى منصهرات لزجة وعند خفض درجة الحرارة تسترجع حالتها الأصلية، أي امكانية اعادة تدويرها واستخدامها اكثر من مرة مثل بولي اثيلين، بولي ستيرين، بولي بروبيلين والنابليون وغيرها من المواد، وتميز بأنها ذات قابلية للتمدد والاستطالة، صلادتها عالية و مقاومتها عالية للاجهادات والكسر.

2- **البوليمرات المتصلة حرارياً (Thermoset Polymers)**: وهي من البوليمرات ذات الارتباط الشابكي، ومعظم هذه المواد تكون بشكل راتنجات سائلة تتحول الى مواد صلبة اكثر هشاشة من البوليمرات المطاوعة للحرارة بالشبك الكيميائي والتي يمكن الحصول عليها بدرجة حرارة معينة والتخلص من الاجهادات ومن ثم الحصول على افضل النتائج، وتميز بالاستقرار الحراري العالي بسبب الربط الشابكي الكثيف بين الجزيئات، وهي غير بلورية وذات درجات انتقال زجاجي عالية، لاتذوب في جميع المذيبات ولكنها تميل الى الانفاس في المذيبات القوية وتكون ربيبة التوصيل للحرارة والكهرباء [26]، مثل راتنجات البولي استر وراتنجات الايبوكسي.

**3- البولимерات المرنة المطاطية (Elastomers Polymers):** وهي من البولимерات ذات السلاسل الجزيئية الخطية ولكن مع وجود تشابك قليل بين السلاسل. وتصنف البولимерات المطاطية حسب تركيب السلاسل البوليمرية إلى وجود ذرة كاربون فقط في العمود الفقري للسلسلة البوليمرية مثل المطاط الطبيعي أو سلاسل بوليمرية بدون وجود ذرات الكاربون في العمود الفقري مثل ذرة الاوكسجين كما في أوكسيد بولي بروبلين، وتمتلك البولимерات المرنة صفتين مهمتين هما [27]:

- 1- درجة انتقالها الزجاجي تكون أوطى من درجة حرارة الاستعمال.
- 2- تكون جزيئات موادها ذات التواء عال جداً.

**4- الالياف (Fibers):** يتميز هذا الصنف من البولимерات بمواصفات خاصة كالقوة والمتانة وقابليتها على التبلور ويجب ان تكون السلاسل البوليمرية قادرة على الترتيب بأتجاه محور الليف لكي تكسبها القوة والمتانة ويجب ان تكون السلاسل البوليمرية خطية وليس متفرعة لكي يمكنها ان تترافق بأتجاه محور الليف. من أهم بولимерات هذا الصنف هي النايلون (بولي اميدات) والبولي استرات الخطية والاكريليك والبولي بروبلين وغيرها.

## Literature Survey

### (6-1) الدراسات السابقة

❖ قام (Krkic et al.) عام (2007) بدراسة وتوليف المتراكبات النانوية لـ (Ag-PVA) مع النسب المختلفة للطور غير العضوي، وحضرت المتراكبات النانوية لـ (Ag-PVA) بأختزال أيونات الفضة ( $\text{Ag}^+$ ) المائية في محلول (PVA) بواسطة أشعاع كاما. أن مطياف تحويلات فوريير للاشعة تحت الحمراء (FTIR) يشير إلى أن جسيمات (Ag) النانوية المحسوسة تتفاعل مع سلسلة (PVA) عند مجموعة الهيدروكسيل (OH). ويقل الطور البلوري لـ (PVA) مع زيادة تركيز الطور غير العضوي. تم التحقق من الخواص البصرية بواسطة مطياف (UV-VIS) للمحاليل الغروية ولا غشية المتراكبات النانوية، وتقل مقاومة الحرارية بزيادة تركيز الطور غير العضوي المرتبط بأمتصاصية سلاسل البوليمر لسطح جسيمات (Ag) النانوية والتي كشفت بواسطة المسح التفاضلي التبايني (DSC)، المجهر الإلكتروني النافذ (TEM) وحيود الأشعة السينية (XRD)، وأظهرت هذه الدراسة أيضاً أن جسيمات (Ag) النانوية هي مكعبه التركيب البلوري [28].

❖ درسا (Labidi and Djebaili) عام (2008) الية أمتصاص (PVA) على (الكلسيات / الماء) يوجد أوليت الصوديوم (SOI)، حيث حضرت الاغشية بطريقة الصب، وكذلك درس سلوك الامتصاص لـ (PVA) على محلول كarbonات الكلسيوم ( $\text{CaCO}_3$ ) تحت تأثير (SOI)، حيث

حضرت الاغشية بطريقة الصب أيضاً، التفاعل تحقق بأمتصاص كمية من طيف تحويل فورير للأشعة تحت الحمراء (FTIR)، حيد الاشعة السينية (XRD) وجهد (Zeta)، لوحظ زيادة امتصاصية (PVA) بوجود (SOI) وحصل ذلك بسبب الشد السطحي المعقد للبوليمير وهذا الشد السطحي أثر على تركيب الطبقات الماصة للبوليمير وهذه الحقيقة أثبتت من خلال قياسات الامتصاصية بحساب السمك لطبقات الامتصاص للبوليمير على سطح ( $\text{CaCO}_3$ ) بوجود أو بغياب (SOI)، أن التفاعل بين ايونات الاوليت و(PVA) هو تفاعل فيزيائي (بواسطة الاصرة الهيدروجينية) [29].

❖ قام (Al Wash) عام (2010) بدراسة الخواص البصرية لاغشية بولي كحول الفاينيل النقية والمدعمة بكبريتات الالمنيوم والمحضرة بطريقة الصب، حيث قاس فجوة الطاقة للانتقال المباشر، إذ تم فحص التغيير في فجوة الطاقة وطاقة التشغيل ضمن مدى الاطوال الموجية (nm 700-200) ودرجة حرارة تتغير بمعدل  $^{\circ}\text{C}$  (25-140) على التوالي. أن فجوة الطاقة تقل بزيادة تركيز ملح كبريتات الالمنيوم وأن طاقة التشغيل للانتقال المباشر تم حسابها باستخدام طريقة حافات أورباخ، ووجد أنها تزداد بزيادة تركيز ملح كبريتات الالمنيوم وتقل بزيادة درجة الحرارة [30].

❖ درس (Nasar et al.) عام (2010) الخواص الحرارية والmekanikie والتركيبيه للمتراببات البوليميرية ((PVA)) مع المواد غير العضوية) المحضرة بطريقة الصب، إذ تم اختيار نظامين من كبريتات الصوديوم وكبريتات الليثيوم بتركيز مختلف. حيث تم تنقية الاغشية وتجفيفها في درجة حرارة الغرفة، ووجد أن التوصيلية الحرارية لكلا النظيمين يعتمد على الطبيعة العالية لتركيز الاملاح المضافة للمتراببات الصناعية. إذ أن التوصيلية الحرارية لـ (كبريتات الصوديوم-PVA) و (كبريتات الليثيوم-PVA) يقل مع زيادة التركيز للأملاح المضافة، وايضا حللت المتراببات بواسطة حيد الاشعة السينية (XRD) حيث أوضحت القواعد التركيبية لها. ودرست الخواص الميكانيكية مثل متانة الشد ومعامل يونك وأظهرت النتائج أن متانة الشد تقل مع زيادة التركيز للأملاح المضافة لكلا النظيمين [31].

❖ قاما (Chan and Zhang) عام (2010) بالتحقق من تفاعل الاصرة الهيدروجينية لخلط (PVA/PAA) المحضر بطريقة الصب وتأثير هذا التفاعل على الخواص الفيزيائية الريولوجية لهذا الخليط، حيث أوجدت النتائج أن لزوجة محلول تزداد مع زيادة تركيز (PAA) واعلى لزوجة يمكن الحصول عليها عندما يكون معدل (PVA/PAA) عند (30-70)، وتم التحقق من قابلية الخلط

بين جزيئات الاصرة الهيدروجينية لـ (PVA/ PAA) بواسطة المسعر الحراري التبايني (DSC)، تحويل فوري للأشعة تحت الحمراء (FTIR) والقياسات الميكانيكية. وأظهرت النتائج أن مثانة الشد ازدادت من (89.31 MPa) إلى (119.8 MPa) ومعامل يونك تحسن فوق (300%) مع زيادة تركيز (PAA) مقارنة مع أغشية (PVA) النقية [32].

❖ درسا (Abdullah and Hussen) عام (2011) الخواص البصرية لاغشية (PVA) المدعمة ببيوديد الصوديوم بتركيز مختلف والمحضر بطريقة الصب، وأجريت قياسات الامتصاص البصري لجميع العينات في درجة حرارة الغرفة وضمن مدى الأطوال الموجية nm (190-1100). وقد شملت الدراسة التغيرات في المعاملات البصرية وبما في ذلك عرض الذيل للحزمة وجدة الطاقة لكافة العينات. ولقد وجد أن الامتصاص البصري ناتج عن الانتقالات المباشرة وغير المباشرة، وإن قيمة وجدة الطاقة تتغير إلى الحدود الدنيا مع زيادة تركيز بيوديد الصوديوم ولكل الانتقالات. وقد تمت دراسة طيف الامتصاص بعد تلدين العينات بدرجة حرارة (80°C) ولمدة ثلاثة ساعات. إضافة على ذلك أظهرت الدراسة أن معامل الانكسار المعد يعتمد على تركيز التدعيم [33].

❖ قام (Rabee et al.) عام (2012) بتحضير ودراسة الخواص البصرية للمترافق (AlCl<sub>3</sub> . 6H<sub>2</sub>O) المحضر بطريقة الصب، إذ تم دراسة تأثير إضافة (AlCl<sub>3</sub> . 6H<sub>2</sub>O) على الخواص البصرية لمحلول (PVA) بنسب وزنية wt% (0,4,6,8)، واظهرت النتائج بأن الامتصاصية تزداد بزيادة تركيز (AlCl<sub>3</sub> . 6H<sub>2</sub>O) وكذلك يزداد كلاً من معامل الانكسار، ثابت العزل البصري بجزئه الحقيقي، زاوية بروستر ومعامل الخمود بزيادة النسبة الوزنية لـ (AlCl<sub>3</sub> . 6H<sub>2</sub>O). [34]

❖ حضر (Chopra et al.) عام (2013) أغشية لخلائط (Starch / PVA) مع إضافة جزيئات السليكا (SiO<sub>2</sub>) النانوية، حيث حضرت الإغشية بطريقة الصب وبنسبة 40% Starch : 60% PVA مع تركيز مختلف من جزيئات (SiO<sub>2</sub>) النانوية لتحسين خواص الخليط. أكدت تحليلات المجهر الإلكتروني النافذ (TEM) أن جزيئات (SiO<sub>2</sub>) النانوية تكون بشكل كروي وتقع ضمن المدى (3.2nm - 3.8nm)، تم دراسة الخواص الميكانيكية لاغشية (مقاومة الشد ونسبة الاستطالة حد الكسر)، وكانت مقاومة الشد لاغشية (PVA) (14.28 MPa) أعلى من أغشية الخليط وعند إضافة جزيئات (SiO<sub>2</sub>) النانوية إلى خلائط (Starch / PVA) زادت قوة الشد للخليط مع الزيادة في محتوى جزيئات (SiO<sub>2</sub>) النانوية، وكانت قوة شد أغشية الخليط التي تحتوي على جزيئات (SiO<sub>2</sub>) النانوية عند تركيز (2wt%) هي (10.456 MPa) ولكن تبقى هذه القيمة

أقل من قيمة قوة الشد لاغشية (PVA)، وأظهرت النتائج أيضاً تناقصاً في الاستطالة حد الكسر مع زيادة في محتوى جزيئات ( $\text{SiO}_2$ ) النانوية وكانت الاستطالة حد الكسر (110%) لخلط [35] (Starch / PVA).

❖ قام (Sirait et al.) عام (2014) بدراسة الخواص الميكانيكية والحرارية لمترافق نانوي (ZnS) و(PVA)، حيث تم تحضير المترافق بطريقة (Sol-gel)، حيث تم إذابة كلاً من الجسيمات النانوية (ZnS) و(PVA) مع الماء المقطر وخلطهما على الخلط المغناطيسي بسرعة زاوية (500 rpm) ومعدل درجة حرارة (80°C)، المحلول تشكل بشكل جل (هلام) وتم وضعه في قوالب وتبريده طبيعياً، وأخذت نسب خلط مختلفة لمترافق (PVA:ZnS) وهي (100:0)%، (99:1)%، (98:2)%، (97:3)%، وأظهرت النتائج لاختبارات الميكانيكية أن أقصى معدل لمتانة الشد هو MPa (34.390) والذي تم الحصول عليه عند نسبة خلط للمترافق (100:0)% وأقصى معدل للاستطالة حد الكسر هو (430.81%) والذي تم الحصول عليه عند نسبة خلط للمترافق (99:1)% وأقصى قيمة لمعامل المرونة للمترافق هي MPa (190.73) عند نسبة خلط (98:2)%، وأظهرت نتائج اختبار المسعر الحراري التبايني (DSC) أن أقصى درجة انصهار تم الحصول عليها للمترافق النانوي (PVA:ZnS) هي عند نسبة خلط (97:3)% وكانت درجة الحرارة عند (224.39 °C) [36].

❖ درس (Pu-you et al.) عام (2014) خواص (PVA) الملنن بواسطة الغليسرين، حيث حضرت الاغشية بواسطة طريقة الصب باستخدام ملنن الغليسرين، وحلل التفاعل بين (PVA) والغليسرين بواسطة مطياف تحويل فوريير للاشعة تحت الحمراء (FTIR)، التحليل الحراري الوزني (TGA) والمسح التفاضلي التبايني (DSC)، أن الخواص الحرارية والخواص الميكانيكية لـ (PVA) والملنن بالغليسرين درست على التوالي. ووجد أن معدل درجة الانتقال الزجاجي ودرجة التحلل الحراري لـ (PVA) الملنن أقل من (PVA)، وإن (PVA) الملنن أقل متانة وأعلى استطالة حد الكسر وأعلى قابلية ذوبانية [37].

❖ قام (Luo et al.) عام (2015) بدراسة تأثير نترات الالمنيوم ( $\text{Al}(\text{NO}_3)_3 \cdot 9\text{H}_2\text{O}$ ) على الخواص البلورية والحرارية والميكانيكية لاغشية (PVA) المحضرة بطريقة الصب، وأن التفاعل بين ( $\text{Al}(\text{NO}_3)_3 \cdot 9\text{H}_2\text{O}$ ) و (PVA) تم فحصه بواسطة مطياف تحويل فوريير للاشعة تحت الحمراء (FTIR) وأن تأثير ( $\text{Al}(\text{NO}_3)_3 \cdot 9\text{H}_2\text{O}$ ) على الخواص البلورية والحرارية

والميكانيكية لـ (PVA) درست بواسطة حيود الاشعة السينية (XRD)، المسرع الحراري التبايني (DSC)، التحليل الحراري الوزني (TGA) وأختبار الشد على التوالي. وتشير النتائج الى أن  $\text{Al}(\text{NO}_3)_3 \cdot 9 \text{H}_2\text{O}$  تستطيع ان تتفاعل مع مجموعة الهيدروكسيل لسلسلة (PVA). من خلال حيود الاشعة السينية (XRD) درست بلوريه (PVA) ووجد أنها تتحطم بواسطة  $\text{Al}(\text{NO}_3)_3 \cdot 9 \text{H}_2\text{O}$ ، وأظهرت دراسة ان المسرع الحراري التبايني (DSC) أن  $\text{Al}(\text{NO}_3)_3 \cdot 9 \text{H}_2\text{O}$  تستطيع أن تزيد من مرونة سلاسل (PVA) وتقلل درجة الانتقال الزجاجي ( $T_g$ ) لـ (PVA). أما اختبار الشد أظهر انه بعد إضافة  $\text{Al}(\text{NO}_3)_3 \cdot 9 \text{H}_2\text{O}$  فأن مثانة الشد لاغشية (PVA) تقل مع زيادة بالاستطالة حد الكسر، واظهرت جميع النتائج أن  $\text{Al}(\text{NO}_3)_3 \cdot 9 \text{H}_2\text{O}$  أظهرت كفاءة عالية على أغشية (PVA) بعد التلدين [38].

❖ درس (Ravindra et al.) عام (2015) الخواص الحرارية والشد لـ (PVA/PVP/Vanillin) المحضر باستخدام طريقة الصب، وكان الهدف من دراسة الخواص الميكانيكية والحرارية هو التحقق من ارتباط أغشية الخليط (PVA/PVP/Vanillin) مع معدل أوزان مختلفة. وأظهرت النتائج للخواص الميكانيكية والحرارية أنه بإضافة (Vanillin) أثر بشكل كبير على أغشية (PVA)، حيث أدى إلى تقليل كلا من مثانة الشد ومعامل يونك، إذ أن مثانة الشد لاغشية الخليط قلت بالمقارنة مع أغشية (PVA) النقية. أما النتائج الحرارية فإنها تشير إلى أن جميع مكونات الخليط قابلة للاختلاط وأن درجة الانتقال الزجاجي ( $T_g$ ) تستقر عند  $185^{\circ}\text{C}$  [39].

❖ درسا (Hameed and Gazi) عام (2016) تأثير إضافة  $\text{SiO}_2$  على خواص الالتصاق لـ (PVA)، حضرت النماذج بشكل الواح وباستخدام طريقة الصب. أظهرت الخواص الميكانيكية زيادة في مثانة الشد لمنطقة الالتصاق بإضافة  $\text{SiO}_2$  (PVA) إلى (34MPa) إلى (68MPa). بينت قوة اللصق بأن خواص الربط تعتمد على خواص اللصق لـ (PVA) أو  $\text{SiO}_2/\text{PVA}$  بمختلف التراكيز (1.5, 2.5, 3.5, 4.5) wt%, مثانة اللصق لمادة اللصق، تصميم نقطة الربط، نوع المواد المراد لصقها (المطاط الاسفنجي، الجلد الطبيعي، المطاط المفلكون، الكرتون). أظهرت النتائج أن مثانة الشد تزداد بزيادة نسبة  $\text{SiO}_2$ ، لذا يمكن استخدامها كمواد لاصقة. بينت نتائج قوة القص زيادة في مثانة القص بأزيد نسبه  $\text{SiO}_2$  بالنسبة للمطاط الاسفنجي والكرتون (Cartoon) في حين هناك زيادة في قوة القص بأزيد نسبه  $\text{SiO}_2$  إلى حد (SR).

(2.5%) بالنسبة للجلد الطبيعي والمطاط المفلكن (VR) ومن ثم تقل. من خلال نتائج البحث يمكن التوصية بأمكانية استخدام ( $\text{SiO}_2$ ) كمادة لاصقة واعدة وأكثر مناسبة للمطاط الاسفنجي والكارتون [40].

❖ قام (Puyou et al.) عام (2016) بدراسة اليه التلدين وتأثير كلوريد الالمنيوم ( $\text{AlCl}_3 \cdot 6\text{H}_2\text{O}$ ) والغليسرين على أغشية (PVA) المحضرة بطريقة الصب، حيث تم تحضير نوعين من الملدنس المعقدة هما الغليسرين/ $\text{AlCl}_3 \cdot 6\text{H}_2\text{O}$  (PVA) و بولي الغليسرين/ $\text{AlCl}_3 \cdot 6\text{H}_2\text{O}$ ). أن المورفولوجيا المجهرية لاغشية (PVA) النقيّة وأغشية (PVA) الملندة بالملدنس المعقدة تم ملاحظتها بواسطة المجهر الإلكتروني الماسح (SEM). ان التفاعل بين الملدنس المعقدة وجزيئات (PVA) تم التحقق منها بواسطة مطياف تحويل فوري للاشعاع تحت الحمراء (FTIR) وان تأثير الملدنس المعقدة على الخواص البلورية والحرارية والميكانيكية لاغشية (PVA) تم دراستها بواسطة حيود الاشعة السينية (XRD)، المسعر الحراري التبايني (DSC)، التحليل الحراري الوزني (TGA) وأختبار الشد على التوالي. وأظهرت النتائج ان كلا من الملدنس المعقدة الغليسرين/ $\text{AlCl}_3 \cdot 6\text{H}_2\text{O}$  و بولي الغليسرين/ $\text{AlCl}_3 \cdot 6\text{H}_2\text{O}$  تستطيع ان تتفاعل مع جزيئات (PVA) ومن ثم تدمى بلورية (PVA) بشكل فعال. وكذلك تصبح أغشية (PVA) الملندة بالملدنس المعقدة أكثر ليونة ومطبلية مع أقل متانة شد وأعلى استطاله لحد الكسر مقارنة باغشية (PVA) النقيّة [41].

❖ درس (Salman et al.) عام (2016) تحضير ودراسة بعض الخواص البصرية لاغشية المتراكبات ( $\text{FeCl}_3$ - PVA)، حيث حضرت الأغشية بطريقة الصب وبتراكيز مختلفة من ( $\text{FeCl}_3$ ) (1,3,5,7 and 9) wt%， تم دراسة الخواص البصرية لاغشية (PVA) النقيّة والمشوبة بكلوريد الحديد ( $\text{FeCl}_3$ ），تم تسجيل طيفاً النفاذية والأمتصاصية ضمن طول موجي (250-1100 nm) حيث أظهرت النتائج البصرية لاغشية المتراكبات ( $\text{FeCl}_3$ - PVA) أن النفاذية تقل مع زيادة تراكيز التشوييب بينما الأمتصاصية تزداد بزيادة تراكيز التشوييب، ووجد أن معامل الأمتصاص، معامل الانكسار، معامل الخمود والجزأين الحقيقي والخيالي لثابت العزل تزداد جميعها مع زيادة تراكيز التشوييب، كذلك أظهرت النتائج ان الانتقالات الإلكترونية هي انتقال الكتروني غير مباشر مسموح، فجوة الطاقة ( $E_g$ ) و طاقة اورباخ ( $E_u$ ) تقل مع زيادة تراكيز التشوييب [42].

❖ درست (Jalal et al.) عام (2017) تأثير كلوريد الليثيوم (LiCl) المضاف لاغشية (PVA) على التوصيلية الكهربائية، حيث حضرت الأغشية بطريقة الصب وبنسب مختلفة من (LiCl)

(0.2, 0.4, 0.6, 0.8) wt%) عند خلط (LiCl) مع محلول (PVA) النقي أزدادت التوصيلية الكهربائية، أن تأثير أضافة (LiCl) على الاوامر الكيميائية لاغشية (PVA) أنتفع بواسطة تحويل فوري للاشعة تحت الحمراء (FTIR)، ودرست التوصيلية الكهربائية (D.C) ضمن مدى درجات الحرارة K (273-373). واظهرت النتائج أن التوصيلية الكهربائية زادت مع زيادة تركيز (LiCl) ودرجة الحرارة، ووجد أن زيادة تركيز (LiCl) قللت من تشويط الطاقات لاغشية (PVA) [43].

❖ قام (Cheng-an et al.) عام (2017) بدراسة الخواص الميكانيكية لاغشية مترافق (PVA) مع أوكسيد الكرافين (GO) والمحضرة بطريقة الصب، أن من أهم فوائد (GO) هو استخدامه كقوى ميكانيكي في تحضير غشاء مترافق (PVA)، كذلك يعتبر معيار لمدى قوة تأثير تركيز (GO) على خواص أجهاض الشد واجهاض الفشل لاغشية مترافق (PVA / GO). وأظهرت النتائج أن بزيادة تركيز (GO) تصبح متانة الشد لاغشية المترافق كبيرة بشكل ملحوظ في البداية وبعدها تبدأ بالتناقص تدريجياً، عندما تكون نسبة (GO) (20%) فالغشاء يمتلك أعظم أجهاض شد (59.6 MPa) وهو أكبر (500%) من أجهاض الشد للغشاء (PVA) النقي. أجهاض الفشل لـ (PVA / GO) يتناقص بصورة رئيسية عندما تزداد كمية (GO)، التحسين الميكانيكي لهذا المترافق يظهر من خلال الاوامر المتعددة للهيدروجين بين مجموعة الهيدروكسيل (-OH) ومحتوى الاوكسجين في مجموعة (GO) [44].

## Aim of Study

### 7-1) الهدف من الدراسة

تهدف الدراسة الحالية الى:

- تحضير أغشية من بوليمر بولي كحول الفاينيل (PVA) النقي والمدعمة بأملاح الالمنيوم بطريقة الصب وبنسب وزنية مختلفة ((0,1,3,5,7,9,11,13,15) wt%).
- دراسة بعض الخواص البصرية، الميكانيكية والحرارية لاغشية بوليمر (PVA) النقي والمدعمة بأملاح الالمنيوم.

الفصل الثاني

الجزء النظري

**Introduction****(1-2) المقدمة**

يضم هذا الفصل الجانب النظري حول موضوع دراستنا إذ يتضمن القوانين و المعادلات بعض الخواص الفيزيائية للمترابكتات التي تم استخدامها في توضيح الجانب العملي لنتائج الدراسة الحالية.

**Optical Properties****(2) الخواص البصرية**

إن الهدف من دراسة الخواص البصرية للبوليمرات هو معرفة الخواص البصرية والمتغيرات البصرية للمواد من خلال دراسة طيف الامتصاصية والنفاذية لمدى واسع من الأطوال الموجية. إن طبيعة الشحنات وطريقة توزيعها في البوليمرات هي التي تكون مسؤولة عن الخواص البصرية. وان طيف الامتصاصية ينتج من ظاهرة فقد في الطاقة الناتجة عن التفاعل الحاصل بين الضوء والشحنات التي تحتويها المادة.

**(1-2-2) حافة الامتصاص الأساسية Fundamental Absorption Edge**

حافة الامتصاص الأساسية تمثل مقدار الزيادة السريعة الحاصلة في الامتصاص عندما تكون طاقة الإشعاع الممتصة مساوية تقريرياً لفجوة الطاقة، إذ أن حافة الامتصاص الأساسية تمثل أقل فرق في الطاقة بين أعلى نقطة في حزمة التكافؤ وأوطن نقطة في حزمة التوصيل [45,46]. مناطق حافة الامتصاص الأساسية تقسم إلى ثلاثة مناطق مميزة وكما في الشكل (2-1) الذي يبين العلاقة بين معامل الامتصاص ( $\alpha$ ) وطاقة الفوتون ( $h\nu$ ) [46].

**High Absorption Region****a- منطقة الامتصاص العالي**

في هذه المنطقة يكون معامل الامتصاص ( $\alpha \geq 10^4 \text{ cm}^{-1}$ )، وتحدث الانتقالات بين المستويات الممتدة في حزمة التكافؤ إلى المستويات الممتدة في حزمة التوصيل، ومن خلال هذه المنطقة يمكن معرفة قيمة فجوة الطاقة ( $E_g$ )، والعلاقة المستخدمة في هذه المنطقة هي كالتالي [47]

$$\alpha h\nu = P(h\nu - E_g)^r \dots \dots \dots \quad (1-2)$$

## حپٹ ان:

P : ثابت يعتمد على طبيعة المادة،  $h\nu$ : طاقة الفوتون بوحدات (eV).

E<sub>g</sub>: فجوة الطاقة،  $r$ : معامل أسي يعتمد على طبيعة الانتقال.

الشكل (a-1-2) يبين منطقة الأمتصاص العالى.

## Exponential Absorption Region

#### b- منطقة الامتصاص الأسي

في هذه المنطقة تكون قيمة معامل الامتصاص ( $10^4 \text{ cm}^{-1}$ ) حيث ان حافة الامتصاص تزداد أسيًا بسبب حدوث زيادة تدريجية في الامتصاص تمتد لبضعة الكترون فولت، وان هذه الحافة تدعى بحافة أورباخ (Urbach Edge)، وتحدث الانتقالات في منطقة الامتصاص الأسي من المستويات الممتدة في حزمة التكافؤ الى المستويات الموضعية في حزمة التوصيل، وكذلك من المستويات الموضعية في حزمة التكافؤ الى المستويات الممتدة في قعر حزمة التوصيل [48]. ويمكن التعبير عن معامل الامتصاص في هذه المنطقة باستخدام العلاقة الآتية [47]:

## حیث ان:

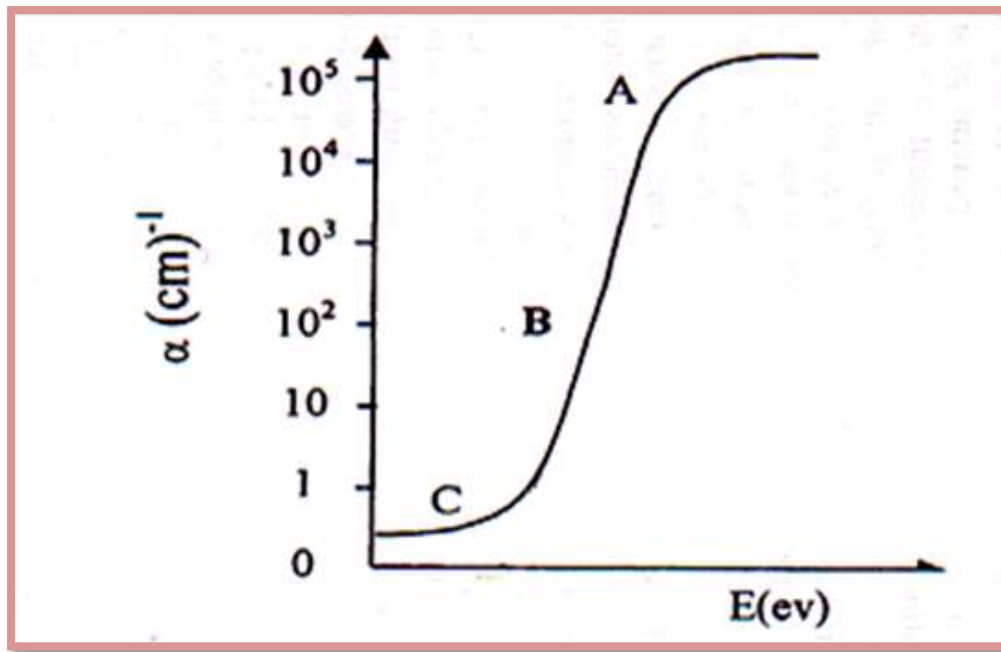
$\alpha$ : ثابت التناوب

E<sub>u</sub>: تمثل عرض الديول للمستويات الموضعية في منطقة فجوة الطاقة (طاقة ذيول اورباخ) وهي متساوية الى مقلوب ميل المستقيم ( $\ln\alpha$ ) مقابل طاقة الفوتون ( $hv$ ). والشكل يوضح منطقة الأمتصاص الأسني.

## Low Absorption Region

### ٣- منطقة الامتصاص الواطئ

في هذه المنطقة تكون قيمة معامل الامتصاص صغيرة جداً ( $\alpha < 1 \text{ cm}^{-1}$ )، ويعزى ذلك إلى الانقلالات في الذيلين داخل الحزمة ويلاحظ في هذا الجزء ذيل الامتصاص (Absorption Tail)، ومن الصعب دراسته نظراً للمستوى الواطي من الامتصاص. والشكل (1-2-c) يوضح منطقة الامتصاص الواطي [49].



الشكل (2-1): مناطق حافة الأمتصاص الأساسية [49]:

(a) منطقة الأمتصاص العالي (b) منطقة الأمتصاص الأسني (c) منطقة الأمتصاص الواطيء

### Transmittance

### (T) النفاذية (2-2-2)

هي النسبة بين شدة الإشعاع النافذ ( $I_t$ ) من الغشاء إلى شدة الإشعاع الساقط ( $I_0$ ) على الغشاء وتحسب من العلاقة الآتية [50]:

$$T = I_t / I_0 \quad \dots \dots \dots \quad (3-2)$$

وان النفاذية ترتبط مع الامتصاصية (A) وفق العلاقة الآتية [51]:

$$A = \log(1/T) \quad \dots \dots \dots \quad (4-2)$$

### Absorbance

### (A) الامتصاصية (3-2-2)

تعرف الامتصاصية بأنها النسبة بين شدة الإشعاع الممتص ( $I_A$ ) من قبل الغشاء إلى شدة الإشعاع الساقط ( $I_0$ ) على الغشاء، ويعبر عنها بالعلاقة الآتية [50]:

$$A = I_A / I_0 \quad \dots \dots \dots \quad (5-2)$$

وان علاقة النفاذية مع الامتصاصية تتمثل بالعلاقة الآتية [51]:

$$T = e^{-2.303A} \dots \dots \dots \quad (6-2)$$

## Optical Constants

### (4-2-2) الثوابت البصرية

#### Absorption Coefficient

#### (1-4-2-2) معامل الامتصاص ( $\alpha$ )

يعرف معامل الامتصاص بأنه مقياس لنسبة الخسارة الحاصلة في شدة الضوء من الحزمة الضوئية الساقطة مباشرة خلال سماكة معين [52]. حيث ان الامتصاص يمثل النقص الحاصل في طاقة الاشعاع الكهرومغناطيسي عند دخوله وسط معين [53]، وان معامل الامتصاص يعتمد على نوع الانتقالات الالكترونية وعلى طاقة الفوتون الساقط وايضا يعتمد على خواص المادة بالنسبة لفجوة الطاقة [47]، فعندما تسقط حزمة ضوئية شدتها ( $I_0$ ) على غشاء فإن شدة الشعاع النافذ تكون ( $I$ ) حسب قانون لامبرت (Lambert Law) [54] :

$$I = I_0 e^{-\alpha t} \dots \dots \dots \quad (7-2)$$

وان العلاقة (7-2) يمكن كتابتها بالصيغة الآتية:

$$\ln \frac{I}{I_0} = -\alpha t \dots \dots \dots \quad (8-2)$$

$$\alpha t = 2.303 \log \frac{I_0}{I} \dots \dots \dots \quad (9-2)$$

بما أن المقدار  $\log(I_0/I)$  يمثل امتصاصية مادة الغشاء فان العلاقة (9-2) يمكن كتابتها بالصيغة الآتية [54]:

$$\alpha = 2.303 \frac{A}{t} \dots \dots \dots \quad (10-2)$$

حيث إن معظم الفوتونات الممتصة (63%) تحدث عند المسافة ( $1/\alpha$ ) التي تدعى بعمق الاختراق (Penetration Depth). إن تحديد قيمة معامل الامتصاص ( $\alpha$ ) يساعد في معرفة طبيعة الانتقالات الإلكترونية التي تحدث بين الحزم فإذا كانت قيمة معامل الامتصاص ( $\alpha$ ) عالية، أي أن ( $\alpha > 10^4 \text{ cm}^{-1}$ ) فان ذلك يعني احتمالية حدوث انتقال إلكتروني مباشر، أما اذا كانت قيمة معامل الامتصاص ( $\alpha$ ) قليلة، أي ان ( $\alpha < 10^4 \text{ cm}^{-1}$ ) فأن ذلك يدل على احتمالية حدوث انتقال إلكتروني غير مباشر [55].

**Refractive Index****(2-4-2-2) معامل الانكسار ( $n_o$ )**

يُعرف معامل الانكسار على انه النسبة بين سرعة الضوء في الفراغ إلى سرعته في الوسط، وهو يمثل الجزء الحقيقي من معامل الانكسار المعقد ( $N$ ) [56]، ويعبر عن معامل الانكسار بالعلاقة الآتية [57]:

$$n_o = \left[ \left( \frac{1+R}{1-R} \right)^2 - (k_o^2 + 1) \right]^{1/2} + \frac{1+R}{1-R} \quad \dots \dots \dots \quad (11-2)$$

حيث أن:

$R$ : الانعكاسية.

$k_o$ : معامل الخمود.

ويعبر عن معامل الانكسار المعقد بالعلاقة الآتية:

$$N = n_o - ik_o \quad \dots \dots \dots \quad (12-2)$$

**Extinction Coefficient****(3-4-2-2) معامل الخمود ( $k_o$ )**

يعرف معامل الخمود على انه كمية الطاقة المتصنة من قبل الكترونات المادة أي انه الخمود الحاصل في الموجة الكهرومغناطيسية داخل المادة، أي الفقد من الطاقة بسبب التفاعل بين الموجة الكهرومغناطيسية وجزيئات المادة وغيرها من العوامل التي تسبب فقد في طاقة الموجة، وان معامل الخمود يمثل الجزء الخيالي من معامل الانكسار المعقد، ويحسب معامل الخمود من العلاقة الآتية [58,59]:

$$k_o = \alpha\lambda / 4\pi \quad \dots \dots \dots \quad (13-2)$$

حيث ان:

$\lambda$ : الطول الموجي للاشعة الساقطة بوحدات (cm).

#### 4-4-2-2) ثابت العزل البصري ( $\epsilon^{\text{opt}}$ )

### Optical Dielectric Constant

ان ثابت العزل هو عملية فقد الطاقة الناتجة عن حدوث اختلاف في سرعة الضوء في الفراغ وسرعة الضوء في وسط معين، وهو يمثل قابلية المادة على الاستقطاب، حيث انه يمثل استجابة المادة لترددات مختلفة وبسلوك معقد، ففي الترددات البصرية المتمثلة بالموجات الضوئية فان الاستقطابية الإلكترونية تكون هي السائدة على انواع الاستقطاب الأخرى، وان درجة الاستقطاب للمادة لا تعتمد فقط على المجال الكهربائي بل تعتمد على الخصائص الجزيئية للمادة ايضاً، وأن التفاعل بين الضوء وشحذات الوسط وما ينتج عن ذلك التفاعل من استقطاب لشحذات الوسط يُوصف عادةً بثابت العزل المعقد للوسط ويرمز له بالرمز ( $\epsilon$ ) والذي يعطى بالعلاقة الآتية [57,60]:

$$\epsilon^{\text{opt}} = \epsilon_1 - i\epsilon_2 \quad \dots \quad (14-2)$$

حيث إنَّ:

$\epsilon^{\text{opt}}$ : ثابت العزل المعقد.

$\epsilon_1$ : الجزء الحقيقي لثابت العزل.

$\epsilon_2$ : الجزءخيالي لثابت العزل.

ويرتبط ( $\epsilon^{\text{opt}}$ ) مع ( $N$ ) بالعلاقة الآتية:

$$\epsilon^{\text{opt}} = N^2 \quad \dots \quad (15-2)$$

وعند التعويض عن قيمة كل من ( $N$ ) و ( $\epsilon^{\text{opt}}$ ) نحصل على:

$$\epsilon_1 - i\epsilon_2 = (n_0 - ik_0)^2 \quad \dots \quad (16-2)$$

وان الجزء الحقيقي والجزء الخيالي لثابت العزل يمكن كتابته بالشكل الآتي:

$$\epsilon_1 = n_0^2 - k_0^2 \quad \dots \quad (17-2)$$

$$\epsilon_2 = 2 n_0 k_0 \quad \dots \quad (18-2)$$

ومن العلاقتين (2-17) و(2-18) يمكن حساب ثابت العزل الحقيقي والخيالي على التوالى للأغشية المحضرة.

### Electronic Transitions

### 5-2-2) الانتقالات الإلكترونية

يوجد نوعان من الانتقالات الإلكترونية اعتماداً على موقع أعلى نقطة في قمة حزمة التكافؤ وأوسط نقطة في قعر حزمة التوصيل وهي الانتقالات المباشرة والانتقالات غير المباشرة [61]:

### Direct Transitions

### 1-5-2-2) الانتقالات الإلكترونية المباشرة

يحدث الانتقال المباشر عندما ينتقل الإلكترون من قمة حزمة التكافؤ إلى قعر حزمة التوصيل عند النقطة نفسها في فضاء متجه الموجة ( $k$ -space) أي إن ( $\Delta k=0$ ) وفي هذه الحالة فإن الامتصاص سوف يظهر عند ( $h\nu=E_g^{\text{opt}}$ ) وإن هذا النوع يحدث من دون تغير ملحوظ في الزخم [62,63]. ويصاحب هذا النوع من الانتقال تفاعل بين الفوتون الساقط والالكترون في حزمة التكافؤ فقط بحيث يكون كل من الطاقة والزخم محفوظين [64]، وكما في العلاقة الآتية:

$$E_f - E_i = h\nu \quad \dots \quad (19-2)$$

$$K_f - K_i = q \quad \dots \quad (20-2)$$

حيث إن:

$E_f, E_i$ : الطاقة الابتدائية والنهائية للاكترون في كل من حزمة التكافؤ والتوصيل على التوالى.

$K_f, K_i$ : متجه الموجة الابتدائي والنهائي للاكترون في حزمة التكافؤ والتوصيل على التوالى.

$h\nu$ : طاقة الفوتون الممتص.

$q$ : تمثل متجه الموجة للفوتون الساقط.

وبما أن قيمة ( $q$ ) تكون صغيرة جداً بالمقارنة مع قيمة الالكترون لذلك فإنه يهمل وتصبح العلاقة (20-2) كالتالي:

$$K_f = K_i \dots \dots \dots \dots \quad (21-2)$$

إن هذا الانتقال يعرف بالانتقال المباشر المسموح (Allowed Direct Transition)، وفي بعض الأحيان يسمى بالانتقال العمودي وكما مبين بالشكل (a-2-2).  
 أما عندما يحدث انتقال الإلكترون بين النقاط المجاورة لأعلى وأوسع نقطة في حزمه التكافؤ والتوصيل على التوالي فان هذا النوع من الانتقال يعرف بالانتقال المباشر الممنوع (Forbidden Direct Transition) وكما مبين بالشكل (b-2-2).  
 وأن معامل الامتصاص لهذا النوع من الانتقالات يمكن حسابه من علاقة تاوس (Taus Relationship) [64].

حيث يتضح من المعادلة (2-1) ان قيمة ( $r$ ) هي التي تحدد نوع الانتقال الإلكتروني، فإذا كانت قيمة ( $r = 1/2$ ) فإن الانتقال يكون مباشر مسموح أما اذا كانت قيمة ( $r = 3/2$ ) فإن الانتقال يكون مباشر ممنوع [65].

### 2-5-2-2) الانتقالات الإلكترونية غير المباشرة Indirect Transitions

يقصد بالانتقال غير المباشر الانتقال الذي يحدث عند عدم تطابق طاقتى قمة حزمة التكافؤ وقعر حزمة التوصيل في فضاء متوجه الموجة (k-space)، إذ أن الانتقال يكون بين نقطة في حزمة التكافؤ وأية نقطة في حزمة التوصيل ويكون هذا النوع من الانتقال غير عمودي وبذلك فإن قيمة متوجه الموجة للإلكترون تكون غير متساوية قبل الانتقال وبعده ( $\Delta k \neq 0$ ) [64,66].  
 إن هذا النوع من الانتقال يصاحبه تغير في زخم البلورة وإن هذا التغير في الزخم يعوض من قبل الشبكة، وهذا الانتقال يحدث بمساعدة الفونون من أجل تحقيق قانوني حفظ الطاقة والزخم، ويطلق على المواد التي تمتلك هذا النوع من الانتقال بالماء ذات فجوة الطاقة غير المباشرة (Indirect-Energy Gap)، وإن معامل الامتصاص في الانتقالات غير المباشرة يمكن الحصول عليه من العلاقة الآتية [56,67]:

$$\alpha h\nu = P' (h\nu - E_g^{\text{opt}} \pm E_p)^r \dots \quad (22-2)$$

حيث إن:

$P'$ : ثابت يعتمد على نوع المادة.

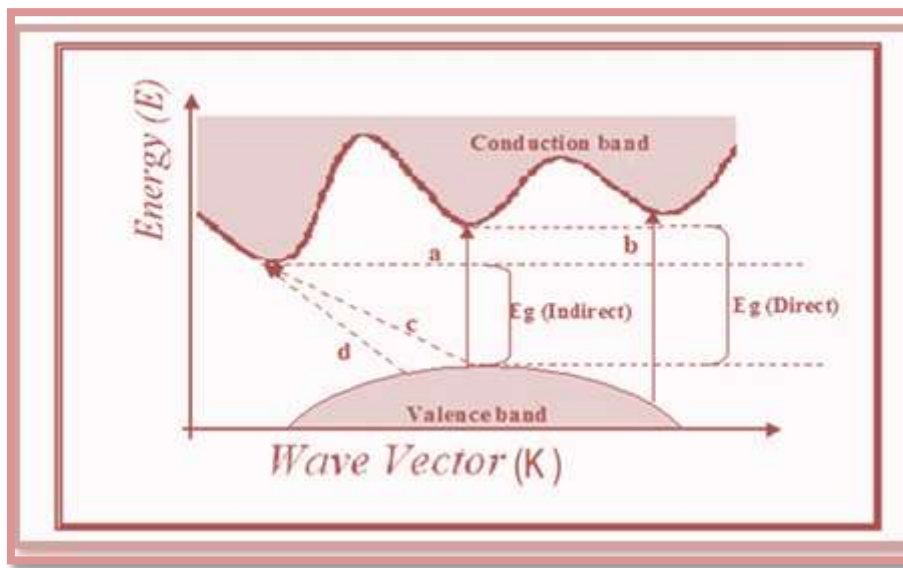
$E_g^{\text{opt}}$ : فجوة الطاقة البصرية للانتقال غير المباشر بوحدات (eV).

$E_p$ : طاقة الفونون المساعد بوحدات (eV).

الإشارة (+): تعني امتصاص فونون.

الإشارة (-): تعني انبعاث فونون.

والانتقالات غير المباشرة تكون على نوعين، الأول عندما ينتقل الالكترون بين أعلى نقطة في حزمة التكافؤ وأوطن نقطة في حزمة التوصيل فيسمى هذا النوع بالانتقال غير المباشر المسموح وكما مبين بالشكل (c-2-2) وفيه تكون قيمة ( $r=2$ )، أما النوع الثاني فيحدث عندما تكون الانتقالات بين نقاط مجاورة لأعلى وأوطن نقطة في حزمة التكافؤ والتوصيل على التوالي ويسمى هذا النوع بالانتقال غير المباشر الممنوع وكما مبين بالشكل (d-2-2) وفيه تكون قيمة ( $r$ ) مساوية إلى (3). إن عملية الامتصاص أو الانبعاث في هذه الانتقالات تكون معتمدة على درجة الحرارة على خلاف ما هو عليه في الانتقالات المباشرة [68,69].



الشكل (2-2): أنواع الانتقالات الألكترونية [70]:

- |                            |                            |
|----------------------------|----------------------------|
| (a) انتقال مباشر مسموح     | (b) انتقال مباشر ممنوع     |
| (c) انتقال غير مباشر مسموح | (d) انتقال غير مباشر ممنوع |

## (3-2) تحويل فوريير للاشعة تحت الحمراء

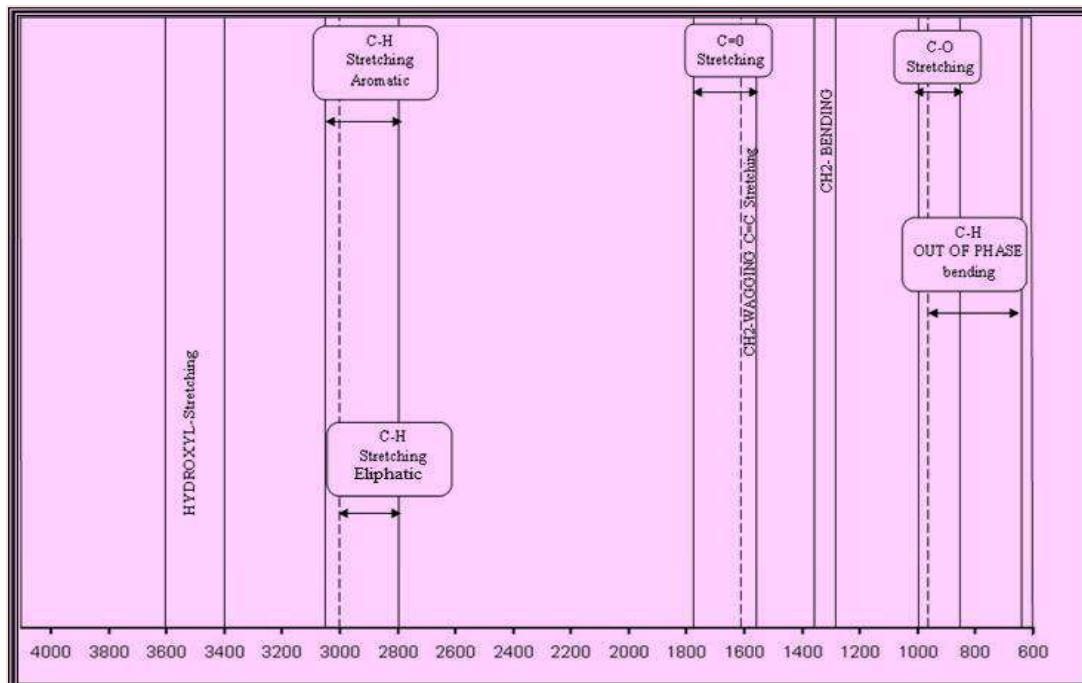
**Fourier Transformation Infrared (FTIR)**

يستخدم مطياف (FTIR) للحصول على معلومات محددة عن التأثير الكيميائي والتركيب الجزيئي وكذلك يمكن الاستفادة منه في تحليل مواد عضوية ومواد لا عضوية معينة. الاوامر الكيميائية تهتز بترددات خاصة وعندما تتعرض للأشعة تحت الحمراء فإنها سوف تمتلك الاشعاع عند الترددات التي تكون متوافقة مع خط اهتزازها.

طاقة الاشعة تحت الحمراء تكون كافية على عمل اهتزازات الاوامر الكيميائية، أن طيف وأستطارة رaman (Raman Scattering) يشتمل على اهتزازات خاصة بالأوامر الكيميائية، ويوجد نوعان أساسيان من الاهتزازات هما التمدد (Stretching) والانحناء (Bending) (اي بمعنى ثني الزوايا بين الاوامر)، ويطلب الانحناء طاقة أقل، لذلك فإنه يحدث عند الترددات الأدنى بالنسبة للأوامر نفسها، يوجد نوعان من التمددات، تمددات متاظرة (Symmetric) وتمددات غير متاظرة (Asymmetric). يحتاج التمدد المنتظم إلى طاقة أقل من التمدد غير المنتظم، إذ تتألف السلسلة البوليمرية من مجاميع كيميائية تكون متكررة (وحدات) التي تترتب حول محور السلسلة وبالأسلوب نفسه ولجميع المجاميع [71,72].

بصورة عامة ففي الجزيئات الصغيرة نسبياً والجزيئات المنتظمة بشكل كبير تكون أمكانية ربط أطيف (IR) الاهتزازية الملحوظة مع الاهتزازات الاعتيادية للجزيئات الكبيرة أمراً مستحيلاً، ولكن يمكن الحصول على معلومات مفيدة من ذلك الطيف، فيمكن تحليل ذلك الطيف لأن الاهتزازات الطبيعية (Quite Localized Motions) تشتمل على الحركات الموضعية (Normal Vibrations) من الجزيئات، وتدعى اهتزازات المجموعة الخاصة بالجزيئات، كما مبين بالشكل (3-2) [73]، أما بالنسبة إلى جزيئات البوليمر فإن عدد الذرات لكل جزيئة يكون كبير جداً، وهذا يؤدي إلى عدد كبير من الاهتزازات الطبيعية، وعليه فإن من المدهش جداً أن تكون بسيطة نسبياً في معظم البوليمرات، ولا يمكن أن يتضح هل ان الطيف خاص بمركب مجهول لذلك البوليمر أو لجزيئه صغيرة جداً، ومن أسباب البساطة في معظم اطيف البوليمرات أنها ثنائية البعد (Two Fold) الاول يعمل

على دمج الاهتزازات الطبيعية التي تكون بنفس التردد ويشير في الطيف بشكل حزمة واحدة فقط، والثانية حصرا بقواعد الاختيار (Selection Rules) بحيث ان القليل من الاهتزازات الطبيعية يكون من النوع الفعال (IR-Active) [74].



الشكل (3-2): منطقة طيف (IR) لمجاميع مهمة في البوليمر [73].

## Mechanical Properties

## (4-2) الخواص الميكانيكية

أصبحت دراسة الخواص الميكانيكية من الدراسات المهمة جداً والجديرة بالفحص والقياس والمناقشة لما لها من أهمية بالغة في تحديد المدى الذي يمكن أن تعمل به المواد المترابطة ومدى نجاحها أو فشلها. أن اختيار المواد غالباً ما يكون على أساس ما تتمتع به المادة من خواص ميكانيكية التي تعني سلوك المواد الهندسية تحت تأثير القوى والأحمال وتحت مختلف الظروف، إن منافسة المواد البوليمرية المترابطة للمواد الأخرى تعتمد على خواصها الميكانيكية المرغوبة من حيث قوتها العالية ومرونتها فضلاً عن سهولة تصنيعها ورخصها نسبياً. والخواص الميكانيكية تميز المواد عندما تسلط قوة على المادة، عادة تتعلق بالسلوك المرن واللدن للمادة. تعتمد الاستعمالات العامة والهندسية للبوليمرات إلى حد كبير على صفاتها الميكانيكية الجيدة.

و خاصة قوتها العالية نسبياً و قابليتها على التشوّه بتأثير الاجهادات، و تنشأ هذه الازدواجية في صفات البوليمر من طبيعة تركيبه، إذ أن وجود نوعين من القوى و هما الأواصر الكيميائية والروابط الثانوية بين الجزيئات هي التي تؤثر بصورة أو بأخرى على صفاتها الميكانيكية [75,76].

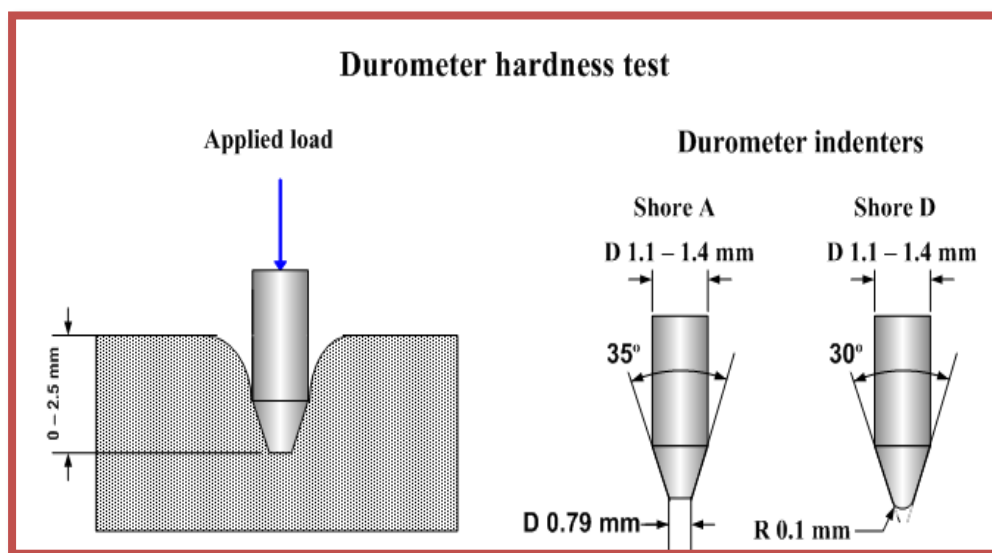
## Hardness Test

### (1-4-2) اختبار الصلادة

تعد الصلادة من الخواص الميكانيكية السطحية المهمة التي يمكن تعريفها بأنها مقاومة المادة للغرز او النقر (Indentation) في المناطق السطحية منها. وأن قيمة الصلادة تعطي دليلاً للمقاومة (Index of Strength) و تماسك التركيب (Structure Coherence) و ترتبط الصلادة مع المقاومة الميكانيكية للمادة حيث تكون (في اغلب الأحيان) المادة ذات الصلادة الواطئة ذات مقاومة خضوع واطئة [9]. ولكنها في الوقت نفسه تعطي فكرة جيدة جداً ونسبة عن متنانة و تماسك كتلة المادة أيضاً، باستعمال أحمال صغيرة، وهو اختبار غير اتلافي لعدم اتلاف العينة (Nondestructive) اذ لا تكسر العينة عند الاختبار ولا تتشوه بشكل مفرط اذ يكون التشوّه بشكل ثقب صغير جداً فوق سطح العينة. وفي الدراسة الحالية تم اعتماد صلادة شور لأن صلادة شور تعتمد لقياس صلادة المواد البوليمرية وهناك نوعان من صلادة شور هما: النوع الاول يعرف بشور (Shore A) ويستعمل للبلاستيك اللين (Softer) والنوع الآخر يعرف بشور (Shore D) ويستعمل للبلاستيك الصال (Harder)، ومن أسباب الأفضلية لاختبار الصلادة هو سهولة الاختبار ورخص الاجهزه المستعملة نوعاً ما ولا يحتاج الى تحضير عينة خاصة [77,2]. ويتم اختبار الصلادة بسهولة وسرعة دون أن ينتج عنه تحطيم المادة المراد اختبارها ولذا فقد لقي اختبار الصلادة انتشاراً واسعاً في المجال الصناعي، وهناك طرق عديدة لاختبار صلادة المادة، والتي سندرج بعضها منها كما هو موضح في الجدول (1-2) [78]. والشكل (4-2) يوضح مخطط اختبار صلادة التحمل لشور [78].

الجدول (2-1): يوضح بعض أنواع الصلادة [2,78].

نوع أداة التغلغل	نوع الصلادة	ت
كرة كاربيدية أو فولاذية	صلادة برينيل (Brinell Hardness)	1
هرم ماسي	صلادة فيكرز (Vickers Hardness)	2
مخروط ماسي	صلادة رووكيل (Rockwell Hardness)	3
إبرة	صلادة شور (A,D) (Shore (A,D) Hardness)	4
سقوط كرة لحظي	صلادة شور سكليرسكوب (Shore Scleroscope Hardness)	5
	صلادة نوب المايكروية ((Knoop) Micro Hardness)	6



الشكل (2-2): مخطط اختبار صلادة التحمل لشور [79].

**Tensile Test****(2-4-2) اختبار الشد**

يعد اختبار الشد من الفحوصات الميكانيكية المهمة للمواد المترابطة لمعرفة خواصها الهندسية، اكثـر انواع قياسات (الاجهاد-الانفعال) شـيوعاً اختبار الشد، فعند شد المادة وسحبها يطبق اجهاد شد ( $\sigma$ ) على وحدة المساحة ( $A$ ) حيث يعبر عنه بالعلاقة الآتـية [80]:

$$\sigma = F/A \quad \dots \dots \dots \quad (23-2)$$

حيث إن:

$\sigma$ : اجهاد الشد بوحدات  $(N/m^2)$ .

$F$ : القوة المسلطة بوحدات  $(N)$ .

$A$ : مساحة مقطع العينة بوحدات  $(m^2)$ .

وإذا سبب اجهاد الشد استطالة ( $L$ ) فـان انفعال الشد ( $\epsilon$ ) يمكن ان يعطـى بالعلاقة الآتـية [80]:

$$\epsilon = \frac{\Delta L}{L_0} = \frac{L-L_0}{L_0} \quad \dots \dots \dots \quad (24-2)$$

حيث ان:

$L$ : الطول النهائي للعينة بوحدات  $(mm)$ .

$L_0$ : الطول الأصلي للعينة بوحدات  $(mm)$ .

$\Delta L$ : مقدار التغير في الطول بـوحدات  $(mm)$ .

وعند وصول عملية الشد الى اقصـاها، بـعبارة اخـرى، زـيادة القـوة حتى فـشـلـ المـادـة، تـقـاسـ متـانـةـ الشـدـ القـصـوـيـ منـ خـلـالـ العـلـاقـةـ الآـتـيـةـ [80]:

$$T.S_{max} = F/A \quad \dots \dots \dots \quad (25-2)$$

حيث ان:

$T.S_{max}$ : متـانـةـ الشـدـ القـصـوـيـ بـوحدـاتـ  $(N/mm^2)$ .

$F$ : القـوةـ عـنـدـ الفـشـلـ بـوحدـاتـ  $(N)$ .

$A$ : مـسـاحـةـ المـقـطـعـ العـرـضـيـ لـلـعـيـنـةـ عـنـدـ الفـشـلـ بـوحدـاتـ  $(mm^2)$ .

ومن الطبيعي ان المادة عند شدّها تقل ابعادها العمودية في اتجاه تسلیط القوة، وبهذا فأن مساحة المقطع العرضي سوف تقل [80].

أن خواص الشد هي:

**1- مقاومة المادة (Resistance Material):** هي الاجهاد المطلوب لإحداث كمية محددة من التشوه اللدن لمقاومة الخضوع (أقصى اجهاد يمكن للمادة تحمله) أو مقاومة الشد، فمقاومة المادة تتبعاً لهذين المعيارين لها تطبيقات كبيرة في التصميم الهندسي.

**2- مطيلية (Ductility):** هي مقياس لكمية التشوه التي تتحملها المادة قبل الكسر. نادراً ما تستعمل المطيلية بشكل مباشر في التصميم الهندسي ولكنها تذكر في الموصفات القياسية للمواد لضمان المتنانة والجودة.

**3- الاجهاد (Stress):** هو القوة المسلطة على وحدة المساحة العمودية للعينة ووحدته  $(N/m^2)$  ويحسب بقسمة الحمل على مساحة المقطع الأولية و يسمى الناتج بالاجهاد الهندسي وتختلف قيمته عن الاجهاد الحقيقي.

**4- الانفعال (Strain):** هو الاستطالة الناتجة من تسلیط قوة بطريقة الشد أو التقلص الناتج من تسلیط قوة بطريقة الانضغاط ويحسب بقسمة الاستطالة على الطول الأولي للمعيار، ويسمى الانفعال الهندسي وتختلف قيمته عن الانفعال الحقيقي.

**5- مقاومة الشد (Tensile Strength):** هي أعلى قيمة للاجهاد في منحنى الاجهاد - الانفعال.

هناك عدة عوامل تؤثر بفحص الشد هي [81]:

1- درجة الحرارة (كلما ازدادت درجة الحرارة زادت قيمة الشد للمادة).

2- الوزن الجزيئي للمادة (العلاقة طردية بين الوزن الجزيئي للمادة المتراكبة وقوة الشد لها حتى تبلغ نهاية عظمى بعدها يكون لزيادة الوزن الجزيئي تأثير طفيف في قوة الشد).

3- درجة التشابك (Cross-Linking): تزداد قوة الشد كلما زاد التشابك، وبالتالي تزداد الاستطالة والعكس صحيح.

### 1-2-4-2) منحنى (الاجهاد - الانفعال)

عند تسلیط حمل معین على عينة الاختبار بحيث يكون منطبقاً على المحور الطولي للعينة فإنها سوف تعانى استطالة معينة حسب مقدار القوة المسلطة عليها وبذلك نحصل على منحنى هندسي يدعى بمنحنى (اجهاد - انفعال) والذي يبينه الشكل (5-2).

يعرف الإجهاد (Stress) بأنه القوة المسلطة على وحدة المساحة العمودية أو نسبة الحمل المسلط على مساحة المقطع المستعرض للعينة، ويرمز للإجهاد بالرمز ( $\sigma$ ) ووحدات قياس الإجهاد ( $N/m^2$ ) ويقاس من خلال العلاقة (23-2).

بعد الإجهاد من الخواص الميكانيكية المهمة لجميع البوليمرات فعند تسلط جهد ما على إنموذج من البوليمر بسرعة ثابتة وقياس التشوه (Deformation) الحاصل، إما بدلالة تغير في الطول أو تغير في المساحة أو تغيير في الحجم فيمكن الحصول على سلوك البوليمر تحت تأثير الإجهاد.

أما الانفعال (Strain) (ع) فهو نسبة التغير في الطول إلى الطول الأصلي للعينة تحت الفحص ويمكن التعبير عنه بالعلاقة (24-2).

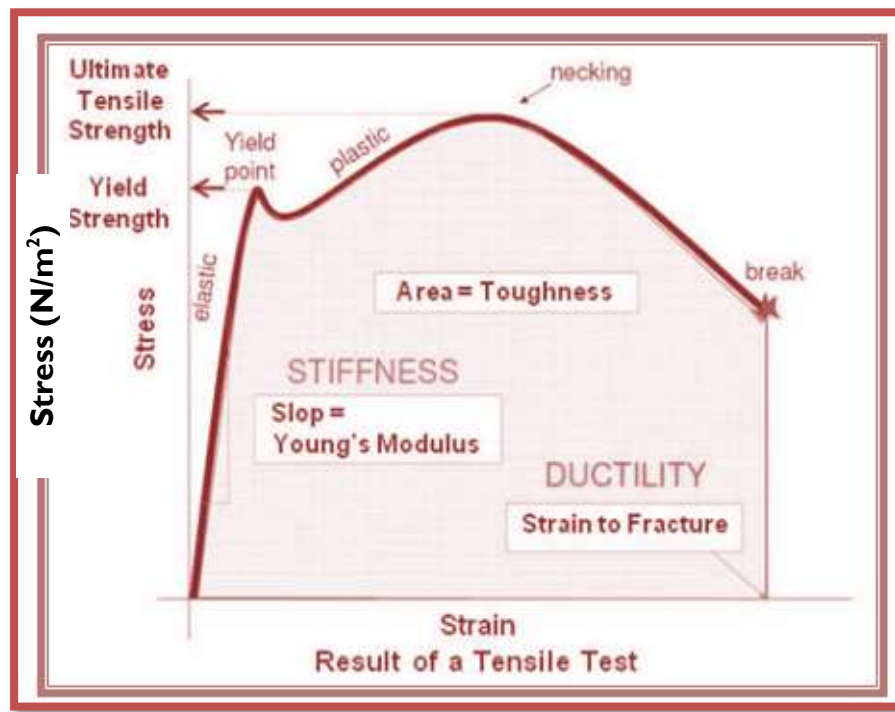
إن النسبة بين الإجهاد المسلط إلى الانفعال المقابل له هي مقدار ثابت وذلك في حدود منطقة المرونة و يسمى بمعامل المرونة (Modulus of Elasticity) أو معامل يونك (Young's Modulus) و يمكن التعبير عنه بالعلاقة الآتية [80]:

## حیث ان:

.(N/m<sup>2</sup>) : معامل یونک بوحدات E

يمكن الاستفادة من منحنى الإجهاد (ε) والانفعال (σ) في دراسة السلوك الميكانيكي للمادة وتحديد المتانة والمقاومة ومعامل المرونة إذ يقسم منحنى (الإجهاد - الانفعال) إلى ثلاثة أجزاء الخط المستقيم يمثل منطقة المرونة (Elastic Region) إذ يتناسب الإجهاد مع الانفعال وميل هذا الجزء يمثل معامل المرونة. وضمن هذه المنطقة تستعيد المادة أبعادها وشكلها الأصلي عند زوال الإجهاد وتسمى هذه المنطقة بمنطقة العمليات المعاكسة (Reversible) التي تخضع لقانون هوك. بعد هذا الجزء تكون زيادة الانفعال غير خطية مع الإجهاد وأما أن تتكسر العينة إذا كانت مادتها هشة (Brittle) أو تخضع عند نقطة تدعى نقطة الخضوع (Yield Point) التي يقل عندها الإجهاد الذي تتحمله المادة. بعدها ستعاني المادة من تشوه لدن (Plastic Deformation) لا يزول برفع الإجهاد عن المادة بسبب استهلاك طاقة الإجهاد في فك الارتباط بين السلاسل البوليمرية وقد تكسر بعض الأواصر الرئيسية. ونتيجة لترتيب السلاسل باتجاه الحمل الخارجي تحصل زيادة في الإجهاد، وهذه الزيادة تمثل أقصى مقاومة شد

(Ultimate Tensile Strength) بعدها يقل الإجهاد تدريجياً بسبب تكسر الأواصر ضمن السلالس الرئيسية حتى يحصل الفشل عند نقطة معينة. منحنى (الإجهاد - الانفعال) يعتمد على عدة عوامل منها ما يتعلق بظروف إجراء الفحص مثل درجة الحرارة، سرعة الشد، سرعة الفحص، الضغط .. الخ وعوامل أخرى تتعلق بتركيب البوليمر مثل الوزن الجزيئي ودرجة التشابك.... الخ [80].



الشكل (5-2): منحنى (الإجهاد - الانفعال) لمادة بوليمرية [82].

## Thermal Properties

## 5-2) الخواص الحرارية

في الآونة الأخيرة أصبحت الاستعمالات العامة والهندسية للمواد المتراكبة تعتمد بشكل كبير على الخواص الفيزيائية. لذا وجب دراسة هذه الخواص ومعرفتها بصورة جيدة بحيث يمكن إدخال بعض التحسينات الضرورية. ومن هذه الخواص الفيزيائية التي حظيت بأهتمام الباحثين هي التوصيلية الحرارية ( $k$ )، درجة الانتقال الزجاجي، درجة الانصهار البلورية والتحليل الحراري الوزني. الهدف الأساسي لدراسة الخواص الحرارية هو التعرف على السلوك الحراري لهذه المواد لكي يحدد لها أدواراً مناسبة في المجالات العلمية.

**Thermal Conductivity****(1-5-2) التوصيلية الحرارية**

تعد التوصيلية الحرارية إحدى ظواهر الانتقال الحراري في المواد الصلبة، ومن خلال هذه الظاهرة الفيزيائية يمكن تفسير كيفية تأثير المادة بالحرارة. أن التوصيلية الحرارية هي كمية الحرارة التي تنتقل في وحدة الزمن خلال وحدة المساحة عندما يكون هناك اختلاف بين درجة حرارة السطحين الداخلي والخارجي درجة حرارية واحدة، تختلف آلية التوصيل الحراري بأختلاف حالات المادة (صلبة، سائلة، غازية) والذي من خلاله تصنف المادة على أنها موصلة أو عازلة للحرارة. وبصورة عامة أن التوصيل الحراري للمواد الصلبة أعلى مما هي عليه في السوائل وهذا أعلى من توصيلية الغازات. في المواد الصلبة الموصلة يتم التوصيل الحراري وذلك بانتقال كلا من الفونونات والالكترونات الحرية من المنطقة ذات الطاقة الاعلى إلى المنطقة ذات الطاقة الألوط، أما في المواد شبه الموصلة والتي تحتوي بنيتها على العيوب ونسبة عالية من الشوائب فإن الفونونات تقوم بالدور الأكبر والأساس في عملية التوصيل الحراري أما الالكترونات الحرية فتساهم بنسبة ضئيلة بالتوسيط الحراري لهذه المواد. أما في المواد العازلة فتقوم الفونونات بنقل الحرارة كلياً وذلك لقلة الالكترونات الحرية. كمية الحرارة المتنقلة يعبر عنها بواسطة تطبيق قانون فوريير (Fourier's Law) :

$$Q = -k A \frac{dT}{dx} \quad \dots \dots \dots \quad (27-2)$$

حيث أن: Q: كمية الحرارة المتنقلة بوحدات (J/sec).

k: التوصيلية الحرارية بوحدات (W/m.K).

A: مساحة المقطع العمودي على اتجاه انتقال الحرارة بوحدات ( $m^2$ ).

$\frac{dT}{dx}$ : الانحدار الحراري (Thermal Gradient) في الوسط بوحدات ( $^{\circ}\text{C}/\text{m}$ ).

والإشارة السالبة تشير إلى أن الانتقال الحراري يكون من المنطقة ذات درجات الحرارة العالية إلى المنطقة ذات درجات الحرارة الواطئة.

بصورة عامة تختلف طرائق قياس التوصيلية الحرارية (k) تبعاً لنوع المادة موصلة كانت أم عازلة وكما يأتي:

1- تقاس التوصيلية الحرارية لمادة جيدة التوصيل الحراري مثل النحاس باستعمال طريقة سيرل (Searle's Method) حيث إن مبدأ القياس هو تطبيق لقانون فوريير.

2- تقاس التوصيلية الحرارية لمادة رديئة التوصيل الحراري على شكل قرص مثل المواد ذات الأساس البوليمرى باستعمال قرص لي (Lee's Disc Method) كما في الشكل (6-2) وفيها يوضع النموذج (S) بين قرصين من النحاس (A,B) ويتم القرص (B) المسخن الكهربائي (H) ثم يليه القرص (C) وبالاعتماد على حساب كمية الحرارة المارة خلال عينة من المادة والمتمثلة بالقرص (S)، إذ يتم حساب قيمة ( $k$ ) من العلاقة الآتية [83]:

$$k \{ (T_B - T_A) / ds \} = e [ T_A + r/2 ( d_A + ds/4) T_A + ds T_B / 2r ] \dots\dots\dots (28-2)$$

حيث إن  $e$ : تمثل كمية الطاقة الحرارية المارة عبر وحدة مساحة مادة القرص لكل ثانية (W/m<sup>2</sup>.K) وتحسب من العلاقة الآتية:

$$IV = \pi r^2 e (T_A + T_B) + 2\pi r e [d_A T_A + ds / 2 (T_A + T_B + d_B T_B + d_C T_C)] \dots (29-2)$$

حيث إن:

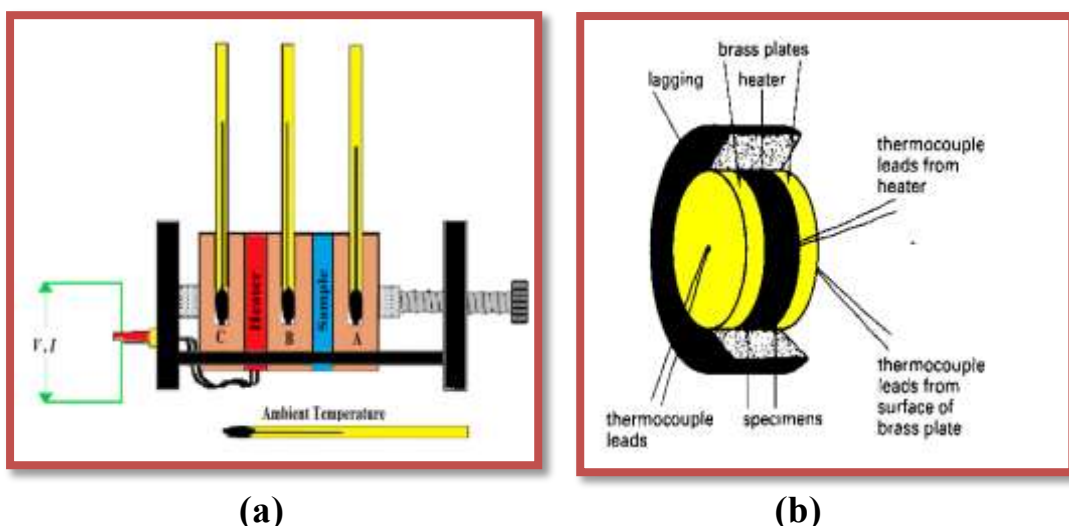
$T_A, T_B, T_C$ : تمثل درجة حرارة القرص (A,B and C) على التوالي.

$d$ : سمك القرص بوحدات (m).

$r$ : نصف قطر القرص بوحدات (m).

$I$ : التيار المار في ملف المسخن بوحدات (Ampere).

$V$ : فرق الجهد على طرفي ملف المسخن بوحدات (Volt).



الشكل (6-2): a- مخطط جهاز قياس التوصيلية الحرارية (قرص لي)

b-الحالة المثلية للقرص [84,85]

## 2-5-2) درجة الانتحال الزجاجي ( $T_g$ ) Glass-Transition Temperature

من خواص الحالة الزجاجية في البوليمرات تغير صفاتها الميكانيكية والفيزيائية عند درجة حرارة معينة تدعى بدرجة الانتحال الزجاجي والتي يرمز لها عادة ( $T_g$ ) ويمكن تعريفها على أنها الدرجة الحرارية التي يتحول عندها البوليمر من مادة صلبة قوية إلى مادة مرنة فوق درجة الانتحال الزجاجي يكون البوليمر مرناً [86] (Flexible).

تمتلك اللدائن مجموعة تحولات (Transitions) مختلفة تحت تأثير ارتفاع درجات الحرارة، عند درجات حرارة أقل من درجة الانتحال الزجاجي تكون المادة اللدائنية عبارة عن مادة صلبة قوية، تتحول عند الانتحال إلى مادة لدائنية لينة ومرنة ومن ثم تتحول إلى الحالة المطاطية في حالة اللدائن غير المطاوعة للحرارة، وسوائل عالية الزوجة في حالة اللدائن المطاوعة للحرارة [87,88]. تعتمد درجة الانتحال الزجاجي على حركة مجاميع الذرات والجزئيات في المادة اللدائنية وبالتالي فكلما تعددت الرابط وأزدادت قوة الأواصر وزاد الوزن الجزيئي امتلكت المادة اللدائنية درجة انتقال زجاجي أعلى، حيث ترتبط درجة حرارة الانتحال الزجاجي للبوليمر مع معدل الوزن الجزيئي له بالعلاقة الآتية [87]:

$$T_g = 373 - 1 \times 10^5 / \overline{M}_w \quad \dots \dots \dots \quad (30-2)$$

حيث ان:

$\overline{M}_w$ : معدل الوزن الجزيئي.

## 3-5-2) درجة الانصهار البلورية ( $T_m$ )

### Crystalline Melting Temperature

لصهر أي مادة صلبة لابد من تسخينها وأعطائها كمية من الحرارة، حيث ترتفع درجة حرارتها حتى تبدأ بالانصهار فتنقل المادة من الحالة الصلبة إلى الحالة السائلة عند درجة حرارة محددة وهي درجة الانصهار البلورية ( $T_m$ )، وتظل هذه الدرجة ثابتة لا تتغير حتى تتحول كل المادة الصلبة إلى سائل، وتعتبر من الصفات المميزة والمهمة للبوليمرات المتبلورة، وتعرف بأنها درجة الحرارة التي تختفي عندها التراكيب البلورية.

تقاس درجة الانصهار البلورية في البوليمرات بعدة طرق منها:

- 1- استخدام المجاهر المستقطبة (Polarizing Microscope)

2- بواسطة الأجهزة المعتمدة على قياس التغير في الانثالبي (Enthalpy) مثل فحص المسعر الحراري التبايني (DSC) أو التحليل الحراري التفاضلي (DTA).

وتعتمد درجة الانصهار البلورية على عدة عوامل هي: الوزن الجزيئي للبوليمير، وجود التراكيب الاروماتية في سلاسل البوليمير، القوى البنية الجزيئية مثل الروابط الهيدروجينية ودرجة الانتظام الفراغي. أذ أن درجة الانصهار البلورية تتناسب طردياً مع هذه العوامل [88].

#### **Thermogravimetric Analysis (TGA) (4-5-2)**

يستعمل مصطلح الاستقرارية الحرارية (Thermal Stability) للاشارة الى التغييرات التي تحدث في أحد الصفات الفيزيائية او أكثر والتي تعتمد على درجة الحرارة والزمن، وبصورة عامة أن الاستقرارية الحرارية يمكن أن توصف على أنها الاستقرارية المشتقة من قدرة البوليمير على مقاومة التفكك أو الانحلال [89]. والتحليل الحراري الوزني هو تقنية لقياس فقد في الوزن كدالة لدرجة الحرارة، وتعتبر من أهم الوسائل المستعملة لتعيين الثبات الحراري للبوليمير وتحديد درجة الحرارة التي يتفكك عنها. لذلك أن (TGA) تعطي معلومات مباشرة عن الثبات الحراري، وأنها مفيدة في تشخيص البوليمير وخاصة في حالة حصول التفكك وأعطاء نواتج معروفة التركيب. أن (TGA) يكون على نوعين هما التحلل ذو درجة حرارة ثابتة (Isothermal) والتحلل بتغيير درجة الحرارة (Non Isothermal)، ففي النوع الأول يسجل الوزن المفقود مع الزمن بثبوت درجة الحرارة، اما في النوع الثاني فإن درجة حرارة العينة تزداد بسرعة ثابتة، أي أن الوزن يسجل مع ارتفاع درجة الحرارة، وهذا يعطي معلومات أكثر فائدة، لأنه يبين أعلى حد للثبوت الحراري [90,91].

الفصل الثالث

الجزء العجمي

**Introduction****(1-3) المقدمة**

يتضمن هذا الفصل الجانب العملي للدراسة، ويشمل ثلاثة محاور رئيسية، يتمثل المحور الأول التعرف على المواد الأولية المستخدمة في تحضير المادة المترابكة وأهم خواصها ومميزاتها. والمحور الثاني يتعلق بالأجهزة المستخدمة في تحضير العينات وأسلوب تحضير العينات، مع عرض تخطيطي لإشكال هذه العينات وأبعادها، أما المحور الثالث فقد تضمن تعريفاً للأجهزة المستخدمة لأجراء الاختبارات المنجزة.

**Materials Used****(2-3) المواد المستخدمة****Matrix Material****(1-2-3) المادة الأساسية**

المادة الأساسية التي أستخدمت في تحضير المادة المترابكة هي بوليمر بولي كحول الفاينيل (PVA) المصنوع في شركة Central Drug House (P), Ltd. New Delhi INDIA. ذو الوزن الجزيئي (14000 g/mol)، ويتميز بأنه شفاف مائل إلى البياض، عديم الرائحة وغير سام، ويذوب في الماء المقطر فقط عند تسخينه بدرجة حرارة (80°C) مما فوق ويكون قليل الذوبان في الإيثanol، الجدول (1-3) يوضح بعض خصائص بوليمر بولي كحول الفاينيل (PVA) المستخدم.

**الجدول (1-3): بعض خواص بوليمر بولي كحول الفاينيل (PVA).**

Properties of Polyvinyl Alcohol (PVA)	
Description	White crystalline powder/flakes/granules
Solubility	4% Solution in hot water is clear and colourless
Molecular Weight	14000 g/mol
Ash	Max 1.0%
Degree of hydrolysis	86 - 89 %

**Reinforcement Materials****(2-2-3) مواد التدعيم****Aluminium Chloride****(1-2-2-3) كلوريد الألمنيوم**

هو مركب كيميائي صيغته الجزيئية  $\text{AlCl}_3$  ويتوارد على شكلين أما خالي من الماء (لامائي)، أو مرتبط مع ست جزيئات من الماء  $\text{H}_2\text{O}$ ، وتم الحصول عليه من شركة Central Drug House (P) Lte. Daryaganj. NewDelhi INDIA) جزيئي (241.43 g/mol)، ويكون على شكل بلورات سائلة صفراء أو مسحوق بلوري، ويذوب في الماء.

**Aluminium Nitrate****(2-2-2-3) نترات الألمنيوم**

هو مركب كيميائي صيغته الجزيئية  $\text{Al}(\text{NO}_3)_3$  ويرتبط مع تسع جزيئات ماء  $\text{H}_2\text{O}$ ، ويكون على شكل حبيبات عديمة اللون ومعدل الوزن الجزيئي له (375.13 g/mol) (Hi Media Laboratories Pvt. Ltd. INDIA)، المصنع في شركة

**(3-3) الاجهزة المستخدمة وطريقة تحضير العينات****The Equipments Used and the Samples Preparation Method****The Equipments Used****(1-3-3) الاجهزة المستخدمة**

استخدمت بعض الاجهزة لتحضير أغشية بوليمر (PVA) النقية والمدعمة بأملام الألمنيوم وهي على النحو الآتي:

**Sensitive Electronic Balance****1- الميزان الإلكتروني الحساس**

وهو من الاجهزة المهمة في المختبرات العلمية لتحديد الكتل المطلوبة للمواد المستخدمة في عملية التحضير، وله عدد رقمي يعطي نتيجة الوزن بشكل مباشر وبدقة عالية، وأستخدم ميزان كهربائي حساس من نوع (KERN PLE) ذي حساسية  $10^{-3}\text{g}$ ، الشكل (1-3) يظهر صورة الميزان الإلكتروني الحساس المستخدم.



الشكل (3-1): صورة الميزان الإلكتروني الحساس.

## Magnetic Stirrer

## 2- الخلط المغناطيسي

وهو أداة مختبرية تعمل على تدوير وخلط المحاليل الكيميائية، ويكون الخلط المغناطيسي من محرك كهربائي مثبت به مغناطيس دائمي واطباق حرارية أو وسيلة أخرى لتسخين السائل، الخلطات المغناطيسية تعتبر ذات كفاءة وأقل ضوضاء وصغيرة الحجم ولها تفضيل على نظيرتها من الخلطات الميكانيكية، الشكل (3-2) يظهر صورة الخلط المغناطيسي المستخدم.



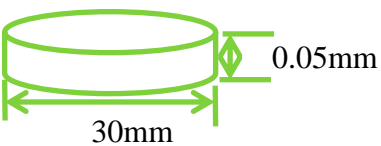
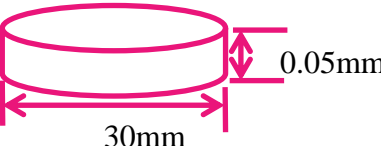
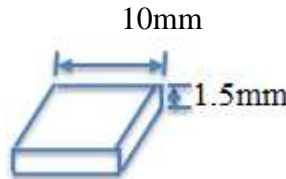
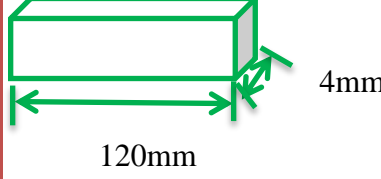
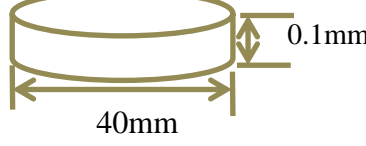
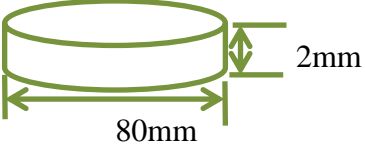
الشكل (2-3): صورة الخلط المغناطيسي.

### Composites Preparation

### 3- تهيئة القوالب

تم تهيئة قوالب زجاجية دائرية (Petridish) ومستطيلة الشكل، ويتم تنظيف القوالب جيداً وتوضع على سطح مستويٍ ومتعدل، الشكل (3-3) يوضح مخطط الابعاد القياسية للعينات المحضررة والأجهزة المستخدمة في الاختبار.

الشكل (3-3): مخطط الابعاد القياسية للعينات.

الجهاز المستخدم في الاختبار	الابعاد القياسية للعينة	نوع الاختبار
(UV-Visible 1800 double beam spectrophotometer)		اختبار UV-VIS
(IR Affinity-1CE (FTIR) spectrophotometer)		اختبار FTIR
(Check-line dd-100)		اختبار الصلادة (Shore D)
(Tinius Olsen - H10K)		اختبار الشد
Lee Disc B.S-Griffin-George Ltd		اختبار التوصيلية الحرارية
(STA. PT-1000 Linseis)		اختبار درجة الانتقال الزجاجي ( $T_g$ )، درجة الانصهار (بلوريّة) ( $T_m$ )، التحليل الحراري الوزني (TGA)

### (2-3-3) تحضير أغشية بوليمر (PVA) النقية و المدعمة بأملاح الألمنيوم

#### **Preparation of Pure and Aluminium Salts Filled Polymer (PVA) Films**

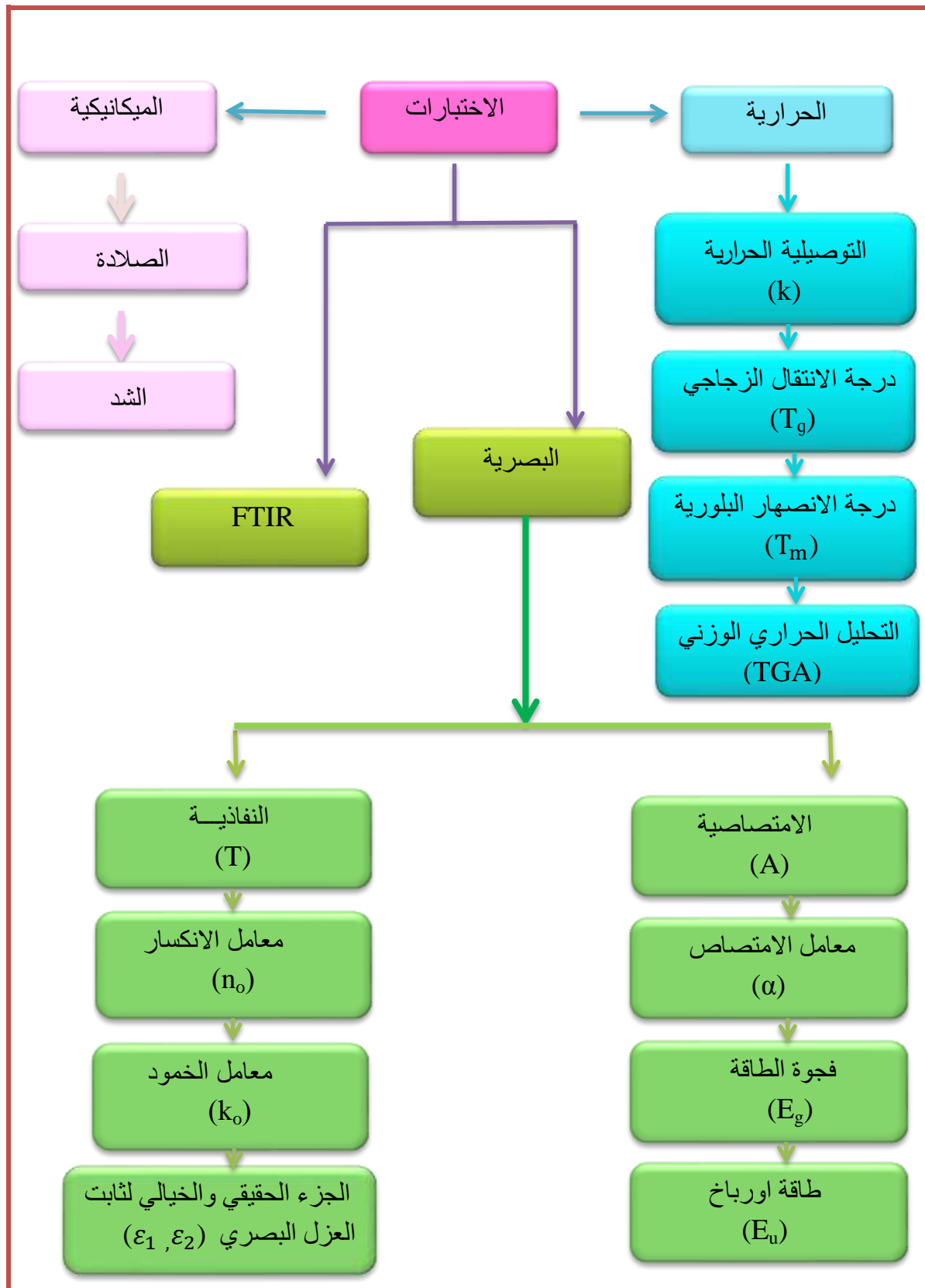
لتحضير أغشية بوليمر (PVA) النقية والمدعمة بأملاح الألمنيوم أتبعت الخطوات الآتية:

- 1- بوليمر (PVA) النقي والمدعوم بأملاح الألمنيوم بنسب وزنية مختلفة يذاب بـ (15ml) من الماء المقطر باستخدام الخلط المغناطيسي لخلط المواد لمدة (1h) بدرجة حرارة (80°C) وذلك للحصول على محليل متجانسة، الجدول (2-3) يوضح النسب الوزنية لأغشية المترافقين (بوليمر (PVA) - أملاح الألمنيوم).
- 2- تستخدم طريقة صب المحلول (Casting Method) لتحضير أغشية بوليمر (PVA) النقية و المدعمة بأملاح الألمنيوم، إذ تصب كل عينة في قالب زجاجي دائري أو مستطيل الشكل، وتبقى العينة لمدة (24h) حتى تجف بدرجة حرارة الغرفة، الشكل (4-3) يوضح مخطط لاختبارات المنجزة.

**الجدول (2-3):** النسب الوزنية لأغشية المترافقين (بوليمر (PVA) - أملاح الألمنيوم).

Weight ratio of additive (wt%)	Polymer (PVA) g	Aluminium salts g
Pure	1	0
1	0.99	0.01
3	0.97	0.03
5	0.95	0.05
7	0.93	0.07
9	0.91	0.09
11	0.89	0.11
13	0.87	0.13
15	0.85	0.15

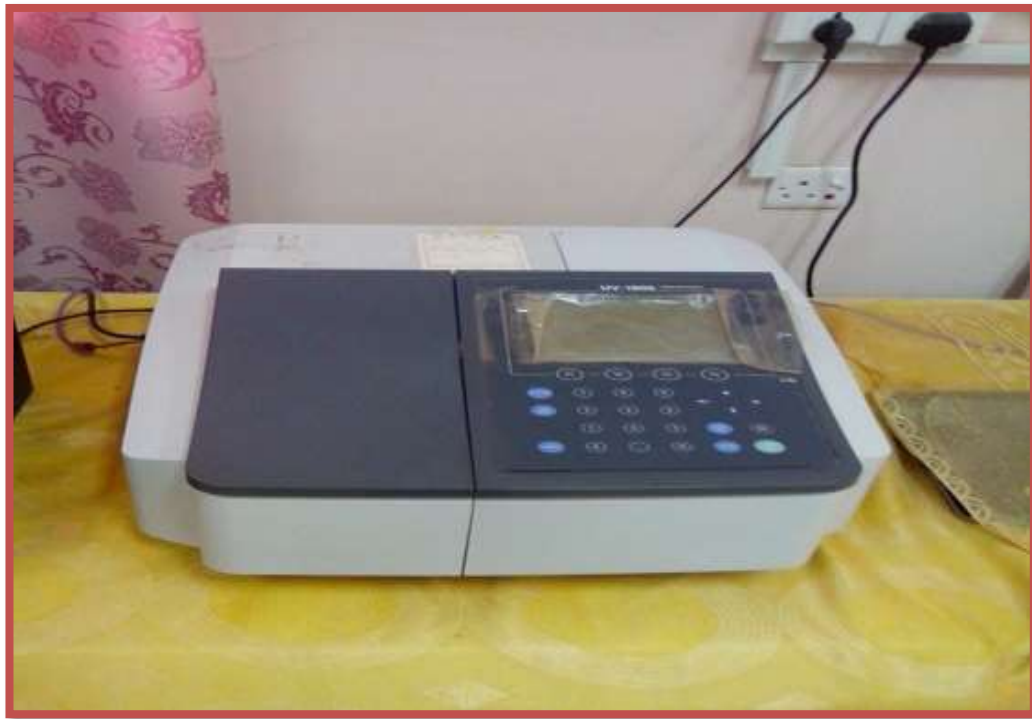
الشكل (4-3): مخطط الاختبارات المنجزة.



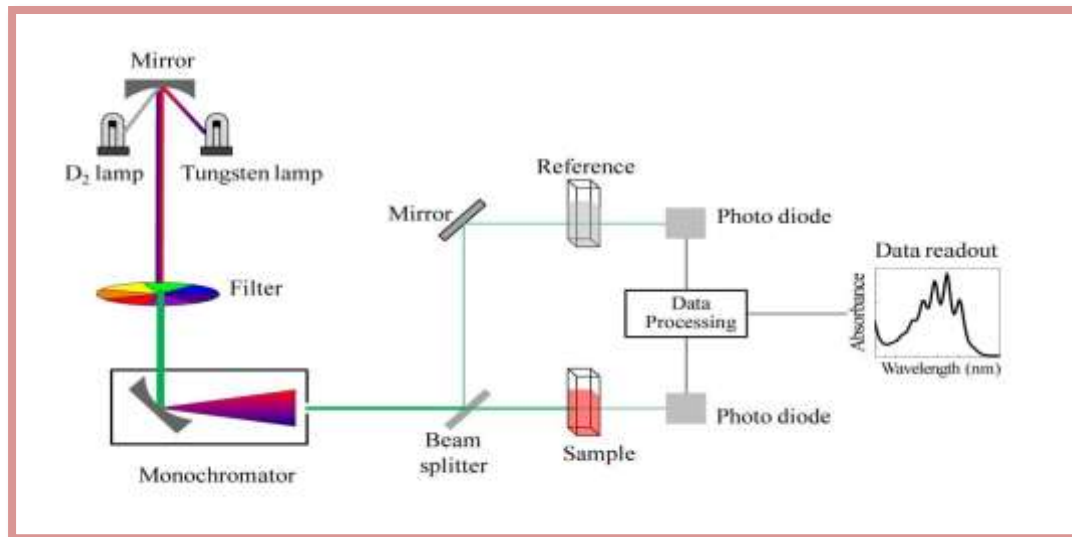
## (4-3) الاختبارات والأجهزة المستخدمة

**Tests and Equipments Used****UV-VIS Test****UV-VIS اختبار (1-4-3)**

تم تسجيل طيفي الفاندزية والامتصاصية لاغشية بوليمر (PVA) النقية والمدعمة بأملام الالمنيوم ضمن مدى الاطوال الموجية nm (190-1100) بدرجة حرارة الغرفة، وذلك باستخدام جهاز (UV-Visible 1800 double beam spectrophotometer) المصنوع في شركة Shimadzu, Japanes (فجوة الطاقة، طاقة أورباخ، معامل الامتصاص، معامل الانكسار، معامل الخمود، الجزء الحقيقي والخيالي لثابت العزل البصري)، الشكل (5-3) يظهر صورة جهاز (UV-VIS) المستخدم والشكل (3-6) يوضح مخطط جهاز (UV-VIS) المستخدم.



الشكل (5-3): صورة جهاز (UV-VIS).



.الشكل (6-3): مخطط جهاز (UV-VIS).

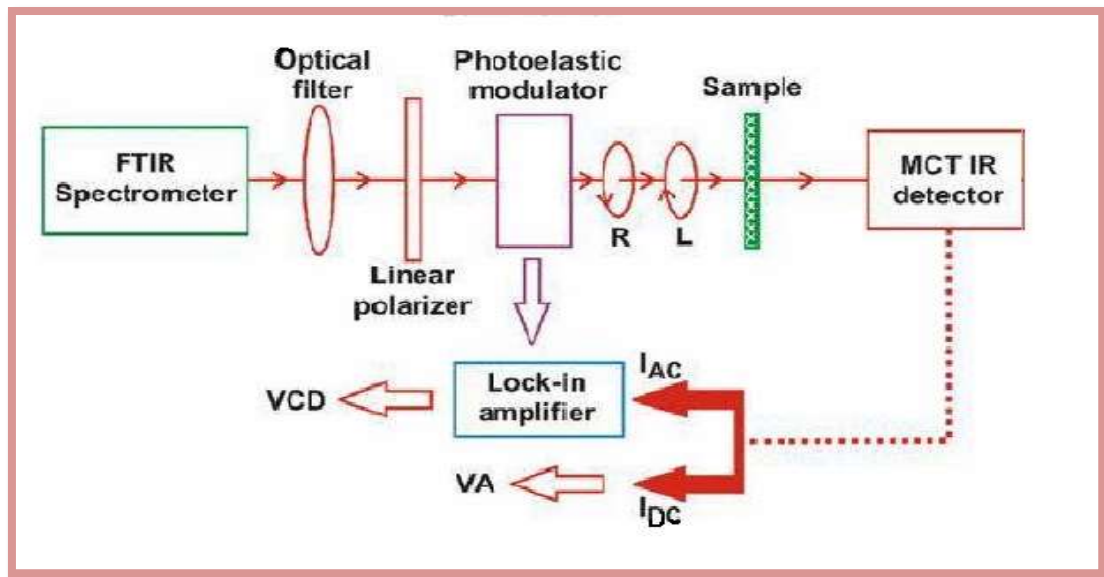
#### (2-4-3) اختبار تحويل فوريير للاشعة تحت الحمراء

#### Fourier Transfrom Infrared (FTIR) Test

لغرض معرفة المجاميع الفعالة في أغشية بوليمر (PVA) النقية والمدعمة باملاح الالمنيوم، تم تسجيل طيف الاشعة تحت الحمراء ضمن مدى العدد الموجي  $cm^{-1}$  4000 - 400 وذلك باستخدام جهاز (IR Affinty-1CE (FTIR) spectrophotometer) المصنع في شركة Shimadzu، Japanese الشكل (7-3)، يظهر صورة جهاز (FTIR) المستخدم والشكل (8-3) يوضح مخطط جهاز (FTIR) المستخدم.



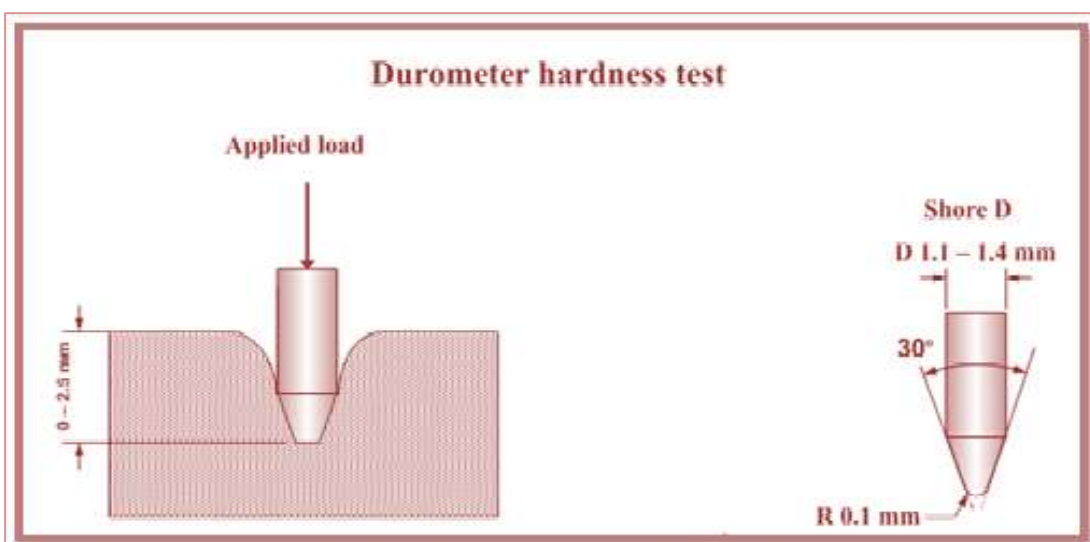
.الشكل (7-3): صورة جهاز (FTIR)



(الشكل (8-3): مخطط جهاز (FTIR).

**Hardness Test****(3-4-3) اختبار الصلادة**

لأجل أجراء اختبار الصلادة لاغشية بوليمر (PVA) النقيّة والمدعمة باملاح الالمنيوم تم استخدام جهاز (Shore D) من نوع (Check-line dd-100) ذو المنشأ الامريكي، وهو عبارة عن جهاز يدوّي يتكون من نابض محمّل بآداة غرز بشكّل أبّرة تخترق سطح العينة ويسجل الرقم الذي يظهر على الشاشة الموجودة في الجهاز، الشكل (9-3) يوضح مخطط جهاز اختبار الصلادة المستخدم (Shore D).



(الشكل (9-3): مخطط جهاز اختبار الصلادة.

**Tensile Test****4-4-3) اختبار الشد**

لأجل إجراء اختبار الشد لاغشية بوليمر (PVA) النقية والمدعمة بأملاح الالمنيوم تم استخدام الجهاز المبين بالشكل (10-3)، وهو جهاز من نوع (Tinius Olsen - H10K) ذو المنشأ الانكليزي، ويتم تثبيت العينة في الموضع المخصص لها بين الفكين لمسك العينة بثبات وضمان عدم تحركها في أثناء إجراء الاختبار، عند تشغيل الجهاز تبدأ المقابض بشد العينة من الأعلى والأسفل بسرعة (10mm/min) ويسجل الرقم من خلال شاشة الجهاز لحظة كسر (فشل) العينة.

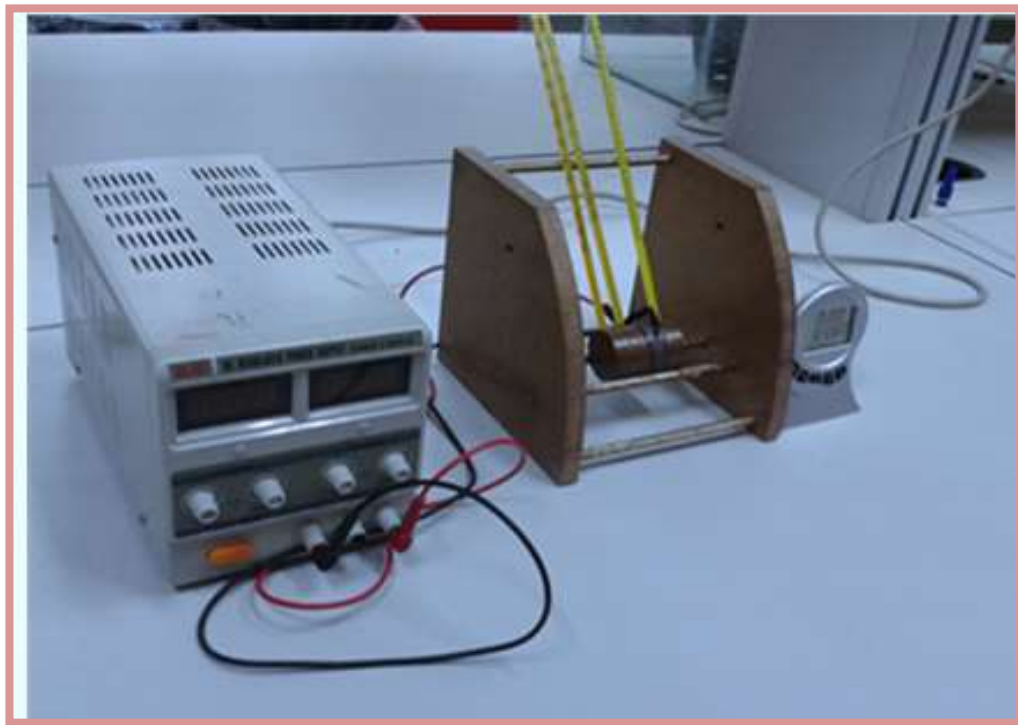


الشكل (10-3): صورة جهاز اختبار الشد.

## Thermal Conductivity Test

## (5-4-3) اختبار التوصيلية الحرارية

في هذا الاختبار تم استخدام طريقة قرص لي (Lee's Disc) الخاصة بحساب التوصيلية الحرارية للمواد العازلة وذلك باستخدام الجهاز المصنع في شركة Griffen and George الانكليزية المبين بالشكل (11-3)، تم حساب التوصيلية الحرارية لاغشية بوليمر (PVA) النقية والمدعمة بأملاح الالمنيوم، إذ يتكون الجهاز من ثلاثة أقراص (A,B,C) ومسخن كهربائي (Heater) يربط الى دائرة كهربائية، بحيث توضع العينة بين القرصين (A,B)، ويوضع المسخن الكهربائي بين القرصين (B,C)، وعند تشغيل مجهر القدرة لتشغيل المسخن الكهربائي تسخن الأقراص ويبدا انتقال الحرارة من المسخن الى القرص الذي يليه حتى تصل الى القرص الأخير وعند الوصول الى حالة الاتزان الحراري تسجل قراءة المحارير الموجودة في كل قرص وهي  $(T_a, T_b, T_c)$ .



الشكل (11-3): صورة جهاز قياس التوصيلية الحرارية (قرص لي).

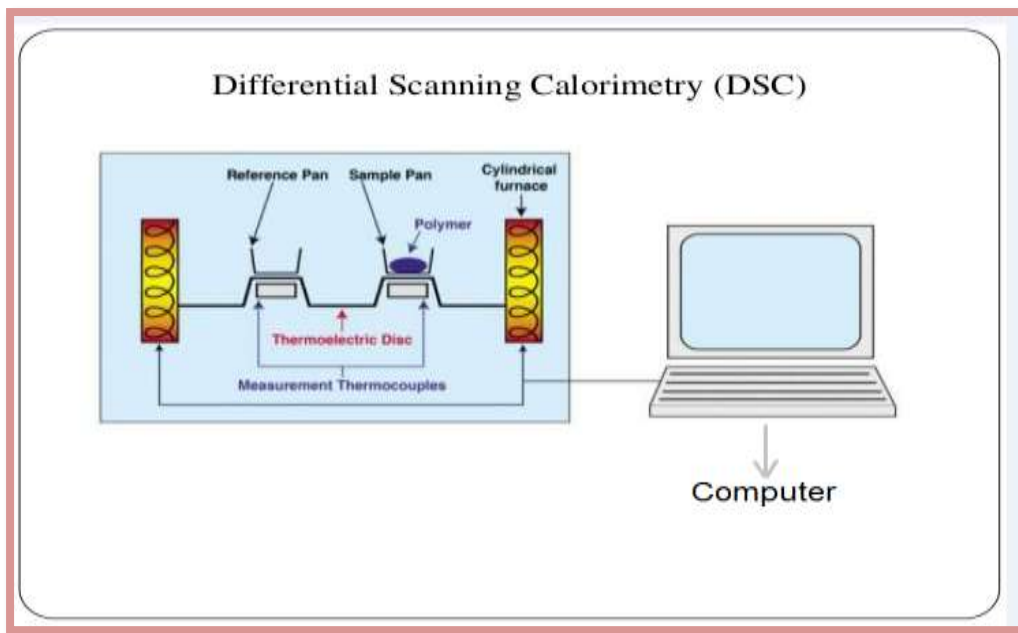
### (6-4-3) اختبار المسعر الحراري التبايني

#### Differential Scanning Calorimetry (DSC) Test

هو جهاز يستخدم لايجاد الفرق بين كمية الحرارة عندما ترتفع درجة الحرارة للعينة، ويعطي هذا الجهاز درجة الانتقال الزجاجي ( $T_g$ )، درجة الانصهار البلورية ( $T_m$ )، التحليل الحراري الوزني (TGA)، وتم استخدم جهاز من نوع (STA. PT-1000 Linseis) ذات المنشأ (Linseis Company - Germany) المبين بالشكل (12-3)، تم معايرة الجهاز باستخدام أنموذج من بوتقة (Crucible) مصنوعة من الالومينا ذات صنع الماني، حيث يؤخذ أنموذج يوزن (9-21) mg ويتم وضعه في الجهاز بمعدل حرارة (10°C/mim) بوجود غاز الاركون، وأن من الجدير بالذكر يتم الحصول من خلال هذا الجهاز على رسوم بيانية توضح درجة الانتقال الزجاجي ( $T_g$ )، درجة الانصهار البلورية ( $T_m$ ) والفقد في الوزن مع ارتفاع درجة الحرارة (TGA) لاغشية بوليمر (PVA) النقية والمدعمة بأملاح الالمنيوم، الشكل (13-3) يوضح مخطط جهاز (DSC) المستخدم.



الشكل (12-3): صورة جهاز (DSC).



الشكل (13-3): مخطط جهاز (DSC).

الفصل الرابع

النتائج والمناقشة

**Introduction****(1-4) المقدمة**

يستعرض هذا الفصل النتائج كافة التي تم التوصل إليها في الدراسة الحالية مع مناقشتها، وقد تم توضيح جميع النتائج بالرسومات البيانية لجميع الاختبارات والمتمثلة بالاختبارات البصرية (النفاذية، الامتصاصية، معامل الامتصاص)، فجوة الطاقة، طاقة أورباخ، معامل الانكسار، معامل الخمود والجزء الحقيقي والخيالي لثابت العزل البصري (FTIR)، الاختبارات الميكانيكية (الصلادة والشد) و الاختبارات الحرارية ( التوصيلية الحرارية، درجة الانتقال الزجاجي، درجة الانصهار البلورية والتحليل الحراري الوزني).

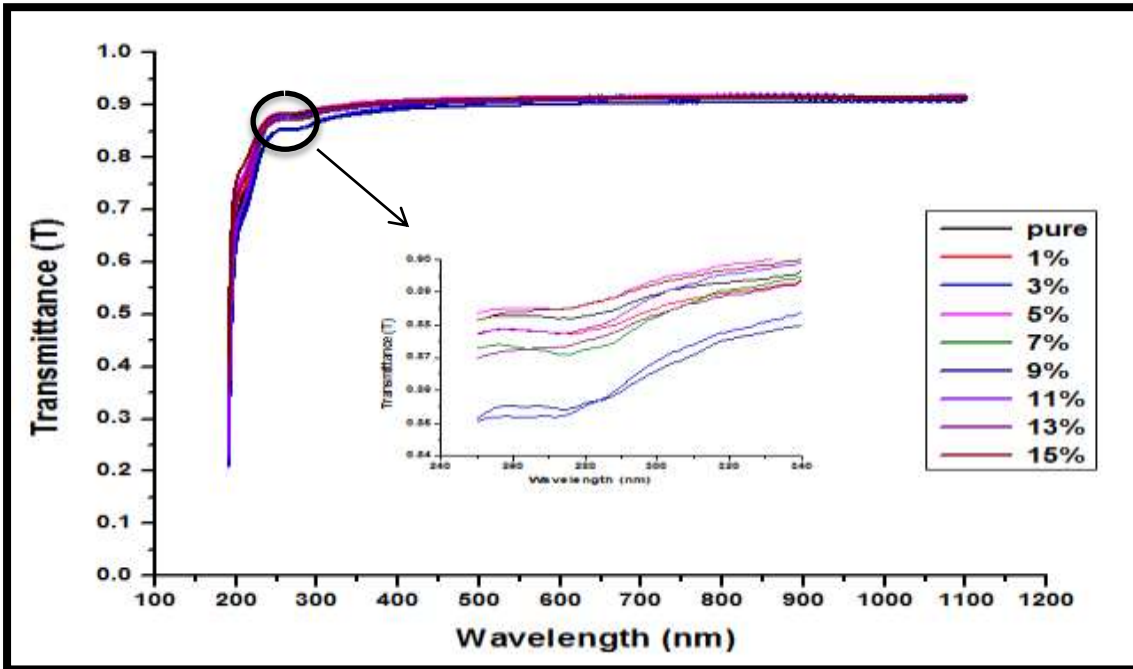
**Optical Properties****(2-4) الخواص البصرية**

تمت دراسة الخواص البصرية لأغشية بوليمر (PVA) النقية والمدعمة بأملاح الالمنيوم بنسب وزنية مختلفة، وتم تسجيل طيفي النفاذية والامتصاصية لأغشية المترابكبات كافة عند درجة حرارة الغرفة وكذلك حساب الثوابت البصرية (معامل الامتصاص، فجوة الطاقة، طاقة أورباخ، معامل الانكسار، معامل الخمود والجزء الحقيقي والخيالي لثابت العزل البصري).

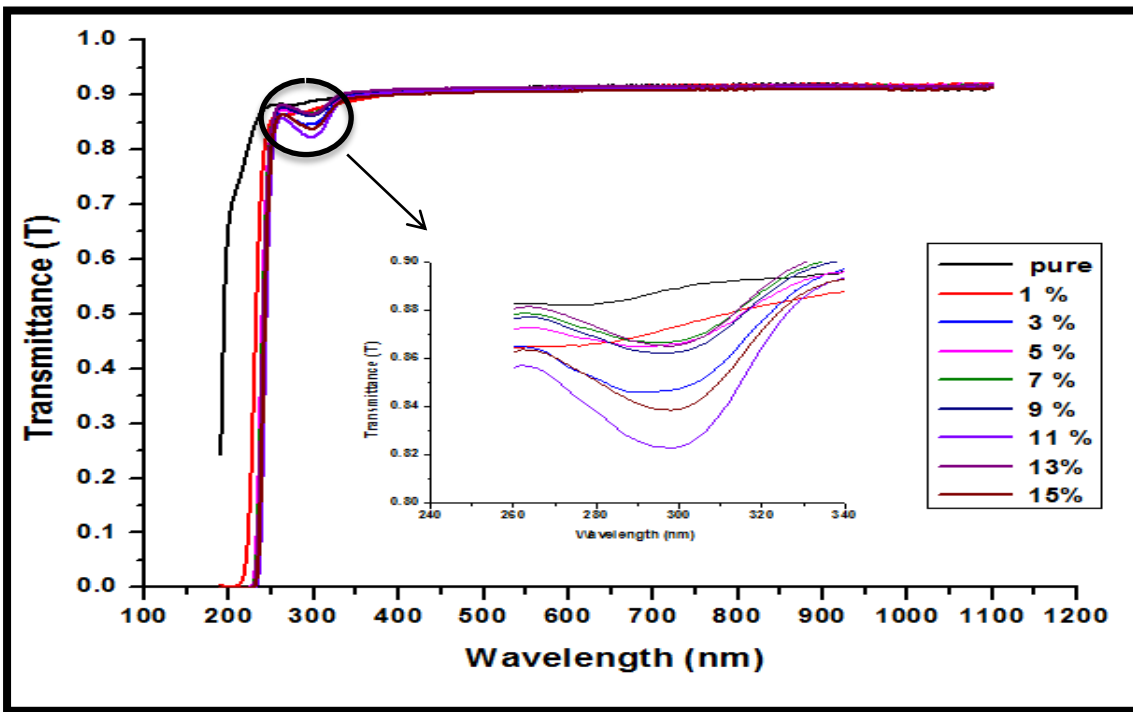
**Transmission Spectrum****(1-2-4) طيف النفاذية**

الشكلان (1-4) و (4-2) يوضحان طيف النفاذية كدالة للطول الموجي لأغشية بوليمر (PVA) النقية والمدعمة بأملاح الالمنيوم بنسب وزنية مختلفة، ويظهر الشكلان أن النفاذية تزداد مع زيادة الطول الموجي ولأغشية المترابكبات كافة، وبعد ذلك تبدو النفاذية ثابتة تقريباً وكافة أغشية المترابكبات عند الاطوال الموجية الطويلة، وأيضاً النفاذية تقل مع زيادة النسبة الوزنية لأملاح الالمنيوم المضافة، ويعود سبب ذلك إلى أن اضافة املاح الالمنيوم والتي تحتوي على الكترونات في مداراتها الخارجية تستطيع أن تتصادم الطاقة الكهرومغناطيسية للضوء الساقط ومن ثم انتقال الالكترونات الى مستويات طاقة أعلى، وهذه العملية لا يصاحبها أبعاث أشعاع بسبب أن الالكترونات المنتقلة للمستويات العليا قد احتلت موقع شاغرة من حزم الطاقة، وبالتالي أن جزء من الضوء الساقط يتمتص من قبل المادة ولا يمكن أن يخترقها، أن غشاء (PVA) النقى يمتلك أعلى نفاذية بسبب عدم وجود الالكترونات الحرة (أى بمعنى أن

الإلكترونات ترتبط بالذرات بواسطة الاواصر التساهمية، ويحدث هذا بسبب أن كسر الرابط الإلكتروني واتجاه الإلكترون نحو حزمة التوصيل يحتاج إلى فوتون ذو طاقة عالية [92].



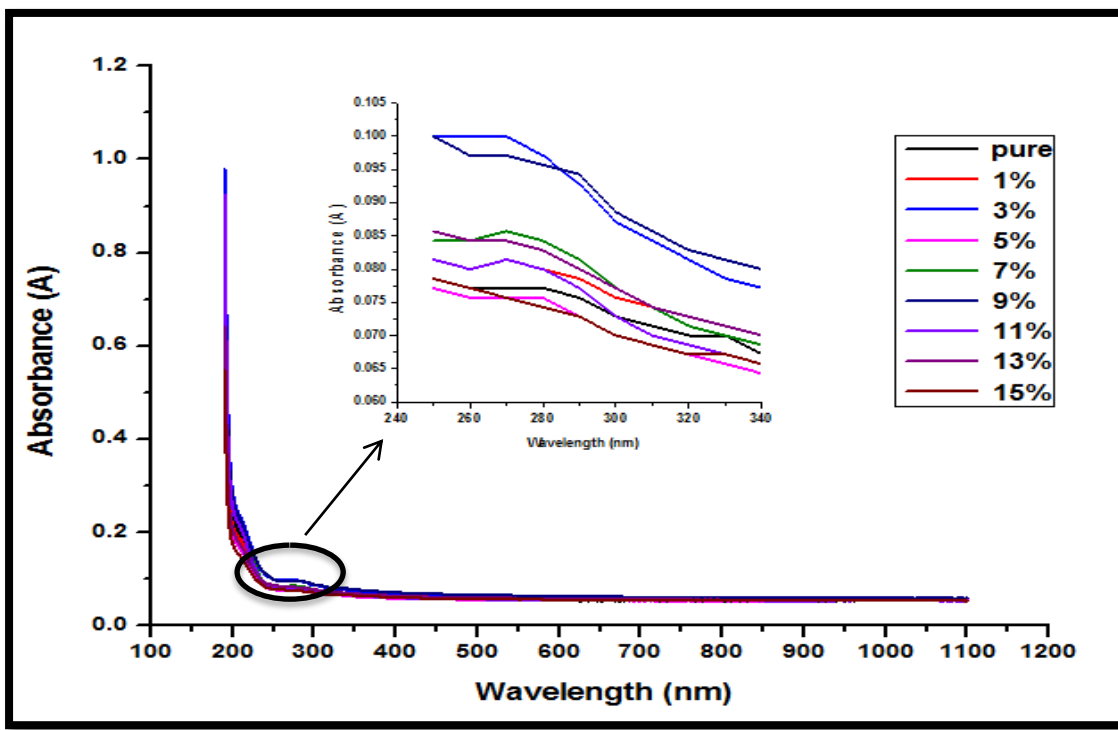
الشكل (1-4): طيف النفاذية كدالة للطول الموجي لأغشية المتراب (PVA-AlCl<sub>3</sub>) بنسوب وزنية مختلفة من ملح (AlCl<sub>3</sub>). (PVA-AlCl<sub>3</sub>)



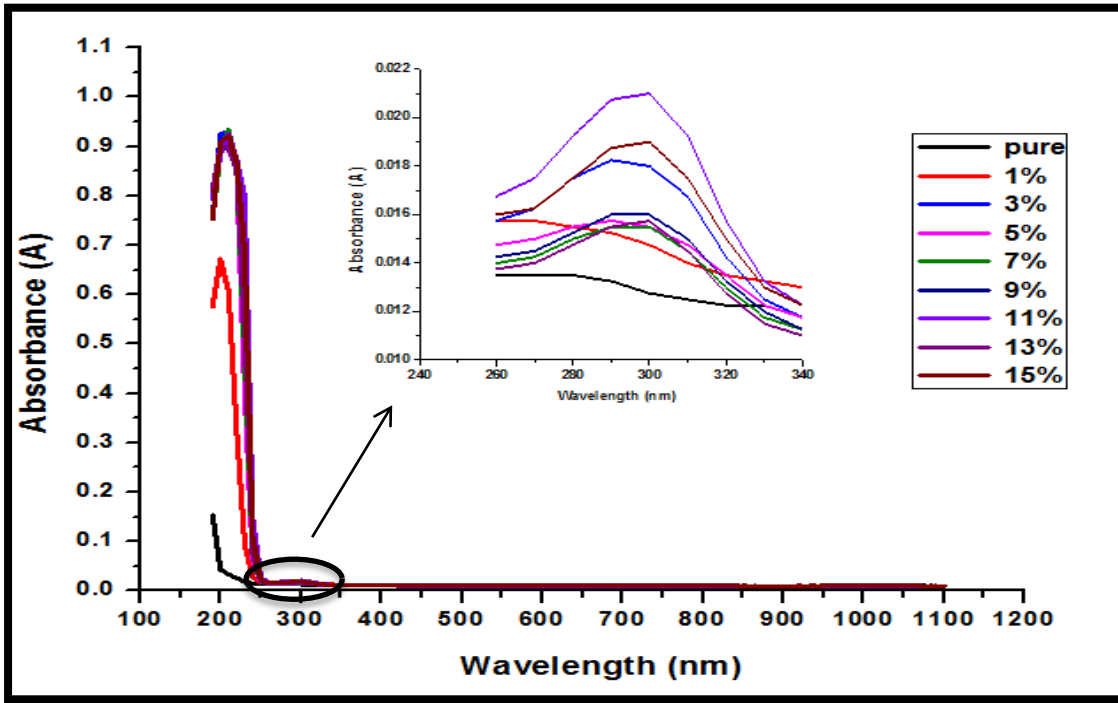
الشكل (2-4): طيف النفاذية كدالة للطول الموجي لأغشية المتراب (PVA-Al(NO<sub>3</sub>)<sub>3</sub>) بنسوب وزنية مختلفة من ملح (PVA-Al(NO<sub>3</sub>)<sub>3</sub>). (PVA-Al(NO<sub>3</sub>)<sub>3</sub>)

**Absorption Spectrum****(2-2-4) طيف الامتصاصية**

الشكلان (3-4) و (4-4) يوضحان طيف الامتصاصية كدالة للطول الموجي لأغشية بوليمر (PVA) النقية والمدعمة بأملاح الالمنيوم بنسب وزنية مختلفة، والشكلان يظهران أنه بالإضافة إلى الالمنيوم إلى بوليمر (PVA) فإنها تزيد من شدة قمة الامتصاصية، ولذلك فإن موقع القمّة ينحرف نحو الاطوال الموجية الطويلة (الحمراء) بزيادة النسبة الوزنية لاملاح الالمنيوم المضافة، أن زيادة الامتصاصية بزيادة النسبة الوزنية لاملاح الالمنيوم المضافة تتفق مع دراسة الباحث (Rabee) وأخرون عام (2012) [34] والتي تعزى إلى أن أيونات أملاح الالمنيوم تمتص الضوء الساقط عليها.



الشكل (3-4): طيف الامتصاصية كدالة للطول الموجي لأغشية المترافق (PVA-AlCl<sub>3</sub>) بنسـب وزنية مختلفة من ملح (AlCl<sub>3</sub>).

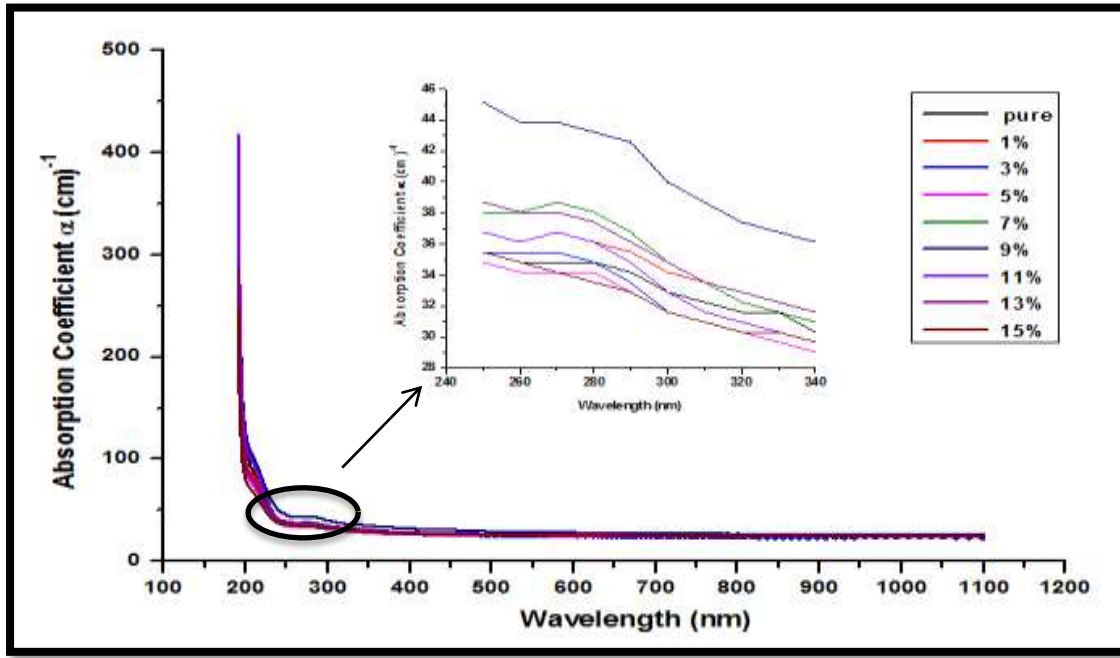


الشكل (4-4): طيف الامتصاصية كدالة للطول الموجي لاغشية المترافق (PVA- Al( $\text{NO}_3$ )<sub>3</sub>) بنسب وزنية مختلفة من ملح (Al( $\text{NO}_3$ )<sub>3</sub>).

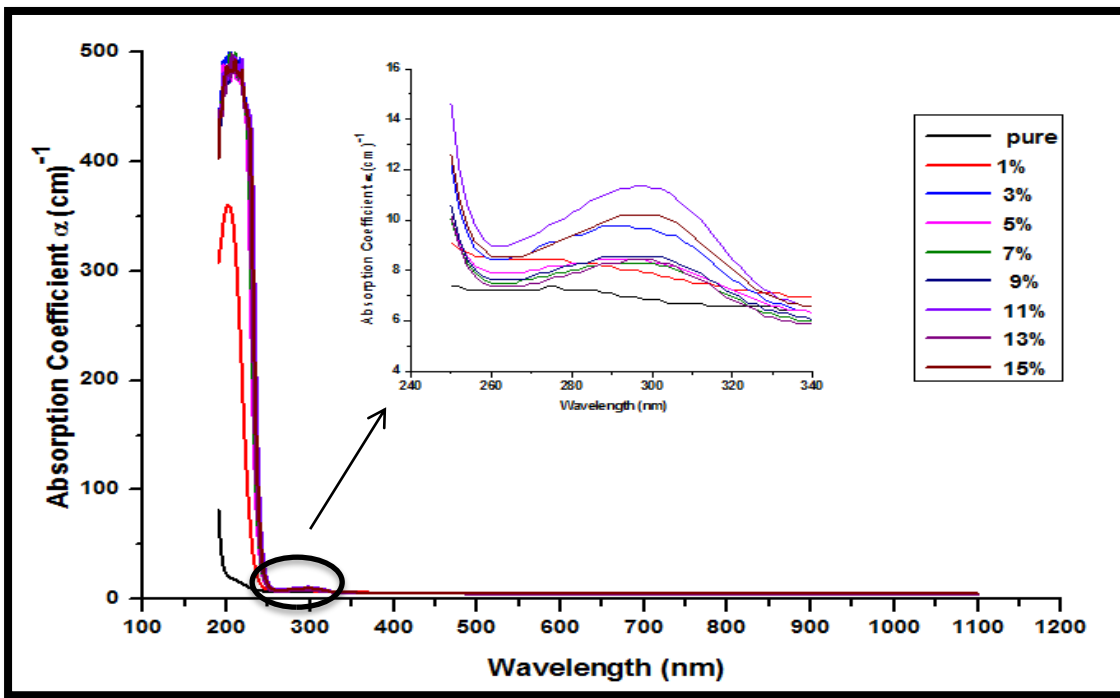
### Absorption Coefficient

### (3-2-4) معامل الامتصاص

تم حساب معامل الامتصاص  $\alpha \text{ (cm)}^{-1}$  باستخدام العلاقة (10-2) والشكلان (4-5) و (4-6) يوضحان معامل الامتصاص كدالة للطول الموجي لاغشية بوليمر (PVA) النقية والمدعمة بأملالح الالمنيوم بنسب وزنية مختلفة، ونستطيع أن نلاحظ من خلال الشكلين أن معامل الامتصاص يكون صغيراً عند الطاقات الواطئة، وهذا يعني أن امكانية الانتقال الالكتروني تكون قليلة بسبب أن طاقة الفوتون الساقط غير كافية لتحريك الالكترون من حزمة التكافؤ إلى حزمة التوصيل ( $E_g < h\nu$ )، وعند الطاقات العالية فإن معامل الامتصاص يكون كبيراً، وهذا يعني أن هناك امكانية كبيرة للانتقال الالكتروني، وبناء على ذلك فإن طاقة الفوتون الساقط تكون كافية لتحريك الالكترون من حزمة التكافؤ إلى حزمة التوصيل أي بمعنى آخر أن طاقة الفوتون الساقط هي أكبر من فجوة الطاقة [93]. ووجد أن معامل الامتصاص لاغشية بوليمر (PVA) النقية والمدعمة بأملالح الالمنيوم بنسب وزنية مختلفة هي أقل من ( $10^4 \text{ cm}^{-1}$ )، وهذا يبين أن الانتقال الالكتروني هو غير مباشر، ومن الشكلين (4-5) و (4-6) نلاحظ أيضاً أن معامل الامتصاص يزداد مع زيادة النسبة الوزنية لأملالح الالمنيوم المضافة وهذه النتيجة تتفق مع دراسة الباحث (Rabee) وأخرون عام (2012) [34] و الباحث (Salman) وأخرون عام (2016) [42].



الشكل (5-4): معامل الامتصاص كدالة للطول الموجي لأغشية المترافق (PVA-AlCl<sub>3</sub>) بنسب وزنية مختلفة من ملح (AlCl<sub>3</sub>).



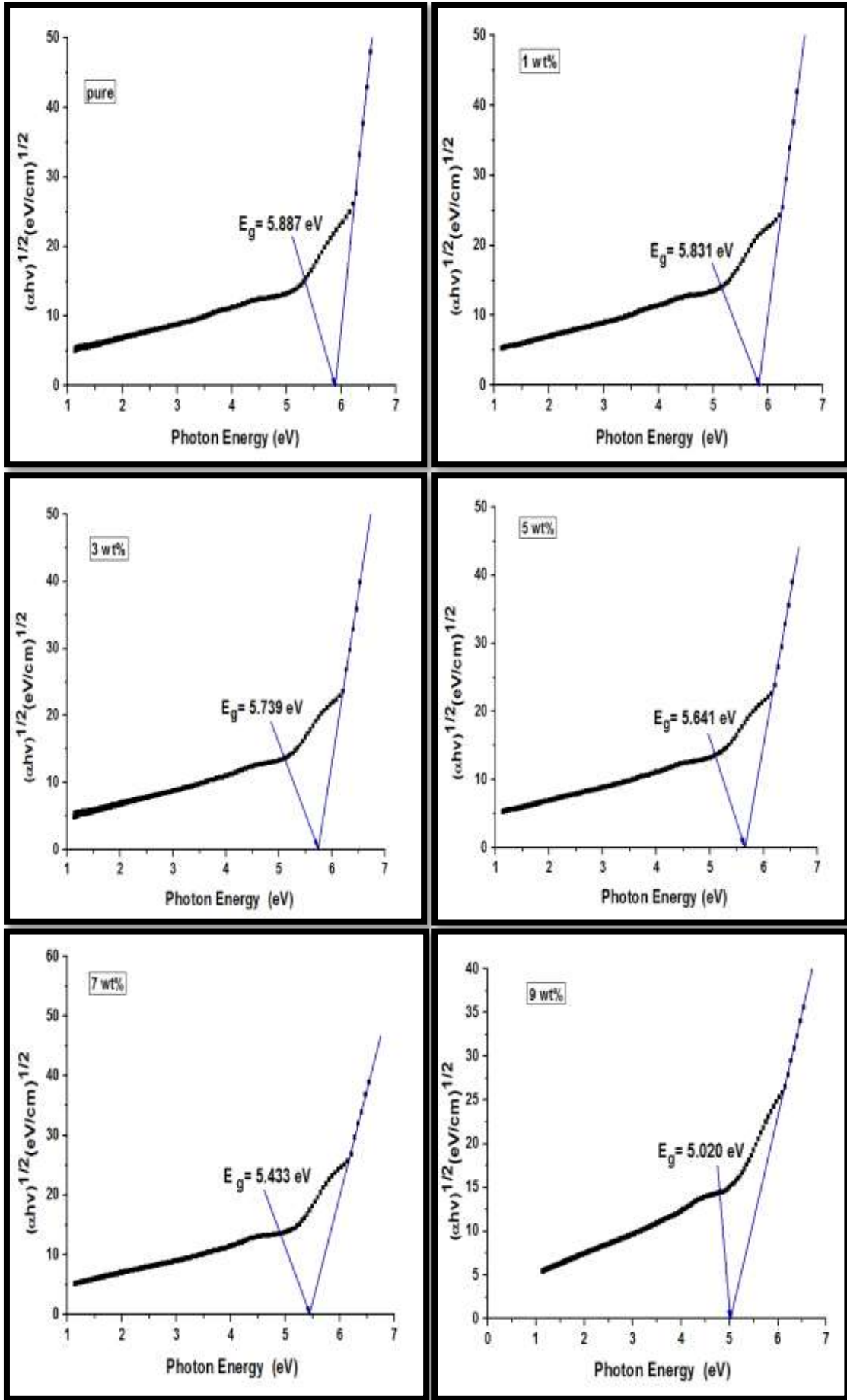
الشكل (6-4): معامل الامتصاص كدالة للطول الموجي لأغشية المترافق (PVA-Al(NO<sub>3</sub>)<sub>3</sub>) بنسب وزنية مختلفة من ملح (Al(NO<sub>3</sub>)<sub>3</sub>).

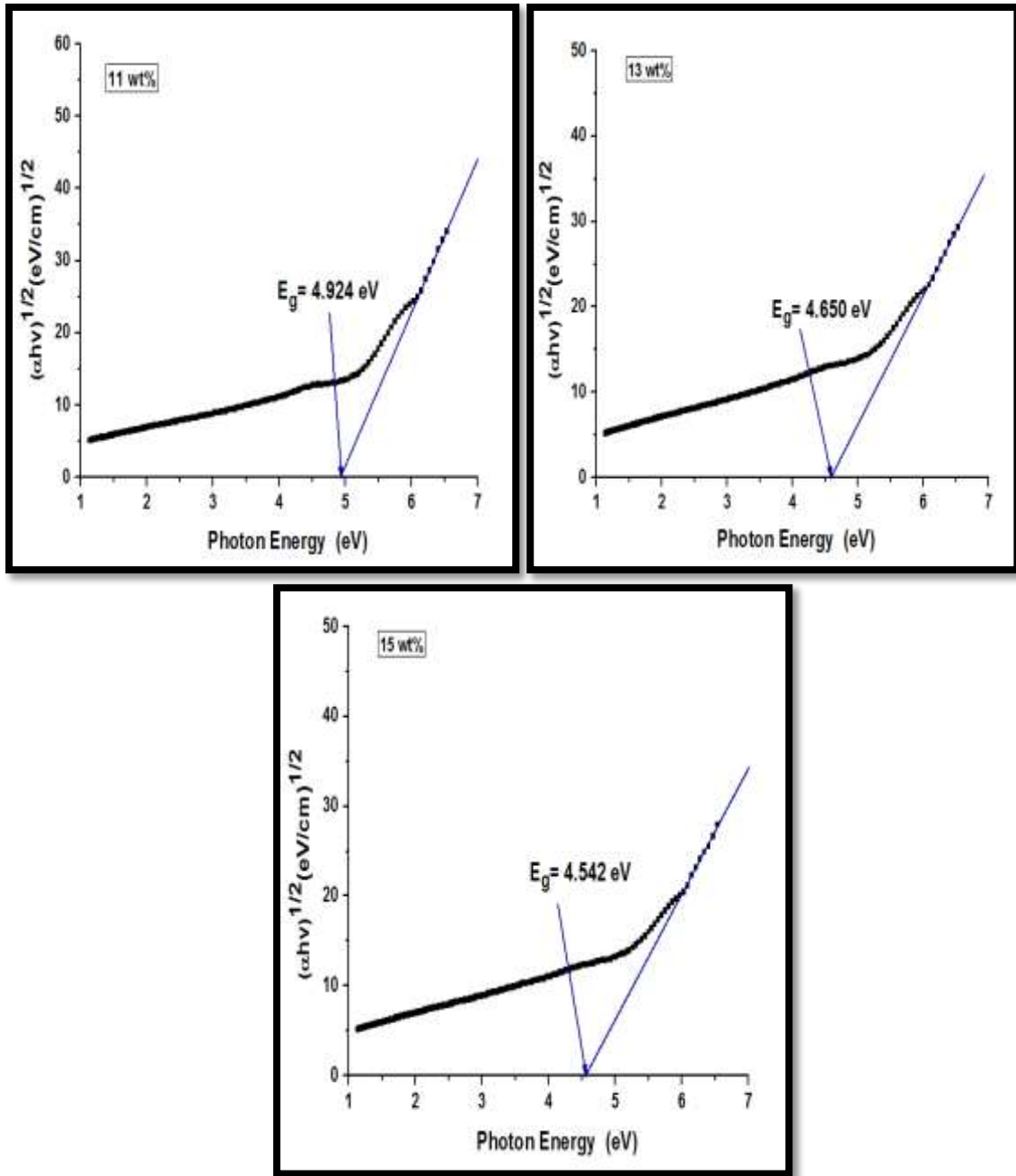
#### (4-2-4) فجوة الطاقة للانقال غير المباشر المسموح

### Energy Gap of the Allowed Indirect Transition

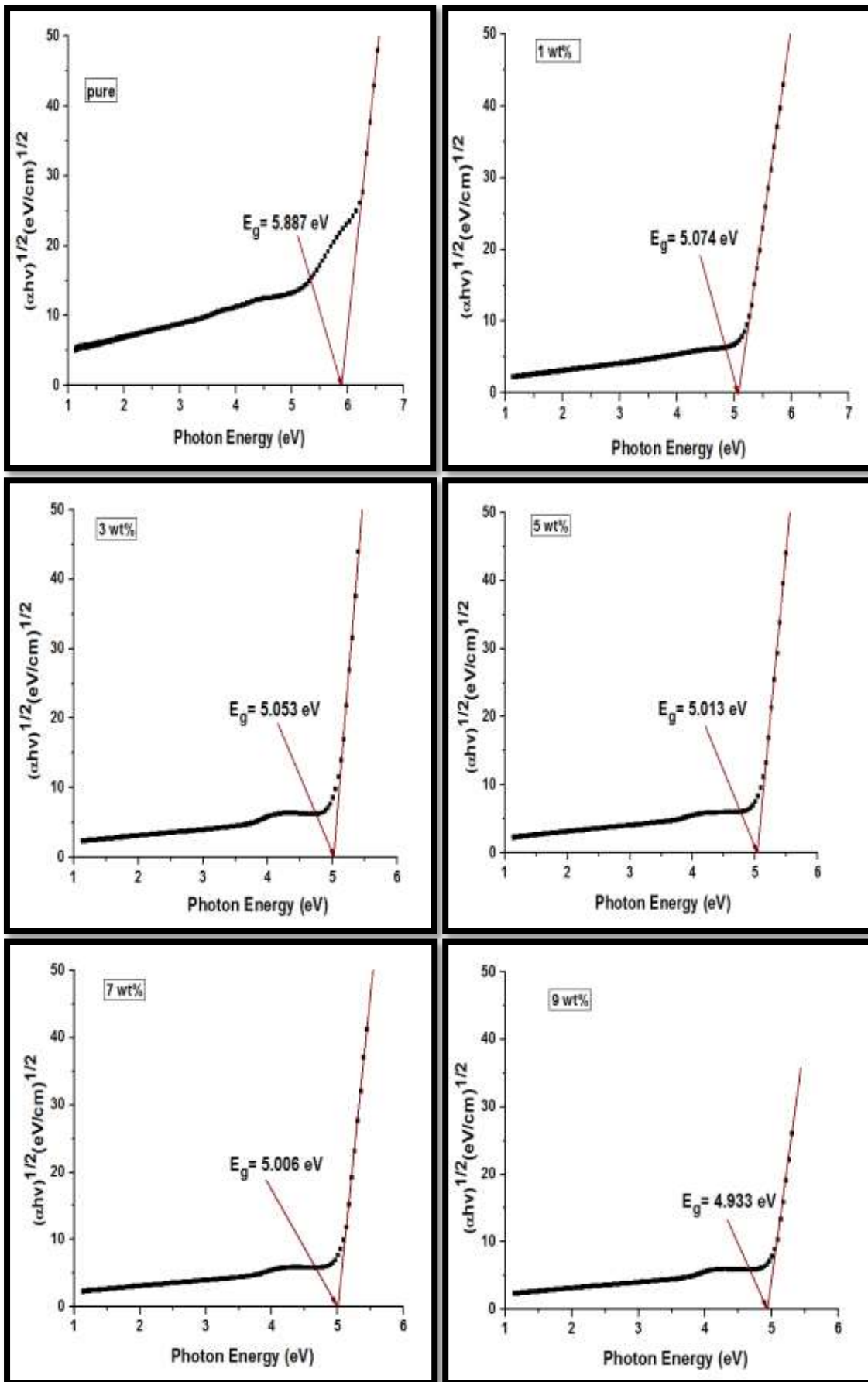
تم حساب فجوة الطاقة ( $E_g$ ) للانقال غير المباشر المسموح باستخدام العلاقة (1-2)، إذ أن (r=2) والشكلان (4-7) و (4-8) يوضحان العلاقة بين  $\alpha h\nu^{1/2}$  وطاقة الفوتون ( $h\nu$ ) لأنشية بوليمر (PVA) النقي والمدعمة بأملاح الالمنيوم بنسب وزنية مختلفة، ويكون من افضل خط مستقيم تمر به معظم النقاط بعد حافة الامتصاص ثم نمد خط المماس ليقطع محور طاقة الفوتون (x-axis) عند النقطة  $0 = \alpha h\nu^{1/2}$  والتي تمثل قيمة فجوة الطاقة للانقال غير المباشر المسموح. الجدول (4-1) يوضح قيم فجوة الطاقة لأنشية المترابفات كافة. نلاحظ من خلال الجدول أن قيمة فجوة الطاقة لغشاء (PVA) النقي تساوي eV (5.887) ولكن بعد التدعيم بأملاح الالمنيوم بنسب وزنية مختلفة فإن قيمة فجوة الطاقة تبدأ بالتناقص بشكل طفيف بزيادة النسبة الوزنية لأملاح الالمنيوم المضافة وهذه النتيجة تتفق مع دراسة الباحث (Al Wash) عام [30] والباحث (Salman) وأخرون عام (2016) [42].

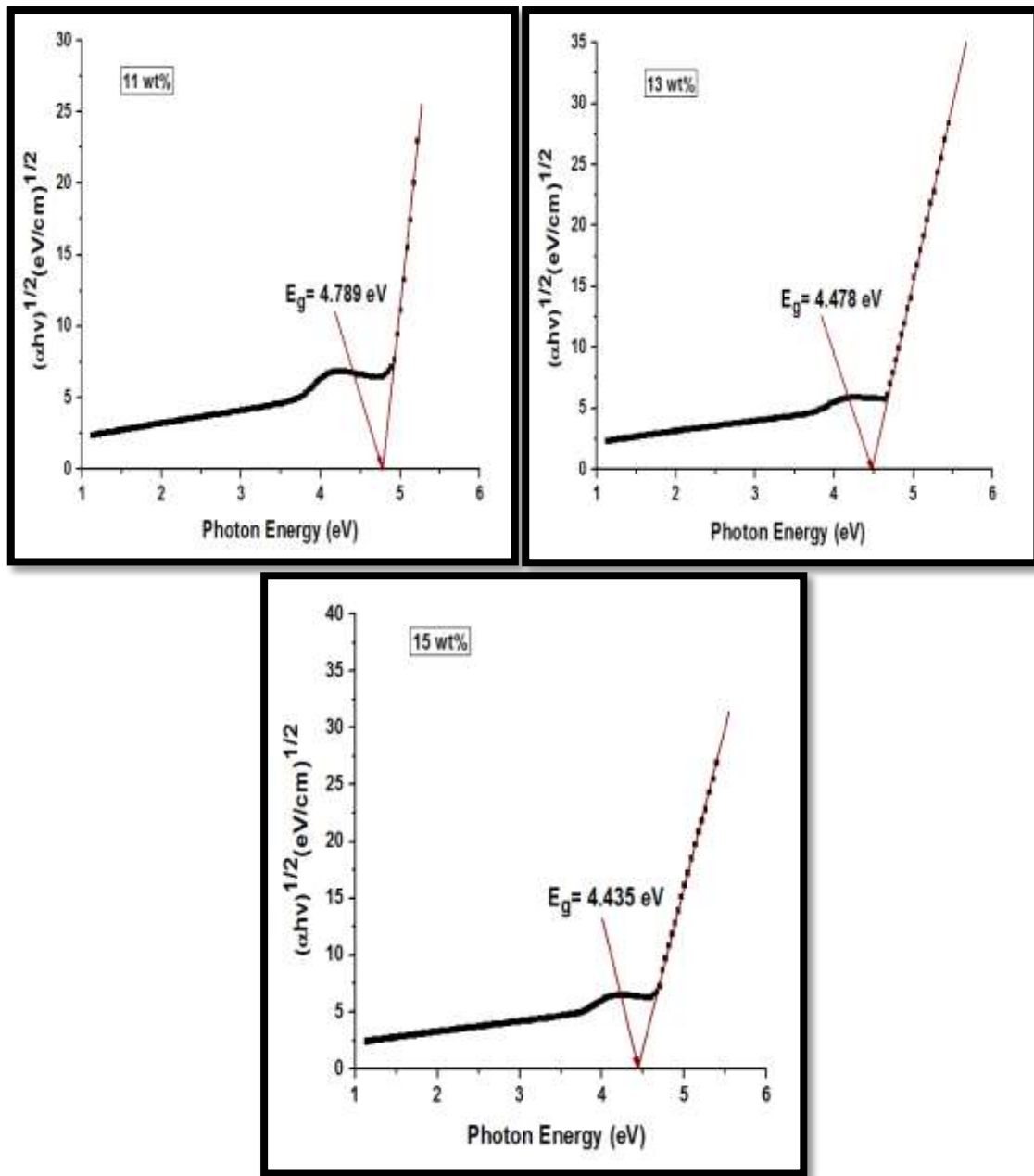
إن النقص في قيمة فجوة الطاقة بزيادة النسبة الوزنية لأملاح الالمنيوم المضافة يمكن أن يعزى على أساس حقيقة أن دمج كميات صغيرة من مادة التدعيم تشكّل تجمعات للشحنة المنقلة في خانة المادة الأساس (PVA)، وأن تجمعات الشحنة المنقلة هذه تزيد من التوصيلية الكهربائية بتوفير شحنات إضافية، وأن بزيادة النسبة الوزنية للتدعيم فإن الجزيئات المدعمة سوف تبدأ بسد الفجوة الفاصلة بين المستويين الموضعيين وخفض حاجز الجهد بينهما وبالتالي تسهيل انتقال حامل الشحنة بين المستويين الموضعيين [37].





الشكل (7-4): فجوة الطاقة للانتقال غير المباشر المسموح لاغشية المترافق ببنسبة وزنية مختلفة من ملح  $(\text{AlCl}_3)$ .





الشكل (8-4): فجوة الطاقة للانتقال غير المباشر المسموح لأغشية المترافق (PVA-Al(NO<sub>3</sub>)<sub>3</sub>) بنسوب وزنية مختلفة من ملح (Al(NO<sub>3</sub>)<sub>3</sub>).

**الجدول (1-4):** قيم فجوة الطاقة للانتقال غير المباشر المسموح لأغشية المترابكت (PVA - أملاح الالمنيوم) مع النسبة الوزنية لأملاح الالمنيوم.

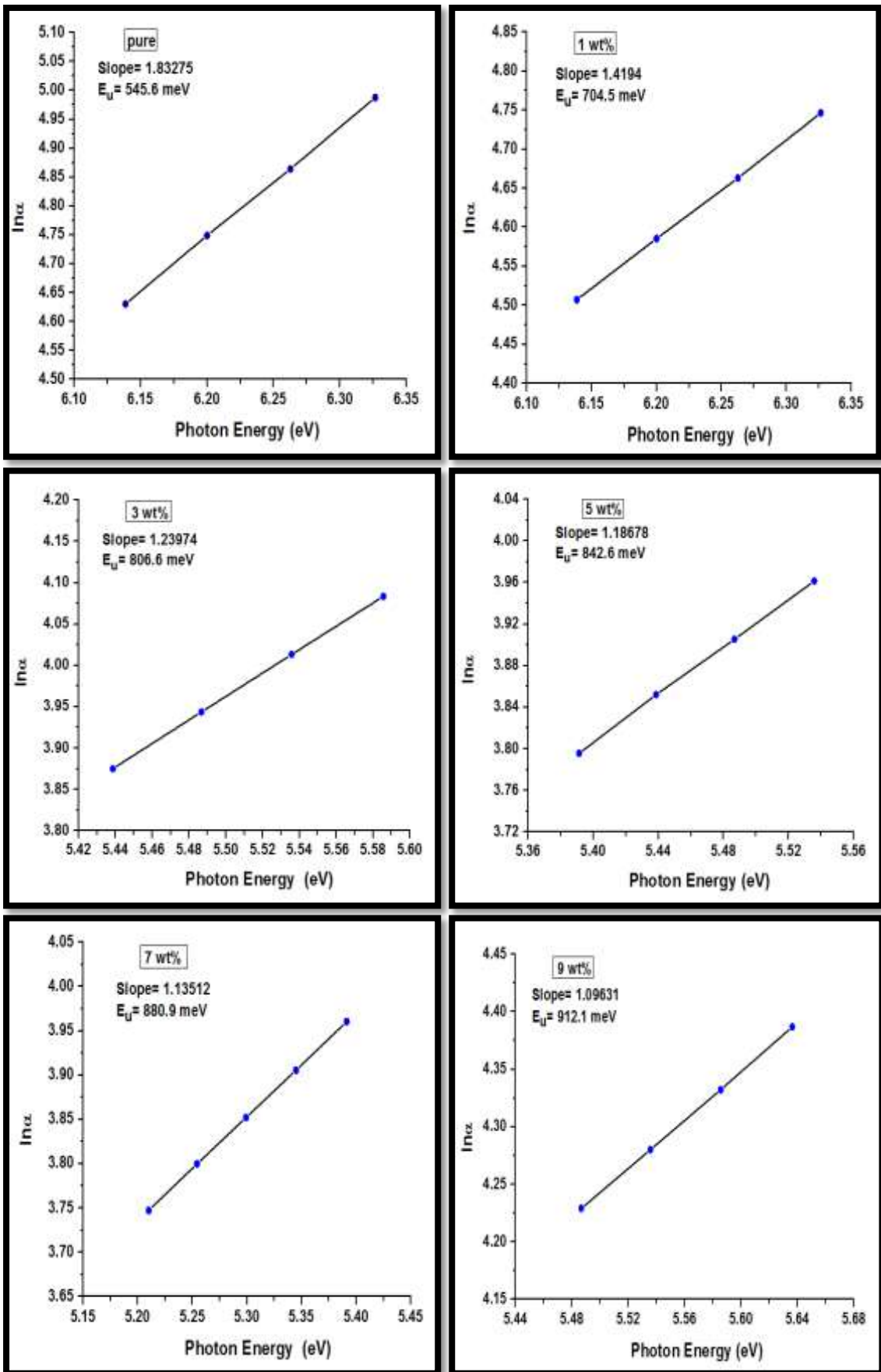
Concentration (wt%)	(PVA-AlCl <sub>3</sub> ) E <sub>g</sub> (eV)	(PVA-Al(NO <sub>3</sub> ) <sub>3</sub> ) E <sub>g</sub> (eV)
Pure (PVA)	5.887	5.887
1	5.831	5.074
3	5.739	5.053
5	5.641	5.013
7	5.433	5.006
9	5.020	4.933
11	4.924	4.789
13	4.650	4.478
15	4.542	4.435

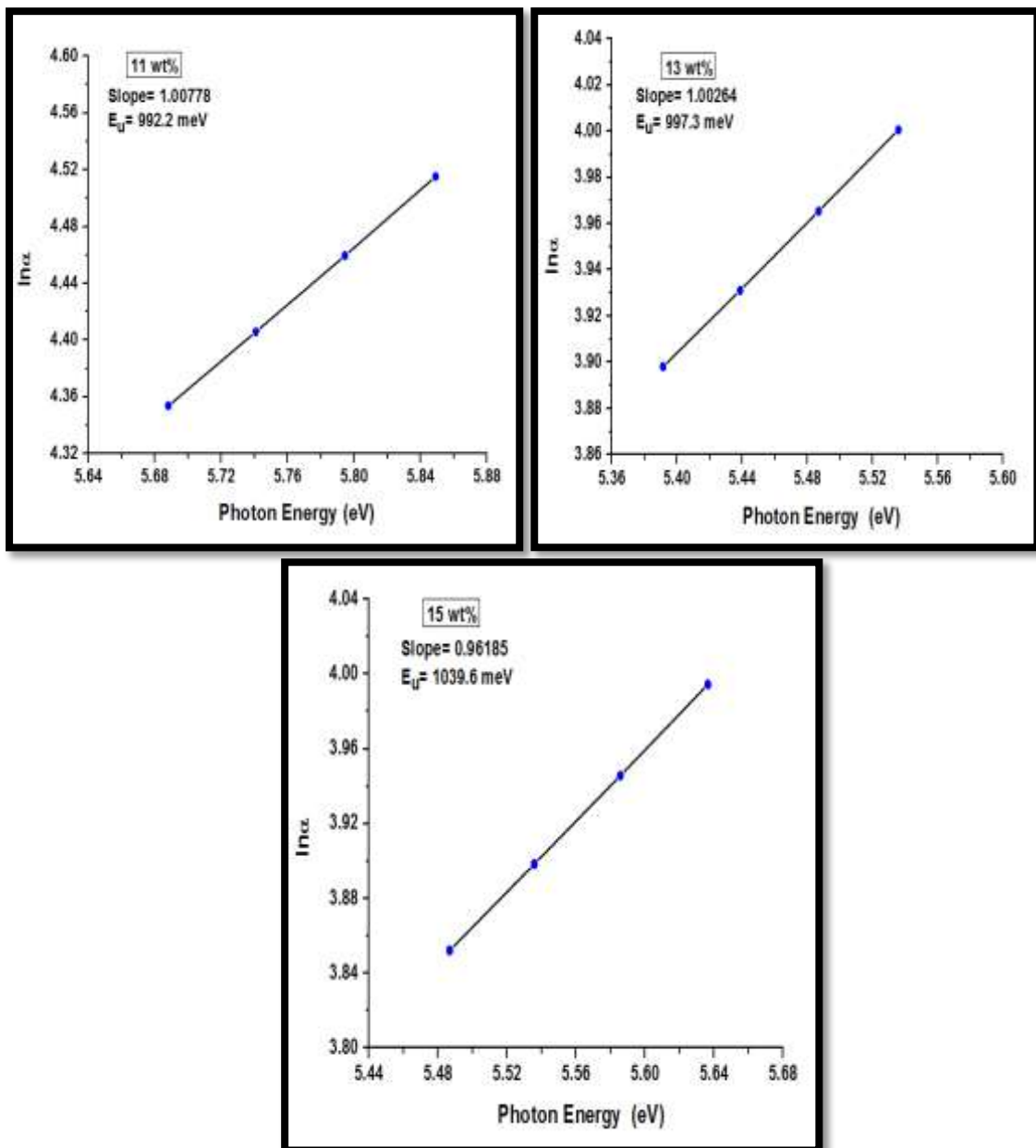
ونلاحظ من خلال الجدول أعلاه أن جميع قيم فجوة الطاقة للانتقال غير المباشر المسموح للأغشية المترافق ( $PVA-Al(NO_3)_3$ ) بنسب وزنية مختلفة من ملح ( $Al(NO_3)_3$ ) هي أصغر من جميع قيم فجوة الطاقة للانتقال غير المباشر المسموح للأغشية المترافق ( $PVA-AlCl_3$ ) بنسب وزنية مختلفة من ملح ( $AlCl_3$ ).

## Urbach Energy

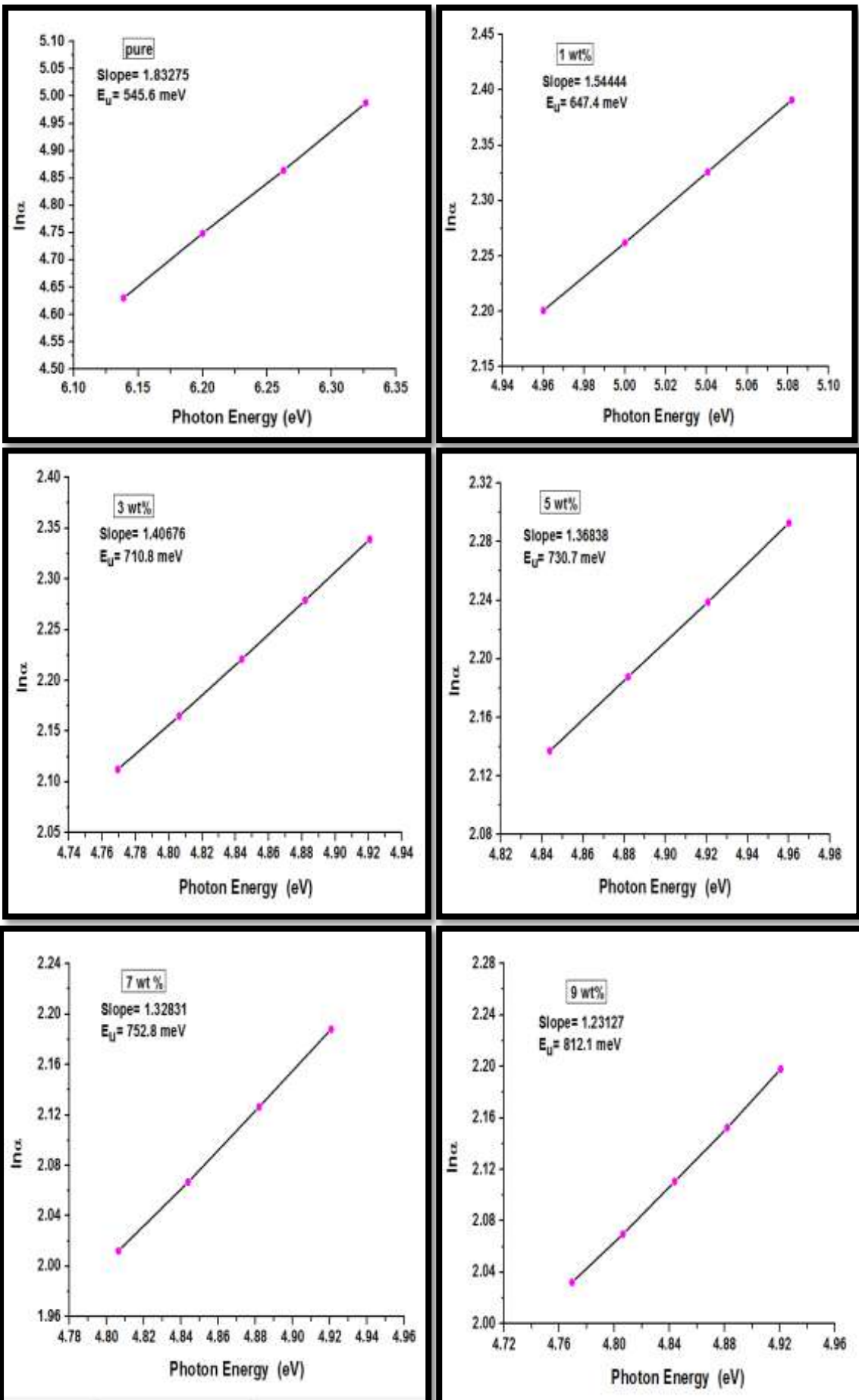
## 5-2-4) طاقة أورباخ

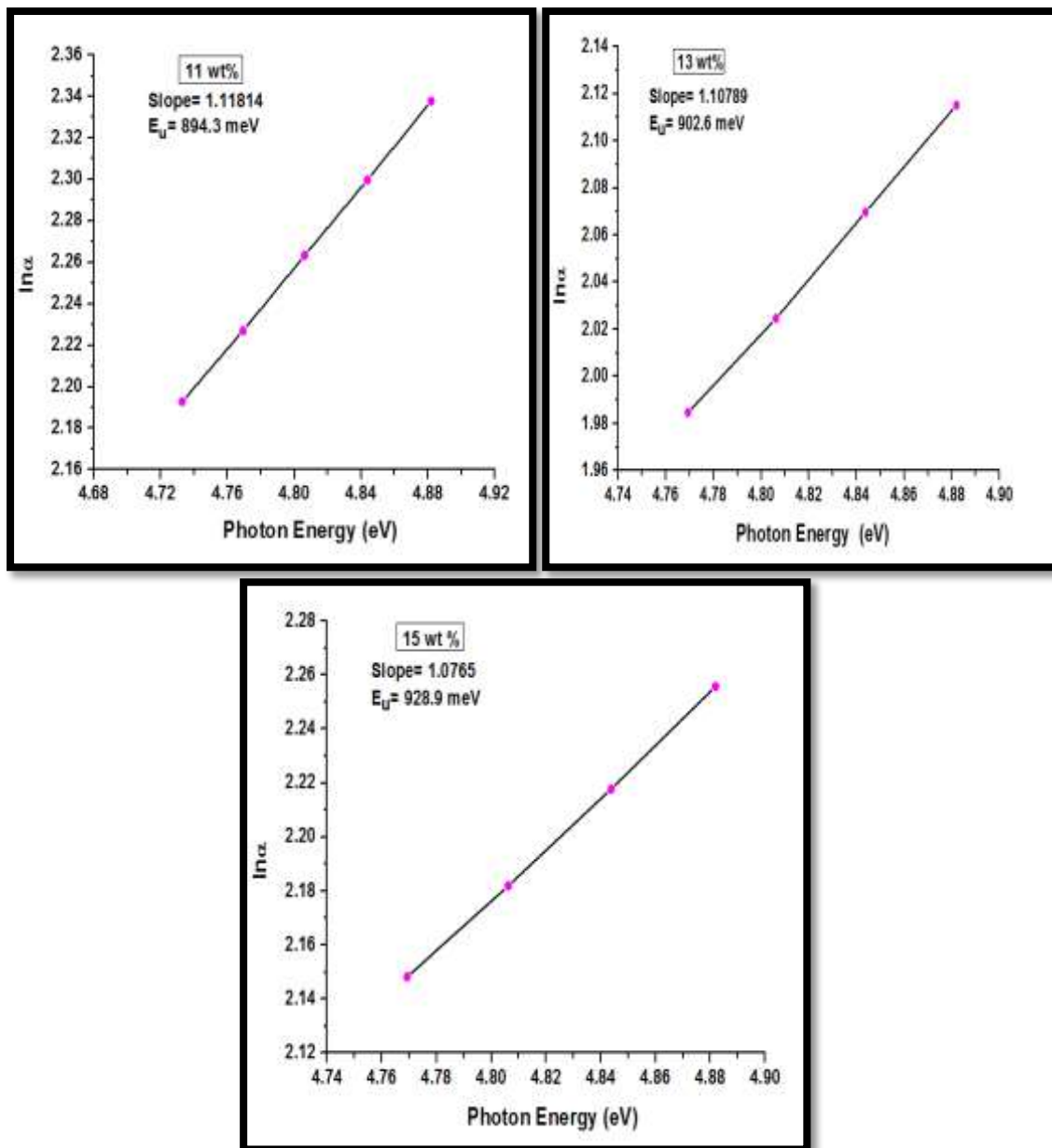
تم حساب طاقة أورباخ ( $E_{\text{u}}$ ) باستخدام العلاقة (2-2)، الشكلان (4-9) و (4-10) يوضحان العلاقة بين  $\ln(\alpha)$  وطاقة الفوتون ( $h\nu$ ) للأغشية بوليمر (PVA) الندية والمدعمة بأملاح الالمنيوم بنسب وزنية مختلفة، إذ أن طاقة أورباخ تمثل عرض الحالات الموضعية المسموحة داخل فجوة الطاقة ويتم حسابها بأخذ مقلوب قيمة ميل الخط المستقيم للمنطقة الاسية، إذ نلاحظ أن قيمة طاقة أورباخ تزداد بزيادة النسبة الوزنية لأملاح الالمنيوم المضافة، وهذا يعني أن السلوك البصري لطاقة أورباخ يكون معاكساً للسلوك البصري لفجوة الطاقة، حيث أن زيادة طاقة أورباخ تدل على زيادة عرض المستويات الموضعية داخل فجوة الطاقة، وهذه النتيجة تتفق مع دراسة الباحث (Al Wash) عام (2010) [30]، الجدول (2-4) يوضح قيم طاقة أورباخ للأغشية المترافقات كافة.





الشكل (9-4): طاقة أورباخ لاغشية المترافق (PVA-AlCl<sub>3</sub>) بنسب وزنية مختلفة من ملح .(AlCl<sub>3</sub>)





الشكل (10-4): طاقة أورباخ لاغشية المترافق (PVA-Al(NO<sub>3</sub>)<sub>3</sub>) بنسوب وزنية مختلفة من ملح .(Al(NO<sub>3</sub>)<sub>3</sub>)

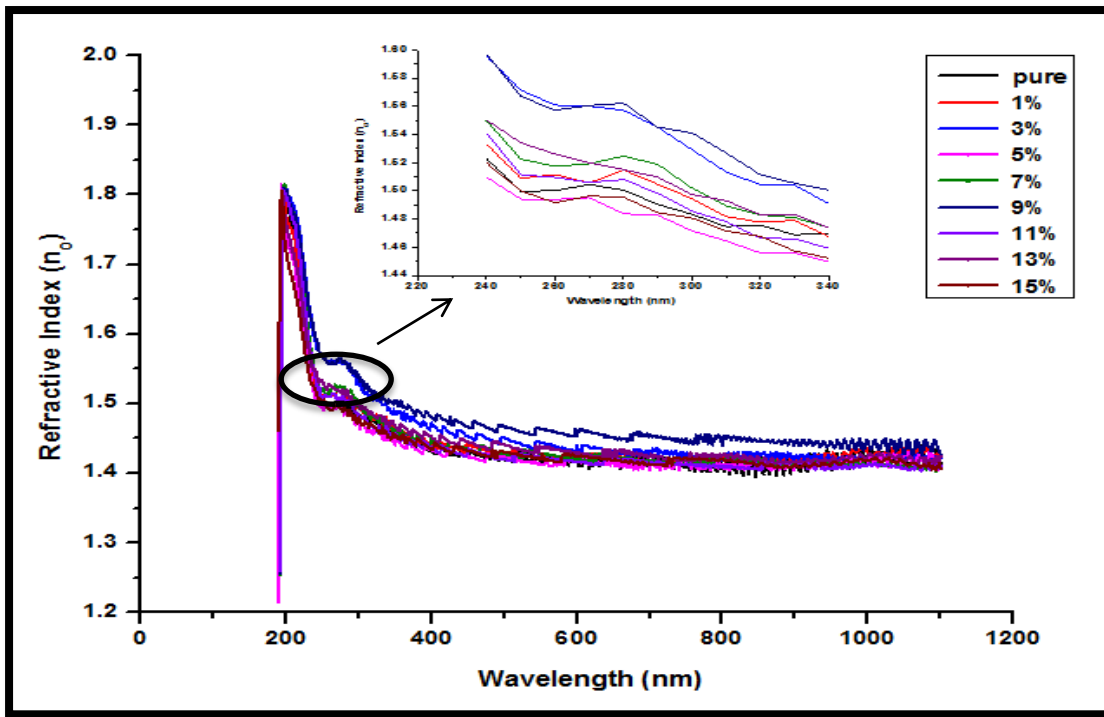
الجدول (4-2): قيم طاقة أورباخ لاغشية المترابكبات (PVA - أملاح الالمنيوم) مع النسبة الوزنية لأملاح الالمنيوم.

Concentration (wt%)	(PVA-AlCl <sub>3</sub> ) E <sub>u</sub> (meV)	(PVA-Al(NO <sub>3</sub> ) <sub>3</sub> ) E <sub>u</sub> (meV)
Pure (PVA)	545.6	545.6
1	704.5	647.4
3	806.6	710.8
5	842.6	730.7
7	880.9	752.8
9	912.1	812.1
11	992.2	894.3
13	997.3	902.6
15	1039.6	928.9

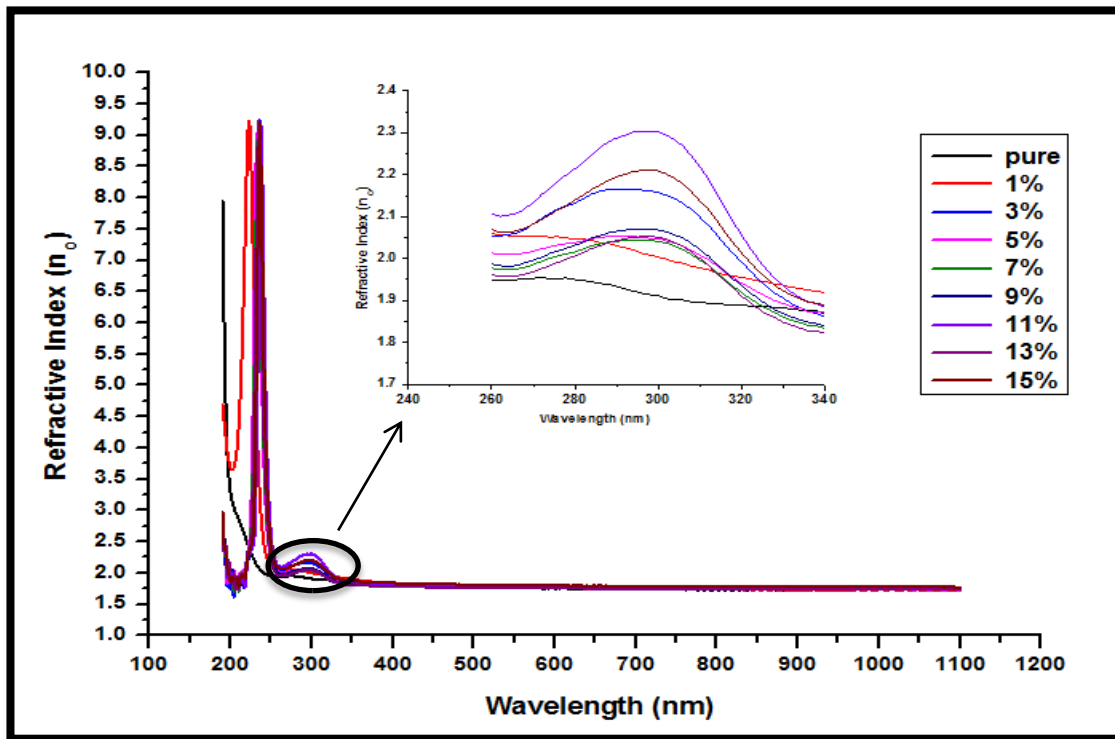
## Refractive Index

## معامل الانكسار (6-2-4)

تم حساب معامل الانكسار ( $n_o$ ) من خلال العلاقة (11-2) والشكلان (4-11) و (4-12) يوضحان معامل الانكسار كدالة للطول الموجي لاغشية بوليمر (PVA) النقية والمدعمة بأملاح الالمنيوم بنسب وزنية مختلفة، من خلال الشكلين نلاحظ أن معامل الانكسار يزداد مع زيادة النسبة الوزنية لأملاح الالمنيوم المضافة وهذا يعزى إلى زيادة في الكثافة مع زيادة النسبة الوزنية لأملاح الالمنيوم المضافة، وهذه النتيجة تتفق مع دراسة الباحث (Al Wash) عام [42] و الباحث (Salman) وأخرون عام (2016) [34].



الشكل (11-4): معامل الانكسار كدالة للطول الموجي لاغشية المترافق (PVA-AlCl<sub>3</sub>) بنسب وزنية مختلفة من ملح (AlCl<sub>3</sub>).

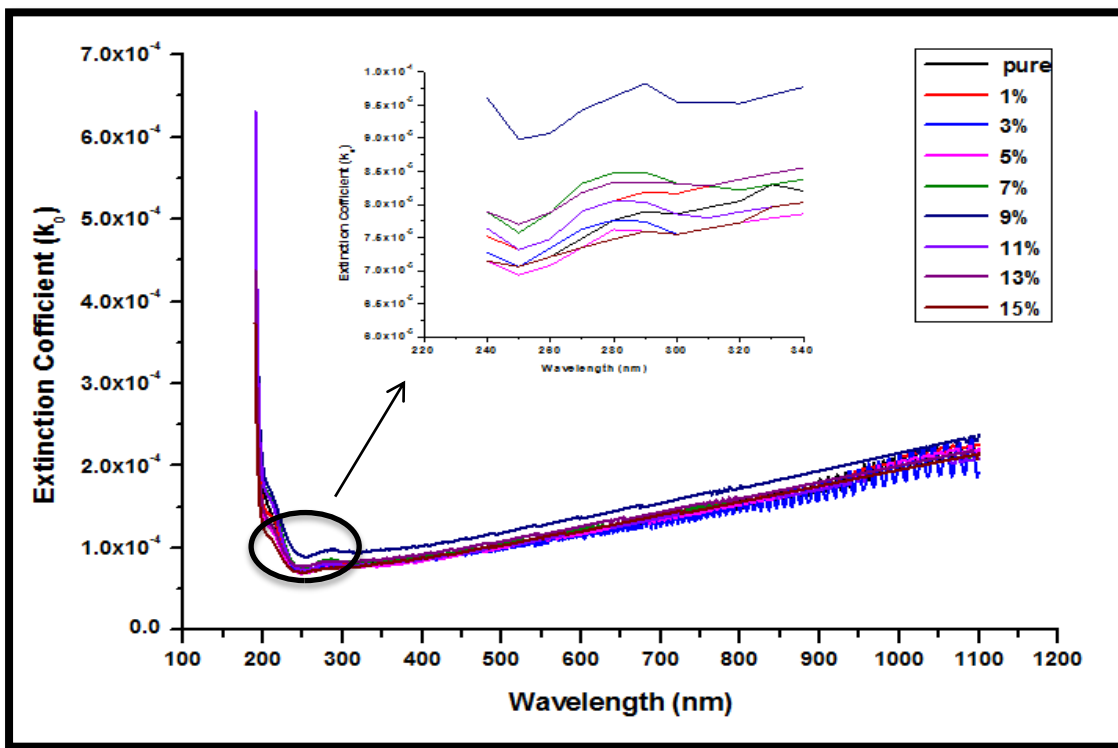


الشكل (12-4): معامل الانكسار كدالة للطول الموجي لاغشية المترافق (PVA- Al(NO<sub>3</sub>)<sub>3</sub>) بنسب وزنية مختلفة من ملح (Al(NO<sub>3</sub>)<sub>3</sub>).

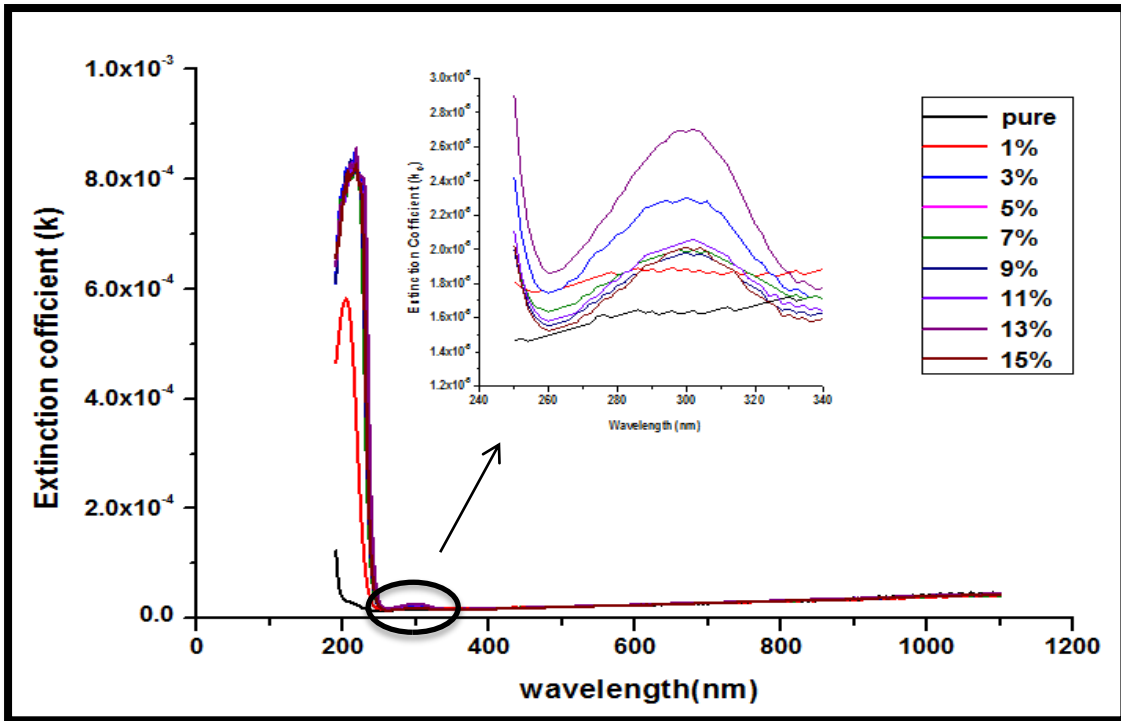
## Extinction Coefficient

## (7-2-4) معامل الخمود

تم حساب معامل الخمود ( $k_o$ ) باستخدام العلاقة (13-2) والشكلان (13-4) و (14-4) يوضحان معامل الخمود كدالة للطول الموجي لاغشية بوليمر (PVA) النقية والمدعمة بأملام الألمنيوم بنسب وزنية مختلفة، ونستطيع أن نلاحظ من خلال الشكلين أن معامل الخمود يمتلك قيمًا صغيرة عند النسب الوزنية القليلة من أملام الألمنيوم المضافة ولكن يبدأ معامل الخمود بالزيادة مع زيادة النسبة الوزنية لأملام الألمنيوم المضافة، والسبب يعود إلى زيادة معامل الامتصاص مع زيادة النسبة الوزنية لأملام الألمنيوم المضافة نتيجة اعتماد معامل الخمود على معامل الامتصاص بحسب العلاقة أعلاه. وهذه النتيجة تتفق مع دراسة الباحث (Al Wash) عام (2010) [34] و الباحث (Salman) وأخرون عام (2016) [42].



الشكل (13-4): معامل الخمود كدالة للطول الموجي لاغشية المترافق (PVA-AlCl<sub>3</sub>) بنسبة وزنية مختلفة من ملح (AlCl<sub>3</sub>).

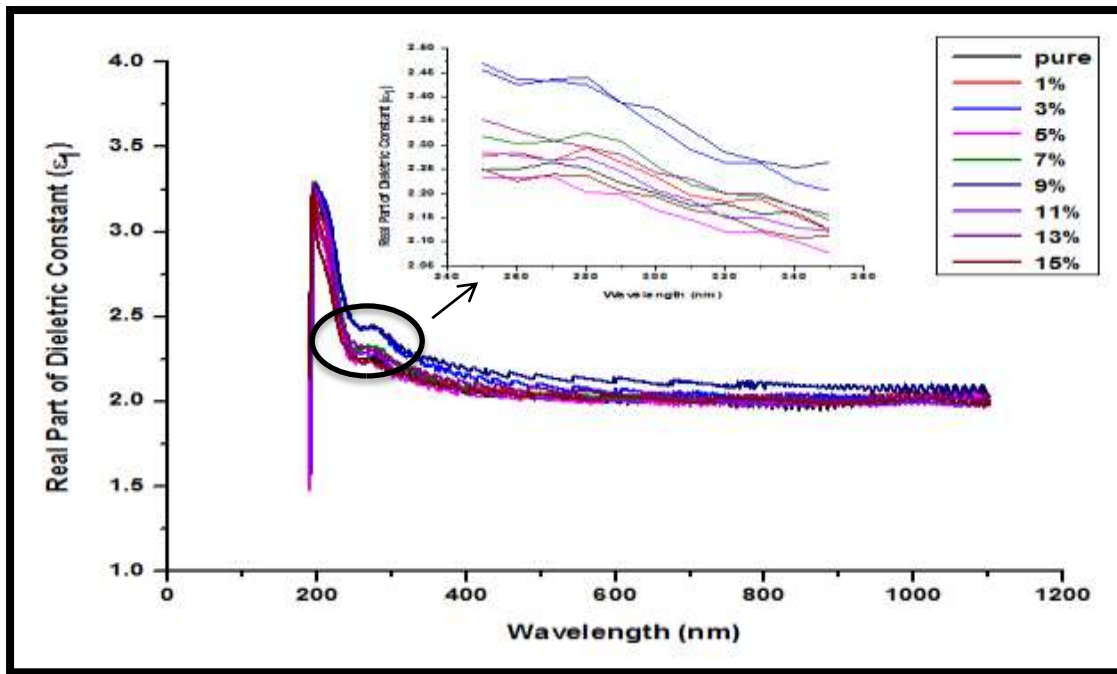


الشكل (14-4): معامل الخمود كدالة للطول الموجي لاغشية المترافق (PVA-  $\text{Al}(\text{NO}_3)_3$ ) بحسب وزنية مختلفة من ملح  $(\text{Al}(\text{NO}_3)_3)$ .

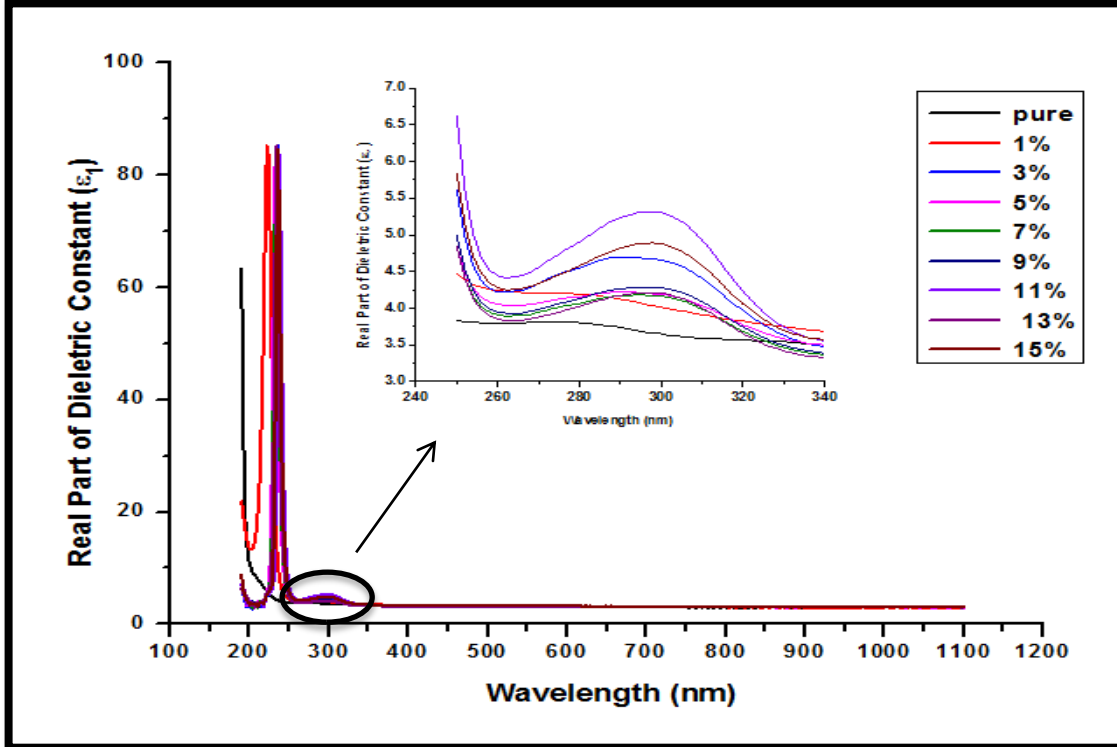
#### الجزء الحقيقي والخيالي لثابت العزل البصري (8-2-4)

### Real and Imaginary Parts of Optical Dielectric Constant

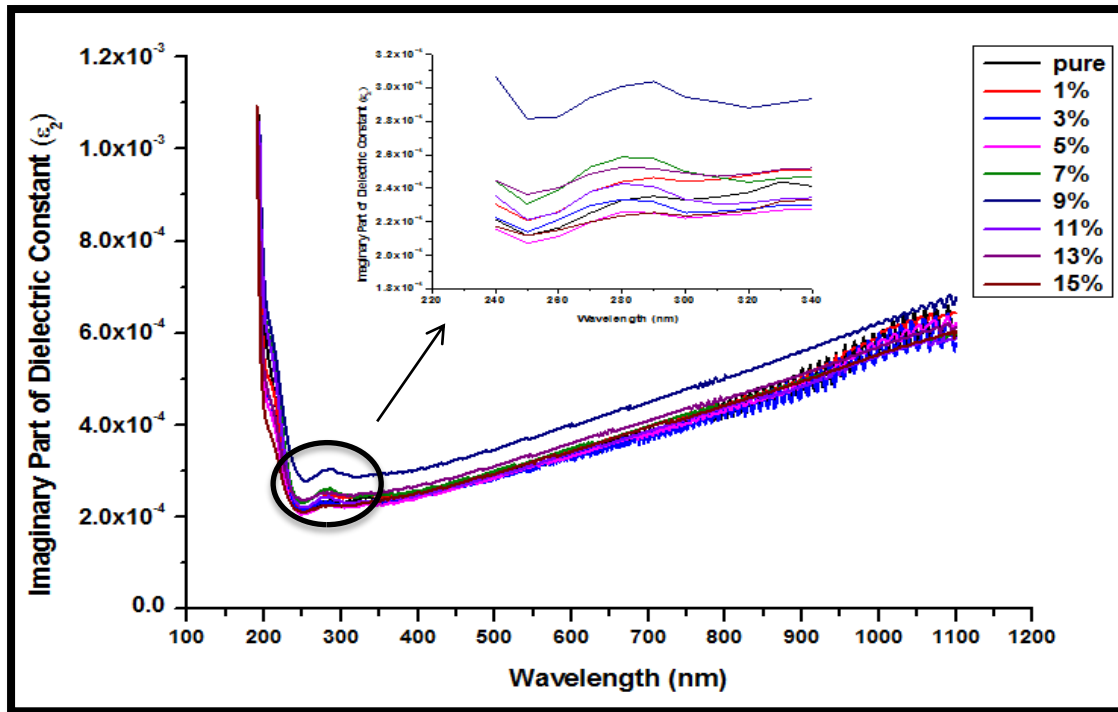
تم حساب الجزء الحقيقي والخيالي لثابت العزل البصري باستخدام العلاقات (17-2) و (18-2) على التوالي، الاشكال (4-15) و (4-16) و (4-17) و (4-18) توضح ثابت العزل البصري بجزأيه الحقيقي والخيالي كدالة للطول الموجي لاغشية بوليمر (PVA) الندية والمدعمة بأملام الالمنيوم بحسب وزنية مختلفة، ونلاحظ من خلال الاشكال زيادة كل من الجزء الحقيقي والخيالي لثابت العزل البصري بزيادة النسبة الوزنية لأملام الالمنيوم المضافة وهذا السلوك يشابه سلوك  $(n_0)$  و  $(k_0)$  بسبب أن (٤) يعتمد على  $(n_0^2)$  نتيجة إلى القيمة الصغيرة لـ  $(k_0^2)$  بحسب العلاقة (17-2) بينما  $(\epsilon_2)$  يعتمد على  $(k_0)$  بحسب العلاقة (18-2)، وتتغير  $(k_0)$  مع تغير  $(\alpha)$  نتيجة إلى العلاقة التي تربط بين  $(\alpha)$  و  $(k_0)$  بحسب العلاقة (13-2)، أن الجزأين الحقيقي والخيالي لثابت العزل البصري يظهران النمط نفسه وأن قيم الجزء الحقيقي أكبر من قيم الجزء الخيالي، وهذه النتيجة تتفق مع دراسة الباحث (Al Wash) عام (2010) [34] و الباحث (Salman) وأخرون عام (2016) [42].



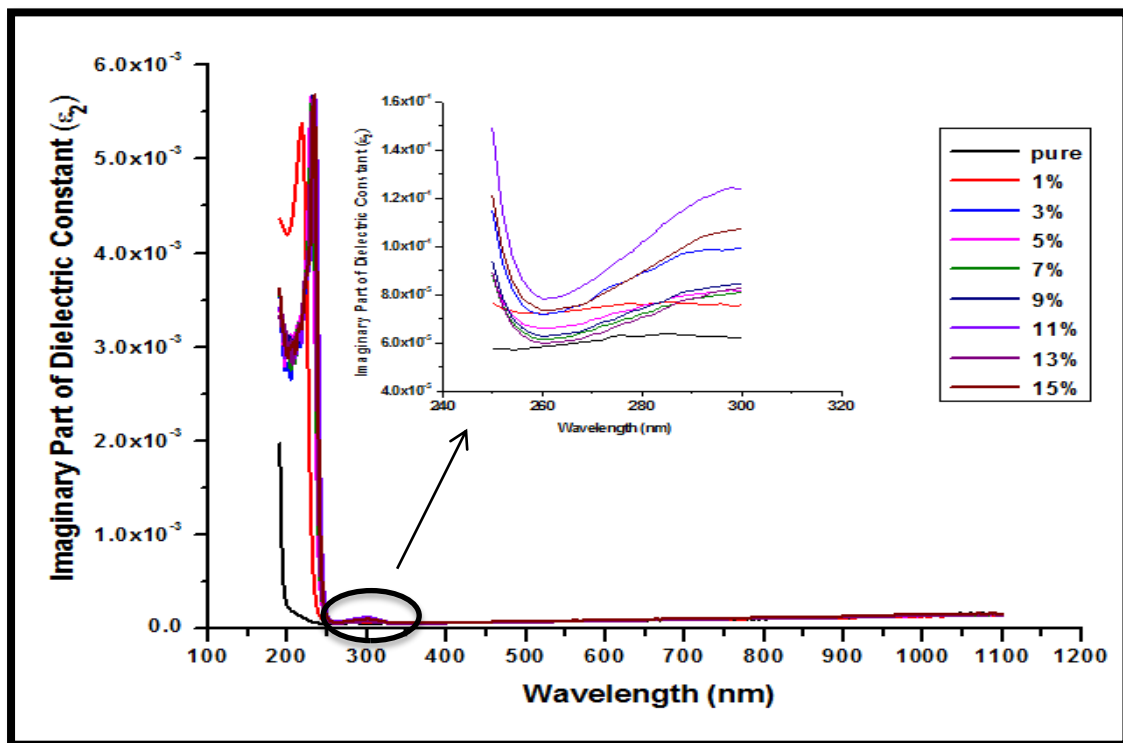
الشكل (15-4): الجزء الحقيقي لثابت العزل البصري كدالة للطول الموجي لاغشية المترافق  $(\text{PVA}-\text{AlCl}_3)$  بنسوب وزنية مختلفة من ملح  $(\text{AlCl}_3)$ .



الشكل (16-4): الجزء الحقيقي لثابت العزل البصري كدالة للطول الموجي لاغشية المترافق  $(\text{PVA}-\text{Al}(\text{NO}_3)_3)$  بنسوب وزنية مختلفة من ملح  $(\text{Al}(\text{NO}_3)_3)$ .



الشكل (17-4): الجزء الخالي لثابت العزل البصري كدالة للطول الموجي لاغشية المترافق (PVA-AlCl<sub>3</sub>) بنسب وزنية مختلفة من ملح (AlCl<sub>3</sub>).



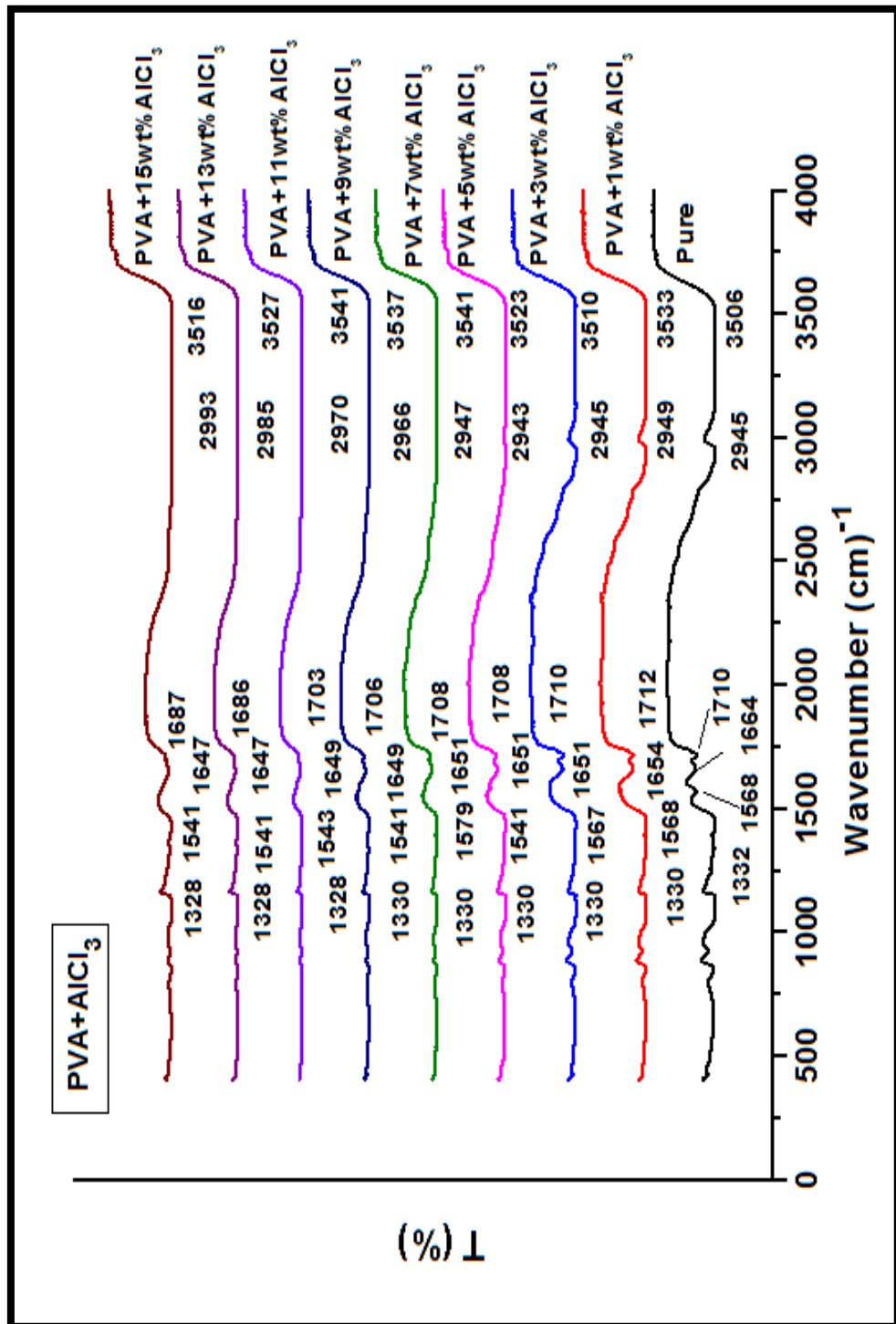
الشكل (18-4): الجزء الخالي لثابت العزل البصري كدالة للطول الموجي لاغشية المترافق (PVA-Al(NO<sub>3</sub>)<sub>3</sub>) بنسب وزنية مختلفة من ملح (Al(NO<sub>3</sub>)<sub>3</sub>).

## (3-4) تحويل فوريير للاشعة تحت الحمراء

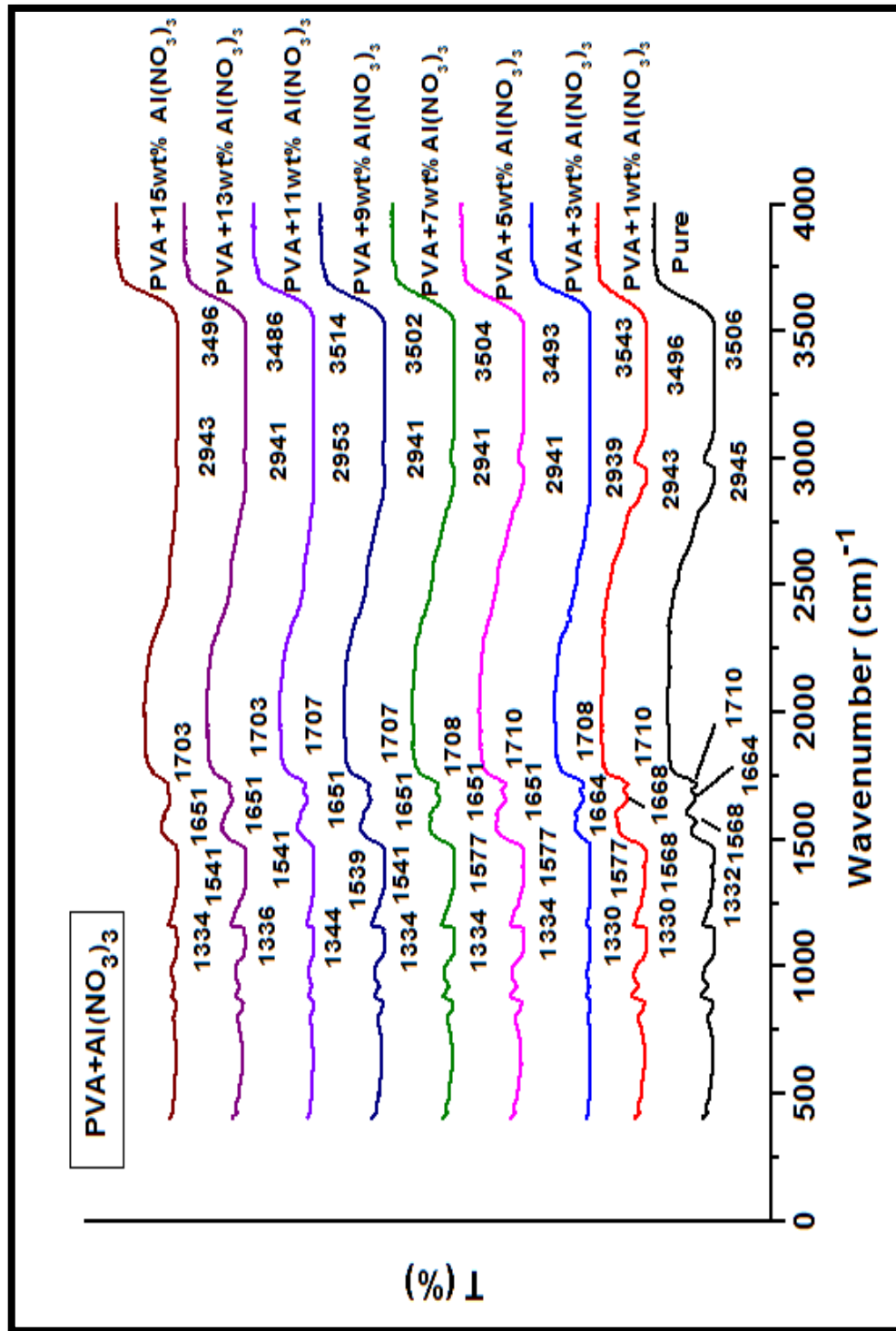
**Fourier Transform Infrared (FTIR)**

تمت دراسة طيف تحويل فوريير للاشعة تحت الحمراء لاغشية بوليمر (PVA) النقية والمدعمة بأملال الألمنيوم بنسب وزنية مختلفة وذلك من خلال قياس طيف الفافية بوصفه دالة للعدد الموجي ضمن مدى قياس  $\text{cm}^{-1}$  (400-4000) وكما هو موضح بالشكلين (4-19) و (4-20) وللذين أظهرا بعضاً من أواصر اهتزازات التمدد والانحناء لغشاء (PVA) النقية (OH, C-H, C=O, C=C, CH<sub>2</sub>) . ونستطيع أن نلاحظ من خلال الشكلين أنه لا توجد حزمة امتصاص لمجموعة الهيدروكسيل الحرجة (OH-) عند العدد الموجي (3600 cm<sup>-1</sup>) لـ (PVA) وهذا يشير إلى أن مجموعات الهيدروكسيل لسلسل (PVA) هي عموماً مرتبطة بين الجزيئات أو داخل الجزيئات لأصرة الهيدروجين . ونلاحظ أيضاً من خلال الشكلين أن العدد الموجي لحرزة الامتصاص لمجموعة الهيدروكسيل (OH-) لـ (PVA) ينحرف نحو قيمة أعلى بعد التعديم بملح (AlCl<sub>3</sub>) بكافة نسبة الوزنية وكذلك عند التعديم بملح (Al(NO<sub>3</sub>)<sub>3</sub>) بنسبة وزنية التعديم بملح (3,11) wt% فقط ولكن عند التعديم بالنسبة الوزنية الأخرى (1,5,7,9,13,15) wt% من ملح (Al(NO<sub>3</sub>)<sub>3</sub>) فإن العدد الموجي لمجموعة الهيدروكسيل (OH-) لـ (PVA) ينحرف نحو قيمة أوطأ وهذه الانحرافات في قيمة تردد الامتصاص لمجموعة الهيدروكسيل (OH-) لـ (PVA) مع زيادة النسبة الوزنية لأملال الألمنيوم المضافة يشير إلى حدوث تفاعل بين بوليمر (PVA) وأملال الألمنيوم المضافة، أن تردد الامتصاص لمجموعة الهيدروكسيل (OH-) لغشاء (PVA) النقى يكون عند قيمة (3506 cm<sup>-1</sup>) ولكن عند التعديم بأملال الألمنيوم فإن هذا التردد الامتصاصي ينحرف نحو قيمة أعلى وهي (3541 cm<sup>-1</sup>) عند النسبة الوزنية (7,11) wt% على (3543 cm<sup>-1</sup>) عند النسبة الوزنية (3) wt% لاملال (AlCl<sub>3</sub>) و (Al(NO<sub>3</sub>)<sub>3</sub>) على التوالي، وهذا يدل على أن أصرة الهيدروجين تكون ضعيفة عندما ينحرف التردد الامتصاصي إلى قيمة عالية، أي بمعنى آخر أن إضافة أملال الألمنيوم يقلل من شدة أصرة الهيدروجين مع لجزئيات (PVA) بسبب أن هذه الأملال لها أشكال قوية من الأصرة الهيدروجينية مع (PVA) والتي تأخذ مكان الأصرة الهيدروجينية بين مجموعة الهيدروكسيل (OH-) لجزئيات (PVA). كما نلاحظ من خلال الشكلين ظهور حزمة عند العدد الموجي (2945 cm<sup>-1</sup>) تعود إلى أصرة التمدد (C-H) اللامتماثلة لغشاء (PVA) النقية وعند التعديم بأملال الألمنيوم فإن قيمة هذا العدد الموجي لهذه الأصرة تتحرف نحو قيمة أعلى وهي (2993 cm<sup>-1</sup>) عند النسبة الوزنية

( $15\text{wt\%}$ ) و( $2953\text{cm}^{-1}$ ) عند النسبة الوزنية ( $11\text{wt\%}$ ) لamlah ( $\text{AlCl}_3$ ) و( $\text{Al}(\text{NO}_3)_3$ ) على التوالي، وكذلك نلاحظ ظهور حزمتين عند العدد الموجي ( $1710\text{cm}^{-1}$ ) و( $1664\text{cm}^{-1}$ ) تعودان إلى أصارة اهتزاز التمدد ( $\text{C}=\text{O}$ ) وأصارة ( $\text{C}=\text{C}$ ) على التوالي لغشاء (PVA) النقي والتي تعودان إلى مجاميع الاستيت (Acetate Groups) المتبقية من عملية صنع بولимер (PVA) بعملية تحل بولي فينيل الاستيت وعند التعديم بأملاح الالمنيوم نلاحظ أن قيمة هذين العددين الموجيين للأصরتين ( $\text{C}=\text{O}$ ) و ( $\text{C}=\text{C}$ ) تتحرف نحو قيم أوطأ وهذا يعني أن أملاح الالمنيوم تتفاعل أيضا مع مجاميع الاستيت لوحدات فينيل استيت لـ (PVA)، وكذلك نلاحظ ظهور حزمة عند العدد الموجي ( $1568\text{cm}^{-1}$ ) تعود إلى أصارة اهتزاز الانحناء (- $\text{CH}_2$ -) لغشاء (PVA) النقي وحزمة عند العدد الموجي ( $1332\text{cm}^{-1}$ ) تعود إلى أصارة اهتزاز الالتواء (- $\text{CH}_2$ -) لغشاء (PVA) النقي وقد تأثرت أيضا هاتين الأصريتين (تغير العدد الموجي لهما) بعملية التعديم بأملاح الالمنيوم. وعلى ضوء ما تقدم أن التفاعل بين أملاح الالمنيوم وبولимер (PVA) قد حطم أصارة الهيدروجين لـ (PVA)، وهذه النتائج تتفق مع دراسة الباحث (Pu-you) وأخرون عام (2014) والباحث (Luo) وأخرون عام (2015) [37,38]. والجدولين (3-4) و(4-4) يوضحان قيم الاعداد الموجية لحزم الامتصاص لواصر أغشية المترابكبات كافة.



الشكل (19-4) : طيف (FTIR) لاغشية المترافق (AlCl<sub>3</sub>) بنسوب وزنية مختلفة من ملح (PVA-AlCl<sub>3</sub>)



(PVA-Al(NO<sub>3</sub>)<sub>3</sub>) (20-4): طيف (FTIR) لاغشية المترافق بحسب وزنیة مختلفة من ملح (Al(NO<sub>3</sub>)<sub>3</sub>).

**الجدول (3-4): قيم الأعداد الموجية لحزم الامتصاص لأوامر أغشية المترابك .(AlCl<sub>3</sub>) مع النسبة الوزنية لملح (PVA-AlCl<sub>3</sub>)**

Bond	Wavenumbers (cm) <sup>-1</sup> (PVA-AlCl <sub>3</sub> )								
	Concentration (wt%)								
	Pure (PVA)	1 wt%	3 wt%	5 wt%	7 wt%	9 wt%	11 wt%	13 wt%	15 wt%
O-H Stretching Vibration	3506	3533	3510	3523	3541	3537	3541	3527	3516
C-H Asymmetric Stretching	2945	2949	2945	2943	2947	2966	2970	2985	2993
C=O Stretching Vibration	1710	1712	1710	1708	1708	1706	1703	1686	1687
Acetylene C=C group	1664	1654	1651	1651	1651	1649	1649	1647	1647
Bending of CH <sub>2</sub> Vibration	1568	1568	1567	1541	1579	1541	1543	1541	1541
Wagging of CH <sub>2</sub> Vibration	1332	1330	1330	1330	1330	1330	1328	1328	1328

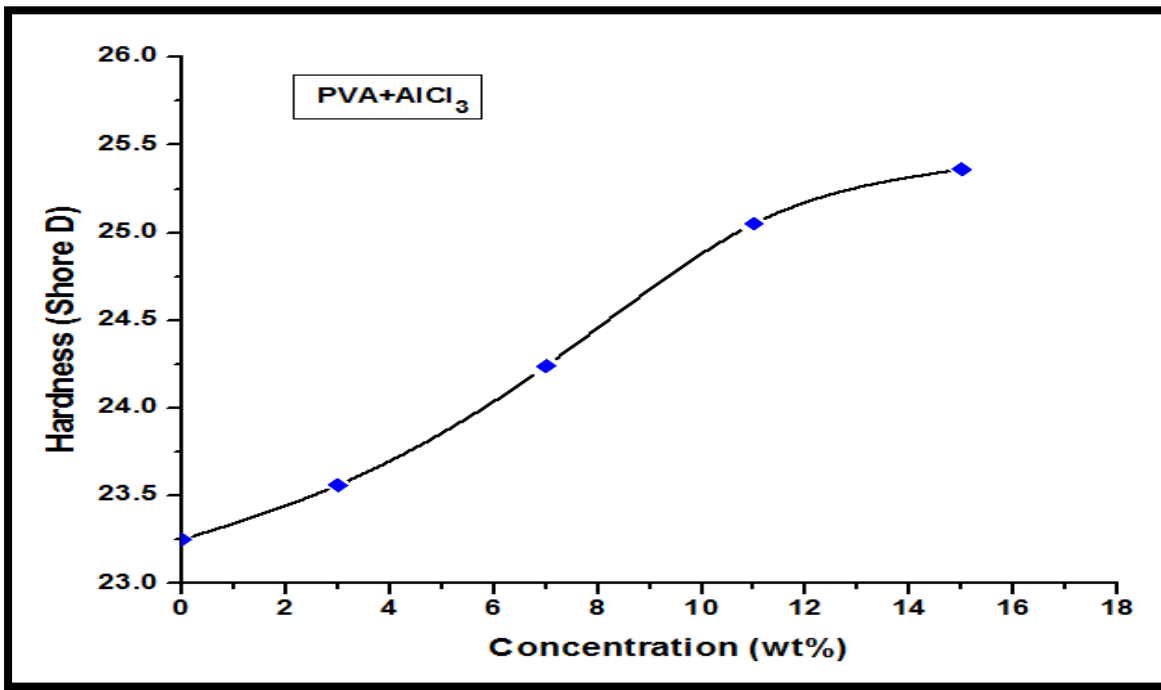
**الجدول (4-4): قيم الأعداد الموجية لحزم الامتصاص لأوامر أخشية المتراكب مع النسبة الوزنية لملح  $(\text{Al}(\text{NO}_3)_3)$ .**

Bond	Wavenumbers ( $\text{cm}^{-1}$ ) (PVA-Al( $\text{NO}_3$ ) <sub>3</sub> )								
	Concentration (wt%)								
	Pure (PVA)	1 wt%	3 wt%	5 wt%	7 wt%	9 wt%	11 wt%	13 wt%	15 wt%
O-H Stretching Vibration	3506	3496	3543	3493	3504	3502	3514	3486	3496
C-H Asymmetric Stretching	2945	2943	2939	2941	2941	2941	2953	2941	2943
C=O Stretching Vibration	1710	1710	1708	1710	1708	1707	1707	1703	1703
Acetylene C=C group	1664	1668	1664	1651	1651	1651	1651	1651	1651
Bending of CH <sub>2</sub> Vibration	1568	1568	1577	1577	1577	1541	1539	1541	1541
Wagging of CH <sub>2</sub> Vibration	1332	1330	1330	1334	1334	1334	1344	1336	1334

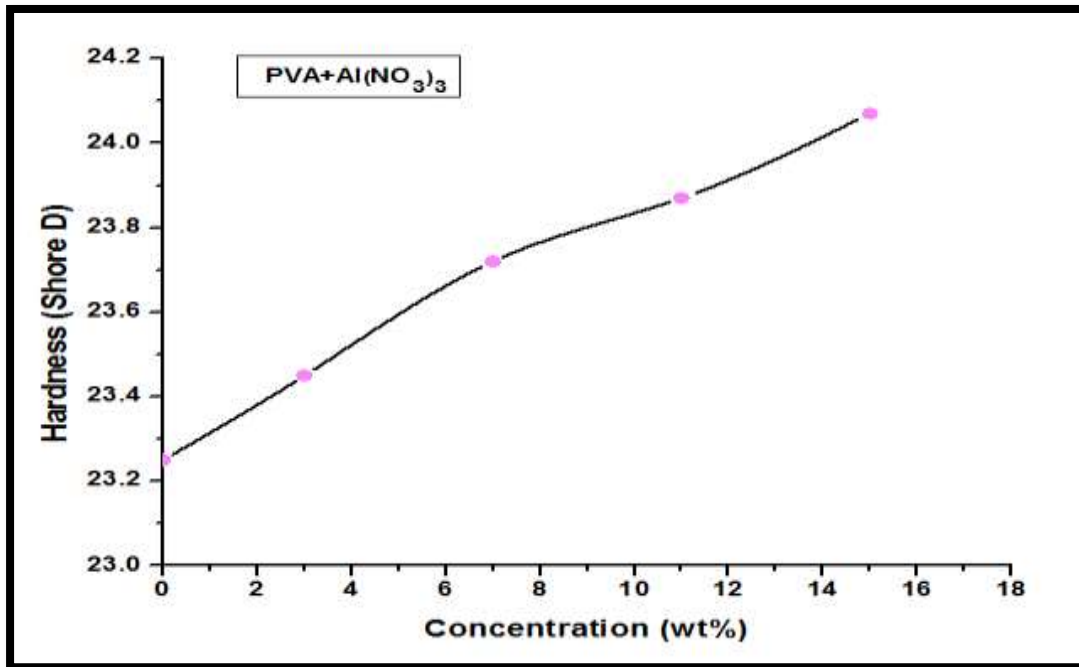
## (4-4) الخواص الميكانيكية

**Hardness Test****(1-4-4) اختبار الصلادة**

لقد أتبع اختبار الصلادة نوع (Shore D) لاغشية بوليمر (PVA) النقية والمدعمة بأملح الالمنيوم بنسب وزنية مختلفة (3,7,11,15 wt%) وكما هو موضح بالشكلين (21-4) و (22-4)، حيث يتضح من خلال الشكلين بأن الصلادة لمادة الاساس (بوليمر (PVA)) تزداد بالإضافة المواد المدعمة وهي أملاح الالمنيوم ( $\text{AlCl}_3$ ,  $\text{Al}(\text{NO}_3)_3$ )، وتستمر الصلادة بالزيادة مع زيادة النسبة الوزنية لأملاح الالمنيوم المضافة، ومن مفهوم الصلادة يمكن عدّها مقاييسًا للتشوه اللدن الذي يمكن أن تعاني فيه المادة تحت تأثير أجهاد خارجي وبذلك فإن إضافة مادة التدعيم إلى المادة الاساس يزيد من صلادة المادة نتيجة لزيادة مقاومتها للتشوه اللدن [93]، وكذلك تغلغل مادة التدعيم إلى داخل المادة الاساس وإلى داخل المسافات البينية والفراغات يؤدي إلى زيادة مساحة التماس وبالتالي حصول ارتباط بين المادة الاساس ومادة التدعيم مما أدى إلى تقوية المترافق ومن ثم زيادة الصلادة [94]. والجدول (4-5) يوضح قيم الصلادة لاغشية المترافقين كافة.



الشكل (4-21): الصلادة لاغشية المترافق (PVA- $\text{AlCl}_3$ ) كدالة للنسبة الوزنية لملح  $\text{AlCl}_3$ .



الشكل (4-22): الصلادة لاغشية المترافق (PVA-Al(NO<sub>3</sub>)<sub>3</sub>) كدالة للنسبة الوزنية لملح .(Al(NO<sub>3</sub>)<sub>3</sub>)

الجدول (5-4): قيم الصلادة لاغشية المترافقات (PVA - أملاح الالمنيوم) مع النسبة الوزنية لأملاح الالمنيوم.

Concentration (wt%)	(PVA-AlCl <sub>3</sub> )	(PVA-Al(NO <sub>3</sub> ) <sub>3</sub> )
Pure (PVA)	23.25	23.25
3	23.56	23.45
7	24.24	23.72
11	25.05	23.87
15	25.36	24.07

ونلاحظ من خلال الجدول أعلاه أن قيم الصلادة لاغشية المترافق ( $\text{PVA-AlCl}_3$ ) هي أكبر من جميع قيم الصلادة لاغشية المترافق ( $\text{PVA-Al(NO}_3)_3$ ) بنسب وزنية مختلفة من ملح ( $\text{Al(NO}_3)_3$ ).

## Tensile Test

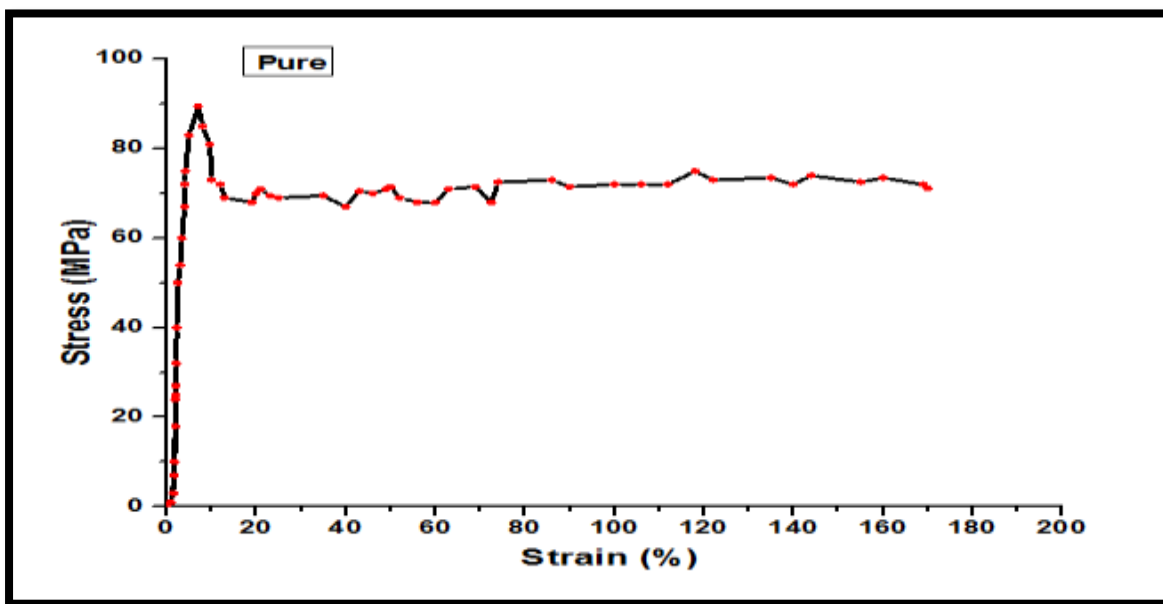
### (2-4-4) اختبار الشد

أجري اختبار الشد وتم الحصول على منحنيات (الإجهاد - الانفعال) لاغشية بوليمر (PVA) النقي والمدعمة بأملاح الالمنيوم بنسب وزنية مختلفة (wt%) (3,7,11,15)), يوضح الشكل (23-4) منحي (الإجهاد - الانفعال) لغشاء (PVA) النقي حيث نجد أنه يتكون من منطقة تشهو منن تمثل بالعلاقة الخطية بين الإجهاد والانفعال ومن هذه المنطقة تم حساب معامل المرونة (معامل يونك) والذي يمثل ميل الخط المستقيم، تعاني المادة البوليميرية ضمن حدود هذه المنطقة تشهواً مرتناً ناتجاً عن شد واستطالة للسلسل البوليميرية دون حصول تكسر في الأواصر، ينحرف بعدها هذا المنحي عن السلوك الخطى نتيجة تولد شقوق داخل المادة البوليميرية. تنمو هذه الشقوق وتتجمع مع زيادة الإجهاد مكونة شقوق أكبر حجماً وتستمر بالنمو مع الإجهاد المسلط حتى يحصل الكسر في العينة . وفي حالات أخرى يبدأ الكسر عند السطوح الخارجية في موقع التشهوات أو العيوب كالخدوش أو الثلمات أو الشقوق الداخلية والتي تعمل كمناطق لتركيز الإجهادات والتي تؤدي إلى ارتفاع قيمة الإجهاد إلى حدود تتجاوز فيها قوة التأثير الداخلية وبالتالي يحدث الكسر.

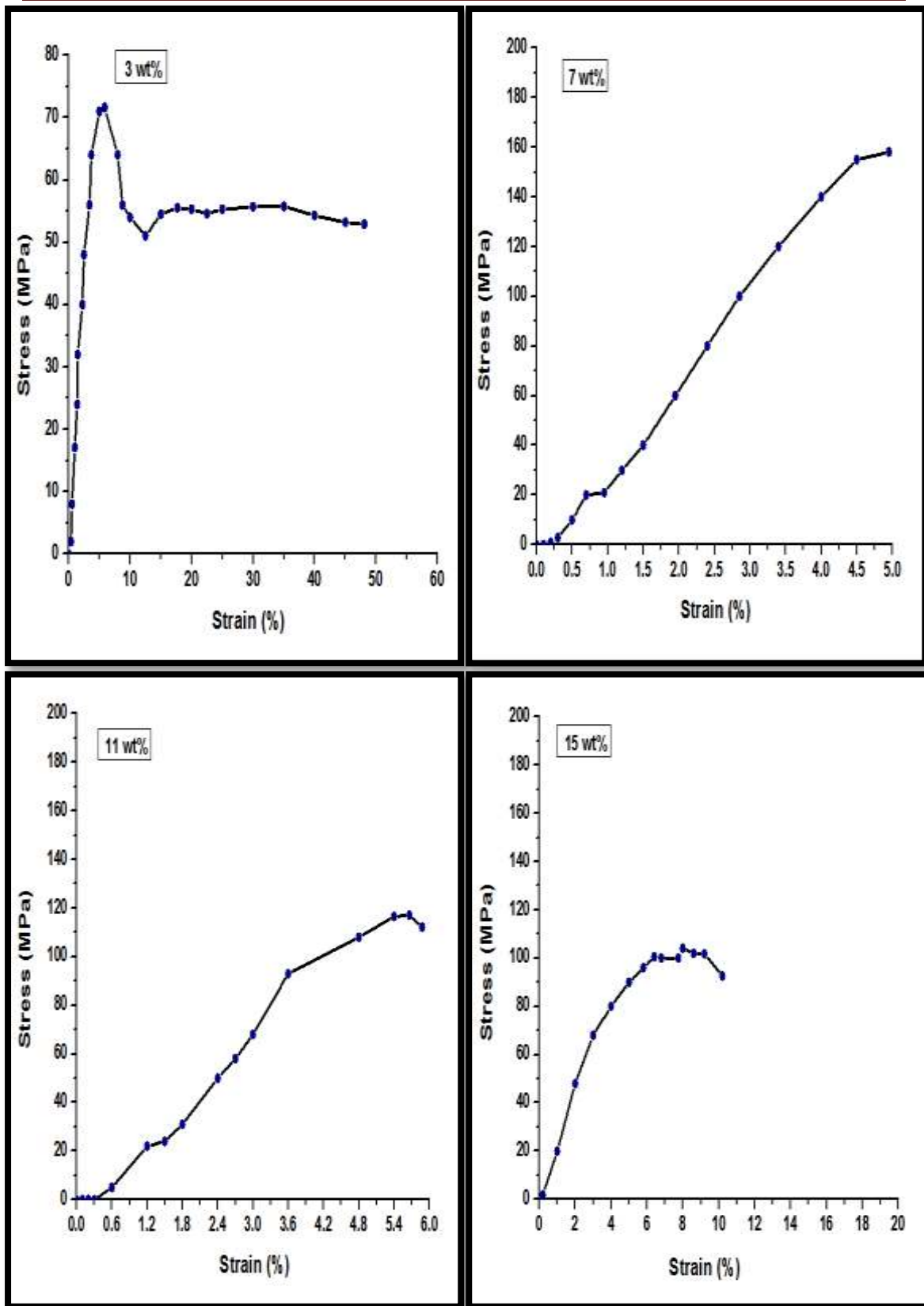
حيث أنه عند إضافة مواد التدعيم (أملاح الالمنيوم) إلى المادة الاساس (بوليمر (PVA)) النقي فإن منحنيات (الإجهاد - الانفعال) تتغير وتحصل على منحنيات ذات خواص مختلفة اعتماداً على نوع مادة التدعيم المضافة ونسبتها الوزنية هو موضح بالشكلين (4-24) و (25-4).

الجدولان (4-6) و (4-7) يوضحان قيم كلاً من م坦ة الشد (T.S) والاستطالة حد الكسر ( $E_b$ ) ومعامل يونك ( $Y_m$ ) لاغشية المترافقات كافة والتي حددت من منحنيات (الإجهاد - الانفعال)، حيث نلاحظ من خلال الجدولين أن قيمة م坦ة الشد لغشاء (PVA) النقي تكون (71.1 MPa) وقيمة الاستطالة حد الكسر تكون (170 %) وقيمة معامل يونك تكون (3350 MPa)، ولكن بعد التدعيم بأملاح الالمنيوم فإن هذه القيم ستتغير. فعند التدعيم بملح ( $\text{AlCl}_3$ )، فنلاحظ أن قيمة م坦ة الشد قد قلت عند النسبة الوزنية (3wt%) لتبلغ

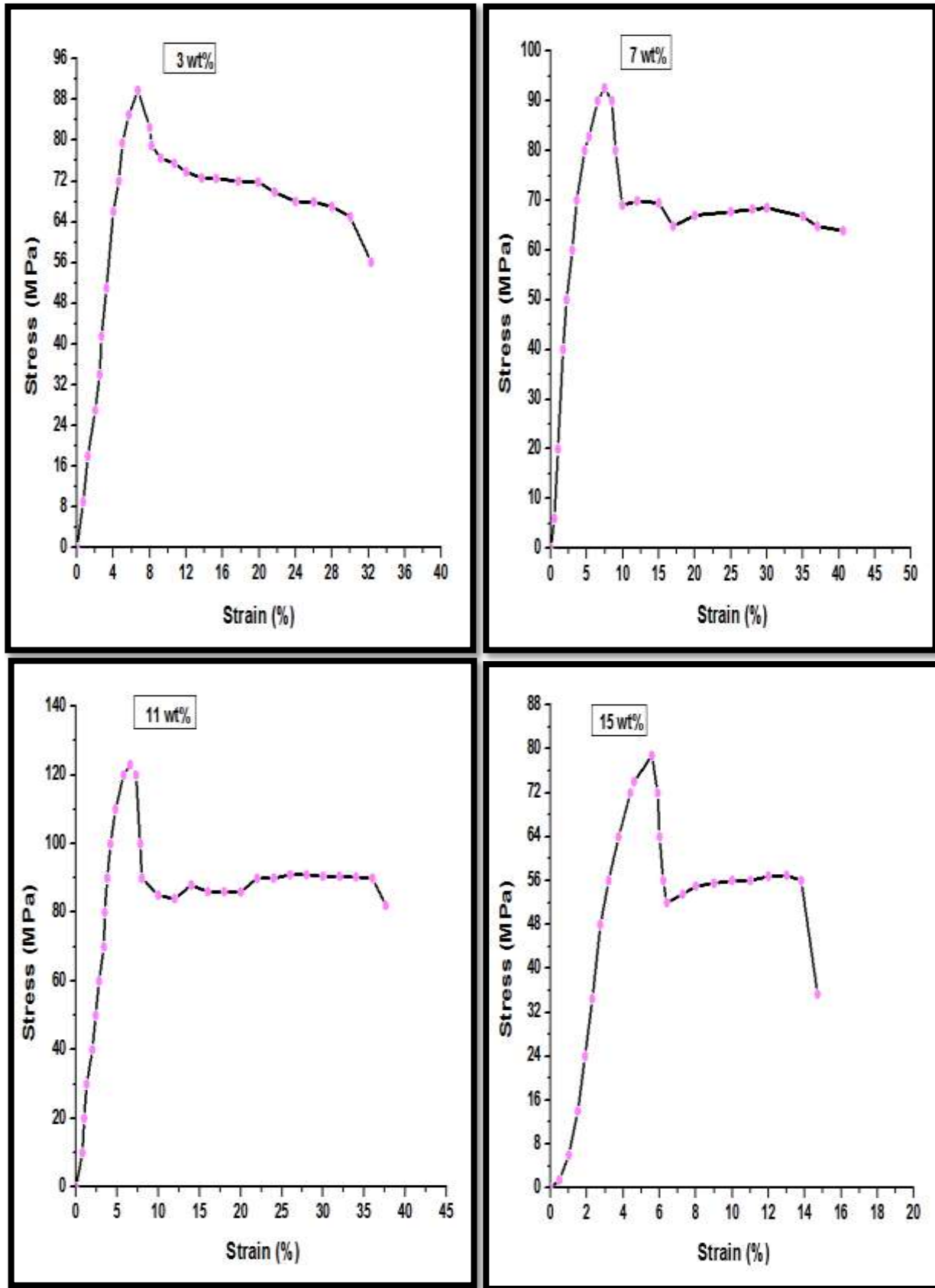
(52.9 MPa) ثم بدأت بالزيادة بشكل غير منتظم لتبلغ أعلى قيمة لها عند النسبة الوزنية (7 wt%) وهي (158 MPa)، أما قيمة الاستطالة حد الكسر فنلاحظ أنها بعد التدعيم تبدأ بالتناقص بشكل غير منتظم لتبلغ أقل قيمة لها وهي (4.95 %) عند النسبة الوزنية (7 wt%)، وأما قيمة معامل يونك فقد قلت بعد التدعيم عند النسبة الوزنية (3 wt%) لـ (2310 MPa) ثم تبلغ (3870 MPa). أما عند التدعيم بملح  $\text{Al}(\text{NO}_3)_3$ ، فنلاحظ أن سلوك م坦ة الشد يكون غير منتظم وأن أعلى قيمة لم坦ة الشد هي عند النسبة الوزنية (11 wt%) حيث بلغت (82.9 MPa)، أما قيمة الاستطالة حد الكسر فنلاحظ أنها بعد التدعيم تبدأ بالتناقص بشكل غير منتظم لتبلغ أقل قيمة لها عند النسبة الوزنية (15 wt%) وهي (14.7 %)، وأما قيمة معامل يونك فقد قلت بعد التدعيم عند النسبة الوزنية (3 wt%) لـ (1830 MPa) ثم بدأت بالزيادة بشكل غير منتظم لتبلغ أعلى قيمة لها عند النسبة الوزنية (11 wt%) وهي (3210 MPa). أن هذا النقص غير المنتظم في قيم خصائص الشد المتمثلة بم坦ة الشد والاستطالة حد الكسر ومعامل يونك لأغشية المترابكبات كافة (عند أغلب النسب الوزنية للتدعم بأملاح الالمنيوم) بالمقارنة مع غشاء (PVA) النقي يعزى إلى ضعف التفاعل بين الجزيئات وقلة الالتصاق البيني بين مكونات المترابك مما يؤدي إلى التقليل من خواص الشد وهشاشة أغشية المترابك، وهذه النتيجة تتفق مع دراسة الباحث (Ravindra) وأخرون عام (2015) [39]. والأشكال من (26-4) إلى (31-4) توضح خصائص الشد لأغشية المترابكبات كافة.



الشكل (23-4): منحني (الاجهاد - الانفعال) لغشاء (PVA) النقي.



الشكل (24-4): منحني (الاجهاد - الانفعال) لاغشية المترافق (PVA- $\text{AlCl}_3$ ) بنسبي وزنية مختلفة من ملح ( $\text{AlCl}_3$ ).



الشكل(25-4): منحني (الاجهاد- الانفعال) لاغشية المترافق  $(\text{PVA}-\text{Al}(\text{NO}_3)_3)$  بنسـب وزنـية مختلـفة من ملح  $(\text{Al}(\text{NO}_3)_3)$ .

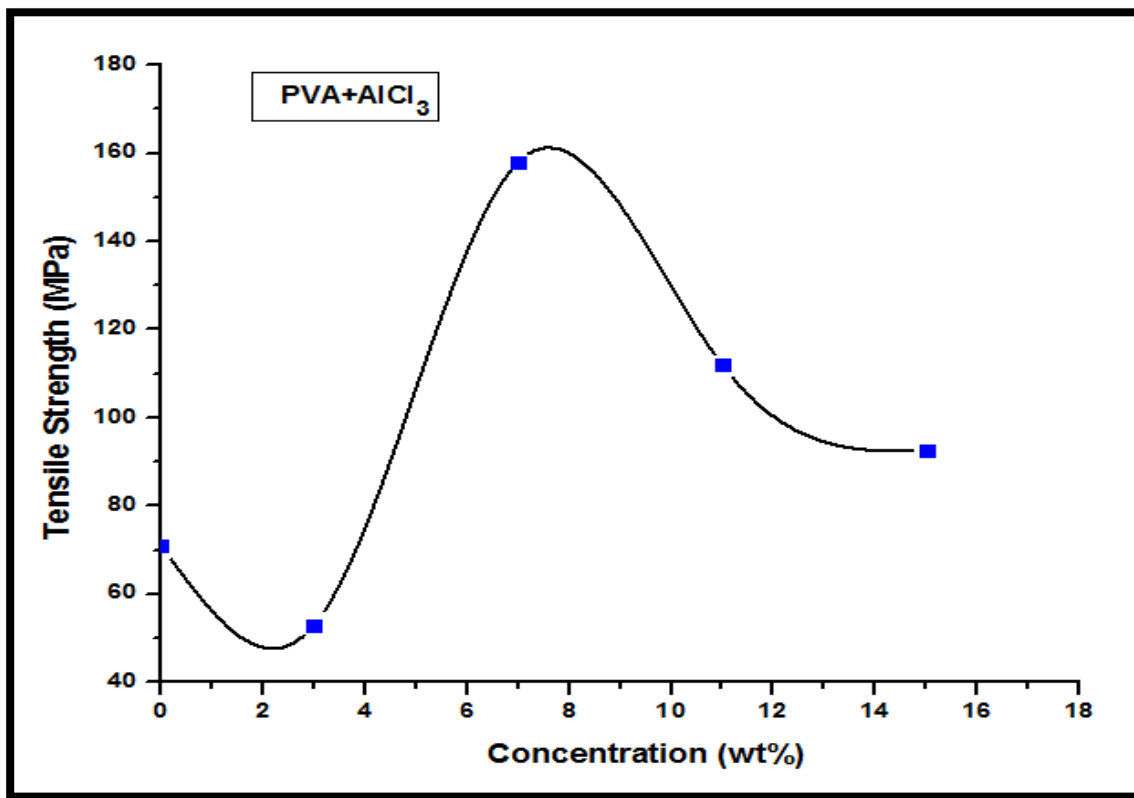
**الجدول (6-4):** قيم خصائص الشد لاغشية المترافق (PVA-AlCl<sub>3</sub>) مع النسبة الوزنية لملح (AlCl<sub>3</sub>).

Concentration (wt%)	Tensile Strength (T.S) (MPa)	Elongation at Break (E <sub>b</sub> ) (%)	Young's Modulus (Y <sub>m</sub> ) (MPa)
Pure (PVA)	71.1	170	3350
3	52.9	48.1	2310
7	158	4.95	3870
11	112	5.88	2610
15	92.6	10.2	2860

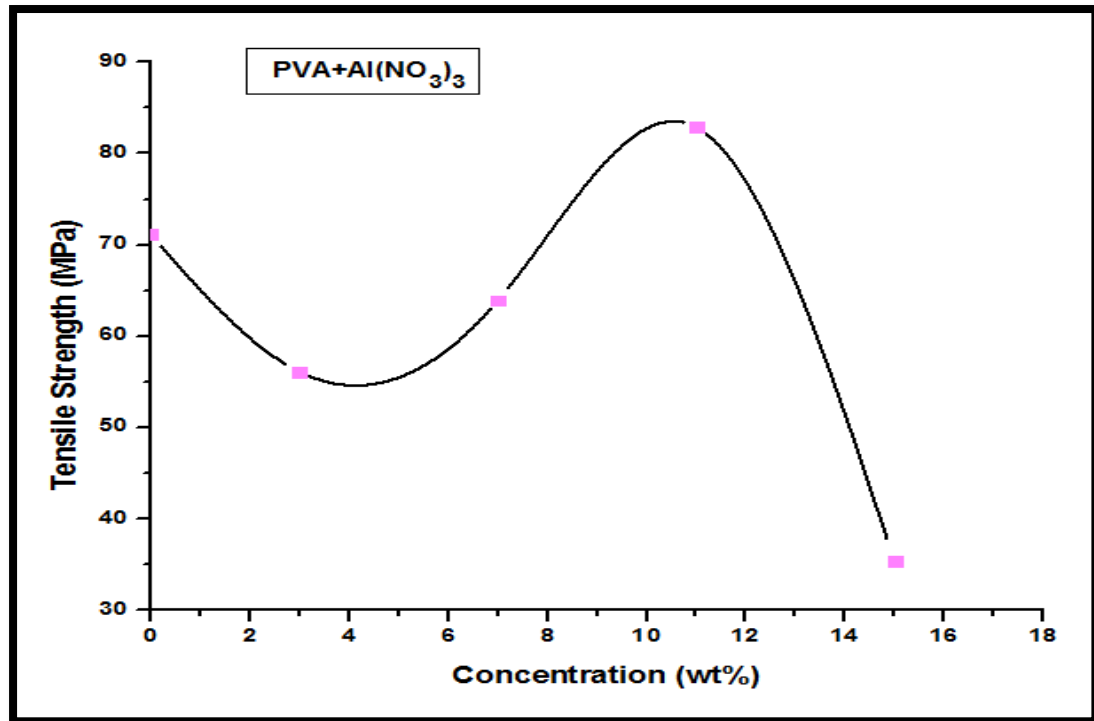
**الجدول (7-4):** قيم خصائص الشد لاغشية المترافق (PVA-Al(NO<sub>3</sub>)<sub>3</sub>) مع النسبة الوزنية لملح (Al(NO<sub>3</sub>)<sub>3</sub>).

Concentration (wt%)	Tensile Strength (T.S) (MPa)	Elongation at Break (E <sub>b</sub> ) (%)	Young's Modulus (Y <sub>m</sub> ) (MPa)
Pure (PVA)	71.1	170	3350
3	56.1	32.3	1830
7	63.9	40.6	3010
11	82.9	37.6	3210
15	35.3	14.7	2770

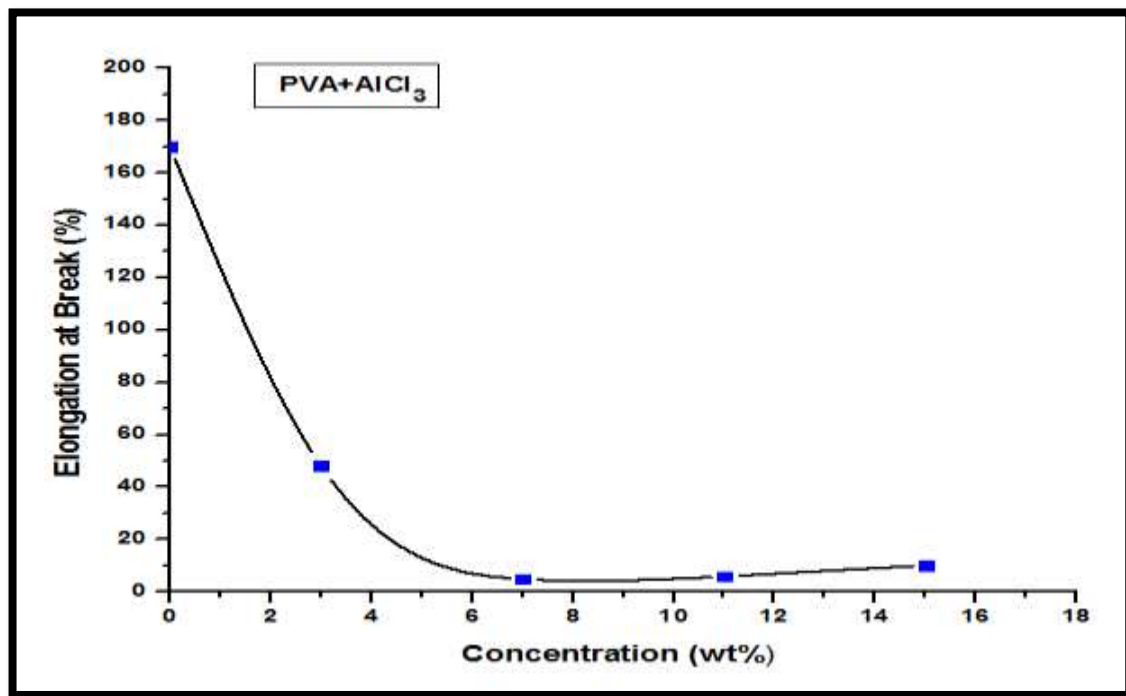
ونلاحظ من خلال الجدولين أعلاه أن أغشية المترافق (PVA-AlCl<sub>3</sub>) بنسٍ وزنية (7,11,15)wt% تمتلك أعلى قيم لمتانة الشد، وأن أغشية المترافق (PVA-Al(NO<sub>3</sub>)<sub>3</sub>) بنسٍ وزنية (7,11,15)wt% تمتلك أعلى قيم للأستطاله حد الكسر، وأن أغشية المترافق (PVA-AlCl<sub>3</sub>) بنسٍ وزنية (3,7,15)wt% تمتلك أعلى قيم لمعامل يونك.



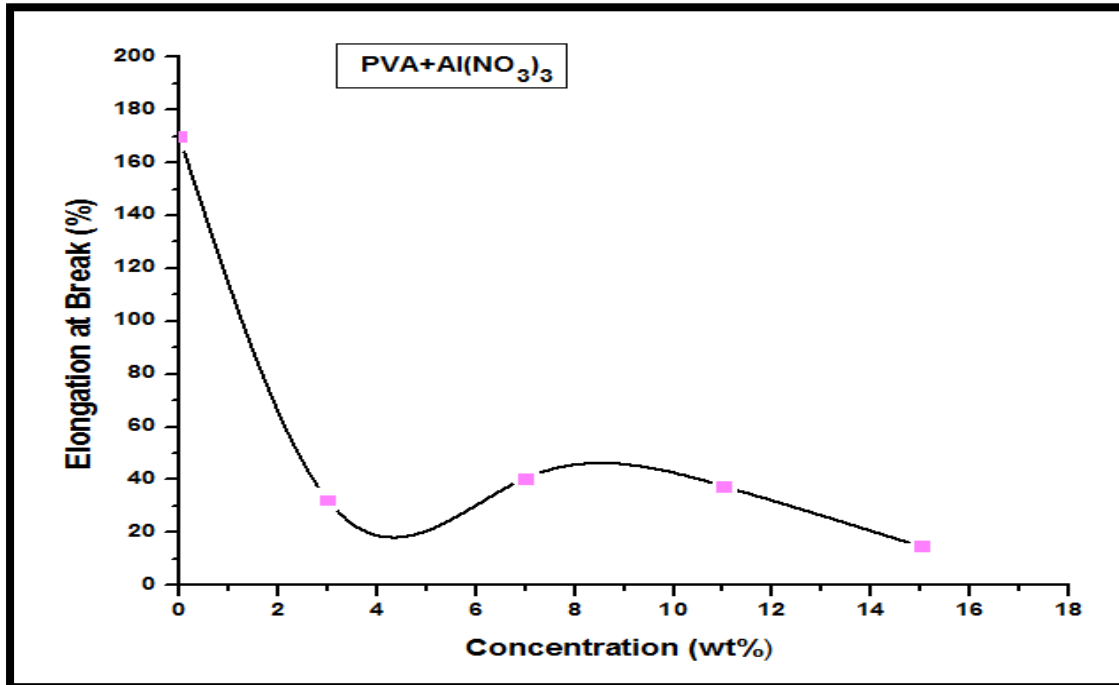
الشكل (26-4): متانة الشد لاغشية المترافق (PVA-AlCl<sub>3</sub>) كدالة للنسبة الوزنية لملح .(AlCl<sub>3</sub>)



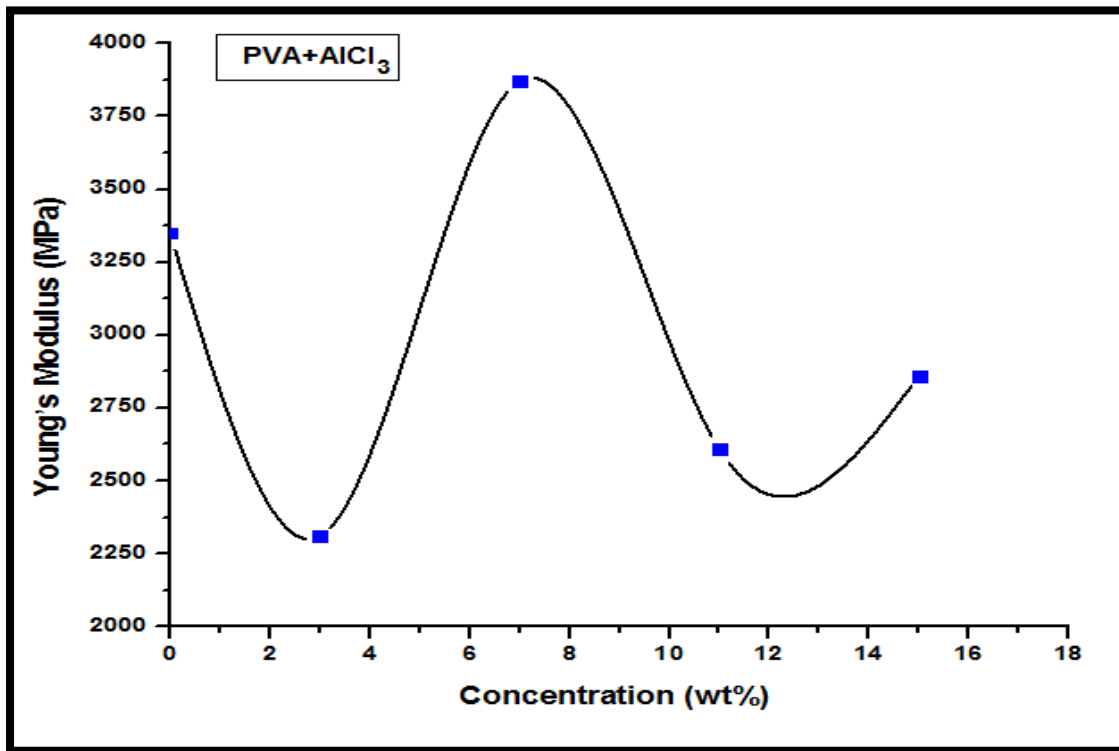
الشكل (27-4): متانة الشد لاغشية المترافق (PVA-Al(NO<sub>3</sub>)<sub>3</sub>) كدالة للنسبة الوزنية لملح (Al(NO<sub>3</sub>)<sub>3</sub>).



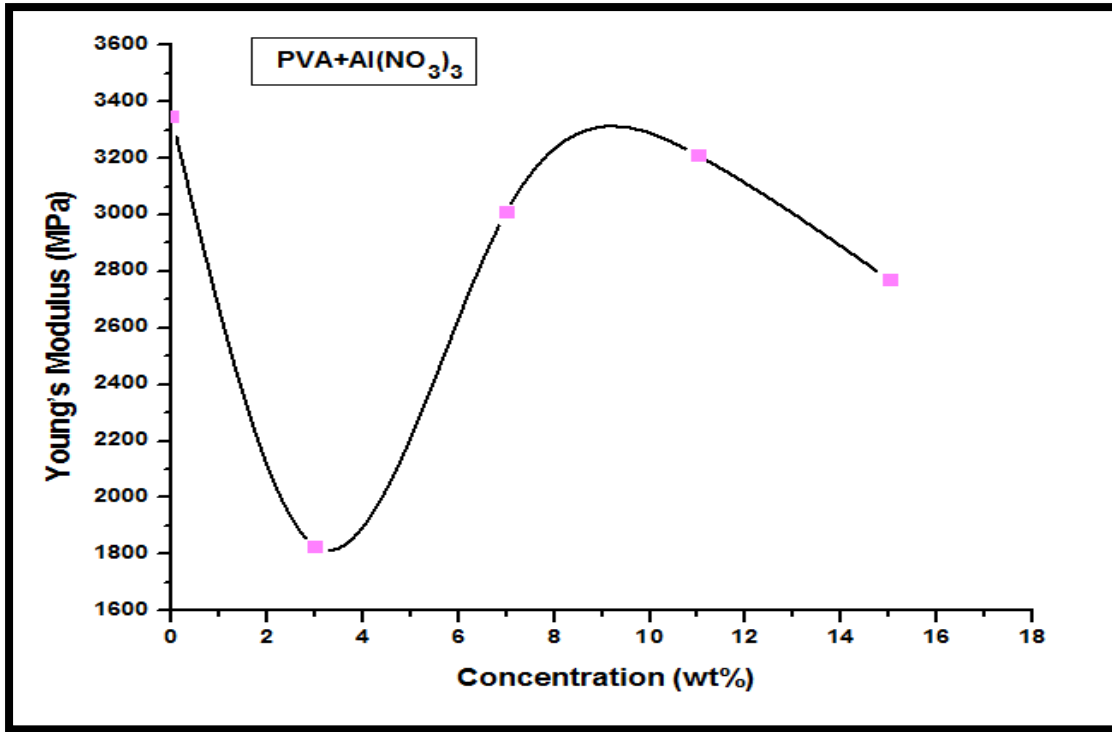
الشكل (28-4): الاستطالة حد الكسر لاغشية المترافق (PVA-AlCl<sub>3</sub>) كدالة للنسبة الوزنية لملح (AlCl<sub>3</sub>).



الشكل (29-4): الاستطالة حد الكسر لاغشية المترافق (PVA-Al(NO<sub>3</sub>)<sub>3</sub>) كدالة للنسبة الوزنية لملح .(Al(NO<sub>3</sub>)<sub>3</sub>)



الشكل (30-4): معامل يونك لاغشية المترافق (PVA-AlCl<sub>3</sub>) كدالة للنسبة الوزنية لملح .(AlCl<sub>3</sub>)



الشكل (31-4): معامل يونك لاغشية المترافق (PVA-Al( $\text{NO}_3$ )<sub>3</sub>) كدالة للنسبة الوزنية لملح (Al( $\text{NO}_3$ )<sub>3</sub>)

## Thermal Properties

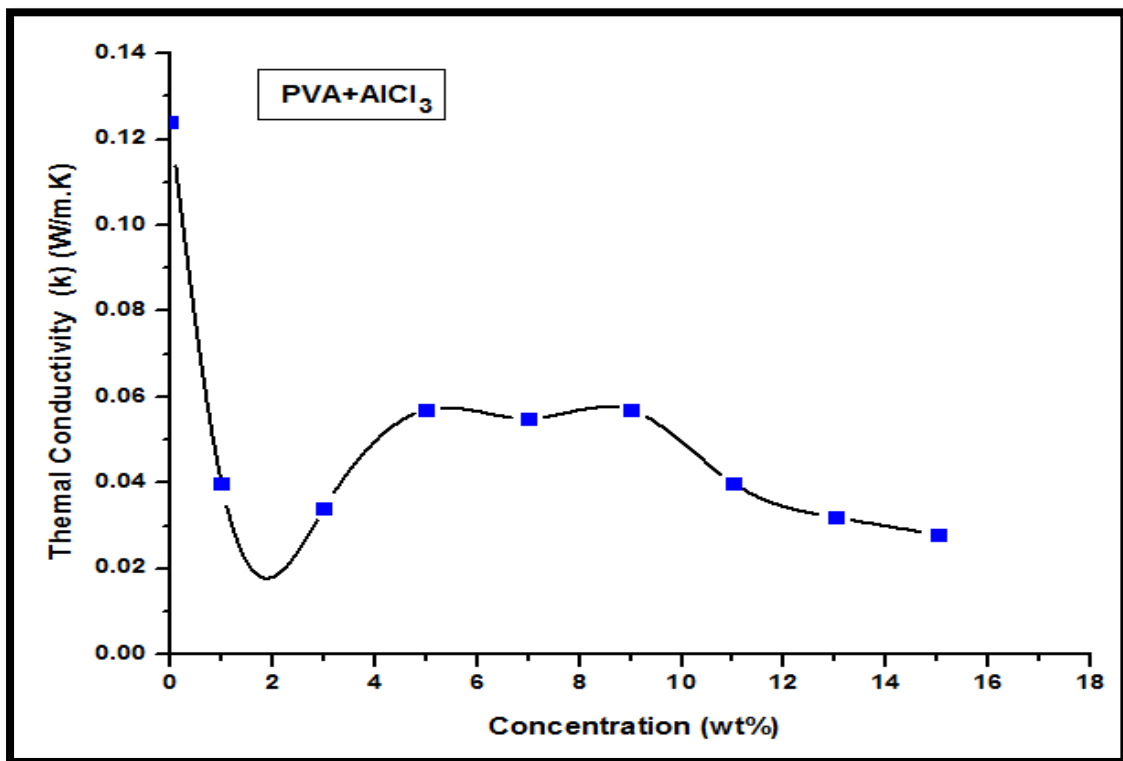
## (5-4) الخواص الحرارية

### Thermal Conductivity

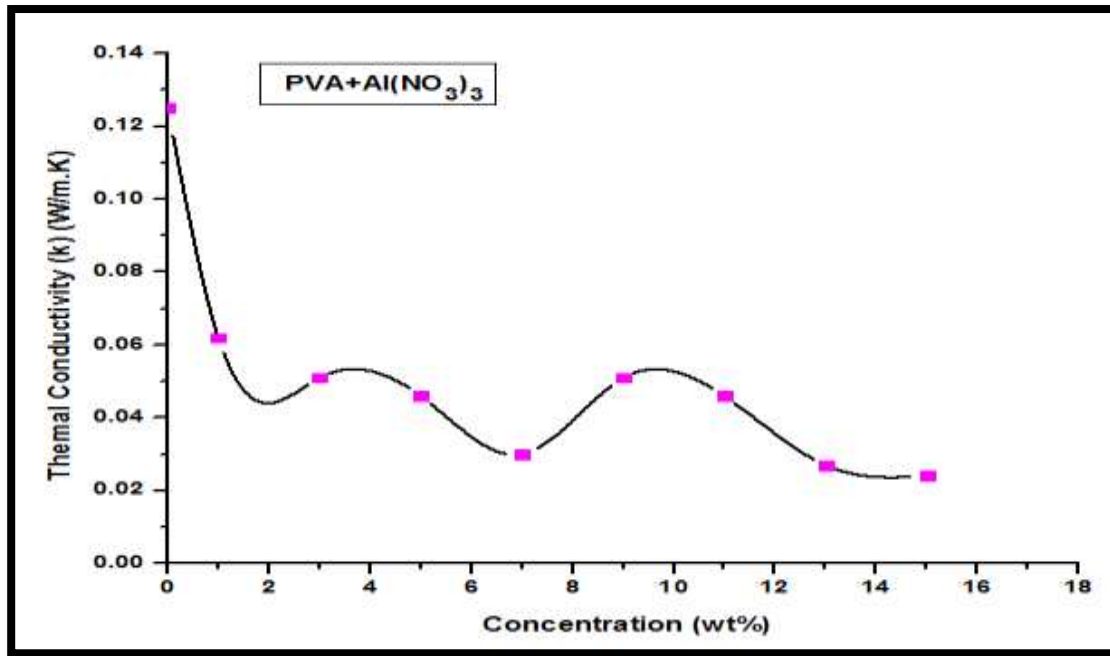
### (1-5-4) التوصيلية الحرارية

تم حساب التوصيلية الحرارية ( $k$ ) باستخدام طريقة قرص لي (Lee's Disc Method) وبالاعتماد على العلاقةين (28-2) و (29-2) على التوالي. الشكلان (32-4) و (33-4) يوضحان التوصيلية الحرارية لاغشية بوليمر (PVA) النقية والمدعمة بأملام الالمنيوم بنسب وزنية مختلفة، نلاحظ من خلال الشكلين أن قيمة التوصيلية الحرارية لغشاء (PVA) النقي تكون (0.125 W/m.K) وعند التدعيم بأملام الالمنيوم تتغير قيمة التوصيلية الحرارية وتبدأ بالتناقص بشكل غير منتظم. حيث نلاحظ من خلال الشكل (4-32) أن قيمة التوصيلية الحرارية تقل مع زيادة النسبة الوزنية لملح (AlCl<sub>3</sub>) من (1wt%) إلى (3wt%) وعند زيادة النسبة الوزنية لملح (AlCl<sub>3</sub>) إلى (5wt%) فإن قيمة التوصيلية الحرارية ستصبح غير منتظمة.

أما الشكل (33-4) فنلاحظ من خلاله أيضاً أن قيمة التوصيلية الحرارية تقل مع زيادة النسبة الوزنية لملح  $\text{Al}(\text{NO}_3)_3$  من (1wt%) إلى (7wt%) وعند زيادة النسبة الوزنية لملح  $\text{Al}(\text{NO}_3)_3$  إلى (9wt%) فأن قيمة التوصيلية الحرارية ستصبح غير منتظمة. أن عدم انتظام قيمة التوصيلية الحرارية ربما يكون بسبب عدم التجانس بين المادة الأساس (بوليمر PVA) ومواد التدعيم (أملاح الالمنيوم) بسبب كبر المساحة السطحية لأملاح الالمنيوم [95]. وبصورة عامة فأن عملية التدعيم بأملاح الالمنيوم أدت إلى نقص قيمة التوصيلية الحرارية لغشاء (PVA) النقي. والجدول (4-8) يوضح قيم التوصيلية الحرارية لاغشية المترابكات كافية.



الشكل (32-4): التوصيلية الحرارية لاغشية المترابك (PVA- $\text{AlCl}_3$ ) كدالة للنسبة الوزنية لملح  $(\text{AlCl}_3)$ .



الشكل (33-4): التوصيلية الحرارية لاغشية المترافق  $\text{PVA}\text{-Al}(\text{NO}_3)_3$  كدالة للنسبة الوزنية لملح  $\text{Al}(\text{NO}_3)_3$ .

الجدول (8-4): قيم التوصيلية الحرارية لاغشية المترافق (PVA - أملاح الالمنيوم) مع النسبة الوزنية لأملاح الالمنيوم.

Concentration (wt%)	(PVA-AlCl <sub>3</sub> ) k (W/m.K)	(PVA-Al(NO <sub>3</sub> ) <sub>3</sub> ) k (W/m.K)
Pure (PVA)	0.125	0.125
1	0.040	0.062
3	0.034	0.051
5	0.057	0.046
7	0.055	0.030
9	0.057	0.051
11	0.040	0.046
13	0.032	0.027
15	0.028	0.024

#### (2-5-4) درجة الانتقال الزجاجي ( $T_g$ )

تم حساب درجة الانتقال الزجاجي لأغشية بوليمر (PVA) النقية والمدعمة بأملام الالمنيوم بنسب وزنية مختلفة وذلك باستخدام جهاز المسعر الحراري التبايني (DSC)، الاشكال من (34-4) الى (50-4) تظهر قيم درجة الانتقال الزجاجي لأغشية المترابكات كافة وكما هو موضح بالجدول (9-4)، حيث نلاحظ أن قيمة درجة الانتقال الزجاجي لغشاء (PVA) النقي تكون ( $53.2^{\circ}\text{C}$ ) [96]. وبعد التعديم بملح ( $\text{AlCl}_3$ ) نلاحظ أن قيمة درجة الانتقال الزجاجي تبدأ بالزيادة بشكل غير منتظم لتبلغ أعلى قيمة لها عند النسبة الوزنية (9wt%) وهي ( $67.8^{\circ}\text{C}$ )، وهذه الزيادة غير المنتظمة في قيمة درجة الانتقال الزجاجي ناتجة عن التفاعل بين الجزيئات (الاصرة الهيدروجينية) الذي يحدث بين بوليمر (PVA) و ملح ( $\text{AlCl}_3$ ) [97]، وكذلك نلاحظ اختفاء درجة الانتقال الزجاجي عند النسبة الوزنية (11wt%) حيث لا يمكن تفسيرها بشكل صحيح بأعتبارها انعكاس لامتزاج المترابك [98]، أما عند التعديم بملح ( $\text{Al}(\text{NO}_3)_3$ ) فنلاحظ أن سلوك درجة الانتقال الزجاجي يكون غير منتظم حيث تبلغ أعلى قيمة لها عند النسبة الوزنية (3wt%) وهي ( $118.3^{\circ}\text{C}$ ) بالمقارنة مع غشاء (PVA) النقي وأقل قيمة لها عند النسبة الوزنية (1wt%) وهي ( $46.8^{\circ}\text{C}$ ) بالمقارنة مع غشاء (PVA) النقي، أن هذه القيمة غير المنتظمة في درجة الانتقال الزجاجي تعزى الى أن أذابة ملح ( $\text{Al}(\text{NO}_3)_3$ ) أدى الى تقليل مرونة السلسل لبوليمر (PVA) [99,100]. وكذلك بعد التعديم بملح ( $\text{AlCl}_3$ ) بنسبة وزنية (11wt%) وايضا بعد التعديم بملح ( $\text{Al}(\text{NO}_3)_3$ ) بنسبة وزنية (9,11,15 wt%) نلاحظ ظهور قمة نحو الاعلى (exothermic) والتي يرمز لها بالرمز ( $T_w$ ) و تقع بعد درجة الانتقال الزجاجي عند درجة الحرارة ( $58.4^{\circ}\text{C}$ ) وضمن مدى درجة الحرارة ( $114.8-118.6^{\circ}\text{C}$ ) لأملام ( $\text{AlCl}_3$ ) عند النسبة الوزنية (11wt%) و ( $\text{Al}(\text{NO}_3)_3$ ) عند النسب الوزنية (9,11,15 wt%) على التوالي، وسبب ظهور هذه القمة هو وجود كمية صغيرة من الرطوبة في العينات المحضرة [96].

**الجدول (9-4):** قيم درجة الانتقال الزجاجي لاغشية المترافقات (PVA - أملاح الألمنيوم) مع النسبة الوزنية لأملاح الألمنيوم.

Concentration (wt%)	(PVA-AlCl <sub>3</sub> ) T <sub>g</sub> (°C)	(PVA-Al(NO <sub>3</sub> ) <sub>3</sub> ) T <sub>g</sub> (°C)
Pure (PVA)	53.2	53.2
1	56.3	46.8
3	55.6	118.3
5	59.2	51.9
7	58.7	72
9	67.8	60
11	-	57.1
13	58.2	75.7
15	58.1	56.3

### 3-5-4) درجة الانصهار البلورية

#### Crystalline Melting Temperature (T<sub>m</sub>)

تم حساب درجة الانصهار البلورية لاغشية بوليمر (PVA) النقية والمدعمة بأملاح الألمنيوم بنسب وزنية مختلفة وذلك باستخدام جهاز المسعر الحراري التبايني (DSC)، تستخدم درجة الانصهار البلورية لتحديد طبيعة المادة ودرجة نقائها [101]، الاشكال من (34-4) الى (50-4) تظهر قيم درجة الانصهار البلورية لاغشية المترافقات كافة وكما هو موضح بالجدول (10-4)، حيث نلاحظ أن قيمة درجة الانصهار البلورية لغشاء (PVA) النقى تكون 130.6°C. وبعد التعديم بملح AlCl<sub>3</sub> نلاحظ أن قيمة درجة الانصهار البلورية تبدأ بالزيادة بشكل غير منتظم لتبلغ أعلى قيمة لها عند النسبة الوزنية (3wt%) وهي 174.7°C،

ويعزى سبب هذه الزيادة غير المنتظمة في درجة الانصهار البلورية إلى زيادة في الطور البلوري لبوليمير (PVA) بسبب التدعيم بملح ( $\text{AlCl}_3$ ) [102]. أما عند التدعيم بملح ( $\text{Al}(\text{NO}_3)_3$ ) فنلاحظ اختفاء درجة الانصهار البلورية عند النسبة الوزنية (7wt%), وهذا الاختفاء يعزى إلى التفاعل القوي بين بوليمير (PVA) وملح ( $\text{Al}(\text{NO}_3)_3$ ) (الاواصر التساهمية والهيدروجينية) التي تضعف التبلور في بوليمير (PVA) [103]، وكذلك بسبب نقص أو زيادة في المناطق غير المتبورة في العينات المحضرة [96]، أما عند النسب الوزنية (PVA) 1,3,5,9,11,15 wt% فتزداد قيمة درجة الانصهار البلورية بالمقارنة مع غشاء (PVA) النقى وتقل عند النسبة الوزنية (13 wt%) بالمقارنة مع غشاء (PVA) النقى، أن هذا التزايد والتناقض في قيمة درجة الانصهار البلورية بالمقارنة مع غشاء (PVA) النقى يبين أن التبلور العالي والانتظامية في تركيب البلورة يتناقض مع زيادة درجة التشابك [101]. وكذلك نلاحظ ظهور عدة قمم نحو الاسفل (endothermic) وتمثل درجة التحلل (التفكك) والتي يرمز لها بالرمز ( $T_d$ ) وتقع بعد درجة الانصهار البلورية ضمن مدى درجة الحرارة ( $^{\circ}\text{C}$ ) (218.3-275.6) لغشاء (PVA) النقى وكذلك نلاحظ ظهور قمة أو عدة قمم من نفس هذا النوع من القمم في بعض نسب التدعيم بأملاح الالمنيوم، ويليها مباشرة ظهور قمة أو عدة قمم نحو الاعلى (exothermic) في بعض نسب التدعيم بأملاح الالمنيوم وتمثل درجة التحلل (التفكك) أيضا والتي يرمز لها بالرمز ( $T_d$ ) أيضا وتقع ضمن مدى درجة الحرارة ( $^{\circ}\text{C}$ ) (395.3-583.5). [96,102]

**الجدول (4-10):** قيم درجة الانصهار البلورية لاغشية المترابكات (PVA - أملاح الالمنيوم) مع النسبة الوزنية لأملاح الالمنيوم.

Concentration (wt%)	(PVA-AlCl <sub>3</sub> ) T <sub>m</sub> (°C)	(PVA-Al(NO <sub>3</sub> ) <sub>3</sub> ) T <sub>m</sub> (°C)
Pure (PVA)	130.6	130.6
1	136.1	204.3
3	174.7	147.3
5	170.6	197.7
7	172.4	—
9	171.5	277
11	174.3	182.8
13	160	125.3
15	172.7	185

#### 4-5-4) التحليل الحراري الوزني (TGA)

بما أن البوليمرات تمر بغيرات عدّة عند تسخينها محّررة غازات وسوائل مختلفة في أشكالها وألوانها وأوزانها الجزيئية، وتسمى قابلية البوليمر لمقاومة هذه التغييرات عند درجات الحرارة العالية بالثبات الحراري، ولهذا يلجأ إلى استخدام تقنية قياس الفقد في الوزن كدالة لدرجة الحرارة (TGA) لاختبار حركية التفاعلات والتواتج في مراحل عملية القكح الحراري [91,104] وذلك باستخدام جهاز المسعر الحراري التبايني (DSC). الاشكال من (34-4) إلى (50-4) تظهر منحني (TGA) لاغشية بوليمر (PVA) النقية والمدعمة بأملاح الالمنيوم بنسب وزنية مختلفة، الشكل (34-4) يوضح منحني (TGA) لغشاء (PVA) النقى، حيث نلاحظ حدوث مرحلتي تحل حراري لعملية الفقد في الوزن حيث يكون مدى درجة الحرارة للمرحلة الأولى لعملية التحل حراري هو °C (242-367) مع فقد جزئي في الوزن مقداره (89%)، وربما سبب حدوث هذا الفقد الجزئي في الوزن هو تحل سلاسل بوليمر (PVA) الكبيرة إلى

أجزاء صغيرة، أما المرحلة الثانية لعملية التحلل الحراري ف تكون بمدى درجة الحرارة  $^{\circ}\text{C}$  (367-431) وبفقد جزئي في الوزن مقداره (11%)، وربما سبب حدوث هذا فقد الجزئي الثاني في الوزن هو خضوع سلاسل بوليمر (PVA) إلى مزيد من التحلل مما يشكل مادة كARBونية (انشقاق في الاصرة الكARBونية (C-C) لبوليمر (PVA)) لتبقى المادة ثابتة بعد ذلك [105]، ان فقد الكلي في الوزن لغشاء (PVA) النقي يكون (100%). وبعد التدريم بأملاح الالمنيوم فنلاحظ أن فقد الكلي في الوزن لجميع النسب الوزنية لاملاح الالمنيوم المضافة يتناقض بالمقارنة مع غشاء (PVA) النقي ماعدا النسبة الوزنية (7wt%) لملح ( $\text{AlCl}_3$ ) فيكون فقدها الكلية في الوزن (100%)، وأظهرت النسبة الوزنية (9wt%) لملح ( $\text{AlCl}_3$ ) أقل فقد كلية في الوزن ومقداره (80.63%) بينما أظهرت النسبة الوزنية (3wt%) لملح ( $\text{Al}(\text{NO}_3)_3$ ) أقل فقد كلية في الوزن ومقداره (65.79%). الجدولين (4-11) و (4-12) يوضحان مراحل عملية التحلل الحراري وقيم فقد الجزئي والكلية في الوزن لأغشية المترابكات كافة، نلاحظ من خلال الجدولين أن قيمة فقد الجزئي في الوزن للمرحلة الاولى لعملية التحلل الحراري لجميع النسب الوزنية لاملاح الالمنيوم المضافة هي أقل من قيمة فقد الجزئي في الوزن للمرحلة الاولى لعملية التحلل الحراري لغشاء (PVA) النقي ماعدا النسبة الوزنية (7wt%) لملح ( $\text{Al}(\text{NO}_3)_3$ ) والتي تمر بمرحلة واحدة لعملية التحلل الحراري وبفقد (جزئي يساوي كلية) في الوزن مقداره (91.16%) وأن النسبة الوزنية (1,3,9,13,15 wt%) لملح ( $\text{Al}(\text{NO}_3)_3$ ) والنسبة الوزنية (1,3,9 wt%) لملح ( $\text{Al}(\text{NO}_3)_3$ ) تمر بمرحلتين للتحلل الحراري لعملية فقد في الوزن وبمدى درجات حرارة مختلفة، وأن القيمة الاكبر لفقد الجزئي في الوزن تكون في المرحلة الاولى لعملية التحلل الحراري لجميع النسب الوزنية لاملاح الالمنيوم المضافة ماعدا النسبة الوزنية (9 wt%) لملح ( $\text{AlCl}_3$ ) ف تكون أقل، وربما سبب ذلك هو أنقسام أو تطابير جزئي صغير أو تبخّر الماء المتتصـ المتـبـقـ، أما المرحلة الثانية لعملية التحلل الحراري فـ تـمـتـكـ قيمة واطنة بالفقد الجزئي في الوزن وهذا يـشيرـ إلى وجود عملية انحلـلـ كـيمـيـائيـ نـاتـجـةـ عنـ انـفـصالـ الـاـصـرـةـ الـكـارـبـوـنـيـةـ (C-C)ـ فـيـ العـمـودـ الفـقـريـ لـبـولـيـمـرـ (PVA)ـ [106]. أما النـسـبـ الـوزـنـيـةـ (5,7,11 wt%)ـ لـمـلـحـ ( $\text{AlCl}_3$ )ـ وـالـنـسـبـ الـوزـنـيـةـ (5,11,13,15 wt%)ـ لـمـلـحـ ( $\text{Al}(\text{NO}_3)_3$ )ـ تـمرـ بـثـلـاثـ مـرـاحـلـ لـلـتـحـلـلـ الـحرـارـيـ لـعـمـلـيـةـ الـفـقـدـ فيـ الـوزـنـ وـبـمـدـىـ درـجـاتـ حرـارـةـ مـخـلـفـةـ،ـ وأنـ الـقـيـمـةـ الـأـكـبـرـ لـفـقـدـ جـزـئـيـ فيـ الـوزـنـ تـكـوـنـ فيـ الـمـرـحـلـةـ الـأـوـلـىـ لـعـمـلـيـةـ التـحـلـلـ الـحرـارـيـ الـحـارـيـ عـنـ النـسـبـ الـوزـنـيـةـ (5 wt%)ـ لـمـلـحـ ( $\text{AlCl}_3$ )ـ وـأـمـاـ النـسـبـ الـوزـنـيـةـ (11,13,15 wt%)ـ لـمـلـحـ ( $\text{Al}(\text{NO}_3)_3$ )ـ فـتـظـهـرـ أـقـلـ

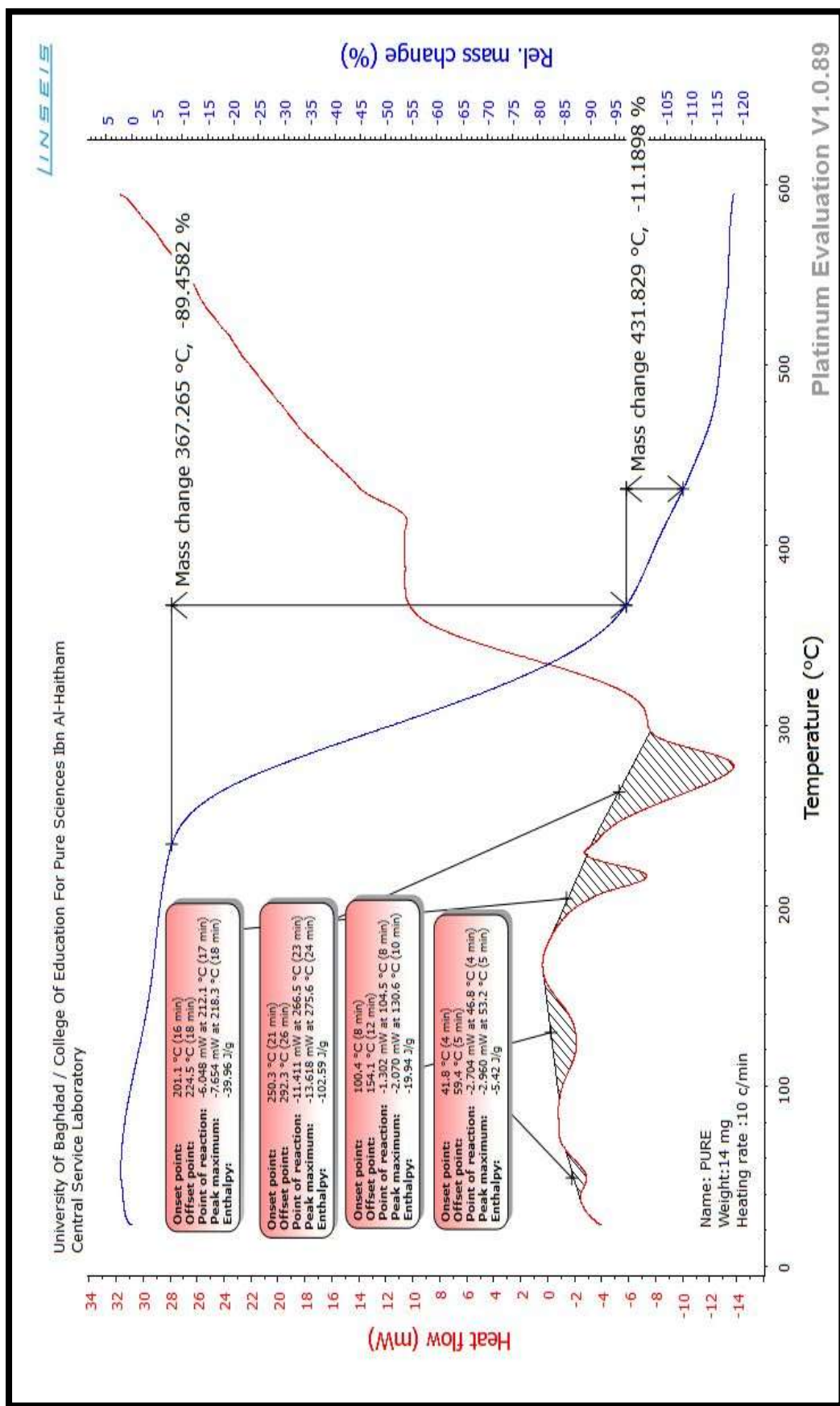
قيمة لفقد الجزيئي في الوزن في هذه المرحلة من عملية التحلل الحراري وتمثل هذه المرحلة من عملية التحلل الحراري فقدان المذيب، أن المرحلة الثانية لعملية التحلل الحراري لفقد الجزيئي في الوزن أظهرت بأن النسب الوزنية wt% (11,13,15) لملح  $\text{Al}(\text{NO}_3)_3$  تمتلك أكبر قيمة لفقد الجزيئي في الوزن بينما النسبة الوزنية (11wt%) و (5wt%) لأملاح  $\text{AlCl}_3$  و  $\text{Al}(\text{NO}_3)_3$  على التوالي تمتلكان أقل قيمة لفقد الجزيئي في الوزن في هذه المرحلة من عملية التحلل الحراري وتمثل هذه المرحلة من عملية التحلل الحراري أنحلال مجموعة الهيدروكسيل (-OH) الجانبية والتي تعطي (Polyneen)، في حين أن المرحلة الثالثة لعملية التحلل الحراري لفقد الجزيئي في الوزن أظهرت بأن النسبة الوزنية (11wt%) لملح  $\text{AlCl}_3$  والنسبة الوزنية wt% (5,11,13,15) لملح  $\text{Al}(\text{NO}_3)_3$  تمتلك متوسط قيمة لفقد الجزيئي في الوزن بينما النسبتين الوزنيتين wt% (5,7) لملح  $\text{AlCl}_3$  تمتلك أقل قيمة لفقد الجزيئي في الوزن في هذه المرحلة من عملية التحلل الحراري وتمثل هذه المرحلة من عملية التحلل الحراري أنفصال الاصرة الكاربونية (C-C) في السلسلة الرئيسية لبولимер (PVA) [107].

**الجدول (11-4): قيم منحني (TGA) لاغشية المترافق (PVA-AlCl<sub>3</sub>) مع النسبة الوزنية لملح (AlCl<sub>3</sub>).**

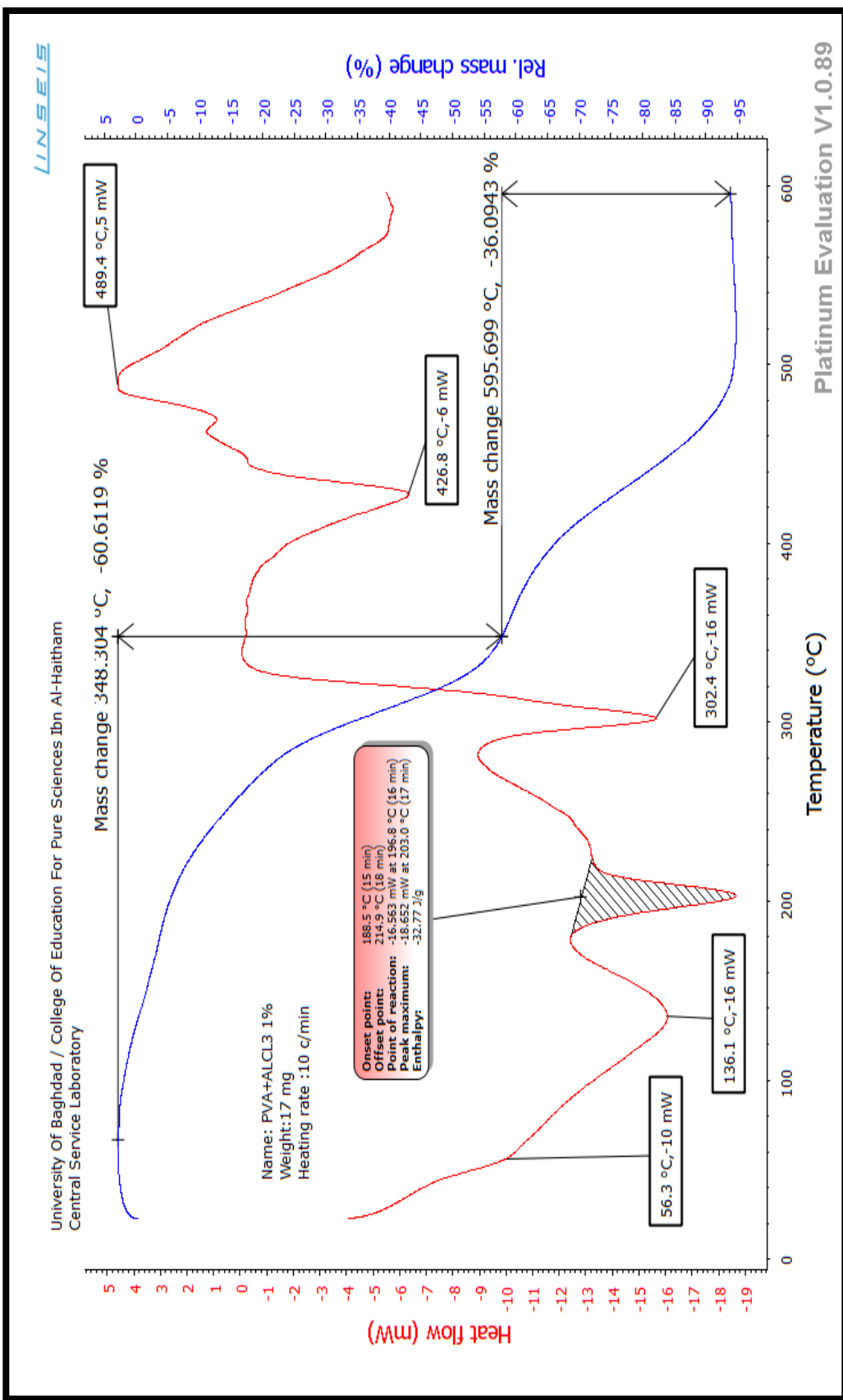
Concentration (wt%)	Region of Decomposition	Temperature Range (°C)		Weight Loss (%)	
		Start	End	Partial	Total
Pure	1 <sup>st</sup>	242	367	89%	100%
	2 <sup>nd</sup>	367	431	11%	
1	1 <sup>st</sup>	79	348	60.61%	96.7%
	2 <sup>nd</sup>	348	595	36.09%	
3	1 <sup>st</sup>	80	339	49.04%	89.04%
	2 <sup>nd</sup>	339	594	40%	
5	1 <sup>st</sup>	91	304	46.09%	97%
	2 <sup>nd</sup>	304	479	28.29%	
	3 <sup>d</sup>	479	594	22.62%	
7	1 <sup>st</sup>	80	315	50%	100%
	2 <sup>nd</sup>	315	490	29%	
	3 <sup>d</sup>	490	594	21%	
9	1 <sup>st</sup>	92	317	32.29%	80.63%
	2 <sup>nd</sup>	317	594	48.34%	
11	1 <sup>st</sup>	80	236	36.57%	84%
	2 <sup>nd</sup>	236	347	10.98%	
	3 <sup>d</sup>	347	594	36.45%	
13	1 <sup>st</sup>	60	312	48.73%	97.14%
	2 <sup>nd</sup>	312	594	48.41%	
15	1 <sup>st</sup>	90	299	50.42%	92.95%
	2 <sup>nd</sup>	299	592	42.53%	

**الجدول (12-4): قيم منحني (TGA) لاغشية المترافق (PVA-Al(NO<sub>3</sub>)<sub>3</sub>) مع النسبة الوزنية لملح (Al(NO<sub>3</sub>)<sub>3</sub>).**

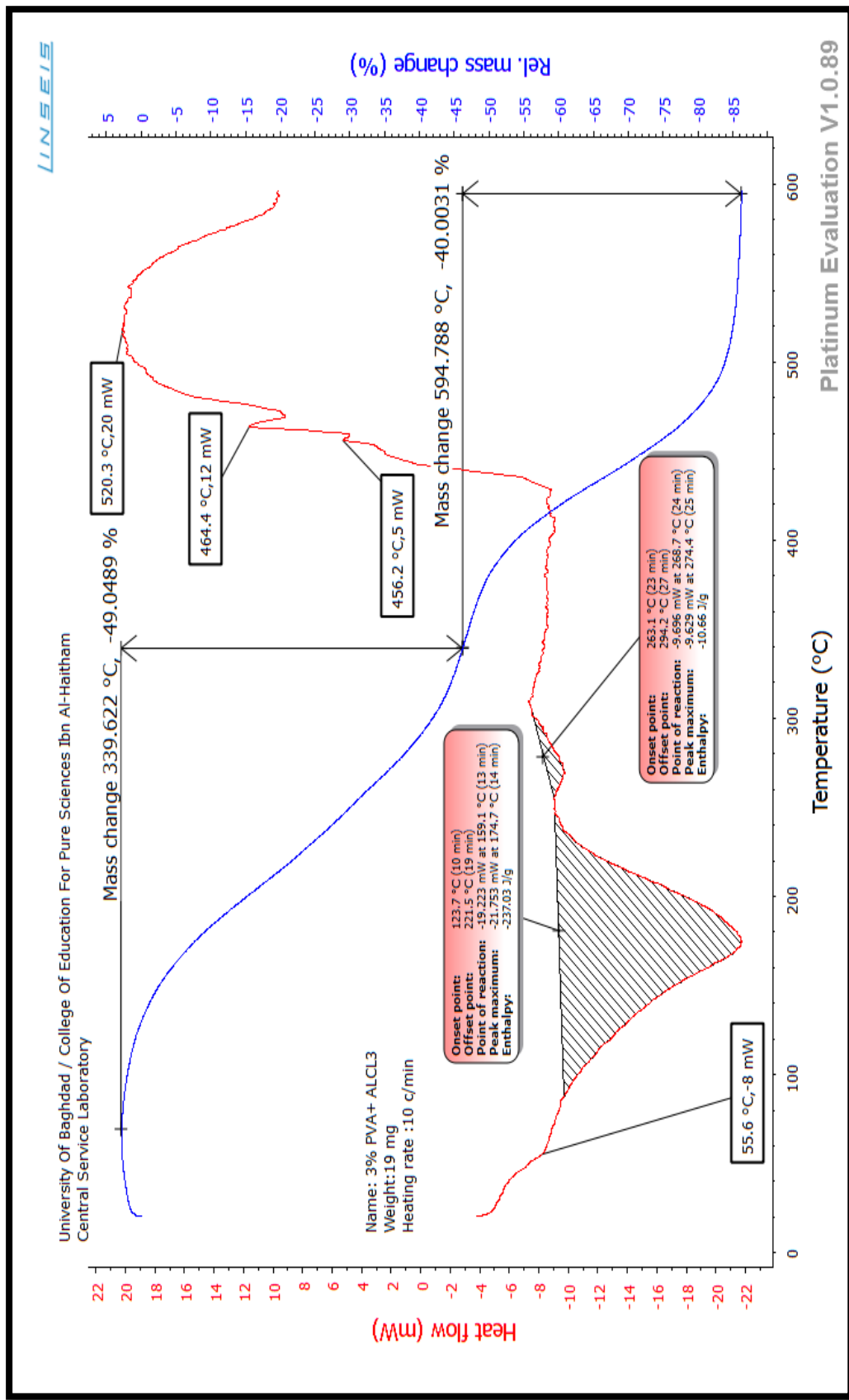
Concentration (wt%)	Region of Decomposition	Temperature Range (°C)		Weight Loss (%)	
		Start	End	Partial	Total
Pure	1 <sup>st</sup> 2 <sup>nd</sup>	242	367	89%	100%
		367	431	11%	
1	1 <sup>st</sup> 2 <sup>nd</sup>	110	379	73.30%	95.38%
		379	595	22.08%	
3	1 <sup>st</sup> 2 <sup>nd</sup>	242	369	42.87%	65.79%
		369	592	22.92%	
5	1 <sup>st</sup> 2 <sup>nd</sup> 3 <sup>d</sup>	220	358	38.91%	
		358	463	18.90%	78.68%
		463	566	20.87%	
7	1 <sup>st</sup>	114	593	91.16%	91.16%
9	1 <sup>st</sup> 2 <sup>nd</sup>	60	349	59.67%	88.83%
		349	593	29.16%	
11	1 <sup>st</sup> 2 <sup>nd</sup> 3 <sup>d</sup>	70	206	17.76%	
		206	356	39.10%	95.75%
		356	594	38.89%	
13	1 <sup>st</sup> 2 <sup>nd</sup> 3 <sup>d</sup>	60	198	18.95%	
		198	340	41.85%	93.07%
		340	594	32.27%	
15	1 <sup>st</sup> 2 <sup>nd</sup> 3 <sup>d</sup>	60	175	16.75%	
		175	322	37.01%	84.04%
		322	593	30.28%	



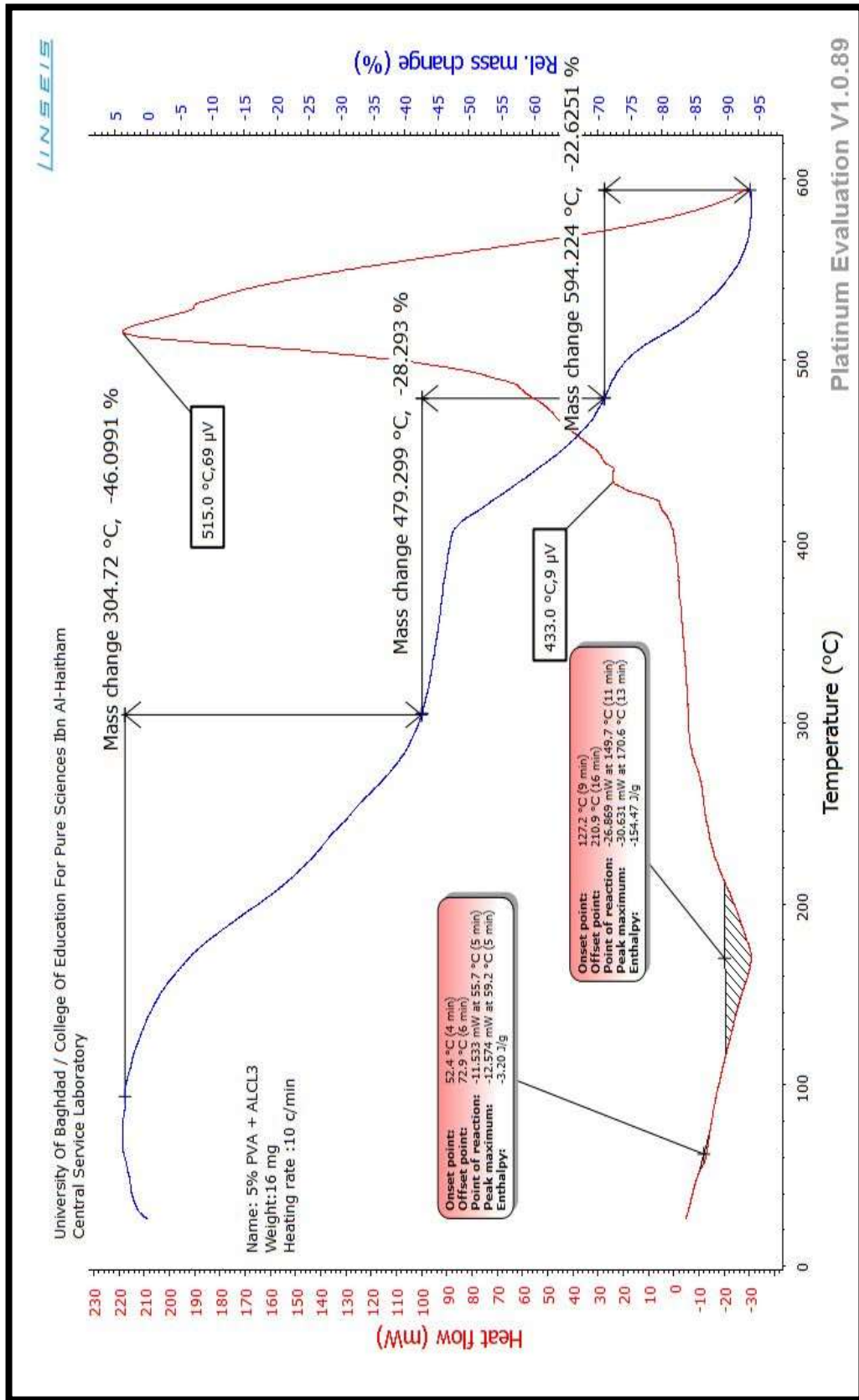
الشكل (34-4): مخطط (DSC) الحراري الوزني لغشاء (PVA) (النقي).



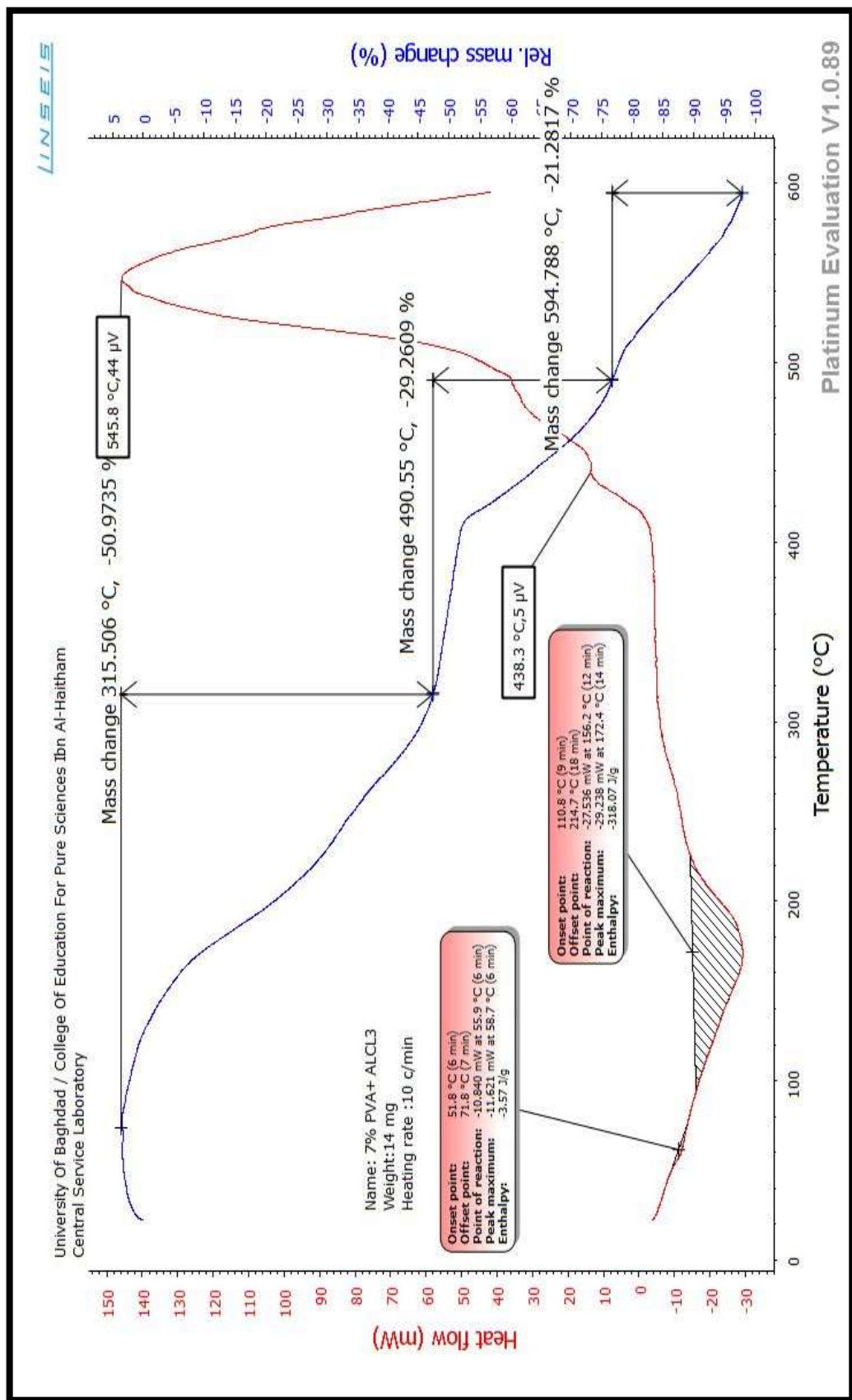
شكل (35-4): منطع (DSC) الحراري الوزني لشلاء (PVA) المدعى بنسبة وزنية (1wt%) من ملح (AlCl<sub>3</sub>). (A)



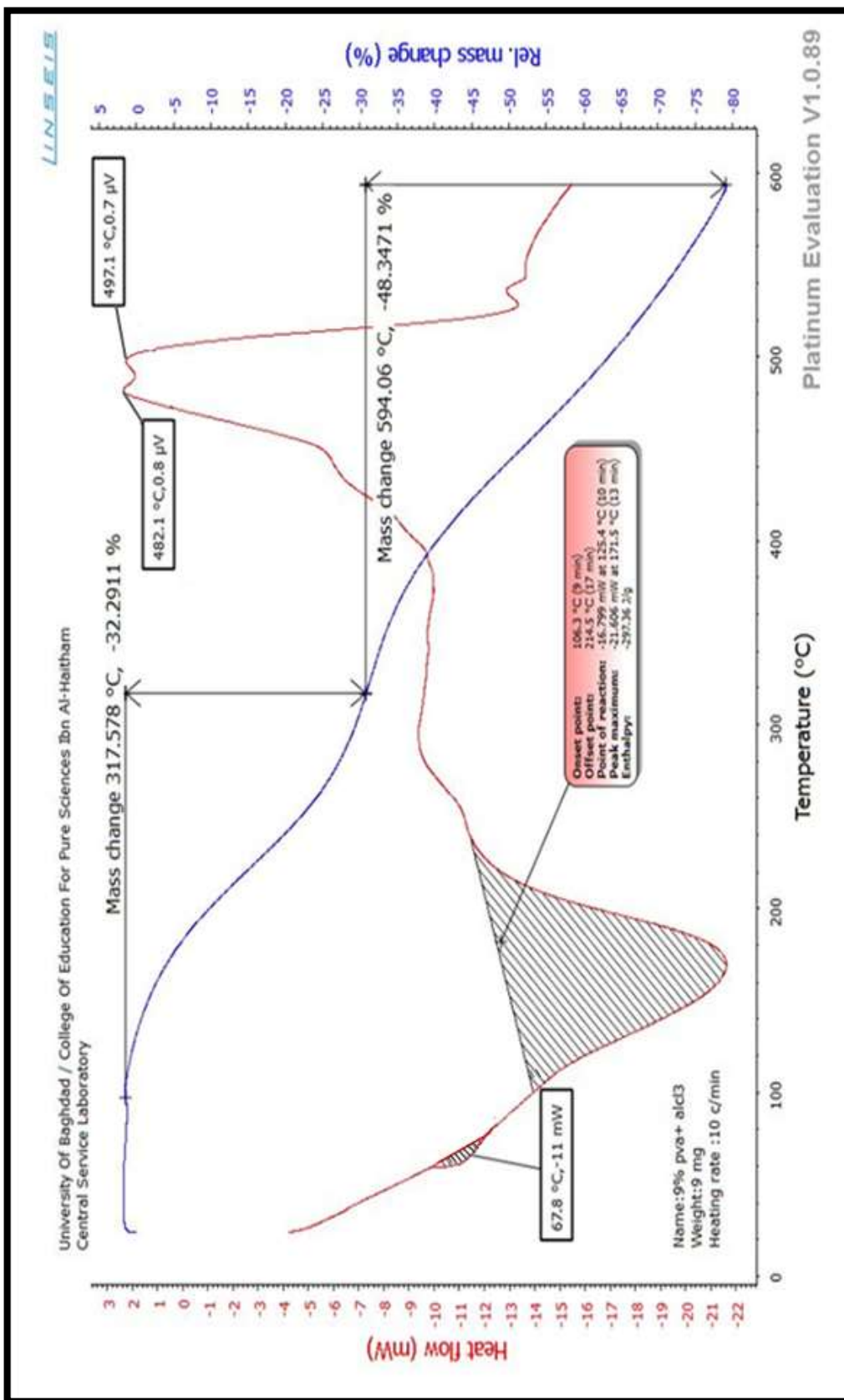
( الشكل (36-4): مخطط الحراري الوزني لغشاء (PVA) المدعوم بنسبة وزنية (3wt%) من ملح (AlCl<sub>3</sub>). )



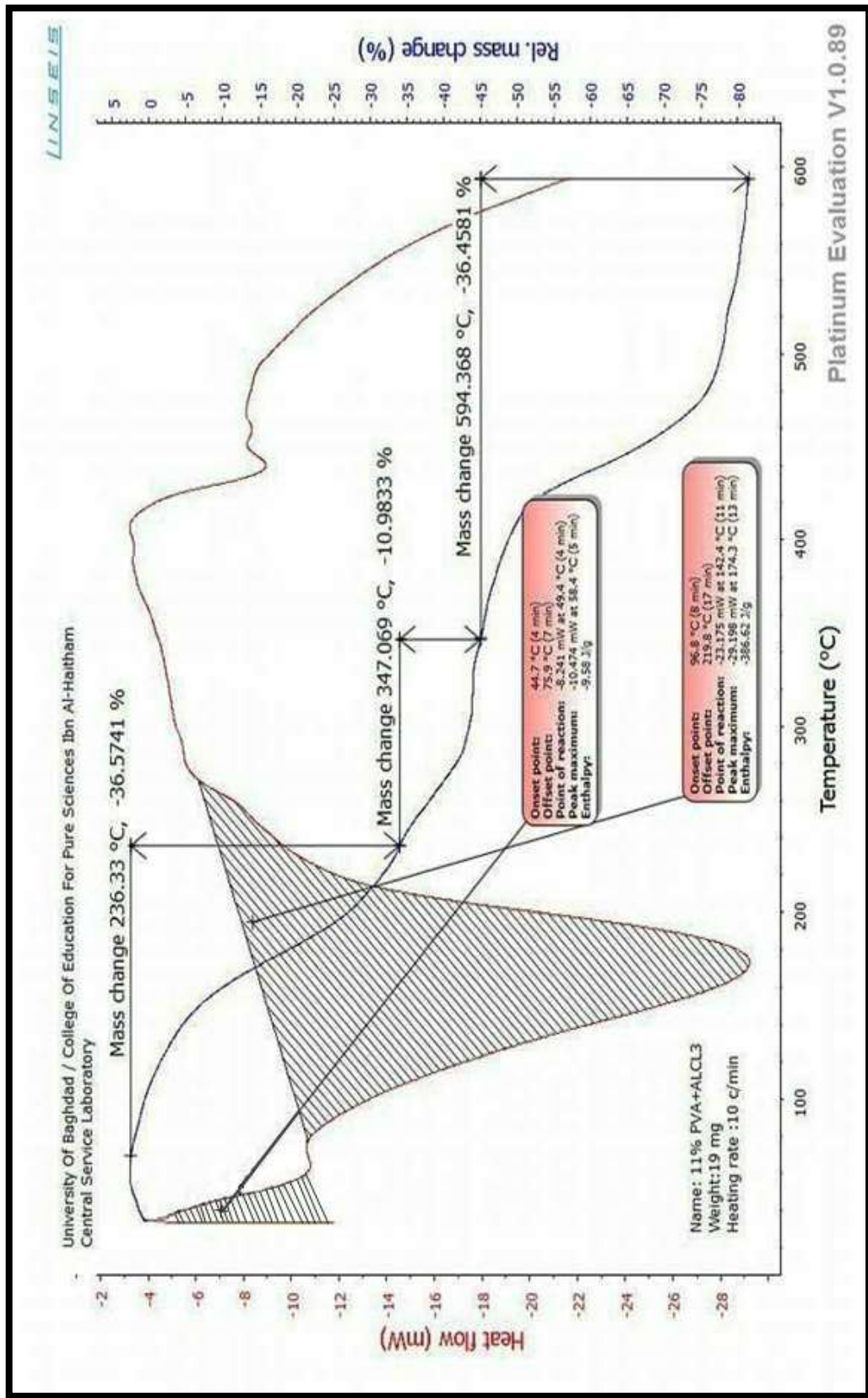
الشكل (37-4): مخطط (DSC) الحراري الوزني لغشاء (PVA) المدعى بنسبة وزنية (5wt%) من ملح (AlCl<sub>3</sub>).



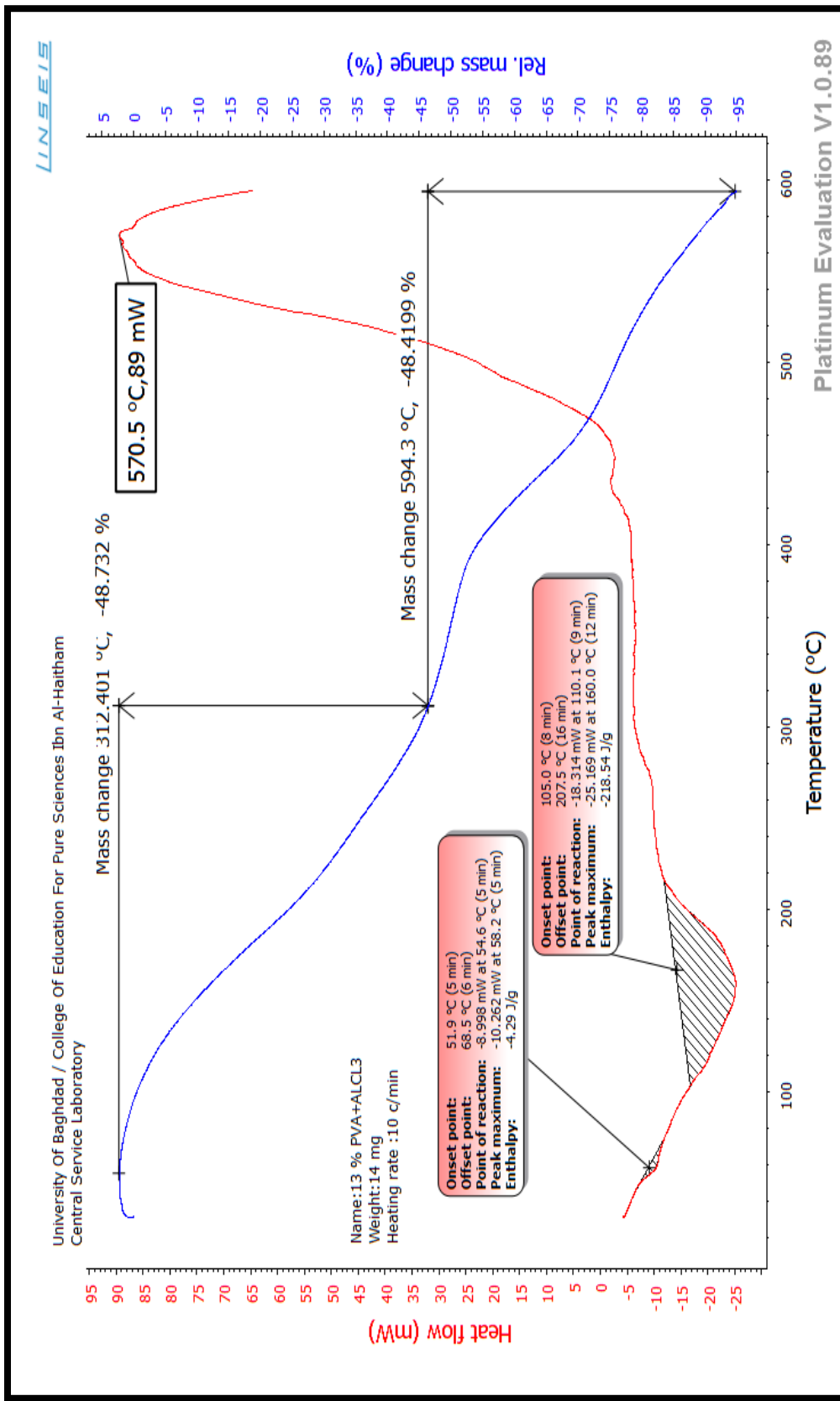
الشكل (38-4): مخطط (DSC) الحراري الوزني لغشاء (PVA) المدعى بنسبة وزنية (7wt%) من ملح (AlCl<sub>3</sub>)



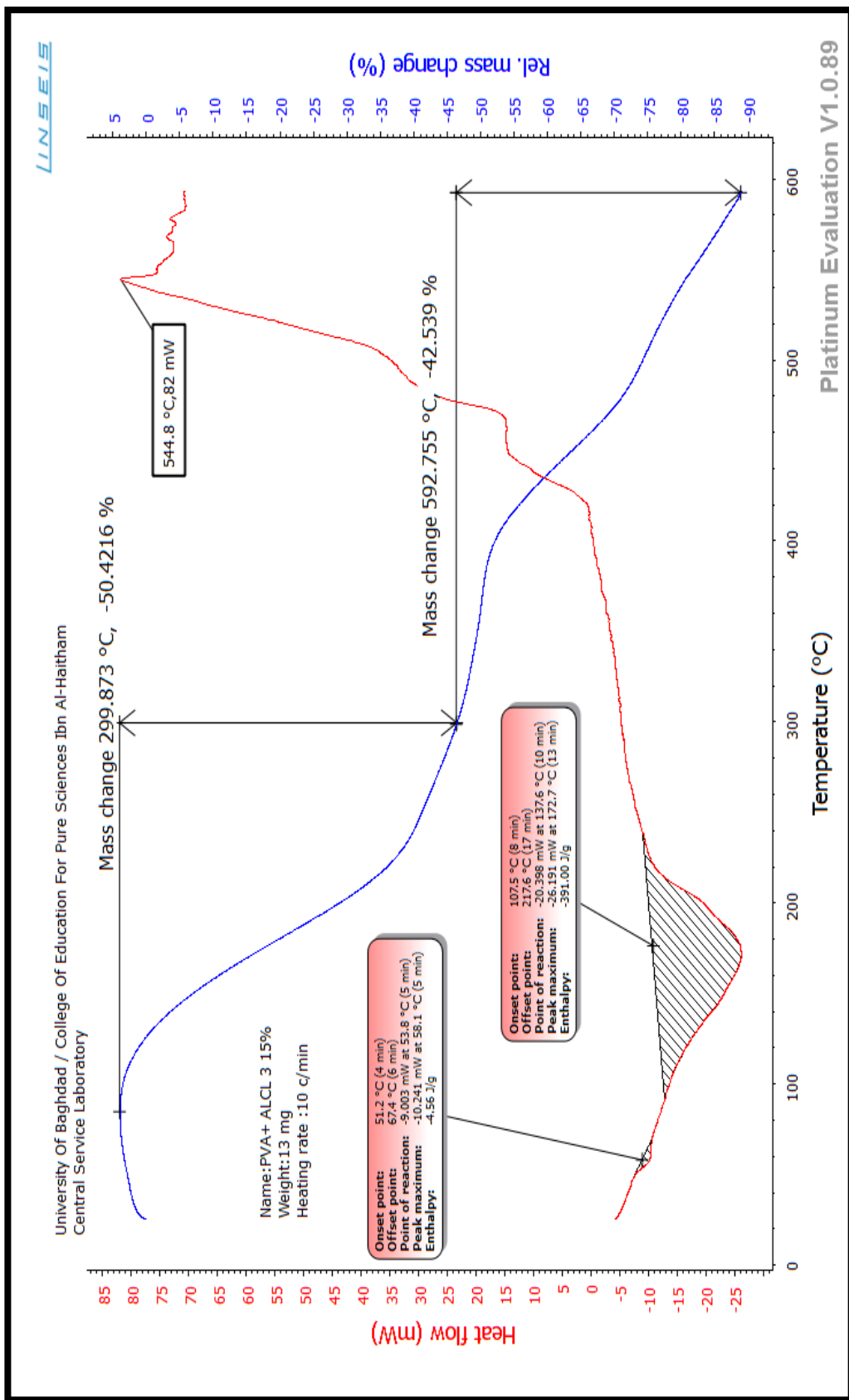
الشكل (39-4): مخطط (DSC) الحراري الوزني لغشاء (PVA) المدعى بنسبة وزينة (9wt%) من ملح  $(\text{AlCl}_3)$ .



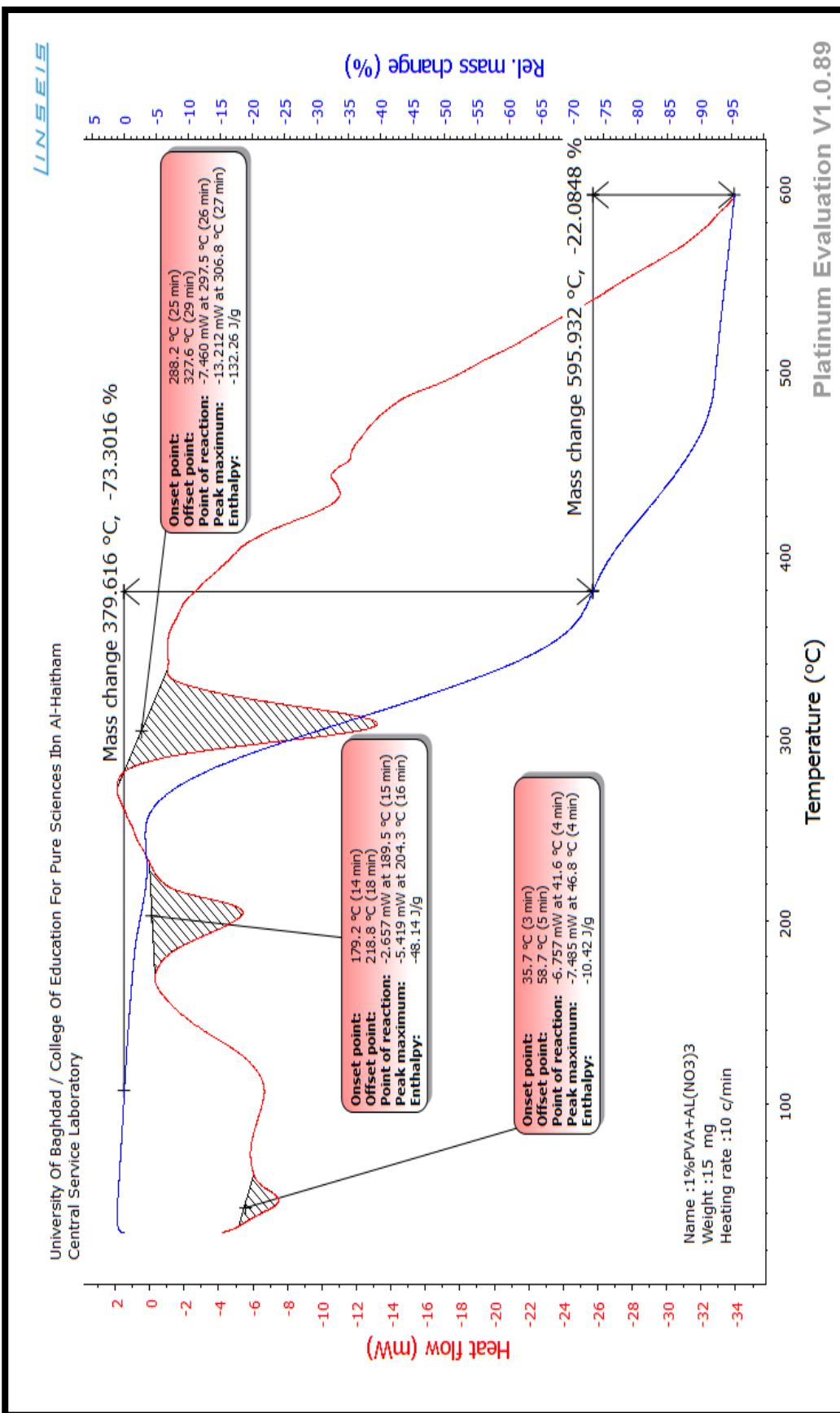
الشكل (40-4): مخطط الحراري الوزني لغشاء (PVA) المدعى بنسبة وزنية (11wt%) من ملح (AlCl<sub>3</sub>).



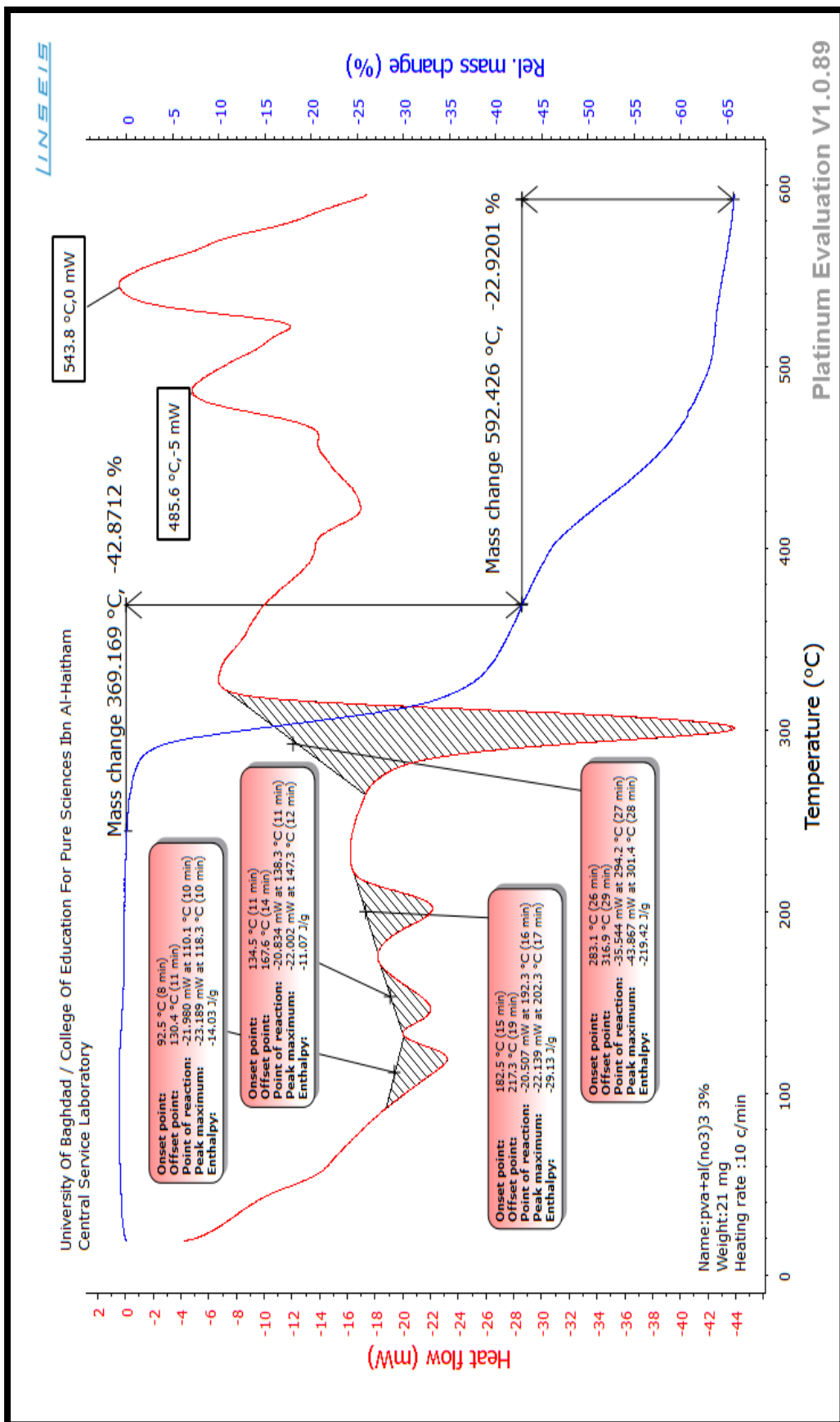
شكل (41-4): مخطط (DSC) الحراري الوزني لغشاء (PVA) المدعى بنسبة ورقية (13wt%) من ملح (AlCl<sub>3</sub>)



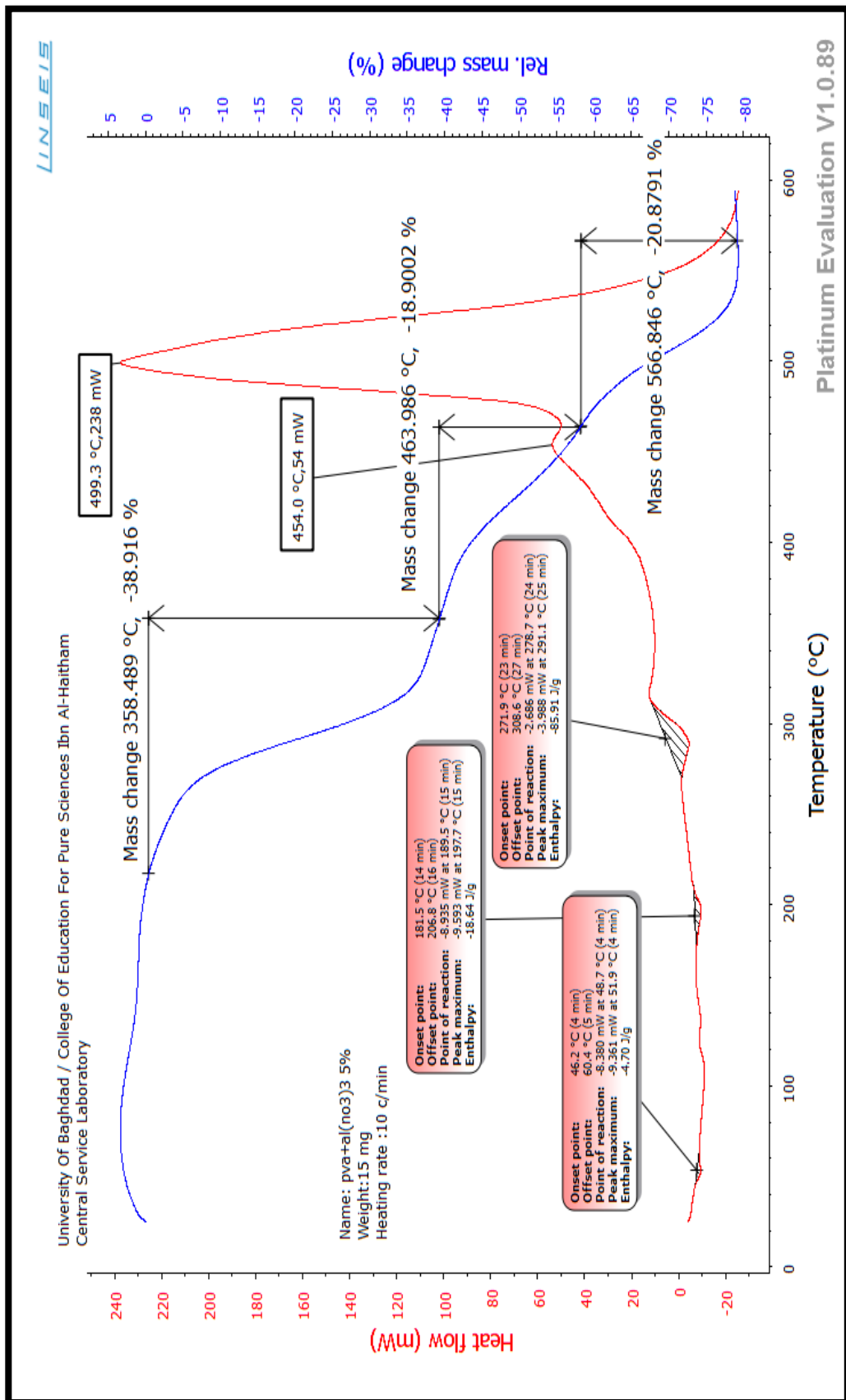
الشكل (42-4): مخطط (DSC) الحراري الوزني لغشاء (PVA) المدعى بنسبة وزنية (15wt%) من ملح (AlCl<sub>3</sub>).



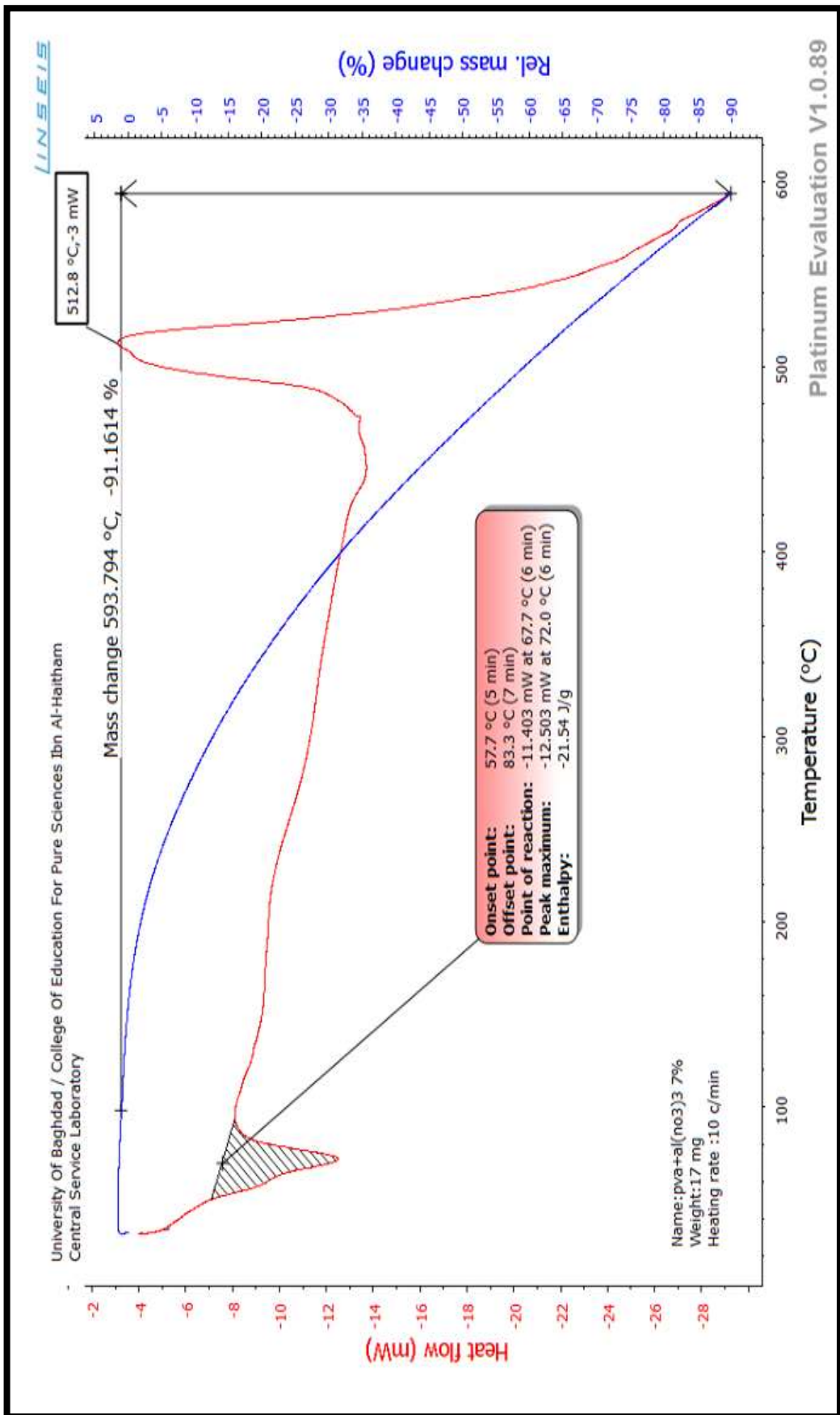
الشكل (43-4): مخطط (DSC) الحراري الوزني لغشاء (PVA) المدعى بنسبة وزنية (1wt%) من ملح (Al(NO<sub>3</sub>)<sub>3</sub>).



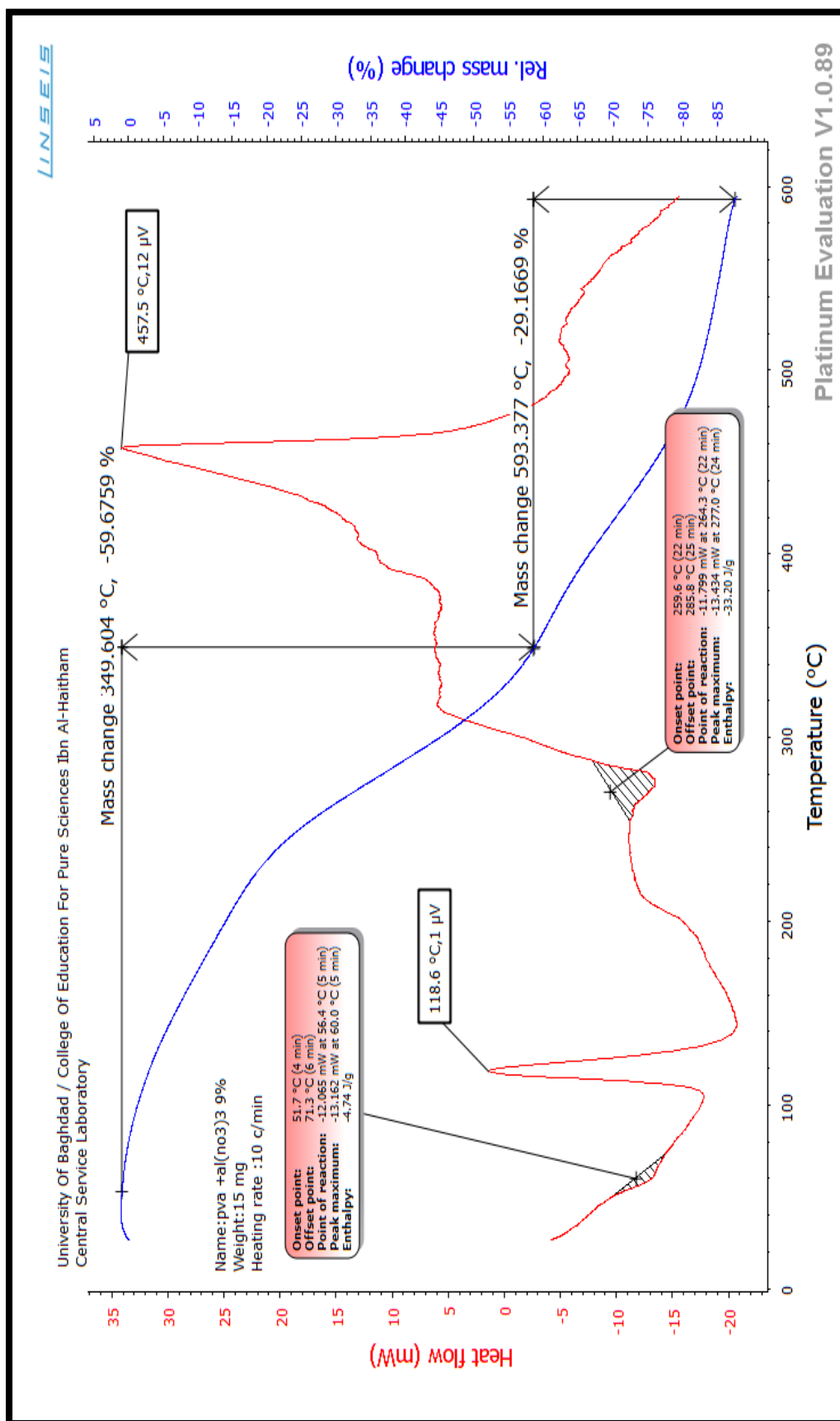
(الشكل (44-4)): مخطط (DSC) الحراري الوزني لغشاء (PVA) المدعى بنسبة وزنية (3wt%) من ملح (Al(NO<sub>3</sub>)<sub>3</sub>).



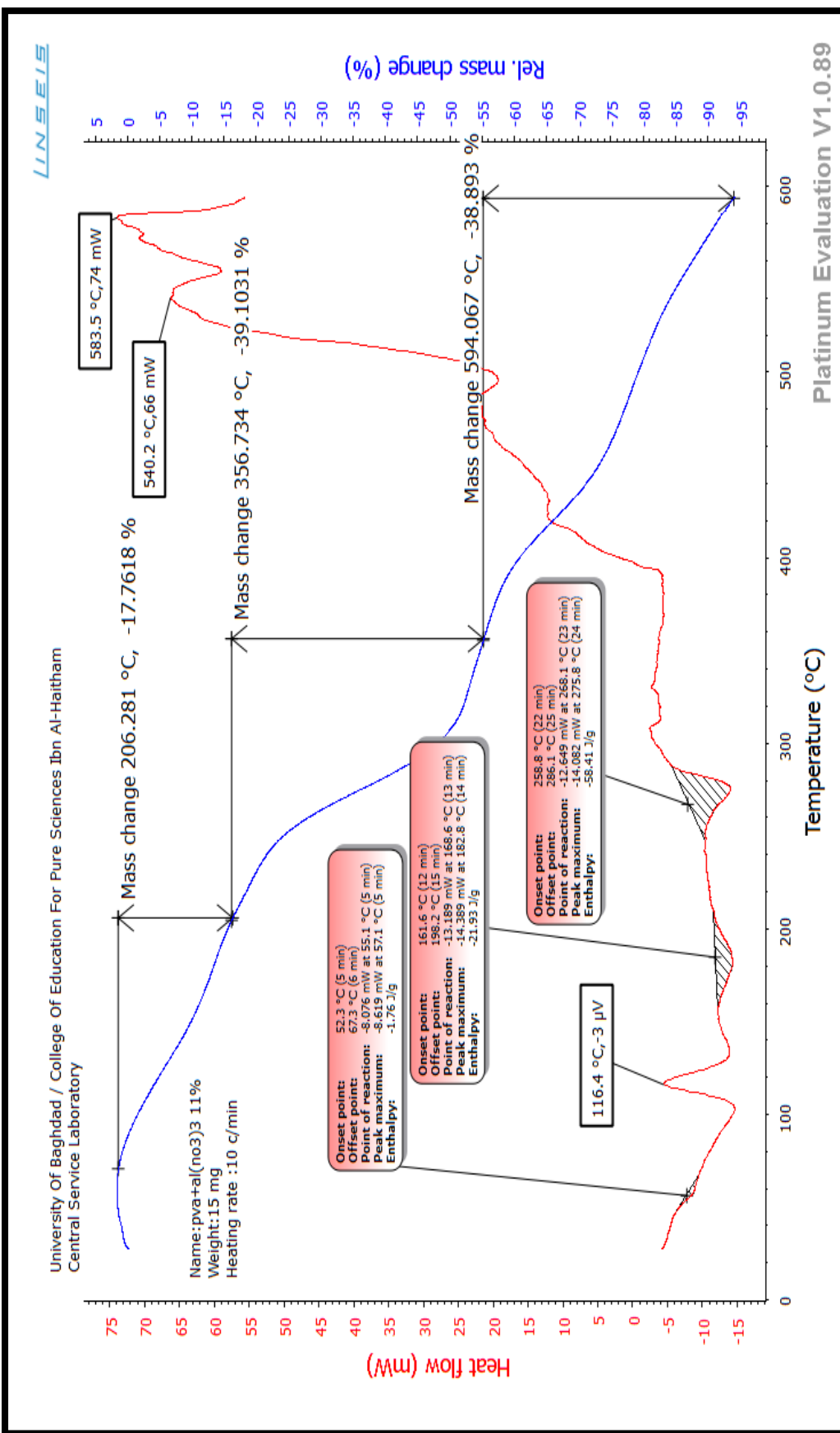
الشكل (45-4): مخطط (DSC) الحراري الوزني لغشاء (PVA) المدعى بنسبة وزنية (5wt%) من ملح (Al(NO<sub>3</sub>)<sub>3</sub>).



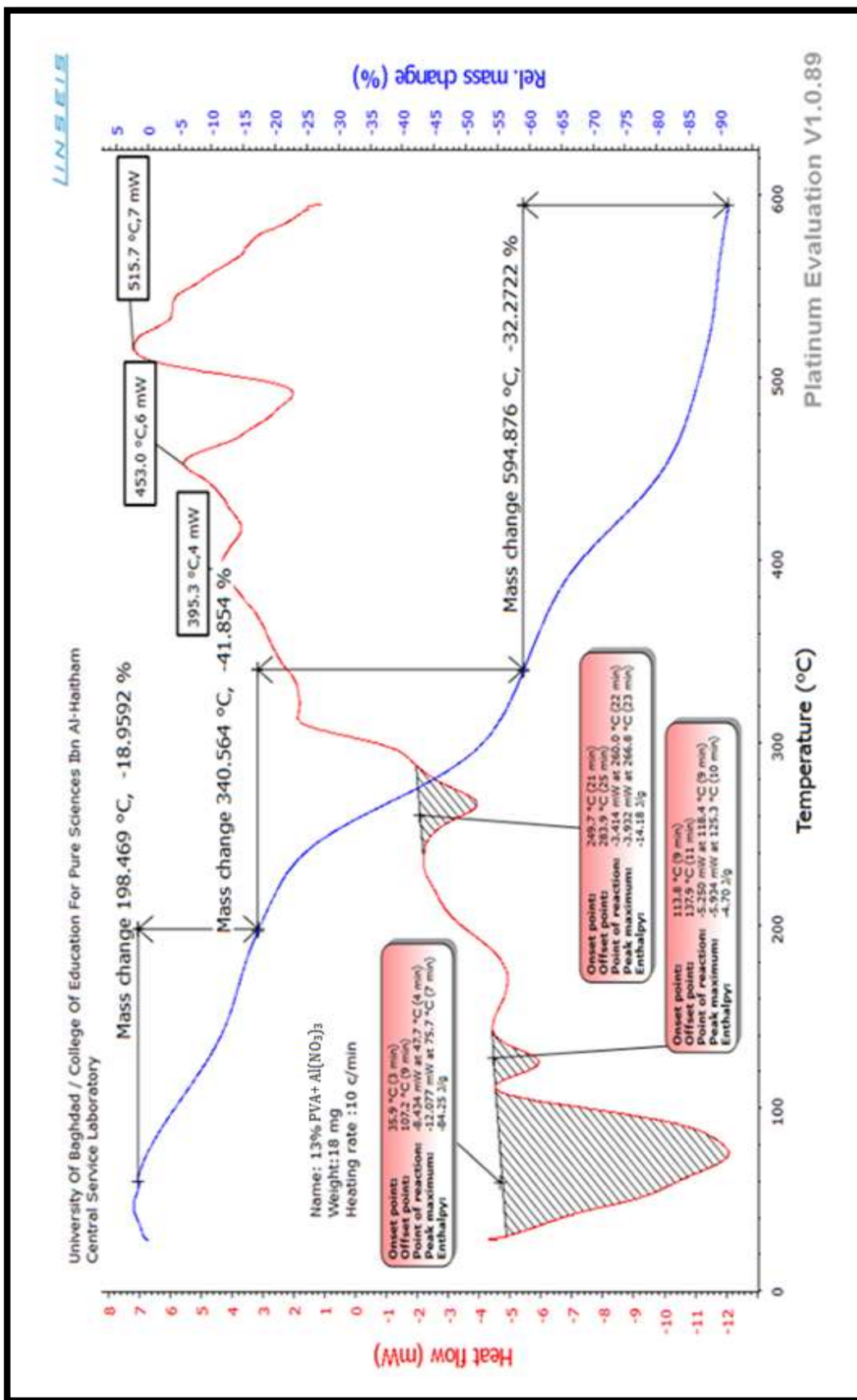
الشكل (46-4): مخطط (DSC) الحراري الوزني لغشاء (PVA) المدعى بنسبة وزنية (7wt%) من ملح  $(\text{Al}(\text{NO}_3)_3)$ .



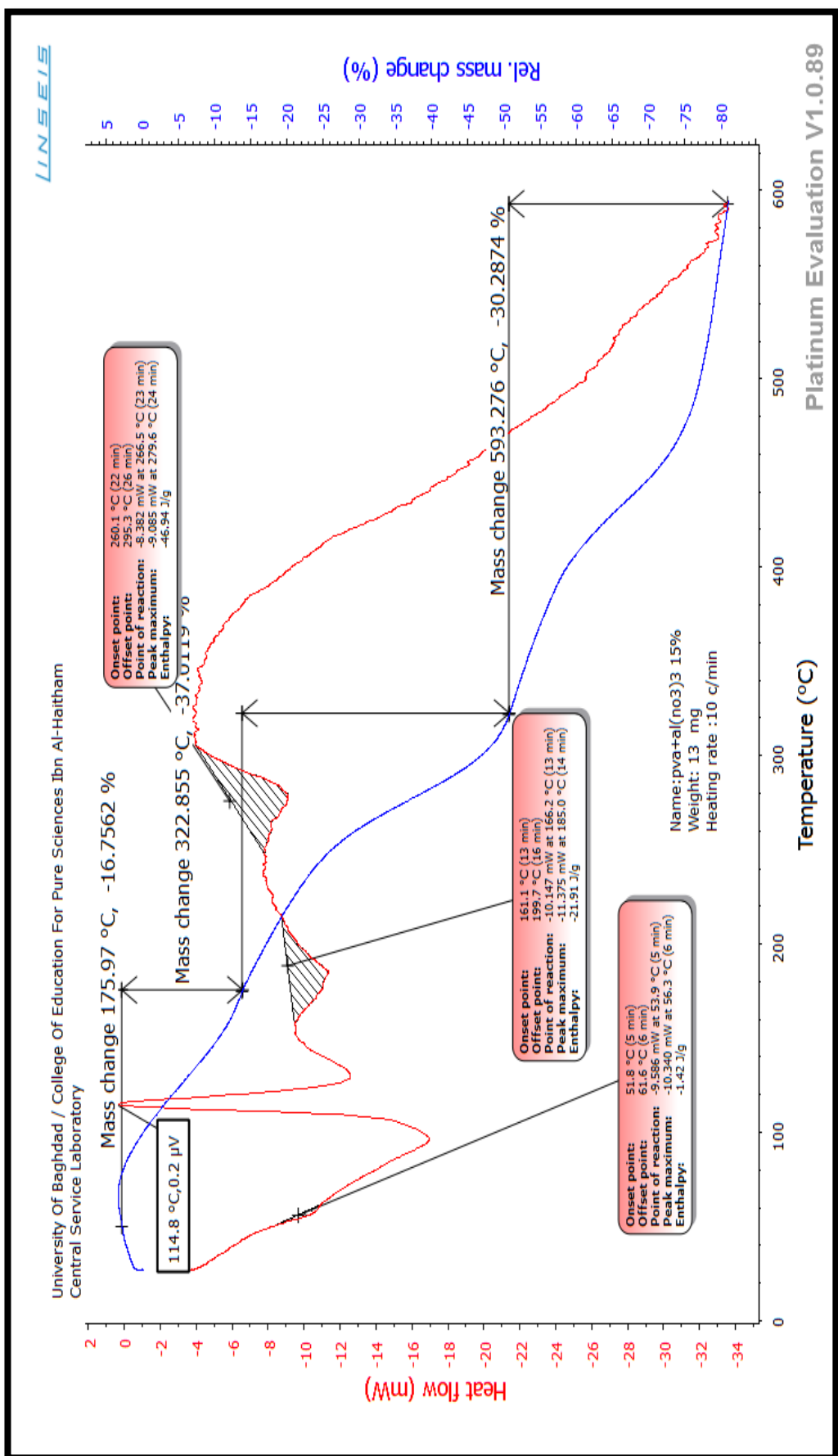
الشكل (47-4): مخطط (DSC) الحراري الوزني لغشاء (PVA) المدعى بنسبة وزنية (9wt%) من ملح  $\text{Al}(\text{NO}_3)_3$ .



الشكل (48-4): مخطط الحراري الوزني لغشاء (PVA) المدعى بنسبة وزنية (11wt%) من ملح  $(\text{Al}(\text{NO}_3)_3$ .



الشكل (49-4): مخطط (DSC) الحراري الوزني لغشاء (PVA) المدعى بنسبة وزنية من ملح ( $\text{Al}(\text{NO}_3)_3$ ) (13wt%).



الشكل (4): مخطط (DSC) الحراري الوزني لغشاء (PVA) المدعى بنسبة وزنية (Al(NO<sub>3</sub>)<sub>3</sub>) (15wt%) .

## الفصل الخامس

الاستنتاجات والمشاريع المستقبلية

## Conclusions

### 1-5) الاستنتاجات

بعد أجراء الدراسة حول التدعيم بأملاح الالمنيوم وتأثيرها على الخواص البصرية، (FTIR)، الميكانيكية والحرارية لغشاء (PVA) النقي، تم التوصل إلى أهم الاستنتاجات الخاصة بهذه الدراسة وهي:

#### 1- الخواص البصرية:

► أوضحت النتائج أن الامتصاصية ومعامل الامتصاص لأغشية المترابكات (PVA - أملاح الالمنيوم) يزدادان مع زيادة النسبة الوزنية لأملاح الالمنيوم المضافة.

► معامل الامتصاص لأغشية المترابكات (PVA - أملاح الالمنيوم) بنسب وزنية مختلفة من أملاح الالمنيوم وجد أنه أقل من ( $10^4 \text{ cm}^{-1}$ ) وهذا يعني أن الانتحال الإلكتروني هو غير مباشر.

► فجوة الطاقة للانتحال الإلكتروني غير المباشر المسموح لأغشية المترابكات (PVA - أملاح الالمنيوم) قلت مع زيادة النسبة الوزنية لأملاح الالمنيوم المضافة، حيث وجد أن جميع قيم فجوة الطاقة للانتحال غير المباشر المسموح لأغشية المترابك ( $\text{PVA-Al(No}_3)_3$ ) بنسب وزنية مختلفة من ملح ( $\text{Al(No}_3)_3$ ) هي أصغر من جميع قيم فجوة الطاقة للانتحال غير المباشر المسموح لأغشية المترابك ( $\text{PVA-AlCl}_3$ ) بنسب وزنية مختلفة من ملح ( $\text{AlCl}_3$ ). بينما كان سلوك طاقة أورباخ معاكساً لسلوك فجوة الطاقة حيث تزداد طاقة أورباخ مع زيادة النسبة الوزنية لأملاح الالمنيوم المضافة، وأن معامل الانكسار، معامل الخمود والجزء الحقيقي والخيالي لثابت العزل البصري تزداد جميعها مع زيادة النسبة الوزنية لأملاح الالمنيوم المضافة.

2- أظهرت فحوصات (FTIR) لغشاء (PVA) النقي بعد التدعيم بنسب وزنية مختلفة من أملاح الالمنيوم أن العدد الموجي لحزمة الامتصاص لمجموعة الهيدروكسيل (-OH) لـ (PVA) ينحرف نحو قيمة أعلى وذلك عند التدعيم بملح ( $\text{AlCl}_3$ ) بكافة نسبة الوزنية، وأما عند أغلب نسب التدعيم بملح ( $\text{Al(No}_3)_3$ ) فإن العدد الموجي لمجموعة الهيدروكسيل (-OH) لـ (PVA) ينحرف نحو قيمة أوسطاً، وكذلك ظهور حزمة تعود لأصارة التمدد (C-H) اللامتماثلة لغشاء (PVA) النقي والتي تتحرف نحو الأعداد الموجية العالية عند التدعيم بملح (AlCl<sub>3</sub>) بنسبة وزنية (15 wt%) وبملح ( $\text{Al(No}_3)_3$ ) بنسبة وزنية (11 wt%). وكذلك

أظهرت فحوصات (FTIR) لغشاء (PVA) النقي بعد التدعيم بنسب وزنية مختلفة من أملاح الالمنيوم أن العدد الموجي للأصربتين ( $C=O$ ) و ( $C=C$ ) ينحرف نحو قيم أوطأ، فضلاً عن تأثر نوعي أصربة ( $-CH_2-$ ) (تغير العدد الموجي لهما) بعملية التدعيم بأملاح الالمنيوم.

### 3- الخواص الميكانيكية:

- زيادة الصلادة لاغشية المترابكت (PVA - أملاح الالمنيوم) مع زيادة النسبة الوزنية لأملاح الالمنيوم المضافة، حيث وجد أن جميع قيم الصلادة لاغشية المترابكت ( $PVA-AlCl_3$ ) بنسبة وزنية مختلفة من ملح ( $AlCl_3$ ) هي أكبر من جميع قيم الصلادة لاغشية المترابكت ( $PVA-Al(NO_3)_3$ ) بنسبة وزنية مختلفة من ملح ( $Al(NO_3)_3$ ).
- أظهرت نتائج اختبار الشد لاغشية المترابكت (PVA - أملاح الالمنيوم) بنسبة وزنية مختلفة من أملاح الالمنيوم قياماً غير منتظمة (نقصاناً بالقيم عند أغلب النسب الوزنية للتدعيم بأملاح الالمنيوم) لكلاً من متانة الشد، الاستطالة حد الكسر ومعامل يونك بالمقارنة مع غشاء (PVA) النقي.

### 4- الخواص الحرارية:

- أن التوصيلية الحرارية لاغشية المترابكت (PVA - أملاح الالمنيوم) تبدأ بالنقسان بصورة غير منتظمة مع زيادة النسبة الوزنية لأملاح الالمنيوم المضافة.
- أظهر الفحص بجهاز المسعر الحراري التبايني (DSC) لاغشية (PVA) النقي والمدعمة بأملاح الالمنيوم بنسبة وزنية مختلفة بأن:
- درجة الانتقال الزجاجي لغشاء (PVA) النقي تبدأ بالزيادة بشكل غير منتظم عند التدعيم بملح ( $AlCl_3$ ) بكافة نسبة الوزنية ماعدا النسبة الوزنية (11wt%) فنلاحظ عندها اختفاء درجة الانتقال الزجاجي، وأما عند التدعيم بملح ( $Al(NO_3)_3$ ) فإن سلوك درجة الانتقال الزجاجي يكون غير منتظم بالمقارنة مع غشاء (PVA) النقي.
- درجة الانصهار البلورية لغشاء (PVA) النقي تبدأ بالزيادة بشكل غير منتظم عند التدعيم بملح ( $AlCl_3$ ) بكافة نسبة الوزنية، وأما عند التدعيم بملح ( $Al(NO_3)_3$ ) فنلاحظ اختفاء درجة الانصهار البلورية عند النسبة الوزنية (7wt%)، وتزداد وتقل درجة الانصهار البلورية عند النسب الوزنية الأخرى بالمقارنة مع غشاء (PVA) النقي.
- أظهرت منحنيات (TGA) أن غشاء (PVA) النقي يمر بمرحلتين لعملية التحلل الحراري وبفقد كلي في الوزن مقداره (100%)، وعند التدعيم بأملاح الالمنيوم أظهرت جميع

النسبة الوزنية لكلا الملحين فقد كلي في الوزن أقل بالمقارنة مع غشاء (PVA) النقي ماعدا النسبة الوزنية (7wt%) لملح ( $\text{AlCl}_3$ )، وكذلك أظهرت النسبة الوزنية (Al( $\text{NO}_3$ )<sub>3</sub>) مرحلتين تحل حراري لعملية الفقد في الوزن، بينما أظهرت النسبة الوزنية (Al( $\text{NO}_3$ )<sub>3</sub>) مراحل تحل حراري لعملية الفقد في الوزن.

## Future Recommendations

### 2-5) المشاريع المستقبلية

- 1- دراسة تأثير أشعة كاما على الخواص البصرية والحرارية لأغشية المترابكبات (PVA) - أملاح الالمنيوم) بنسب وزنية مختلفة من أملاح الالمنيوم.
- 2- دراسة الخواص التركيبية لأغشية المترابكبات (PVA - أملاح الالمنيوم) بنسب وزنية مختلفة من أملاح الالمنيوم.
- 3- دراسة الخواص الميكانيكية الأخرى ك (الصدمة، الانضغاطية والانحناء) لأغشية المترابكبات (PVA - أملاح الالمنيوم) بنسب وزنية مختلفة من أملاح الالمنيوم.
- 4- دراسة الخواص الكهربائية لأغشية المترابكبات (PVA - أملاح الالمنيوم) بنسب وزنية مختلفة من أملاح الالمنيوم.

المصادر

## References

- [1] K. J. Pascoe, "An Introduction to the Properties of Engineering Materials", Published by Van Nostr and Reinhold (U.K) CO. Ltd. 3<sup>rd</sup> Ed., (1978).
- [2] W. D. Callister and G. David, "Material Science and Engineering , An Introduction", 9<sup>th</sup> Ed., John wiley and Sons Inc, (2014).
- [3] R. F. Gibson, "Principles of Composites Material Mechanics", Mc. Graw Hill, Inc, New York, (1994).
- [4] J. W. Weeton, M. P. Dean and L.T. Karyn, "Engineering's Guide to Composite Material", Published by American Society for Metals, U.S.A., (1987).
- [5] R. P. Sheldon, "Composite Polymeric Material", School of Materials Science Publishing, London, (1982).
- [6] M. M. Schwartz, "Composite Materials Hand Book", Mc Graw Hill Company, New York, (1984).
- [7] P. A. Thernton and V. J. Colangelo, "Fundamentals of Engineering Materials", Prentice - Hall, Inc, (1985).
- [8] D. Hull, "An Introduction to Composite Materials", 1<sup>st</sup> Ed., Camberidge University Press, U.K., (1981).
- [9] R. J. C. Ford, "Plastics Engineering", 2<sup>nd</sup> Ed., Pergamon Press, U.K., (1987).
- [10] R. Beura, "Synthesis and Characterization of Polymer-Ferroelectric Composite Department", Physics National Institute of Technology Rourkela -769008, May (2012).

- [11] S. Panboon, "Electro Spinning of Polyvinyl alcohol/Chitosan Fibers for Wound Dressing Application", M.Sc. Thesis, Graduate College/Department of Industrial Chemistry, Graduate College, (2005) .
- [12] J. Tao, "Effect of Molecular Weight and Solution Concentrationon Electrospinning of PVA", Worcester Polytechnic Institute Mechanical Engineering Department Head, (2003).
- [13] J. G. Morely, "High Performance of Fiber Composites", University of Nettingham, U.K., (1987).
- [14] J. E. Hatch, "Aluminum Properties and Physical Metallurgy", April ( 2005).
- [15] رولا عبد الخضر عباس، " دراسة التأثير الحراري على الخواص الميكانيكية لمتراتب هجيني" مجلة جامعة النهرين – العلوم، المجلد 5 ، ص 11-23، (2007).
- [16] R.B. Seymour, "Polymeric Composites", Alden Press, London (1990).
- [17] رغد حسين محمد الجنابي، "دراسة تأثير ظروف التجوية (الأشعاع والمحاليل الكيميائية) على بعض خصائص متراتبات الايبوكسي" ، رسالة ماجستير، قسم العلوم التطبيقية، الجامعة التكنولوجية، (2004).
- [18] B. Cantor, F. P. E. Dunne and I. C. Stone, "Metal and Ceramic Matrix Composites", Taylor and Francis Group, (2003).
- [19] آنا آ. تاكر، ترجمة د. اكرم عزيز محمد، "الكيمياء الفيزيائية للبوليمرات" ، جامعة الموصل، مطبع جامعة الموصل، (1984).

- [20] M. J. Tan and X. J. Li, "Processing Metal-Matrix Composites for Super Plastic Properties", Materials Science Forum, Vol. 437- 438, pp. 165-168, (2003).
- [21] A. Berlin and S. Volfson, "Principle of Polymer Composites", Springer- Overflag, New york, (1986).
- [22] M. P. Groover, "Fundamentals of Modern Manufacturing", prentice - Hall, Upper Saddle River, New Jersey, (1996).
- [23] P. Ghosh, "Polymer Science and Technology of Plastics and Rubbers", Tata Mc Graw- Hill, New Delhi, (1990).
- [24] P. M. Jean, Z. Gérald and W. Kurz , "Introduction to Materials Science", Ch15 Polymer Structures, University of Tennessee, Dept. of Materials Science and Engineering, Elsevier, (2002).
- [25] G. A. Al.Adam and H. A. K. Al-kita'a, "Technology and Polymer Chemistry", University of Basra, College of Science, (1983).
- [26] صالح هيثم رزوقى، "دراسة خواص المواد البوليميرية المقواة بدقايق الالمنيوم"، رساله الماجستير، قسم هندسة الانتاج والمعدات، الجامعة التكنولوجية، (2002).
- [27] J. R. Fried, "Polymer Science and Technology", Prentice Hall, Inc, Upper Saddle Rivers, Newjerscy, (2003).
- [28] A. N. Krkljes, M. T. Marinovic-Cineovic, Z. M. Kacarevic – Popovie and J. M. Nedeljkovic, "Dynamic Thermogravimetric Degradation of Gamma Radiolytically Synthesized Ag-PVA Nanocomposites", Thermochimica Acta, Vol. 460, pp. 28-34, (2007).

**References**

- [29] N. S. Labidi and A. Djebaili, "Studies of the Mechanism of Polyvinyl Alcohol Adsorption on the Calcite/Water Interface in the Presence of Sodium Oleate", Journal of Minerals & Materials Characterization & Engineering, Vol. 7, No. 2, pp. 147-161, (2008).
- [30] A. H. Alwash, "Studing of the Optical Porperties of Polyvinyl Alcohol Films Using Aluminum Sulphate as Additive by Measuring Allowed Direct transition Energy Gap", Bagdad Science Journal, Vol. 7, No. 4, pp. 103-109, (2010).
- [31] G. Nasar, M. S. Khan and U. Khalil, "A study on Structural, Mechanical and Thermal properties of Polymer Composites of Polyvinyl Alcohol with Inorganic Material", Mocromol Symp, ,Vol. 298, pp. 124-129, (2010).
- [32] N. X. Chen and J. Zhang, "The Role of Hydrogen Bonding Interaction in (Polyvinyl Alcohol / Poly Acrylic Acia) Blending Solutions and Their Films", Chinese Journal of Polymer Science, Vol. 28, No. 6, pp. 903-911, (2010).
- [33] O. G. Abdullah and S. A. Hussen, "Evolution of the Optical Properties of PVA Films Filled with Sodium Iodide", Tikrit Journal of Pure Science, Vol. 16, No. 4, pp. 195-200, (2011).
- [34] B. H. Rabee, M. A. Habeeb, A. Hashim and R. Mizher, "Preparation of (PVA-AlCl<sub>3</sub>.6H<sub>2</sub>O) Composites and Study Optical Properties", American Journal of Scientific Research, No. 71, pp. 5-8, (2012).

## References

- [35] P. Chopra, S. Garg and A. K. Jana, "Study on the Performance of Starch/PVA Blend Films Modified With SiO<sub>2</sub> Nanoparticles", International Journal of Research in Mechanical Engineering & Technology, Vol. 3, No. 2, pp. 36-40, (2013).
- [36] M. Sirait, S. Gea, Motian and E. Marlianto, "Effect of Mixed nanoparticale ZnS and Polyvinyl Alcohol (PVA) Against Nanocomposite Mechanical Porperties of PVA/ZnS", American Journal of physical Chemistry, Vol. 3, No. 1, pp. 5-8, (2014).
- [37] J. Puyou, B. Cai-Ying, H. Li-hong and Z. Yong-hong , "Properties of Polyvinyl Alcohol Plasticized by Glycerin", Journal of Forest products & Industries, Vol. 3, No. 3, pp. 151-153, (2014).
- [38] Y. Luo, X. Jiang, W. Zhang and X. Li, "Effect of Aluminium Nitrate Hydrate on the Crystalline, Thermal and Mechanical Porperties of Polyvinyl Alcohol Film", Polymers & Polymer Composites, Vol. 23, No. 8, pp. 555-562, (2015).
- [39] C. Ravindra, M. Sarswati, G. Sukanya, P. Shivalila, Y. Soumya and K. Deepak, "Tensile and Thermal Properties of Polyvinyl Alcohol/Vanillin Incorporated Polyvinyl Alcohol Films", Research Journal of Physical Sciences, Vol. 3, No.8, pp. 1- 6, October (2015).
- [40] N. J. Hameed and H. S. Gazi, "Studying the Effect of Silica (SiO<sub>2</sub>) Addition on the Adhesive Properties of Polyvinyl Alcohol", Iraqi Journal of physics, Vol. 14, No. 29, pp. 107-124, (2016).

**References**

- [41] J. Puyou, Z. Meng, H. Lihong and Z. Yong-hong, "The Plasticizing Mechanism and Effect of Aluminium Chloride and Alycerin on Polyvinyl Alcohol Films", Iran J. Chem. Eng., Vol. 35, No. 2, pp. 129-135, (2016).
- [42] S. A. Salman, A. A. Kamil and M. A. R. Iesa, " Preparation and Study of Some Optical Properties of (PVA-FeCl<sub>3</sub>) Composites Films", Journal of Chemical, Biological and Physical Sciences, Vol. 6, No. 4, pp. 1270-1280, (2016).
- [43] N. M. Jalal, Z. A. Ali, S. A. Allami, S. M. Hassan and M. R. Ali, "Effect of lithium Chloride Addition on the Electrical Conductivity of Polyvinyl Alcohol Films", American Journal of Engineering Research (AJER), Vol. (6), pp. 337-343, (2017).
- [44] T. Cheng-an, Z. Hao, W. Fang, Z. Hui, Z. Xiaorong and W. Jianfang, "Mechanical Properties of Graghene Oxide/Polyvinyl Alcohol Composite Film", Polymers & Polymer Composites, Vol. 25, No. 1, pp. 11-16, (2017).
- [45] M. K. Jayaraj, A. Antony and M. Ramachandran, "Transparent Conducting Zinc Oxide Thin Film Prepared by off-axis Rf Magnetron Sputtering", Bull. Mater. Sci., Vol. 25, No. 3, pp. 227-230, (2002).
- [46] J. Singh, "Semiconductors Devices", Basic Principles, John Wiley and Sons, Engineering and Materials, (2002).
- [47] C. M. Wolf, N. Holouyak and G. B. Stillman, "Physical Properties of Semiconductor", Prentice Hall, New York, (1989).

**References**

- [48] G. S. Y. Kumar, H. S. B. Naik, A. S. Roy, K. N. Harish and R. Viswanath, "Synthesis Optical and Electrical Properties of ZnFe<sub>2</sub>O<sub>4</sub> Nanocomposites", *Nanomater–Nanotechnol*, Vol. 2, Art. 19, pp. 192-199, (2012).
- [49] I. H. Khdayer, "Fabrication and Studying the Photoconducting Characteristics of in sb Junction with Silicon as Asingle Crystal Semiconductor", ph. D Thesis, Baghdad University, (2005).
- [50] O. Stenz-el, "The Physics of Thin Film Optical Spectra", An Introduction, Winzerlaerstr, 10, 07745, (2005).
- [51] B. L. Theraja, "Modern Physics", S. Chandand Company (PVY), New Delhi, (1987).
- [52] A. Wilson, "X- Ray Optics", London, Methnen and Coltd New York, John Wiley and Sons. Inc, (1962).
- [53] A. D. Buba and J. S. Adelabu, "Optical and Electrical Properties of Chemically Deposited ZnO Thin Films", *The Pacific Journal of Science and Technology*, Vol. 11, pp. 429-343, (2010).
- [54] J. C. Pippek, "Semiconductor Optoelectronic Devices", University of California, (2006).
- [55] R. H. French, H. Mullejans and D. J. Jones, "Optical Properties of Aluminuim Oxide: Determined from Vacum Ultraviolet and Electron Energy–Loss Spectroscopies", *Journal of the Americcan Ceramic Society*, Vol. 81, No. 10, pp. 2549-2557, (1998).
- [56] جعفر صادق محمد علي، "دراسة الخصائص التركيبية والبصرية لأغشية كبريتيد الكادميوم النانوية غير المشوبة والمشوبة بالألمنيوم"، رسالة ماجستير، كلية التربية - الجامعة المستنصرية، (2012).

## References

- [57] K. L. Chopra and I. Kaur, "Thin Films Device Application", Plenum Press, New York, (1983).
- [58] L. Echcrtova, "Physics of Thin Films", Plenum Press, New York and London, (1977).
- [59] يحيى نوري الجمال، "فيزياء الحالة الصلبة"، مطبعة جامعة الموصل، (1990).
- [60] I. C. Ndukwe, "Solution Growth Characterization and Applications of Zinc Sulphide Thin Films", Solar Energy Materials and Solar Cells, Vol. 40, pp. 123-131, (1996).
- [61] J. I. Pankove, "Optical Processes Semiconductors", prentice – Hall, Englewood Cliffs, New Jersey, (1971).
- [62] N. F. Mott and E. A. Davis, "Electronic Processes in Non – Crystalline Materials", 2<sup>nd</sup> Ed., Clarendon Press, (1979).
- [63] مؤيد جبرائيل يوسف، "فيزياء الحالة الصلبة"، مطبعة جامعة بغداد، الجزء 2، (1989).
- [64] مارتن أ. كرين، ترجمة د. يوسف مولود، "الخلايا الشمسية"، مطبعة جامعة الموصل، (1989).
- [65] S. Shanthi, C. Subramanian and P. R amasamy, "Investigation on the Optical Properties Undoped Flourine Doped and Antimony Doped Tin Oxide Films", Cryst. Res. Technol. Vol. 34, pp. 1037-1046, (1999).
- [66] C. A. Hogarth and M. Y. Nadeem, "The Optical Absorption Edge in State Amorphous Thin Films of Germania and Germania with Barium Oxide", Physics Solid State, Vol. 68, pp. 181-184, (1981).

## References

- [67] S. M. Sze, "Semiconductors Devices", John Wiley and Sons, Ins, (2002).
- [68] X. Zhan, S. Ma, F. L. F. Yang, J. Liu and Q. Zhao, "Effect of Substrate Temperature on the Growth Orientation and Optical Properties of ZnO:Fe Films Synthesized Via Magnetron Sputtering", Journal of Alloys and Compounds, Vol. 574, pp. 149-154, (2013).
- [69] George and C. K. V. Kumari, "Transparent Conductive Films of Thin Oxide Preparation and Properties", Solid State Communication, Vol. 46, pp. 541-546, (2002).
- [70] A. Nilens, "Deep Impurity in Semiconductors", Wiley – Inter Science Publication, Printing First, (1973).
- [71] E. O. Knuston and K. T. Whitby, "Aerosol Classifications", Aerost Sc. Vol. 6, pp. 443-451, (1975).
- [72] D. A. Neamen, "Semiconductor Physics and Devices", Australia ,(1992).
- [73] M. N. J. Al-Delaimi, "The Effect of Ni, Cu ,CB Additives on Electrical, Optical, and Mechanical Properties of PMMA", Phd. Thesis, University of Baghdad/College of Science, (1996).
- [74] P. J. Nigrey, D. Maclunes, J. D. D. Nairns, A. J. Macdiarmid, and A. G. Heegen, "Conductive Polymer", R. B. Seymour, Ed. ,Plenum Press, New York, (1981).
- [75] S. Goodman, "Plastic Materials & Processes", Van Nostand Reinhold, New York, (1982).

- [76] T. J. Reinhart, "Engineering Material Hand Book", Vol. 1, ASM International, U.S.A, (1988).
- [77] G. E. Dieter, translated by I. K. Abdul Razak and M. A. Abdul Wahab, "Mechanical Metallurgy", University of Technology, Department of Production Engineering and Minerals, (1994).
- [78] بيلي ف. ، ترجمة الدكتور حسين باقر رحمة الله، "مبادئ هندسة المواد" ، جامعة البصرة، (1985).
- [79] D. Kopeliovich, "Shore (Durometer) Hardness Test", Subs & Tech Last Modification. 28, Apr., (2012).
- [80] W. C. Young and R. G. Budynas, "Roark's Formulas for Stress and Strain", 7<sup>th</sup> Ed., McGraw- Hill, Companies, Inc., pp. 851 (2002).
- [81] A. K. Kaw, "Mechanics of Composite Materials", 2<sup>nd</sup> Ed., Taylor and Francis Group, Llc, NewYork, (2006).
- [82] محمد داود، "دراسة بعض الخصائص الفيزيائية لمتراكبات بوليميرية بإضافة مواد سيراميكية" ، رسالة ماجستير، قسم الفيزياء، جامعة الانبار، (2012).
- [83] Z. Han and A. Fina, "Thermal Conductivity of Carbon Nanotubes and their Polymer Nanocomposites", Progress in Polymer Science, Vol. 36, No.7, pp. 914-944, (2011).
- [84] A. M. Collieu and D. J. Powny, "The Mechanical and Thermal Properties", Butter and Tanner, London, (1973).
- [85] T. B. Akrill, G. A. Bennet and G. J. Millar, "Plastics", Edward Arnold, London, (1979).

- [86] R. O. Bolt and J. G. Carroll, "Radiation Effect of Organic Materials", Academic Press, New York, (1963).
- [87] T. G. Fox and P. J. Flory, "The Glass Temperature and Related Properties of Polystyrene Influence of Molecular Weight", Polymer Chemistry, Vol. 14, pp. 315-319, (1954).
- [88] محمد مجدي عبدالله واصل، "كيمياء البوليمرات"، كلية العلوم، جامعة الازهر، دار الفجر للنشر والتوزيع ، الطبعة الثانية، (2008).
- [89] A. Knop and W. Scheib, "Chemistry and Application of Phenolic Resin", Springer-Verlag, Berlin Heidelberg, New York (1979).
- [90] كوركيس عبد ال ادم و د. ذنون محمد عزيز، " كيمياء الجزيئات الكبيرة" ، مطبعة جامعة البصرة، البصرة (1985).
- [91] M. P. Stevens, "Polymer Chemistry An Introduction", Addison-Wesley Publishing Company, Inc, London, (1975).
- [92] M. E. El-Dahshan, "Introduction to Material Science and Engineering", 2<sup>nd</sup> Ed., King Saud University Press, Saudi Arabia, (2002).
- [93] I. W. Watan, "Studying Some of the Mechanical & Thermal Properties of Polyester Reinforced with Ceramic Particles", Diyala Journal for Human Science, Vol. 37, pp. 180-197, (2009).
- [94] A. A. Aly , M. M. Mahmoud and A. A. Omar, "Enhancement in Mechanical Properties of Polystyrene Filled with Carbon Nano-Particulates (CNPS)", Nano Science and Engineering, Vol. 2, pp. 103-109, (2012).

**References**

- [95] V. Kovacevic , M. Leskovac , S. Blagojevic "Morphology and Failure in Nanocomposites. Part ll: Surface Investigation", Journal of Adhesion Science and Technology, Vol. 16, PP. 1915-1921 (2002).
- [96] I. S. Elashamwi, E. M. Abdelrazek and A.Y. Yassin, "Influence of  $\text{NiCl}_2/\text{CdCl}_2$  as Mixed Filler on Structural, Thermal and Electrical Properties of PVA/ PVP Blend", British Journal of Applied Science & Technology, Vol. 4, No. 30, pp. 4263- 4279, (2014).
- [97] B. S. Mudigoudra, P. S. Masti and R. B. Chougale, "Thermal Behavior of Polyvinyl Alcohol/Polyvinyl Pyrrolidone/Chitosan Ternary Polymer Blend Films", Research Journal of Recent Sciences, Vol. 1, No. 9, pp. 83-86, (2012).
- [98] C. Chen, J. Chueh, H. Tseng, H. Huang and S. Lee, "Preparation and Characterization of Biodegradable PLA Polymeric Blends", Biomaterials, Vol. 24, pp. 1167-1173, (2003).
- [99] L. C. Shen, "Studies on the Effect of Nanosized Ceramic Filler Polyvinyl Alcohol/Lithium Perchlorate Based Polymer Electrolytes", M.SC, Thesis, University of Malaya, Faculty of Science, Department of Physics, (2012).
- [100] H. Yu, X. Xu, X. Chen, T. Lu, P. Zhang and X. Jing, "Preparation and Antibacterial Effects of PVA-PVP Hydrogels Containing Silver Nanoparticles", Journal of Applied Polymer Science, Vol. 103, pp. 125-133, (2007).

**References**

- [101] O. W. Guirguis, and M. T. H. Moselhey, "Thermal and Structural Studies of Poly vinyl Alcohol and Hydroxypropyl Cellulose Blends", Natural Science, Vol. 4, No. 1, pp. 57- 67, (2012).
- [102] A. El-Khodary, "Vibrational, Thermal, Optical and Magnetic Investigations of PVA Films Filled with  $\text{FeCl}_3$  and  $\text{CoCl}_2$ ", Contents lises available at Science Direct, Vol. 404, pp. 1287-1294, (2009).
- [103] I. R. Rodrigues, M. M. C. Forte, D. S. Azambuja and K. R. L. Castagno,"Synthesis and Characterization of hybrid Polymeric Networks (HPN) Based on Polyvinyl Alcohol/Chitosan", Reactive & Functional Polymers, Vol. 87, pp. 708-715, (2007).
- [104] د.أكرم عزيز محمد، "كيمياء اللدائن"، دار الكتب للطباعة والنشر، جامعة الموصل، (1993).
- [105] R. Singh, S. G. Kulkarni and N. H. Naik, "Effect of Nano Size Transition Metal Salts and Metal on Thermal Decomposition Behavior of Poly vinyl Alcohol", Advanced Materials Letters, Vol. 4, No.1, pp. 82-88, (2013).
- [106] A. M. Shehap, "Thermal and Spectroscopic Studies of Polyvinyl Alcohol/Sodium Carboxy Methyl Cellulose Blends", Egypt. J. Solids, Vol. 31, No. 1, pp. 75-80, (2008).
- [107] N. A. Betti, "The Effect of Cesium Chloride on Thermal Properties of Polyvinyl Alcohol", Eng &Tech. Journal, Vol. 34, No.12, pp. 2193-2206, (2016).

## Abstract

The pure films of polymer (PVA) filled with aluminium salts with different weight ratios ((1,3,5,7,9,11,13,15) wt%) have been prepared by using casting method. The optical, mechanical and thermal properties of (PVA - aluminium salts) composites films have been studied.

The transmission and absorption spectra have been recorded in the wavelength range (190-1100) nm, the effect of the weight ratio of the added aluminium salts on the optical parameters (transmittance, absorbance, absorption coefficient, refractive index, extinction coefficient and real and imaginary parts of dielectric constant) of (PVA - aluminium salts) composites films were studied.

The experimental results indicated that the transmittance of (PVA - aluminium salts) composites films decreases with the increase of the weight ratio of the added aluminium salts while the absorbance, absorption coefficient, refractive index, extinction coefficient and real and imaginary parts of dielectric constant were increased with increasing of weight ratio for the added aluminium salts. Moreover, the results show that the electronic transitions was indirect electronic transitions, and that the energy gap decreases with the increase of the weight ratio of the added aluminium salts (5.887-4.542) eV for the ( $\text{AlCl}_3$ ) salt and (5.887-4.435) eV for the ( $\text{Al}(\text{NO}_3)_3$ ) salt, while Urbach energy has opposite behavior with the energy gap since Urbach energy increases by increasing the weight ratio of the added aluminium salts (545.6-1039.6) meV for the ( $\text{AlCl}_3$ ) salt and (545.6-928.9) meV for the ( $\text{Al}(\text{NO}_3)_3$ ) salt.

The results of (FTIR) tests for pure (PVA) film have been shown after filler with different weight ratios of the aluminium salts that the absorption band of the hydroxyl group (-OH) shifted towards the higher wavenumbers of all weight ratios of the ( $\text{AlCl}_3$ ) salt, and for most weight ratios of the ( $\text{Al}(\text{NO}_3)_3$ ) salt the wavenumber of the hydroxyl group (-OH) for (PVA) shifted to the lower values, while the non-symmetric stretching (C-H) bond showed a shift

toward higher wavenumbers at weight ratio (15wt%) and (11wt%) for ( $\text{AlCl}_3$ ) and ( $\text{Al}(\text{NO}_3)_3$ ) salts respectively, the (C=O) and (C=C) bonds showed a shift towards lower wavenumbers with a qualitative effect of the (-CH<sub>2</sub>) bond (the wavenumber are change for them) by the filling process with the Aluminium salts.

The effect of the weight ratio of the added aluminium salts on the mechanical properties of (PVA - aluminium salts) composites films have been studied, the experimental results showed that the hardness increased by increasing the weight ratio of the added aluminum salts, while the experimental results of the tensile test showed unsystematic values for (tensile strength, strain at break and Young's modulus) after filling with different weight ratios of the aluminium salts compared with pure (PVA) film.

The results of the study of effect of the weight ratio of the added aluminium salts on the thermal properties of (PVA - aluminium salts) composites films showed that the thermal conductivity began to decrease in an unsystematic with increasing of weight ratio of the added aluminium salts, the differential scanning calorimetric (DSC) test showed began an unsystematic increase for both glass transition and crystalline melting point by increasing the weight ratio of the added ( $\text{AlCl}_3$ ) salt, and unsystematic behavior of glass transition and crystalline melting point at the filling by ( $\text{Al}(\text{NO}_3)_3$ ) salt compared with pure (PVA) film with absent of the glass transition at the weight ratio (11wt%) of ( $\text{AlCl}_3$ ) salt and absence of the crystalline melting point at the weight ratio (7wt%) of ( $\text{Al}(\text{NO}_3)_3$ ) salt, Moreover, (TGA) curves showed that the pure (PVA) film underwent two stages of thermogravimetric decomposition process for total weight loss (100%), and the weight ratios of the added aluminium salts showed two and three stages of thermogravimetric decomposition of the weight loss process and total weight loss are lower compared with pure (PVA) film.